



دانشکده مهندسی مکانیک
گروه جامدات

حل تحلیلی و عددی دیسک چرخان FGM با ضخامت متغیر تحت بارگذاری مکانیکی و حرارتی

دانشجو: سید مهدی جباری

استاد راهنما:

دکتر مهدی قناد

پایان نامه ارشد جهت اخذ درجه کارشناسی ارشد

ماه و سال انتشار: بهمن ۱۳۹۰

الله

تشکر و قدردانی:

بر خود واجب می دانم از زحمات پدر و مادر مهربانم که همواره در تحصیل علم، دانش و اخلاق مشوق اینجانب بوده‌اند قدردانی نمایم.

لازم است که از زحمات اساتید محترم دانشکده‌ی مکانیک دانشگاه صنعتی شاهروд که از محضر درس آن بزرگواران استفاده نموده‌ام، قدردانی نمایم. همچنین از استاد بزرگوار جناب آقای دکتر مهدی قناد که زحمت هدایت پایان‌نامه‌ی اینجانب بر دوش ایشان بوده است، بسیار سپاسگزارم. از خداوند متعال توفیق روزافرون این عزیزان را خواستارم.

سید مهدی جباری

تعهد نامه

اینجانب سید مهدی جباری دانشجوی دوره کارشناسی ارشد رشته مهندسی مکانیک - طراحی کاربردی
دانشکده مهندسی مکانیک دانشگاه صنعتی شهرود نویسنده پایان نامه حل تحلیلی و عددی دیسک چرخان
FGM با ضخامت متغیر تحت بارگذاری مکانیکی و حرارتی تحت راهنمایی دکتر مهدی قناد متعهد می شوم.

- تحقیقات در این پایان نامه توسط اینجانب انجام شده است و از صحت و اصالت برخوردار است .
- در استفاده از نتایج پژوهش‌های محققان دیگر به مرجع مورد استفاده استناد شده است .
- مطالب مندرج در پایان نامه تاکنون توسط خود یا فرد دیگری برای دریافت هیچ نوع مدرک یا امتیازی در هیچ جا ارائه نشده است .
- کلیه حقوق معنوی این اثر متعلق به دانشگاه صنعتی شهرود می باشد و مقالات مستخرج با نام « دانشگاه صنعتی شهرود » و یا « Shahrood University of Technology » به چاپ خواهد رسید .
- حقوق معنوی تمام افرادی که در به دست آمدن نتایج اصلی پایان نامه تأثیرگذار بوده اند در مقالات مستخرج از پایان نامه رعایت می گردد .
- در کلیه مراحل انجام این پایان نامه ، در مواردی که از موجود زنده (یا بافت‌های آنها) استفاده شده است ضوابط و اصول اخلاقی رعایت شده است .
- در کلیه مراحل انجام این پایان نامه، در مواردی که به حوزه اطلاعات شخصی افراد دسترسی یافته یا استفاده شده است اصل رازداری ، ضوابط و اصول اخلاق انسانی رعایت شده است.

تاریخ: ۱۳۹۰/۱۲/۱۵

امضای دانشجو

مالکیت نتایج و حق نشر

- کلیه حقوق معنوی این اثر و محصولات آن (مقالات مستخرج ، کتاب ، برنامه های رایانه ای ، نرم افزار ها و تجهیزات ساخته شده است) متعلق به دانشگاه صنعتی شهرود می باشد . این مطلب باید به نحو مقتضی در تولیدات علمی مربوطه ذکر شود .
- استفاده از اطلاعات و نتایج موجود در پایان نامه بدون ذکر مرجع مجاز نمی باشد.

چکیده

دیسک دوار به علت کاربردهای فراوانی که در صنعت دارد، از دیرباز موضوع تحقیقات و مطالعات متعددی بوده است. از میان کاربردهای دیسک دوار می‌توان به دیسک‌های توربین گاز، فلاپویل‌ها، چرخ دندنهای و دیسک‌های ترمز و ... اشاره کرد. از این رو ارائه‌ی فرمول‌های تحلیلی در کنار نرم‌افزارهای کاربردی می‌تواند کمک شایانی در طراحی‌های بهینه دیسک‌ها در صنایع مختلف داشته باشد.

در این پژوهش با استفاده از تئوری الاستیسیته‌ی مستوی و بر مبنای شرایط تنش صفحه‌ای، معادله‌ی ترمولاستیک حاکم بر حسب جابجایی برای دیسک با ضخامت متغیر ناهمگن چرخان، با خواص وابسته به دما و شعاع دیسک، ارائه شده است. در مدل‌سازی مواد FG و پروفیل تغییرات ضخامت دو تابع نمایی و توانی بکار گرفته شده و معادله‌ی حاکم حل شده است. در مواردی که توابع نمایی برای تابع توزیع خواص یا پروفیل انتخاب می‌شود، معادله‌ی انتقال حرارت حاکم بر دیسک دارای حل دقیق نمی‌باشد برای این منظور در این موارد از روش‌های تحلیلی و نیمه تحلیلی استفاده شده است و نتایج برای اعتبار سنجی با حل عددی مقایسه شده است. با استفاده از نتایج بدست آمده تاثیر هریک از بارگذاریهای مکانیکی و حرارتی در دیسک‌ها با توجه به خواص آن بررسی می‌شود.

نتایج بدست آمده نشان دهنده‌ی این مطلب است که افزایش ضخامت در شعاع داخلی دیسک و استفاده از مواد FG بطوریکه مقدار خواص در راستای شعاع افزایش یابد، سبب کاهش تنش بیشینه ناشی از بارگذاری حرارتی و دورانی می‌شود، ولی افزایش تنش بیشینه ناشی از فشار داخلی را بهمراه دارد. همچنین مقدار تنش بیشینه محاسبه شده در توابع توانی به کار گرفته شده در توزیع خواص و پروفیل در بارگذاری حرارتی و دورانی کمتر از توانی نمایی بوده ولی در مورد فشار داخلی بیشتر از توانی نمایی می‌باشد.

فهرست مطالب

۱ - مقدمه	۲۰
۱ - ۱ کلیات.....	۲
۱ - ۲ معرفی مواد FG	۳
۱ - ۳ تاریخچه ی پژوهش در زمینه ی دیسک های چرخان	۱۱
۱ - ۴ اهداف و تعریف مسئله	۱۳
۲ - تحلیل ترمومالاستیک دیسک چرخان با ضخامت ثابت	۱۹
۲ - ۱ مقدمه	۱۹
۲ - ۲ معادله ی عمومی حاکم بر دیسک چرخان	۱۹
۲ - ۳ حل ترمومالاستیک دیسک همگن با ضخامت ثابت	۲۷
۲ - ۴ بررسی نتایج حل دیسک همگن با ضخامت ثابت	۳۲
۲ - ۵ حل ترمومالاستیک دیسک ناهمگن با ضخامت ثابت	۳۷
۲ - ۶ بررسی نتایج حل دیسک ناهمگن با ضخامت ثابت	۴۵
۲ - ۷ جمع بندی	۵۳
۳ - تحلیل ترمومالاستیک دیسک همگن چرخان با ضخامت متغیر	۵۹
۳ - ۱ مقدمه	۵۹
۳ - ۲ حل تحلیلی دیسک همگن با پروفیل توانی	۶۵
۳ - ۳ بررسی نتایج حل دیسک همگن با تابع ضخامت توانی	۷۳
۳ - ۴ حل تحلیلی دیسک همگن با تابع ضخامت نمایی	۸۰

۵ - ۳	بررسی نتایج حل دیسک همگن با تابع ضخامت نمایی	۸۶
۶ - ۳	جمع بندی	۹۶
۴	تحلیل ترمولاستیک دیسک ناهمگن چرخان با ضخامت متغیر	۱۰۱
۱ - ۴	مقدمه	۱۰۱
۲ - ۴	حل دیسک با ضخامت متغیر توانی FG با توزیع توانی	۱۰۲
۳ - ۴	بررسی نتایج حل دیسک ناهمگن توانی با تابع ضخامت توانی	۱۱۰
۴ - ۴	حل دیسک FG با ضخامت متغیر با تابع نمایی و توزیع خواص نمایی	۱۱۶
۵ - ۴	بررسی نتایج حل دیسک ناهمگن با توزیع خواص نمایی با تابع ضخامت نمایی	۱۲۱
۶ - ۴	حل دیسک ناهمگن با توزیع خواص نمایی و تابع ضخامت توانی	۱۲۵
۷ - ۴	بررسی نتایج حل دیسک ناهمگن با توزیع خواص نمایی با تابع ضخامت توانی	۱۲۸
۸ - ۴	حل دیسک ناهمگن با توزیع خواص توانی با تابع ضخامت نمایی	۱۳۲
۹ - ۴	بررسی نتایج حل دیسک ناهمگن با توزیع خواص توانی با تابع ضخامت نمایی	۱۳۴
۱۰ - ۴	جمع بندی	۱۳۸
۵	نتیجه گیری	۱۴۳
۱ - ۵	خلاصه مطالب ارائه شده در این پژوهش	۱۴۳
۲ - ۵	نتیجه گیری	۱۴۴
۳ - ۵	زمینه های ادامه پژوهش	۱۴۷
۶	پیوست	۱۵۰
۱ - ۶	پیوست A: حل دقیق دیسک ناهمگن با ضخامت متغیر با استفاده از معادلات بلترامی – میشل	۱۵۰

۱۵۷	۲ - ۶ پیوست B : حل دیسک با ضخامت متغیر با استفاده توابع فوق هندسی
۱۵۹	۳ - ۶ پیوست C : معادله‌ی حاکم بر دیسک با استفاده از تئوری تغییر شکل برشی
۱۶۵	۷ - مراجع

فهرست اشکال و نمودار ها

..... ۴	شکل ۱-۱: ساختار FG در صدف
..... ۷	شکل ۱-۲: نواحی قابل تعریف در مواد FG
..... ۹	شکل ۳-۱ : نحوه ی تغییرات خواص در تابع توزیع توانی
..... ۱۰	شکل ۴-۱ : نحوه ی تغییرات خواص در تابع توزیع نمایی
..... ۱۵	شکل ۱-۵: مختصات و گره های تعریف شده برای المان حرارتی $Plane\ 77$
..... ۱۷	شکل ۱-۶: نحوه ی شبکه بندی دیسک همگن فولادی
..... ۳۰	شکل ۱-۲: بارگذاری در دیسک با ضخامت ثابت
..... ۳۳	شکل ۲-۲ : مقایسه ی توزیع جابجایی شعاعی حل تحلیلی با حل عددی (دیسک همگن با ضخامت ثابت) ...
..... ۳۳	شکل ۳-۲ : مقایسه ی توزیع تنش شعاعی حل تحلیلی با حل عددی (دیسک همگن با ضخامت ثابت)
..... ۳۴	شکل ۴-۲ : مقایسه ی توزیع تنش محیطی حل تحلیلی با حل عددی (دیسک همگن با ضخامت ثابت)
..... ۳۴	شکل ۵-۲ : نحوه ی توزیع جابجایی شعاعی در بارگذاریهای مختلف (دیسک همگن با ضخامت ثابت)
..... ۳۵	شکل ۶-۲ : نحوه ی توزیع تنش شعاعی در بارگذاریهای مختلف (دیسک همگن با ضخامت ثابت)
..... ۳۶	شکل ۷-۲ : نحوه ی توزیع تنش محیطی در بارگذاریهای مختلف (دیسک همگن با ضخامت ثابت)
..... ۴۵	شکل ۸-۲ : مقایسه ی نتایج جابجایی شعاعی حل تحلیلی با حل عددی ($n=0.75$)
..... ۴۶	شکل ۹-۲ : مقایسه ی توزیع تنش شعاعی در حل تحلیلی با حل عددی ($n=0.75$)
..... ۴۶	شکل ۱۰-۲ : مقایسه ی توزیع تنش محیطی در حل تحلیلی با حل عددی ($n=0.75$)
..... ۴۷	شکل ۱۱-۲ : نحوه ی توزیع جابجایی شعاعی در بارگذاریهای مختلف ($n=0.5$)
..... ۴۸	شکل ۱۲-۲ : نحوه ی توزیع تنش شعاعی در بارگذاریهای مختلف ($n=0.5$)
..... ۴۹	شکل ۱۳-۲ : نحوه ی توزیع تنش محیطی در بارگذاریهای مختلف ($n=0.5$)

شکل ۱۴-۲ : توزیع دما در دیسک ناهمگن با ضخامت ثابت ۵۰
شکل ۱۵-۲ : توزیع جابجایی شعاعی در دیسک ناهمگن با ضخامت ثابت ۵۱
شکل ۱۶-۲ : توزیع تنش شعاعی در دیسک ناهمگن با ضخامت ثابت ۵۱
شکل ۱۷-۲ : توزیع تنش محیطی در دیسک ناهمگن با ضخامت ثابت ۵۲
شکل ۱-۳: دیسک توربین گاز واحدهای نیروگاه گازی V94 ساخت شرکت آنسالدور ۵۹
شکل ۲-۳: چرخ کورتیس در توربین بخار ۶۰
شکل ۳-۳ : نمایش پروفیل ضخامت توانی به ازای نسبت ضخامت های مختلف ۶۱
شکل ۴-۳ : نمایش پروفیل ضخامت نمایی به ازای نسبت ضخامت های مختلف ۶۳
شکل ۵-۳: تاثیر پارامتر q در پروفیل ضخامت سهموی ($m=2$) ۶۴
شکل ۶-۳: تاثیر پارامتر q در پروفیل ضخامت سهموی ($m=2$) ۶۴
شکل ۷-۳: تاثیر پارامتر m در پروفیل ضخامت سهموی ($q=0.5$) ۶۵
شکل ۸-۳: بارگذاری در دیسک با ضخامت متغیر ۷۱
شکل ۹-۳ : توزیع جابجایی شعاعی در دیسک همگن با پروفیل توانی ($h_i/h_o=2$) ۷۴
شکل ۱۰-۳ : توزیع تنش شعاعی در دیسک همگن با پروفیل توانی ($h_i/h_o=2$) ۷۵
شکل ۱۱-۳ : توزیع تنش محیطی در دیسک همگن با پروفیل توانی ($h_i/h_o=2$) ۷۵
شکل ۱۲-۳ : نحوه توزیع جابجایی شعاعی در بارگذاریهای مختلف ($h_i/h_o=2$) ۷۶
شکل ۱۳-۳ : نحوه توزیع تنش شعاعی در بارگذاریهای مختلف ($h_i/h_o=2$) ۷۷
شکل ۱۴-۳ : نحوه توزیع تنش محیطی در بارگذاریهای مختلف ($h_i/h_o=2$) ۷۸
شکل ۱۵-۳ : تاثیر نسبت ضخامت بر توزیع جابجایی شعاعی دیسک همگن ۷۹
شکل ۱۶-۳ : تاثیر نسبت ضخامت بر توزیع تنش شعاعی دیسک همگن ۷۹
شکل ۱۷-۳ : تاثیر نسبت ضخامت بر توزیع تنش محیطی دیسک همگن ۸۰

شکل ۱۸-۳ : نمودار توابع انتگرال نمایی (مرجع [۳۰])	۸۲
شکل ۱۹-۳: نحوه‌ی تبدیل دیسک به حلقه‌های با ضخامت ثابت	۸۳
شکل ۲۰-۳ : بررسی استقلال از حلقه‌ها برای دیسک همگن با تابع ضخامت نمایی ($h_i/h_o=2$)	۸۷
شکل ۲۱-۳ : توزیع جابجایی شعاعی در دیسک همگن با پروفیل نمایی ($h_i/h_o=2$)	۸۷
شکل ۲۲-۳ : توزیع تنش شعاعی در دیسک همگن با پروفیل نمایی ($h_i/h_o=2$)	۸۸
شکل ۲۳-۳ : توزیع تنش محیطی در دیسک همگن با پروفیل نمایی ($h_i/h_o=2$)	۸۸
شکل ۲۴-۳ : نحوه‌ی توزیع جابجایی شعاعی در بارگذاریهای مختلف ($h_i/h_o=2$)	۸۹
شکل ۲۵-۳ : نحوه‌ی توزیع تنش شعاعی در بارگذاریهای مختلف ($h_i/h_o=2$)	۹۰
شکل ۲۶-۳ : نحوه‌ی توزیع تنش محیطی در بارگذاریهای مختلف ($h_i/h_o=2$)	۹۰
شکل ۲۷-۳ : نحوه‌ی توزیع جابجایی شعاعی در دیسک همگن با پروفیل نمایی	۹۱
شکل ۲۸-۳ : نحوه‌ی توزیع تنش شعاعی در دیسک همگن با پروفیل نمایی	۹۲
شکل ۲۹-۳ : نحوه‌ی توزیع تنش محیطی در دیسک همگن با پروفیل نمایی	۹۲
شکل ۳۰-۳: مقایسه‌ی پروفیل‌های ضخامت نمایی و توانی	۹۳
شکل ۳۱-۳ : مقایسه توزیع جابجایی شعاعی در پروفیل ضخامت نمایی و توانی	۹۴
شکل ۳۲-۳ : مقایسه مقادیر تنش شعاعی در پروفیل ضخامت نمایی و توانی	۹۴
شکل ۳۳-۳ : مقایسه مقادیر تنش محیطی در پروفیل ضخامت نمایی و توانی	۹۵
شکل ۱-۴ : توزیع جابجایی شعاعی در روش تحلیلی و روش عددی دیسک FG توانی با پروفیل توانی	۱۱۱
شکل ۲-۴ : توزیع تنش شعاعی در روش تحلیلی و روش عددی دیسک FG توانی با پروفیل توانی	۱۱۱
شکل ۳-۴ : توزیع تنش محیطی در روش تحلیلی و روش عددی دیسک FG توانی با پروفیل توانی	۱۱۲
شکل ۴-۴ : نمایش تاثیر ثابت ناهمگنی در جابجایی شعاعی دیسک با پروفیل توانی ($h_i/h_o=2$)	۱۱۳
شکل ۵-۴ : نمایش تاثیر ثابت ناهمگنی در تنش شعاعی دیسک با پروفیل توانی ($h_i/h_o=2$)	۱۱۳

شکل ۶-۴ : نمایش تاثیر ثابت ناهمگنی در تنفس محیطی دیسک با پروفیل توانی ($h_i/h_o=2$) ۱۱۴

شکل ۷-۴ : نمایش تاثیر ثابت ناهمگنی در جابجایی شعاعی دیسک با پروفیل توانی ($h_i/h_o=0.2$) ۱۱۵

شکل ۸-۴ : نمایش تاثیر ثابت ناهمگنی در تنفس شعاعی دیسک با پروفیل توانی ($h_i/h_o=0.2$) ۱۱۵

شکل ۹-۴ : نمایش تاثیر ثابت ناهمگنی در تنفس محیطی دیسک با پروفیل توانی ($h_i/h_o=0.2$) ۱۱۶

شکل ۱۰-۴ : مقایسه‌ی نتایج جابجایی شعاعی با حل عددی ($n=0.3$, $h_i/h_o=2$) ۱۲۲

شکل ۱۱-۴ : مقایسه‌ی نتایج تنفس شعاعی با حل عددی ($n=0.3$, $h_i/h_o=2$) ۱۲۲

شکل ۱۲-۴ : مقایسه‌ی نتایج تنفس محیطی با حل عددی ($n=0.3$, $h_i/h_o=2$) ۱۲۳

شکل ۱۳-۴ : توزیع جابجایی شعاعی در دیسک با پروفیل نمایی و تابع توزیع خواص نمایی ($h_i/h_o=2$) ۱۲۳

شکل ۱۴-۴ : توزیع تنفس شعاعی در دیسک با پروفیل نمایی و تابع توزیع خواص نمایی ($h_i/h_o=2$) ۱۲۴

شکل ۱۵-۴ : توزیع تنفس محیطی در دیسک با پروفیل نمایی و تابع توزیع خواص نمایی ($h_i/h_o=2$) ۱۲۴

شکل ۱۶-۴: بررسی استقلال از تعداد حلقه‌ها در دیسک ناهمگن ۱۲۹

شکل ۱۷-۴ : مقایسه‌ی توزیع جابجایی شعاعی در دیسک FG توانی با پروفیل نمایی با روش عددی ۱۲۹

شکل ۱۸-۴ : مقایسه‌ی توزیع تنفس شعاعی در دیسک FG توانی با پروفیل نمایی با روش عددی ۱۳۰

شکل ۱۹-۴ : مقایسه‌ی توزیع تنفس محیطی در دیسک FG توانی با پروفیل نمایی با روش عددی ۱۳۰

شکل ۲۰-۴ : توزیع جابجایی شعاعی در دیسک با پروفیل نمایی و تابع توزیع خواص توانی ($h_i/h_o=2$) ۱۳۱

شکل ۲۱-۴ : توزیع تنفس شعاعی در دیسک با پروفیل نمایی و تابع توزیع خواص توانی ($h_i/h_o=2$) ۱۳۱

شکل ۲۲-۴ : توزیع تنفس محیطی در دیسک با پروفیل نمایی و تابع توزیع خواص توانی ($h_i/h_o=2$) ۱۳۲

شکل ۲۳-۴ : مقایسه‌ی توزیع جابجایی شعاعی در دیسک FG نمایی با پروفیل توانی با روش عددی ۱۳۵

شکل ۲۴-۴ : مقایسه‌ی توزیع تنفس شعاعی در دیسک FG نمایی با پروفیل توانی با روش عددی ۱۳۵

شکل ۲۵-۴ : مقایسه‌ی توزیع تنفس محیطی در دیسک FG نمایی با پروفیل توانی با روش عددی ۱۳۶

شکل ۲۶-۴ : توزیع جابجایی شعاعی در دیسک با پروفیل توانی و تابع توزیع خواص نمایی ($h_i/h_o=2$) ۱۳۶

شکل ۲۷-۴ : توزیع تنش شعاعی در دیسک با پروفیل توانی وتابع توزیع خواص نمایی ($h_i/h_o=2$) ۱۳۷.....

شکل ۲۸-۴ : توزیع تنش محیطی در دیسک با پروفیل توانی وتابع توزیع خواص نمایی ($h_i/h_o=2$) ۱۳۷.....

فهرست جداول

جدول ۱-۱: خواص فیزیکی و مکانیکی دیسک همگن فولادی ۱۳
جدول ۱-۲: خواص هندسی دیسک های مدل سازی شده ۱۳
جدول ۱-۳: بارگذاری اعمالی در تمامی دیسک ها ۱۴
جدول ۱-۴: بررسی تغییرات تعداد المانها با نتایج حاصل از حل عددی ۱۶
جدول ۲-۱: حل پارامتریک دیسک ها با ضخامت ثابت ۵۴
جدول ۲-۲: نتایج حاصل از تحلیل در دیسک با ضخامت ثابت ۵۵
جدول ۲-۳: حل پارامتریک دیسک همگن با پروفیل توانی ۹۶
جدول ۲-۴: نتایج حل دیسک همگن با پروفیل توانی به تفکیک بارگذاری ۹۷
جدول ۳-۳: نتایج حل دیسک همگن با پروفیل نمایی به تفکیک بارگذاری ۹۸
جدول ۴-۱: حل پارامتریک دیسک ناهمگن توانی با پروفیل توانی ۱۳۸
جدول ۴-۲: تنش معادل در دیسکهای FG به تفکیک ماده، پروفیل و بارگذاری ۱۴۰
جدول ۴-۵: روشهای به کار گرفته شده برای هر نوع از دیسک ها در این پژوهش ۱۴۳
جدول ۵-۵: تنش معادل در لایه داخلی به تفکیک بارگذاری ۱۴۶
جدول ۶-۱: ضرایب معادله ای دیفرانسیل حاکم به ازای پروفیل و توزیع خواص متفاوت ۱۵۷

فصل اول:

مقدمه

۱ - ۱ کلیات

دیسک دوار به علت کاربردهای فراوانی که در صنعت دارد، از دیرباز موضوع تحقیقات و مطالعات متعددی بوده است. از میان کاربردهای دیسک دوار می‌توان به دیسک های توربین گاز اشاره کرد. دیسک توربین گاز اغلب در گرادیان‌های دمایی بالا و سرعتهای زاویه ای زیادی کار می‌کند. سرعت زاویه ای بالا باعث ایجاد نیروی گریز از مرکز بزرگی در دیسک شده و همزمان با آن، دمای بسیار زیاد، منجر به کاهش مقاومت ماده سازنده دیسک می‌شود که این به نوبه خود، تغییر شکل زیادی را در دیسک دوار ایجاد می‌کند. که وجود قید در تجهیزات فوق موجب تولید تنش در آن‌ها شده که این تنش در نهایت موجب ایجاد ترک و شکست در آن‌ها می‌شود. از این رو مطالعه در زمینه‌ی دیسک‌های دوار به منظور کاهش تنش‌ها ضروری خواهد بود.

یکی از راه‌های کاهش تنش‌های حرارتی انتخاب مواد مناسب در دیسک‌ها می‌باشد. با توجه به کاهش مقاومت مکانیکی مواد فلزی در دماهای بالا، مواد انتخاب شده در دیسک‌ها می‌بایست علاوه بر حفظ خواص مکانیکی قابلیت تحمل تنش‌های مکانیک را داشته باشد که چنین خاصیتی در یک ماده‌ی همگن وجود ندارد لذا برای حل این مشکل می‌بایست سراغ مواد ناهمگن و کامپوزیتی رفت. با توجه به ظهر نسل جدیدی از مواد کامپوزیتی موسوم به مواد *FG* که برای کاهش تنش‌های حرارتی طراحی و ساخته شده، در این پژوهش از این مواد برای کاهش تنش‌ها استفاده می‌شود.

در قسمت اول این فصل به معرفی و بیان تاریخچه‌ای از این مواد پرداخته شده و نحوه‌ی مدل سازی آن با استفاده از روابط ریاضی بیان می‌شود.

در قسمت دوم تاریخچه‌ی مختصری از کارهای تحقیقاتی انجام شده بر روی دیسک‌ها بیان می‌شود و خط مشی این پژوهش مشخص می‌شود. همچنین برای یکنواختی در تحلیل‌های انجام شده، خواص ثابتی برای دیسک‌ها

تعیین می شود. در پایان نیز از نرم افزار اجزامحدودی که برای کنترل حل های انجام شده و اعتبارسنجی به نتایج از آن استفاده می شود معرفی و نحوه مدل سازی در آن بیان می شود.

۱ - ۲ معرفی مواد *FG*

پیشرفت تجهیزات مکانیکی نیازمند تولید موادی با قابلیت تحمل تنش های حرارتی و مکانیکی در شرایط خاص است. اخیراً استفاده از مواد با ساختار ناهمگن در شاخه های مختلف مهندسی گسترش یافته است. این مواد یا به طور مستقیم از طبیعت (مانند یاقوت) بدست می آیند یا به صورت مصنوعی (مانند کامپوزیت های تقویت شده با فیبر) ساخته می شوند. یکی از مشکلات موجود در مواد ناهمگن مرکب تحت بارهای حرارتی و مکانیکی، ایجاد تنش پسماند در مرز مشترک مواد سازنده است که بدلیل رفتار متفاوت لایه های سازنده تحت شرایط فوق اتفاق می افتد. این تنش های پسماند در موارد متعدد سبب ایجاد ترک و در پاره ای از اوقات سبب لایه لایه شدن مواد می شود. از این رو نسل جدید مواد مرکب موسوم به *FGM* معرفی شدند.

ها نسل جدیدی از مواد مرکب هستند که در آن ها خواص میکروسکوپیک ماده با توزیع غیریکنواخت، هموار و پیوسته ای از ترکیب مواد سازنده اصلی آن تغییر می کند. این تغییرات ممکن است در یک بعد و یا در چند بعد باشد. به عنوان مثال در ورق های حائل حرارتی که ترکیبی از سرامیک و فلز هستند، دو سطح سرامیکی و فلزی خالص وجود دارد که بین این دو سطح ترکیبی دلخواه از این دو ماده ساختار مورد نظر را تولید می نماید. در این صورت خصوصیات حرارتی و مکانیکی ماده به صورت پیوسته تغییر می کند. فاز سرامیکی مقاومت ماده در برابر حرارت را افزایش می دهد و فاز فلزی وظیفه ای انتقال حرارت را دارد [۱].

مهم ترین حسن استفاده از این مواد آن است که همه های خواص مورد نیاز (مانند انعطاف پذیری و مقاومت در برابر حرارت) بدون اینکه یکی از آن ها سبب تضعیف دیگری شود در آن ها وجود دارد. فلزات شکل پذیری، استحکام

زیاد و قابلیت ماشین کاری دارند و از طرف دیگر سرامیک ها دارای خواصی مانند مقاومت زیاد در برابر حرارت و خوردگی هستند. بنابراین کاربرد مرسوم این مواد ترکیب فلز و سرامیک است.

کاربرد گسترده‌ی این مواد مرهون تغییرات تدریجی خصوصیات آن است، چرا که در مقایسه با مواد کامپوزیتی لایه‌لایه، مشکل عدم تطابق خصوصیات مکانیکی در محل اتصال لایه‌ها وجود ندارد. این عدم تطابق در مواد لایه‌ای، باعث افزایش تمایل به جدا شدن لایه‌ها در اثر بارگذاری‌های شدید حرارتی خواهد شد. ضمناً احتمال ایجاد ترک‌ها در محل اتصال لایه‌ها و گسترش آنها در مقاطع ضعیف تر ماده وجود دارد. علاوه بر این، به علت متفاوت بودن ضریب انبساط حرارتی لایه‌ها، وجود تنفس های پسماند اجتناب ناپذیر خواهد بود. تغییرات تدریجی خواص باعث کاهش تنفس های حرارتی، تنفس های پسماند و ضرایب تمرکز تنفس می‌شود. از این رو این مواد می‌توانند در شرایط سخت مقاومت بیشتری نسبت به کامپوزیت‌های هم رده‌ی خود داشته باشد. کاربردهای FGM در علوم پیشرفته، صنایع نظامی، تجهیزات فضایی، مهندسی پزشکی، تجهیزات هسته‌ای، الکترونیک و غیره به صورت قابل توجهی در حال پیشرفت است، به گونه‌ای که به یکی از ده تکنولوژی برتر کشور ژاپن تبدیل شده است.



شکل ۱-۱: ساختار FGM در صدف

مفهوم FGM در محیط زیست، گیاهان و موجودات از سالیان بسیار دور وجود داشته است که مورد توجه محققین و دانشمندان قرار نگرفته است. صدف، خیزان و نارگیل مثال‌های خوبی از مواد FGM هستند. خیزان و صدف هر دو، در نزدیکی سطح خارجی سفت و در داخل نرم هستند. (شکل ۱-۱) علاوه خیزان دارای صفات

ممتاز دیگر مانند وزن کم، الاستیسیته و سفتی مناسب است، که ناشی از تغییر مرحله‌ای منحنی حفره‌های موجود در ساختمان آن است.

محل اتصال نارگیل به شاخه‌ی درخت نیز دارای ساختار مدرج است، وقتی نارگیل توسط باد تکان می‌خورد، یک سوم محل اتصال آن به شاخه به نرمی تکان می‌خورد و بقیه‌ی آن در مقابل باد مقاومت می‌کند، که این مقاومت جز با ساختار FG میسر نیست. این موضوع ساده نقش مهمی در محیط زیست اطراف درخت نارگیل دارد و مانع آسیب رسانی به موجودات می‌شود.

همچنین مثال‌های متعدد دیگر (مانند بعضی از مفاصل بدن انسان، گیاهان موجود بر روی سطوح لغرنده و غیره) که نشانگر مفهوم FGM در محیط زیست هستند، وجود دارد که قابل بحث و بررسی هستند. اما مفهوم FGM در دهه‌ی ۷۰ قرن نوزدهم در بعضی از مقالات به صورت تئوری دیده می‌شود ولی به عنوان نسل جدیدی از مواد معرفی نشده است. فعالیت متمرکز و تخصصی بر روی FGM از سال ۱۹۸۴ شروع شد. حالی سال ۱۹۸۴-۱۹۸۵ دو محقق (هوافضا و مواد پیشرفتی) در مورد روایشان برای ساخت بدنی سفینه‌ی فضایی در یک ساختمان قدیمی دانشگاهی صحبت می‌کردند. سطح خارجی بدن این سفینه که در شرایط دمایی بسیار بالا (حدود ۱۷۰۰ درجه سانتی‌گراد) قرار دارد نیازمند موادی با مقاومت حرارتی بالا است. از طرفی بین سطوح داخلی و خارجی بدن اختلاف دمایی زیاد (حدود ۱۰۰۰ درجه سانتی‌گراد) وجود دارد که نیازمند ماده‌ای با تحمل مکانیکی و هدایت حرارتی زیاد است، از آنجایی که ماده‌ای که توانایی تحمل این شرایط را داشته باشد، وجود نداشت آنها به فکر راه حلی برای این مشکل افتادند و توانستند مفهوم FGM را برای ساخت بدنی این سفینه معرفی کنند. در طرح آن‌ها برای سطح خارجی از سرامیک‌های مقاوم با قابلیت تحمل دمای بالا و برای سطح داخلی از موادی با قابلیت هدایت حرارتی بالا استفاده شده بود، که درصد ترکیبات بین دو سطح سرامیکی و فلزی به صورت تدریجی تغییر می‌کرد.

با این تحقیق، پژوهش در زمینه‌ی *FGM* شروع شد. در سال ۱۹۸۷ تحقیق *FGM* برای پروژه‌ی عظیم وزارت علوم شروع شد. در فاصله‌ی سال‌های ۱۹۸۷ تا ۱۹۹۱ پژوهه‌ای با نام "تحقیق و پژوهش برای توسعه و تعمیم مفهوم *FGM* در آزادسازی تنش‌های حرارتی" توسط تعداد زیادی از محققین دانشگاه‌ها، آزمایشگاه‌ها و شرکت‌ها انجام شد. آنها به طور دقیق بر روی روش‌های توسعه و فرآیندهای مختلف (مانند طراحی مواد، روش‌های تولید و تحلیل) بحث کردند. سرانجام این همکاری‌ها ساخت یک نمونه *FGM* با قابلیت آزادسازی تنش حرارتی ساخته شد.

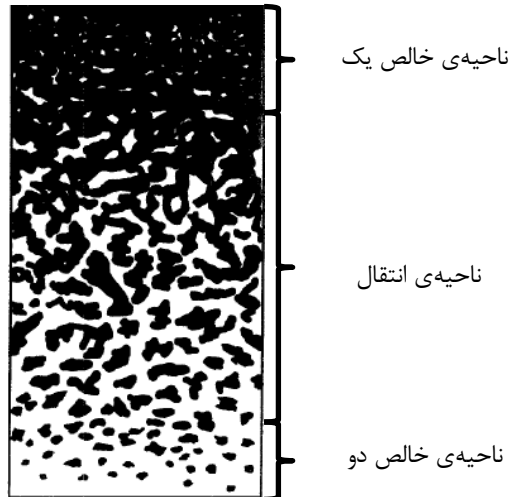
در سال ۱۹۹۰ اولین کنفرانس بین‌الملی در شهر سنداش برگزار شد. در سال ۱۹۹۲ *FGM* در تکنولوژی‌های مختلف کشور ژاپن استفاده شد. در سال ۱۹۹۳ دومین پژوهه‌ی *FGM* در زمینه‌ی تبدیل انرژی شروع شد که تا سال ۱۹۹۸ به طول انجامید. بدین ترتیب تا سال ۲۰۰۱ شش سمینار بین‌المللی در زمینه‌ی *FGM* برگزار شد که نشانگر اهمیت این موضوع بود. این چنین بود که *FGM* به یکی از ده تکنولوژی برتر کشور ژاپن تبدیل شد و توانست نظر جهانیان را به خود جلب کند [۲].

۱ - ۲ - ۱ معرفی معادلات حاکم بر مواد *FG*

با توجه به پیشرفت علم و اتوماسیون شدن فرآیند طراحی مهندسی، مهم‌ترین بخش در طراحی، شبیه‌سازی طرح مورد نظر است. این فرآیند شامل مدل سازی، تحلیل و بهینه سازی است. در مسائل، با توجه به شرایط مسئله و هندسه‌ی موجود مدل‌سازی انجام شده و پس از تحلیل مدل، بهینه سازی می‌شود. از این رو برای رسیدن به طرح بهینه نیاز به یک مدل مناسب الزامی است. *FGM*‌ها نیز به عنوان مواد قابل کاربرد در صنعت، نیازمند یک مدل مناسب می‌باشد. مشکل اساسی در طراحی *FGM* جدا از انتخاب مواد، طراحی تابع ترکیبات است. این تابع می‌بایست به گونه‌ای طراحی شود که خواص حرارتی، فیزیکی و مکانیکی در *FGM* حاوی دو ماده‌ی ثابت بهینه شود، که این امر نیازمند تعریف و بهینه سازی‌های تابع توزیع ترکیبات است. مشکل بعدی در این مواد پیش‌بینی رفتار *FGM* پس از ساخت و در شرایط بارگذاری است، که این مشکل با استفاده از

مدل‌های تحلیلی و تئوری قابل حل است. از این رو یک روش مدل سازی مناسب برای طراحی *FGM*, می‌بایست تعریف شود.

همانطور که بیان شد *FGM* ها موادی هستند که ساختار ریزدانه‌ای آن‌ها از یک جهت به جهت دیگر به طور پیوسته یا لایه لایه تغییر می‌کند. این تغییر ساختار بر روی خواص ترموفیزیکی مواد تاثیر مستقیم می‌گذارد. در نواحی خالص تعیین خواص ترموفیزیکی آسان است ولی پیچیدگی این موضوع در نواحی انتقال (ناحیه‌ای که ذرات دو ماده وجود دارد به گونه‌ای یکی از مواد زمینه است و ذرات دیگری در آن پخش شده است) می‌باشد.(شکل ۲-۱)



شکل ۱-۲: نواحی قابل تعریف در مواد *FG*

در ناحیه انتقال وجود ساختار شبکه‌ای باعث اهمیت موضوع می‌شود به گونه‌ای مطالعات زیادی بررسی خواص در این ناحیه انجام شده است و در نتیجه‌ی این مطالعات عموماً دو نوع نگرش برای این ناحیه بیان می‌شود:

- ۱- تحلیل شکست ذره‌ای برای ساختار شبکه‌ای
- ۲- تحلیل شکست به طور لایه لایه مجزا.

با اتمام این مطالعات نتایج خوبی برای توصیف ناحیه‌ی انتقال مدرج بیان شد، که نشان می‌دهد در این ناحیه خواص با درصد حجمی ذرات تشکیل دهنده‌ی هر جزء رابطه‌ی مستقیم دارد.^[۳]

با توجه به مرجع [۴] تعیین خواص تromo فیزیکی مواد ناهمگن با استفاده از قانون مخلوط‌ها امکان پذیر است. اگرچه این قانون برای مواد نیمه کمی قابل استفاده است ولی در موارد متعددی برای مواد ناهمگن به کار رفته است برای مثال فآن و دیگران از قانون مخلوط‌ها برای پیش‌بینی خواص مکانیکی فاز مرکب استفاده کردند. قانون مخلوط‌ها خواص مکانیکی را برای هر درصد حجمی، هر شکل ذرات و هر توزیع فاز تعیین می‌کند که این تعیین خواص نتایج قابل قبولی در برابر نتایج تجربی داشته است. بدین ترتیب با استفاده از خواص مکانیکی هر یک از اجزا (A و B) می‌توان خواص مکانیکی کل مخلوط را به دست آورد.

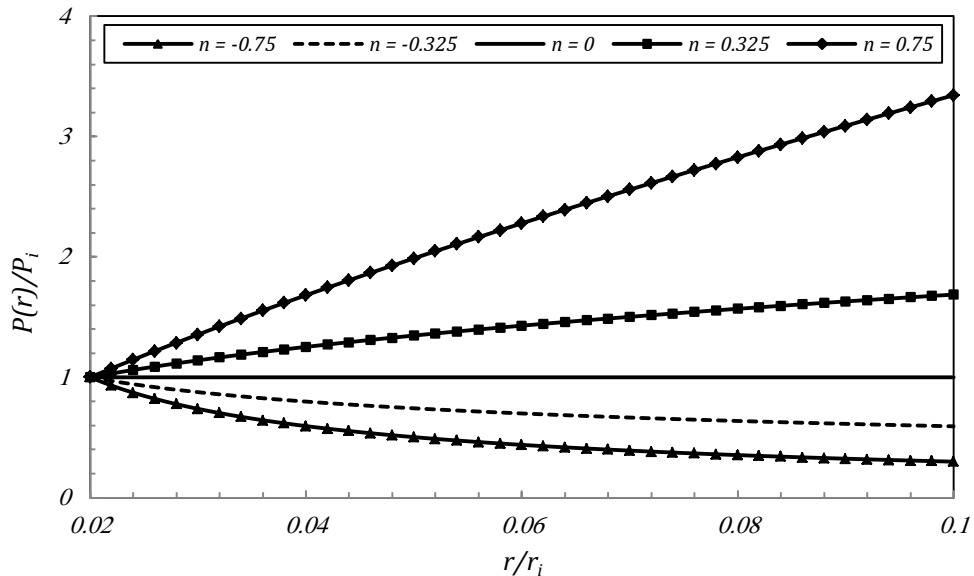
مدل‌های FGM عموماً نیاز به فرض توزیع در راستای معین دارند، این راستا در واقع همان جهت مدرج بودن ساختار ریزدانه‌ای ماده است. اگر در یک FGM که از دو ماده‌ی A و B ساخته شده و در جهت محور X مدرج است برای تعیین خواص را در راستای محور x می‌بایست درصد حجمی در مکان مورد نظر معلوم باشد تا بتوان از قانون مخلوط‌ها خواص در آن راستا تعیین شود. از این رو نیاز به تعریف تابع دیگری به نام درصد حجمی مکانی می‌باشد که این تابع می‌بایست تابعی ساده با توانایی ایجاد تقریر رو به بالا و پایین باشد.

در این پژوهش برای مدل‌سازی ناحیه‌ی انتقال، از دو تابع پر کاربرد در مختصات استوانه‌ای استفاده می‌شود. در ادامه به اختصار این توابع معرفی شده است:

الف) تابع توانی: این تابع به صورت زیر تعریف می‌شود:

$$P(r) = P_i \left(\frac{r}{r_i} \right)^n \quad (1-1)$$

که در آن r_i شعاع داخلی، P_i خواص در شعاع داخلی و n ثابت ناهمگنی می باشد. شکل ۱-۳ نحوه تغییرات خواص در این مدل را به ازای مقادیر مختلف ثابت ناهمگنی نشان داده شده است:



شکل ۱-۳: نحوهٔ تغییرات خواص در تابع توزیع توانی

ملاحظه می‌شود به ازای مقادیر مثبت n تغییرات خواص صعودی و برای مقادیر منفی آن تغییرات نزولی خواهد بود. بعبارت دیگر برای مقادیر مثبت n پروفیل تغییرات ضخامت سهموی و برای مقادیر منفی آن پروفیل تغییرات ضخامت هذلولوی است. با توجه به افزایش خواص به شکل صعودی در n های مثبت در این قسمت می‌بایست محدوده‌ی قابل قبولی انتخاب شود که به خواصی با مقدار زیاد نزدیک نشود. از این رو برای n محدوده‌ی ۰/۷۵ تا ۰/۷۵ توصیه می‌شود.

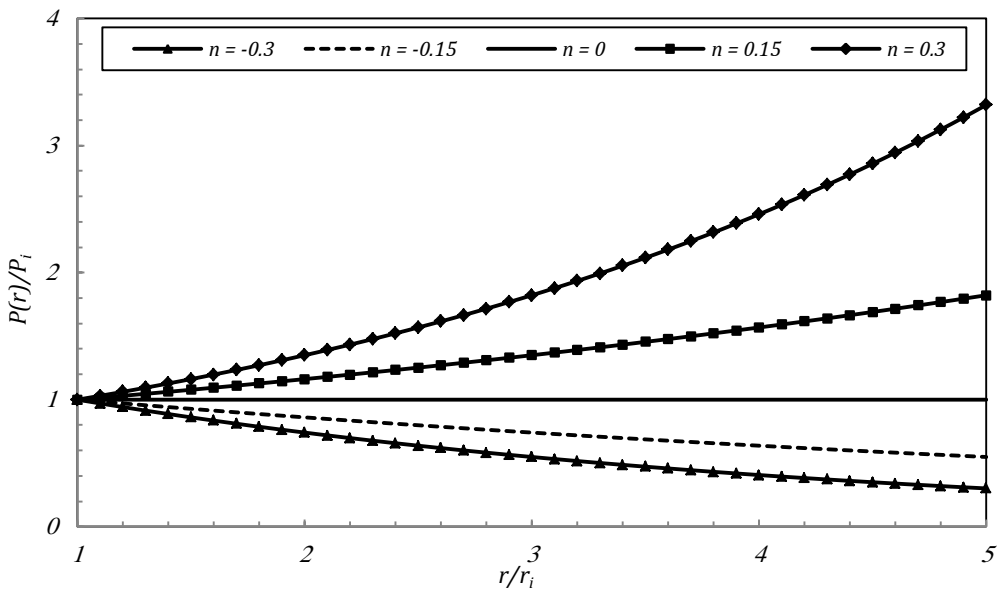
ب) تابع نمایی: این تابع به صورت زیر تعریف می‌شود:

$$P(r) = P^* e^{\bar{n}r} \quad (2-1)$$

که در آن:

$$P^* = P_i e^{-n} , \bar{n} = \frac{n}{r_i} \quad (3-1)$$

می باشد و r_i شعاع داخلی، P_i خواص در شعاع داخلی و n ثابت ناهمگنی می باشد. برای سادگی در نوشتند معادلات از علامت های P^* و \bar{n} استفاده شده است که مفهوم فیزیکی خاصی ندارند. شکل ۴-۱ نحوه تغییرات خواص در این مدل را به ازای مقادیر مختلف ثابت ناهمگنی نشان داده شده است:



شکل ۴-۱: نحوه تغییرات خواص درتابع توزیع نمایی

ملاحظه می شود به ازای مقادیر مثبت n تغییرات خواص صعودی و برای مقادیر منفی آن تغییرات نزولی خواهند بود. همچنین مشابه تابع توزیع توانی در اینجا نیز می بایست n در محدوده $0/0 < n < 3/0$ انتخاب شود.

در این پژوهش برای دو تابع توزیع توانی و نمایی دیسکهای متعددی با توابع ضخامت مختلف تحلیل می شوند. تفاوت عمده‌ی این دو تابع در نحوه تغییرات خواص است بطوریکه در تابع توزیع توانی نمودار به صورت مقرر بوده و در تابع نمایی به صورت محدب تغییر می کند.

۱-۳ تاریخچه‌ی پژوهش در زمینه‌ی دیسک‌های چرخان

اولین مطالعات موجود در زمینه‌ی دیسک‌های چرخان در کتاب *ثئوری الاستیسیتیه* تیمو شنکو ارائه شده است[۵]. در این کتاب معادلات حاکم بر دیسک ایزوتروپ با ضخامت متغیر تحت دوران با سرعت زاویه‌ای ثابت بر مبنای جابجایی مورد بررسی قرار گرفته شده و برای یک حالت خاص تحلیل شده است. با توجه با اهمیت دیسک‌ها در صنایع مختلف در عموم مقالات به بررسی ناهمگنی، تاثیر پروفیل‌ها و حل ترموالاستیک پرداخته می‌شود. می‌توان شروع تحقیقات را در سال ۱۹۶۸ تانگ تعیین کرد که به بررسی تنش‌های حرارتی در دیسک‌های ناهمگن دوار پرداخته است. سوجی و نُدا به بررسی تنش‌های حرارتی حالت- دائم در یک صفحه‌ی متشكل از مواد *FG* و ارائه‌ی یک ساختار بهینه برای مواد *FG* برای کاهش تنش‌های حرارتی پرداخته اند[۶]. اوباتا و دیگران به محاسبه‌ی توزیع تنش‌های حرارتی حاصل از توزیع دمایی در امتداد ضخامت صفحه و بدست آوردن رابطه‌ای بین نسبت حجمی و توزیع دمایی و تنش‌های حرارتی پرداختند[۷]. تاناکا و دیگران ترکیب آنالیز حساسیت مستقیم وروش‌های بهینه سازی آنالیز المان محدود برای ارائه‌ی روش ترموالاستیسیتیه برای کاهش تنش‌های حرارتی در مواد *FG* را ارائه نمودند[۹،۸]. تانیگاوا مرور جامع برآنالیز ترموالاستیسیتیه مواد *FG* داشته است[۱۰]. پاروین و دیگران با استفاده از فرمول‌های المان محدود برای آنالیز ترموالاستیسیتیه‌ی انتقال دمای متقارن محوری برای سیلندر سرامیکی-فلزی *FG* را حل نمودند[۱۱]. زیمرمان و لوتز با استفاده از سری فرووبینیوس تنش‌های حرارتی در یک سیلندر دایروی *FG* با اعمال حرارت یکنواخت را محاسبه نمودند[۱۲]. چانگ و باراتا با استفاده از روش بسط مجانبی به تحلیل سه بعدی تغییر شکل یک صفحه‌ی بیضوی از مواد *FG* پرداخته اند[۱۳]. سانکnar و زنگ حل ترموالاستیسیتیه برای تبر دو بعدی *FG* که در آن ثابت‌های ترموالاستیسیتیه در جهت ضخامت متغیر است، ارائه نمودند[۱۴]. ول و باترا تحلیل سه بعدی ترموالاستیسیتیه‌ی صفحه‌ی مستطیلی که خواص مواد آن با بسط سری تیلور و سری های توانی بیان شده است را ارائه کردند[۱۵،۱۶]. آن‌ها توانستند یک حل دقیق برای تحلیل سه بعدی تنش‌های حرارتی حالت دائم برای صفحه‌ی مستطیلی با یک

تکیه گاه ساده ارائه دهنده کویان و دیگران با استفاده از روش گالرکین برای محاسبه‌ی تغییر شکل ترموماستیستیک برای یک صفحه از مواد FG حل عددی ارائه کردند [۱۷]. اراسلان و آکیس حل بسته برای دیسک و شفت‌ها ای ساخته شده از مواد FG با توزیع توانی و سهموی را ارائه نمودند [۱۸]. نقدآبادی و دیگران دیسک‌های ساخته شده از مواد FG با تابع توزیع توانی تحت گرadiان حرارتی را با روش نیمه تحلیلی ترموماستیک تحلیل نمودند [۱۹]. در داخل کشور نیز تحقیقات متعدد در این زمینه انجام و پایان نامه‌های متعددی ارائه شده است که در غالب فعالیت‌ها از روش‌های عددی برای حالات خاص برای حل این مسئله ارائه شده است.

در سال‌های اخیر نیز تحقیقات گسترده‌ای در دیسک‌های چرخان با ضخامت متغیر تحت گرadiان‌های حرارتی انجام شده است. در سال ۲۰۰۸ بیات و دیگران تنش‌های مکانیکی و حرارتی در دیسک با ضخامت متغیر FG و بارگذاری متقارن را با استفاده از روش حلقه حلقه نمودن محاسبه نمودند [۲۰]. سپس حجتی و جعفری دو نمونه حل تحلیلی برای دیسک با ضخامت متغیر و دانسیته‌ی متغیر را در راستای شعاع ارائه نمودند [۲۱].

در سال ۲۰۰۹ بیات و دیگران حل ترموماستیک برای دیسک‌های ساخته شده از مواد FG را بر پایه تئوری تغییر شکل برشی مرتبه‌ی اول با استفاده از روش لایه‌بندی حلقوی ارائه دادند [۲۲]. در سال ۲۰۱۰ اشرف و زنکور برای حالت خاصی از دیسک‌های ناهمگن با ضخامت متغیر حل دقیق ارائه نمودند [۲۳]. سپس نای و بارتا با استفاده از تابع تنش، دیسک با ضخامت متغیر FG توالی تحت بارگذاری حرارتی خطی را تحلیل نمودند [۲۴]. در سال ۲۰۱۱ نیز متین و دیگران با استفاده از تابع تنش برای دیسک با ضخامت متغیر FG تحت بارگذاری مکانیکی و میدان حرارتی فرضی، حل دقیق ارائه نمودند [۲۵].

در این پژوهش حل ترموماستیک دقیق برای دیسک با تغییرات ضخامت توانی و تابع توزیع توانی ارائه می‌شود که مشابه مرجع [۲۵] بوده با این تفاوت که در این مرجع میدان توزیع دما به صورت خطی در نظر گرفته شده ولی در اینجا حل به صورت ترموماستیک کوپل ارائه می‌شود که تاکنون برای این دیسک‌ها ارائه نشده است.

برای دیسک‌های نمایی که در آن‌ها یا تابع توزیع یا نحوه تغییرات ضخامت نمایی است، با استفاده از روش‌های تحلیلی و نیمه تحلیلی حل ارائه می‌شود که مشابه آن در هیچ یک از مراجع تاکنون آورده نشده است. همچنین معادلات حاکم بر دیسک بر پایه تئوری‌های مختلف استخراج می‌شود و در حالت خاص معادلات حل می‌شوند.

در هر گام از تحلیل نیز به منظور کنترل حل و رابطه‌های بدست آمده، نتایج با حل عددی توسط نرم افزارهای اجزا محدود مقایسه می‌شود.

۱ - ۴ اهداف و تعریف مسئله

در این پژوهش با استفاده از تئوری الاستیسیته می‌توانیم و بر مبنای شرایط تنش صفحه‌ای، معادله‌ی ترمولاستیک حاکم بر دیسک ناهمگن چرخان با خواص وابسته به دما و مکان استخراج می‌گردد و برای حالات خاص که شامل نحوه تغییرات هندسه و خواص می‌باشد مسئله حل می‌شود و نتایج آن ارائه می‌گردد. با توجه به اینکه در مقاطع مختلف دیسک‌هایی با شرایط متفاوت تحلیل می‌شود، به منظور مقایسه‌ی بهتر نتایج از یک خواص ثابت در تمامی تحلیل‌ها استفاده می‌شود، که در جداول زیر خواص این دیسک‌ها آورده شده است:

جدول ۱-۱: خواص فیزیکی و مکانیکی دیسک همگن فولادی

ضریب هدایت حرارتی (W/m °C)	چگالی (kg/m³)	ضریب انبساط (10⁶ °C)	مدول الاستیسیته (GPa)
۲۰	۷۸۰۰	۱۲	۲۰۰

جدول ۱-۲: خواص هندسی دیسک‌های مدل سازی شده

ضخامت خارجی (mm)	شعاع خارجی (mm)	شعاع داخلی (mm)
۱۰	۱۰۰	۲۰

همان طور که بیان شد، دیسک مورد تحلیل در این پژوهش، تحت بارگذاری حرارتی و مکانیکی قرار دارد، که بارگذاری حرارتی ناشی از گرadiان دما در راستای شعاع و بارگذاری مکانیکی شامل دوران و فشار داخلی می باشد که مقادیر آن برای یک حالت خاص به تفکیک در جدول زیر آمده است:

جدول ۱-۳: بارگذاری اعمالی در تمامی دیسک ها

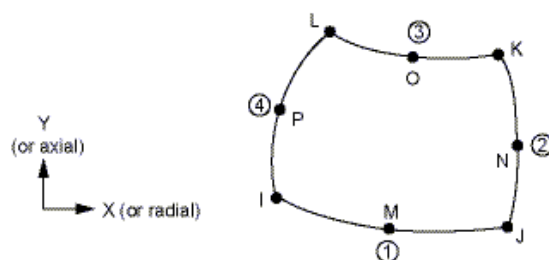
بارگذاری مکانیکی		بارگذاری حرارتی	
فشار داخلی (MPa)	سرعت دوران (rpm)	دما در لایه‌ی خارجی (°C)	دما در لایه‌ی داخلی (°C)
۴۰	۱۰۰۰	۱۰۰	۲۵

در هر گام نیز به منظور اطمینان از فرآیند حل تحلیلی با استفاده از حل عددی مسئله تحلیل و با نتایج تحلیلی مقایسه می‌شود. در این پژوهش برای حل عددی از نرم‌افزار انسیس استفاده شده است. انسیس نرم‌افزاری است که با وجود به بازار آمدن نرم افزارهای تحلیلی پیچیده‌ای مانند کتیا و آباکیوس، هنوز جایگاه و کاربرد خود را به همان شکل سابق حفظ کرده است. پایه‌گذاری نرم‌افزار انسیس در سال ۱۹۷۱ توسط شرکت سوون‌سون انجام گرفت. امروز نرم‌افزار انسیس، نرم افزار کامپیوترا چندمنظوره بسیار پیشرفته اجزای محدود محسوب و شامل بیش از یکصد هزار خطوط کد می‌باشد. از میان توانایی‌های مهم انسیس می‌توان به انجام تحلیل‌های استاتیکی، دینامیکی، انتقال حرارت، جریان سیال و الکترومغناطیس اشاره کرد. یکی از مزایای این نرم افزار مجهز بودن به رابط نموداریکی است که باعث سهولت کار می‌شود و همچنین دسترسی سریع به توابع برنامه، دستورات، مدارک و مراجع اصلی نرم افزار را فراهم می‌سازد [۲۶].

دیسک بررسی شده از این پژوهش، تحت گرadiان حرارتی و فشار داخلی قرار دارد که با سرعت زاویه‌ای ثابتی در حال چرخش است. در نتیجه تنش‌های موجود در دیسک از نوع تنش‌های حرارتی و مکانیکی است که نتیجه نهایی، باید ترکیبی از هر دو نوع این تنش‌ها باشد. از طرفی انسیس نمی‌تواند تنش‌های حرارتی و مکانیکی را با

هم تعریف کند. به عنوان مثال در تحلیل میله تحت فشار که تحت گرadiان حرارتی نیز هست، باید بدین صورت عمل شود که ابتدا دمای تک تک گرهها را به آن وارد کنیم و سپس با بارگذاری مکانیکی، میله را تحلیل کنیم. اشکالات زیادی در سر راه این شیوه کار وجود دارد. مثلاً اگر هندسه شکل مورد بررسی پیچیده باشد یا تعداد گرهها زیاد شود، وارد کردن دمای هر گره در عمل امکان پذیر نیست. برای حل این مشکل روش دیگری را برای حل این نوع مسائل استفاده می کنیم. ابتدا مسئله را بدون درنظر گرفتن نیروهای مکانیکی، به صورت حرارتی حل می کنیم. یعنی حتی المان بندی ما نیز المان بندی حرارتی است. حل چنین مسئله ای در انسیس بسیار آسان است و با وارد کردن دمای دو سر جسم، می توان دما را در هر نقطه ای از آن به دست آورد. در این صورت با اعمال شرایط مرزی حرارتی، می توانیم دمای تمامی گره ها را درسازه به دست آوریم. هنگامی که دمایا به دست آمد، مسئله را با همین شکلی که دارد، از نظر نوع المان تغییر می دهیم. باید دقیق شود که همه ویژگی های مسئله در این تغییر ثابت می ماند و حتی نوع مش بندی نیز تغییری نمی کند. تنها تفاوت ایجاد شده، تبدیل المان حرارتی به المان مکانیکی است، به مجموعه فرآیند های فوق آنالیز کوپل می گویند.^[۲۶]

برای مدل سازی در نرم افزار با توجه به شرایط متقارن محوری موجود در مدل از آنالیز کوپل دو بعدی با شرایط تقارن محوری استفاده می شود. بدین منظور برای حل حرارتی از المان هشت گرهای چهار گوشهای *Plane 77* در شرایط متقارن محوری استفاده شده است که تنها درجه ی آزادی آن دما می باشد، شکل زیر هندسه ای المان و مختصات آن را نشان داده است:



شکل ۱-۵: مختصات و گره های تعریف شده برای المان حرارتی *Plane 77*

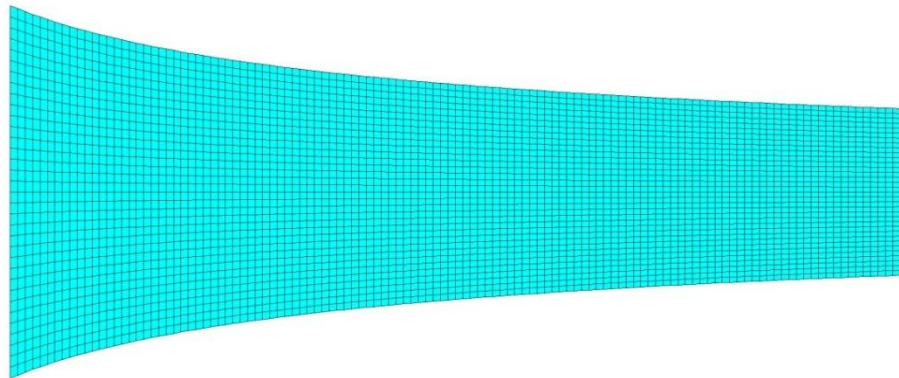
با توجه به اینکه انتخاب المان حل مکانیکی، وابسته به المان حل حرارتی می باشد از المان 183 در شرایط متقارن محوری استفاده می شود، که هندسه‌ی المان مطابق شکل ۵-۱ می باشد و درجات آزادی آن در مختصات استوانه‌ای، در راستای z و r می باشد. به منظور رسیدن به دقت مناسب در حل عددی یک دیسک FG با ضخامت متغیر تحت شرایط ترمومالاستیک برای شبکه‌ها با تعداد المانهای متفاوت حل می‌شود و با استفاده از استقلال شبکه نقطه‌ی بهینه از نظر خطای محاسباتی انتخاب و مسائل تمامی فصول با استفاده از این شبکه تحلیل می‌شود. در جدول ۴-۱ جدول ۴-۱: بررسی تغییرات تعداد المانها با نتایج حاصل از حل عددینتایج حاصل از تغییرات شبکه در دیسک مذکور آورده شده است.

جدول ۴-۱: بررسی تغییرات تعداد المانها با نتایج حاصل از حل عددی

ردیف	تعداد گره‌ها	تعداد المان‌ها	جابجایی بیشینه (mm)	تنش معادل بیشینه (MPa)
۱	۵۶۹	۱۶۰	۰/۱۳۸۸۳	۴۰۷/۸۰
۲	۶۹۱	۲۰۰	۰/۱۳۸۸۳	۴۰۶/۶۳
۳	۲۵۸۱	۸۰۰	۰/۱۳۸۸۳	۴۰۸/۴۶
۴	۷۴۸۱	۲۴۰۰	۰/۱۳۸۸۳	۴۰۸/۵۷
۵	۱۴۷۸۱	۴۸۰۰	۰/۱۳۸۸۳	۴۰۸/۶۴
۶	۲۴۴۸۱	۸۰۰۰	۰/۱۳۸۸۳	۴۰۸/۶۷

نتایج جدول فوق نشان می‌دهد که تعداد شبکه‌ها بر مقدار جابجایی بدست آمده در حل عددی تاثیر بسیار ناچیزی دارند. ولی برای تنشها تاثیر تعداد شبکه‌ها بر روی نتایج محسوس است که این تغییرات برای شبکه‌های بالای ۱۰۰۰ دارای شبکه کنترلی می باشد بطوریکه تنشها در شبکه‌ی ۴۸۰۰ المانی با شبکه‌ی ۸۰۰۰ المانی نزدیک می‌باشد. از این رو برای کاهش خطای افزایش المانها از شبکه‌ی ۴۸۰۰ المانی استفاده می‌شود که دقت قابل قبولی در نتایج دارد.

با توجه به جدول ۱-۴ هندسه‌ی دیسک با ضخامت متغیر با استفاده از المانهای مربعی شبکه بندی شده که با هندسه‌ی دیسک سازگار است و از این رو خطای تغییرات المان با توجه به هندسه‌ی نامتعارف به حداقل رسیده که این موضوع سبب کاهش خطا در روش عددی می‌شود. شکل ۱-۶ نحوه‌ی شبکه بندی دیسک با ضخامت متغیر را در نرم افزار انسیس نشان می‌دهد.



شکل ۱-۶: نحوه‌ی شبکه بندی دیسک همگن فولادی

پس از اعمال شرایط مرزی و رعایت الگوریتم حل کوپل مدل سازی و حل عددی به اتمام می‌رسد و نتایج را برای خط مرکزی دیسک در ۴۰ نقطه استخراج نموده و با حل بدست آمده در هر گام مقایسه خواهد شد.

فصل دوم:

تحلیل ترمو الاستیک دیسک چرخان با ضخامت ثابت

۱ - مقدمه

دیسک‌های با ضخامت ثابت نوع خاصی از دیسک‌های با ضخامت متغیر می‌باشند که خود به تنها یی محدوده‌ی وسیعی از کابرد‌های دیسک را پوشش می‌دهد. در این بخش به بررسی این نوع از دیسک‌ها تحت بارگذاری حرارتی و مکانیکی پرداخته می‌شود.

در قسمت اول به منظور شروع مطالعات در زمینه‌ی دیسک‌ها فرمول‌بندی کاملی با استفاده از تئوری الاستیسته‌ی مستوی در حالت عمومی برای تمامی دیسک‌ها ارائه می‌گردد که قابلیت تعمیم پذیری برای انواع دیسک‌ها با مواد و هندسه‌های مختلف را دارد. هم‌چنین با استفاده از معادلات انتقال حرارت، معادله‌ی حاکم بر توزیع دما در دیسک‌ها در شرایط یکنواخت معرفی می‌گردد.

در قسمت دوم با استفاده از ساده سازی معادلات قسمت اول، دیسک همگن تحت بارگذاری مکانیکی و حرارتی حل می‌شود و حل دقیقی برای آن ارائه می‌شود. به منظور کنترل از نحوه‌ی تحلیل‌های انجام شده در این پژوهش، نتایج حاصله با نتایج حاصل از مدل‌سازی در نرم افزار مقایسه می‌شود. در پایان نیز تاثیر هر یک از بارگذاری‌ها در نتایج حاصل از حل بررسی خواهد شد.

در قسمت سوم دیسک ساخته شده از مواد FG با استفاده از تابع توانی تحلیل می‌شود و حل دقیقی برای آن ارائه می‌گردد و نتایج در هر بارگذاری به طور مجزا بررسی می‌شود. در پایان نیز تاثیر ثابت ناهمگنی تابع توزیع مواد، در نتایج حاصل نشان داده شده و روند تغییرات تجزیه و تحلیل خواهد شد.

۲ - معادله‌ی عمومی حاکم بر دیسک چرخان

در مقالات و کتب مهندسی مکانیک عموماً از دو روش ذیل برای نوشتمن معادله‌ی حاکم برای مسائل مختلف استفاده می‌شود:

۱ - معادلات ناویر (Navier equations)

۲ - معادلات بلترامی میشل (Beltrami – Michel equations)

در معادلات ناویر که در این پژوهش از آن‌ها استفاده شده است، ابتدا با استفاده از قانون دوم نیوتن معادلهٔ تعادل در سیستم نوشته شده و با استفاده از آن رابطهٔ تنش‌ها با یکدیگر بدست می‌آید، سپس با استفاده از روابط رفتاری ماده و سینماتیک رابطهٔ تنش‌ها با جابجایی‌ها بدست آمده و پس از جایگذاری این روابط در معادلهٔ تعادل، معادلهٔ حاکم دیسک بر حسب جابجایی محاسبه و حل می‌شود. در صورتی که شرایط مرزی بر حسب تنش‌ها باشند با استفاده از روابط سینماتیک و رفتاری این شرایط به جابجایی تبدیل شده و مسئلهٔ حل می‌شود به این روش، حل بسته (Closed Form) می‌گویند.

در معادلات بلترامی میشل که در پیوست A به تفصیل به آن اشاره شده است، با استفاده از معادلهٔ تعادل، معادلهٔ حاکم بر حسب تنش حل شده و بقیهٔ مشخصه‌های مکانیکی از تنش‌های محاسبه شده در حل بدست می‌آید.

در ادامه معادلات حاکم بر دیسک با ضخامت متغیر با خواص ناهمگن وابسته به دما و شعاع با استفاده از روش ناویر بدست می‌آید.

۲ - ۱ - ۱ - معادلات تعادل در دیسک با ضخامت متغیر

معادلات تعادل در دیسک با ضخامت متغیر و در مختصات استوانه‌ای در حالت کلی صورت زیر می‌باشد:[۵]

$$\begin{cases} \frac{1}{r} \left(\frac{\partial}{\partial r} (rh(r)\sigma_r) \right) + \frac{h(r)}{r} \frac{\partial \tau_{r\theta}}{\partial \theta} - \frac{h(r)\sigma_\theta}{r} + h(r)F_r = 0 \\ \frac{1}{r} \left(\frac{\partial}{\partial r} (rh(r)\tau_{r\theta}) \right) + h(r) \frac{\partial \tau_{\theta z}}{\partial z} + \frac{h(r)}{r} \frac{\partial \sigma_\theta}{\partial \theta} + \frac{h(r)\tau_{r\theta}}{r} = 0 \\ \frac{1}{r} \left(\frac{\partial}{\partial r} (rh(r)\tau_{rz}) \right) + \frac{h(r)}{r} \frac{\partial \tau_{\theta z}}{\partial \theta} + h(r) \frac{\partial \sigma_z}{\partial z} + h(r)F_z = 0 \end{cases} \quad (1-2)$$

این معادلات در شرایط متقاضی محوری که می‌بایست در هندسه، بارگذاری و خواص فیزیکی و مکانیکی صادق باشد، به صورت زیر ساده می‌شوند:

$$\begin{cases} \frac{1}{r} \left(\frac{\partial}{\partial r} (rh(r)\sigma_r) \right) - h(r) \frac{\sigma_\theta}{r} + h(r)F_r = 0 \\ \frac{1}{r} \left(\frac{\partial}{\partial r} (rh(r)\tau_z) \right) + h(r) \frac{\partial \sigma_z}{\partial z} + h(r)F_z = 0 \end{cases} \quad (2-2)$$

با توجه به برابر نبودن تعداد معلومات و مجهولات در دستگاه معادلات فوق، حل دقیقی برای این دستگاه وجود ندارد. لذا می‌بایست ابتدا وابستگی بین دو معادله از بین رفته تا بتوان با استفاده از روش‌های حل معادلات خطی، حل تحلیلی برای آن ارائه شود.

برای اولین بار در سال ۱۸۵۲ میلادی، لامه با استفاده از تئوری الاستیستهی مستوی برای استوانه‌های جدار ضخیم این دستگاه را حل نمود. در این تئوری فرض می‌شود، مقاطع صاف و عمود پس از بارگذاری صاف و عمود باقی بماند که این فرض باعث صفر شدن کرنش‌های برشی در صفحه می‌شود. صفر بودن کرنش‌های برشی نیز صفر بودن تنش‌های برشی را نتیجه می‌دهد، بنابراین معادله‌ی (۱-۲) نیز به شکل زیر ساده می‌شود:

$$\begin{cases} \frac{1}{r} \left(\frac{\partial}{\partial r} (rh(r)\sigma_r) \right) - h(r) \frac{\sigma_\theta}{r} + h(r)F_r = 0 \\ h(r) \frac{\partial \sigma_z}{\partial z} + h(r)F_z = 0 \end{cases} \quad (3-2)$$

در غیاب نیروهای حجمی در راستای z از جمله اثرات گرانش زمین، می‌توان F_z را برابر صفر فرض کرد. بنابراین معادله‌ی دوم به شکل زیر ساده می‌شود:

$$h(r) \frac{\partial \sigma_z}{\partial z} = 0 \rightarrow \sigma_z = cte \quad (4-2)$$

ملاحظه می شود که معادله‌ی (۴-۲) رفتار تنش را در ضخامت دیسک رصد می کند و نشان می دهد تنش در راستای ضخامت ثابت است. بنابراین نتیجه می‌شود:

$$\begin{cases} \frac{1}{r} \left(\frac{\partial}{\partial r} (rh(r)\sigma_r) \right) - h(r) \frac{\sigma_\theta}{r} + h(r)F_r = 0 \\ \sigma_z = cte \end{cases} \quad (5-2)$$

با توجه به ضخامت کم دیسک نسبت به شعاع آن و سطح آزاد بودن سطوح فوقانی دیسک، تنش در راستای ضخامت نسبت به تنش‌های در راستای شعاع و محیط قابل چشم پوشی است، بنابراین مقدار تنش در راستای ضخامت صفر فرض می‌شود. به عبارت دیگر مسئله با شرایط تنش صفحه‌ای (Plane Stress) تحلیل خواهد شد. بنابراین معادله‌ی دوم از دستگاه معادله‌ی فوق حذف می‌شود.

برای دیسک چرخان با فرض اینکه تنها نیروی حجمی وارد بر دیسک در راستای شعاع، نیروی گریز از مرکز باشد، می‌توان مقدار F_r را برابر $r\rho(r,T)r\omega^2$ در نظر گرفت. بنابراین معادله‌ی حاکم به شکل زیر تبدیل می‌شود:

$$\frac{1}{r} \left(\frac{\partial}{\partial r} (rh(r)\sigma_r) \right) - h(r) \frac{\sigma_\theta}{r} + rh(r)\rho(r,T)\omega^2 = 0 \quad (6-2)$$

که در آن $\rho(r,T)$ چگالی دیسک وابسته به دما و مکان ذرات دیسک می‌باشد. همچنین ω سرعت زاویه‌ای ثابتی است که دیسک حول محور مرکزی خود می‌چرخد.

۲ - ۲ - ۲ - روابط سینماتیک در دیسک ناهمگن

در حالت کلی تغییر شکل‌ها در یک سیستم ناشی از شرایط مکانیکی و حرارتی اعمال شده به آن می‌باشد بنابراین کرنش‌های موجود در سیستم دارای دو پارامتر مکانیکی و حرارتی می‌باشند، از طرفی در حوزه‌ی

الاستیک کرنش مکانیکی دارای یک مولفه‌ی الاستیک خواهد بود، بنابراین برای دیسک در شرایط ترموموالاستیک

رابطه‌ی زیر حاکم است:

$$\varepsilon = \varepsilon^e + \varepsilon^T \quad (7-2)$$

که در آن ε^e کرنش الاستیک و ε^T کرنش حرارتی می‌باشد. در تئوری الاستیسیته‌ی مستوی روابط سینماتیک با

فرض تغییر شکل‌های بسیار کوچک، به شکل زیر می‌باشد:

$$\begin{cases} \varepsilon_r^e = \frac{\partial u_r}{\partial r} \\ \varepsilon_\theta^e = \frac{1}{r} \frac{\partial u_\theta}{\partial \theta} + \frac{u_r}{r} \\ \varepsilon_z^e = \frac{\partial u_z}{\partial z} \end{cases} \quad (8-2)$$

در آن u_r جابجایی شعاعی، u_θ جابجایی محیطی و u_z جابجایی در راستای محور z می‌باشد. این روابط در

شرایط متقارن محوری به شکل زیر ساده می‌شوند:

$$\begin{cases} \varepsilon_r^e = \frac{du_r}{dr} \\ \varepsilon_\theta^e = \frac{u_r}{r} \\ \varepsilon_z^e = \frac{du_z}{dz} \end{cases} \quad (9-2)$$

با فرض اینکه گرادیان حرارتی ناشی از اختلاف دما در راستای شعاع باشد، کرنش حرارتی نیز فقط در راستای

شعاع بوده و مقدار آن از رابطه‌ی زیر قابل محاسبه است:

$$\varepsilon^T = \alpha(r, T) (T(r) - T_{ref}) = \alpha(r, T) \Delta T(r) \quad (10-2)$$

که در آن $\alpha(r, T)$ ضریب انبساط بوده و می‌تواند تابعی از شعاع و دما باشد. همچنین $T(r)$ تابع توزیع دما و

دما مرجع می‌باشد.

۲ - ۲ - ۳ معادلات رفتاری در دیسک ناهمگن

در حالت کلی با توجه به روابط لامه، معادلات رفتاری در هر ماده به شکل زیر خواهد بود: [۲۷]

$$\sigma_{ij} = \lambda \delta_{ij} \varepsilon_{kk}^e + 2\mu \varepsilon_{ij}^e - (3\lambda + 2\mu) \delta_{ij} \varepsilon^T \quad (11-2)$$

که در آن λ و μ ثوابت لامه بوده و از رابطه‌ی زیر قابل محاسبه هستند:

$$\lambda = \frac{\nu E(r,T)}{(1+\nu)(1-2\nu)}, \mu = \frac{E(r,T)}{2(1+\nu)} \quad (12-2)$$

که $E(r,T)$ مدول الاستیسیته وابسته به زمان و شعاع می‌باشد. همچنین ν ضریب پواسون است و با توجه به اینکه در دما و شعاع‌های مختلف تغییرات نامحسوسی دارد، لذا مقدار آن در تمامی شرایط حرارتی و مکانی ثابت فرض می‌شود. با جایگذاری روابط فوق در (11-2) بدست می‌آید:

$$\sigma_i = \frac{E(r,T)}{(1+\nu)(1-2\nu)} \left\{ (1-\nu) \varepsilon_i + \nu (\varepsilon_j + \varepsilon_k) \right\} - \frac{E(r,T)}{(1-2\nu)} \varepsilon^T \quad (13-2)$$

با بسط معادله‌ی فوق، می‌توان رابطه‌ی تنش‌ها با کرنش‌ها را به صورت زیر نوشت:

$$\begin{Bmatrix} \sigma_r \\ \sigma_\theta \\ \sigma_z \end{Bmatrix} = \frac{E(r,T)}{(1+\nu)(1-2\nu)} \begin{bmatrix} (1-\nu) & \nu & \nu \\ \nu & (1-\nu) & \nu \\ \nu & \nu & (1-\nu) \end{bmatrix} \begin{Bmatrix} \varepsilon_r^e \\ \varepsilon_\theta^e \\ \varepsilon_z^e \end{Bmatrix} - \frac{E(r,T) \alpha(r,T) \Delta T(r)}{(1-2\nu)} \begin{Bmatrix} 1 \\ 1 \\ 1 \end{Bmatrix} \quad (14-2)$$

با توجه به فرض تنش صفحه‌ای می‌توان کرنش در راستای ضخامت را بر حسب کرنش‌های شعاعی و محیطی محاسبه نمود:

$$\sigma_z = 0 \rightarrow \left\{ (1-\nu) \varepsilon_z + \nu (\varepsilon_\theta + \varepsilon_r) \right\} - (1+\nu) \varepsilon^T = 0 \rightarrow \varepsilon_z = \frac{(1+\nu)}{(1-\nu)} \varepsilon^T - \frac{\nu}{(1-\nu)} (\varepsilon_\theta + \varepsilon_r) \quad (15-2)$$

با جایگذاری عبارت فوق در (13-2) رابطه‌ی زیر بدست می‌آید:

$$\begin{aligned}\sigma_i &= \frac{E(r,T)}{(1+\nu)(1-2\nu)} \left\{ (1-\nu)\varepsilon_i + \nu \left(\varepsilon_j + \left(\frac{(1+\nu)}{(1-\nu)} \varepsilon^T - \frac{\nu}{(1-\nu)} (\varepsilon_i + \varepsilon_j) \right) \right) \right\} - \frac{E(r,T)}{(1-2\nu)} \varepsilon^T \\ &= \frac{E(r,T)}{(1-\nu^2)} \{ \varepsilon_i + \nu \varepsilon_j \} - \frac{E(r,T)}{(1-\nu)} \varepsilon^T\end{aligned}\quad (16-2)$$

با بسط معادلات فوق و با استفاده از (۱۱-۲) و (۹-۲)، می‌توان رابطه‌ی تنش‌ها را بر حسب جابجایی به صورت

زیر ساده نمود:

$$\begin{Bmatrix} \sigma_r \\ \sigma_\theta \end{Bmatrix} = \frac{E(r,T)}{(1-\nu^2)} \begin{bmatrix} 1 & \nu \\ \nu & 1 \end{bmatrix} \begin{Bmatrix} \frac{du_r}{dr} \\ \frac{u_r}{r} \end{Bmatrix} - \frac{E(r,T) \alpha(r,T) \Delta T(r)}{(1-\nu)} \begin{Bmatrix} 1 \\ 1 \end{Bmatrix} \quad (17-2)$$

حال با قراردادن رابطه‌ی فوق در معادله‌ی (۶-۲) معادله تعادل بر حسب جابجایی بدست می‌آید، که پس از

ساده‌سازی به شکل زیر تبدیل می‌شود:

$$A_1 \frac{d^2 u_r}{dr^2} + A_2 \frac{du_r}{dr} + A_3 u_r + A_4 = 0 \quad (18-2)$$

که در آن:

$$\begin{aligned}A_1 &= rh(r)E(r,T) \\ A_2 &= \frac{d}{dr}(rh(r)E(r,T)) \\ A_3 &= -\frac{h(r)E(r,T)}{r} + \nu \frac{d}{dr}(h(r)E(r,T)) \\ A_4 &= r(1+\nu) \left\{ (1-\nu)h(r)\rho(r,T)r\omega^2 - \frac{d}{dr}(h(r)E(r,T)\alpha(r,T)\Delta T(r)) \right\}\end{aligned}\quad (19-2)$$

می‌باشد. این معادله را به صورت اشتورم لیویل نیز می‌توان نوشت که به شکل زیر خواهد بود:

$$\frac{d}{dr} \left(A_1 \frac{du_r}{dr} \right) + A_3 u + A_4 = 0 \quad (20-2)$$

معادله‌ی فوق برای حل نیاز به دو شرط مرزی دارد که با توجه به نوع معادله می‌بایست از نوع جابجایی یا مشتقات آن باشد.

۲ - ۲ - ۴ معادله انتقال حرارت در دیسک ناهمگن با ضخامت متغیر

اگر یک المان در مختصات استوانه‌ای در نظر بگیریم، در زمان ثابت (شرایط یکنواخت) و با فرض اینکه که تولید حرارت وجود نداشته باشد، با توجه به قانون اول ترمودینامیک می‌بایست شار ورودی و خروجی در این المان ثابت باشد. با فرض متقارن محوری بودن در بارگذاری و عدم وجود گرادیان دما در راستای ضخامت فقط شار در راستای شعاع وجود دارد، از این رو داریم:

$$q_r = q_{r+dr} \quad (21-2)$$

که در آن q_r شار حرارتی بوده و از رابطه‌ی زیر قابل محاسبه است:

$$q_r = -k(r, T)A \frac{dT}{dr} = -k(r, T)[h(r)rd\theta] \frac{dT}{dr} \quad (22-2)$$

که در آن $k(r, T)$ ضریب هدایت حرارتی می‌باشد و مشابه خواص قبلی وابسته به مکان و دما می‌باشد. از طرفی با توجه به بسط تیلور داریم:

$$q_{r+dr} = q_r + \frac{dq_r}{dr}dr = q_r + \frac{d}{dr} \left(k(r, T) \{h(r)rd\theta\} \frac{dT}{dr} \right) dr \quad (23-2)$$

با ساده سازی روابط فوق، خواهیم داشت:

$$\frac{d}{dr} \left(k(r, T)h(r)r \frac{dT}{dr} \right) = 0 \quad (24-2)$$

معادله‌ی (24-2)، معادله‌ی انتقال حرارت دیسک در حالت کلی می‌باشد. با دوبار انتگرال گیری از این معادله خواهیم داشت:

$$T(r) = c_1 \int_{r_i}^r \frac{dr}{rh(r)k(r,T)} + c_2 \quad (25-2)$$

برای بدست آوردن تابع توزیع دما نیاز به دو شرط مرزی از جنس دما یا مشتقات آن نظیر شار حرارتی می‌باشد.

اگر شرایط مرزی به گونه‌ای باشد که سطح داخلی در معرض دمای T_i و سطح خارجی در معرض دمای T_o قرار

داشته باشد، توزیع دما در دیسک به صورت زیر خواهد بود:

$$T(r) = T_i \left(1 - \frac{\int_{r_i}^r \frac{dr}{rh(r)k(r,T)}}{\int_{r_i}^{r_o} \frac{dr}{rh(r)k(r,T)}} \right) + T_o \left(\frac{\int_{r_i}^r \frac{dr}{rh(r)k(r,T)}}{\int_{r_i}^{r_o} \frac{dr}{rh(r)k(r,T)}} \right) \quad (26-2)$$

با توجه به اینکه در معادله‌ی کرنش حرارتی عبارت $\Delta T(r)$ را داریم می‌بایست معادله‌ی فوق به صورت

$\Delta T(r)$ تبدیل شود. برای سادگی دمای مرجع را برابر دمای سطح داخلی در نظر می‌گیریم:

$$\text{if } T_{ref} = T_i \Rightarrow \Delta T(r) = (T_o - T_i) \left(\frac{\int_{r_i}^r \frac{dr}{rh(r)k(r,T)}}{\int_{r_i}^{r_o} \frac{dr}{rh(r)k(r,T)}} \right) \quad (27-2)$$

۲ - ۳ حل ترموموالاستیک دیسک همگن با ضخامت ثابت

در بخش قبل معادله‌ی حاکم بر دیسک با ضخامت متغیر در حالت کلی بدست آمد که برای مواد ناهمگن

وابسته به دما به صورت معادله‌ی (۱۸-۲) ارائه شد. در این قسمت به ساده‌ترین حالت آن معادله که دیسک

همگن با ضخامت ثابت است پرداخته می‌شود.

با توجه به اینکه ضخامت در تمامی نقاط دیسک ثابت می‌باشد لذا عبارت ضخامت از طرفین معادله (۱۸-۲)

حذف می‌شود. بدیهی است که در ماده‌ی همگن خواصی از قبیل مدول الاستیسیته، چگالی، ضریب انبساط و

هدایت حرارتی در تمامی مکان‌ها ثابت هستند، بنابراین عبارات مربوط به آن‌ها ثابت فرض می‌شوند. بدین

ترتیب ضرایب معادله‌ی دیفرانسیل (۱۹-۲) با ساده‌سازی به شکل زیر تبدیل می‌شود.

$$\begin{aligned} A_1 &= r^2 \\ A_2 &= r \\ A_3 &= -1 \end{aligned} \quad (28-2)$$

$$A_4 = r^2(1+\nu) \left\{ \frac{(1-\nu)\rho_0 r \omega^2}{E_0} - \alpha_0 \frac{d}{dr}(\Delta T(r)) \right\}$$

که در آن E_0 مدول الاستیسیته، ρ_0 چگالی و α_0 ضریب انبساط حرارتی است که در تمامی نقاط دیسک ثابت می باشد.

۱ - ۳ - ۲ حل حرارتی

معادله توزیع در دیسک همگن با ضخامت ثابت با توجه به (۲۷-۲) به شکل زیر ساده می شود:

$$\Delta T(r) = \left(\frac{\int_{r_i}^r \frac{dr}{r}}{\int_{r_o}^{r_i} \frac{dr}{r}} \right) (T_o - T_i) \quad (29-2)$$

بنابراین خواهیم داشت:

$$\Delta T(r) = \left(\frac{(T_o - T_i)}{(\ln(r_o) - \ln(r_i))} \right) (\ln(r) - \ln(r_i)) \quad (30-2)$$

۶

$$\frac{d(\Delta T(r))}{dr} = \frac{1}{r} \left(\frac{(T_o - T_i)}{(\ln(r_o) - \ln(r_i))} \right) \quad (31-2)$$

می باشد. با جایگذاری (۳۱-۲) در (۲۸-۲) خواهیم داشت:

$$A_4 = r(1+\nu) \left\{ \frac{(1-\nu)\rho_0 r^2 \omega^2}{E_0} - \frac{\alpha_0(T_o - T_i)}{\ln(r_o) - \ln(r_i)} \right\} \quad (32-2)$$

بنابراین معادله‌ی ترمولاستیک دیفرانسیل حاکم بر دیسک همگن با ضخامت ثابت، به صورت زیر تبدیل می

شود:

$$r^2 \frac{d^2 u_r}{dr^2} + r \frac{du_r}{dr} - u_r = F(r) \quad (33-2)$$

که در آن:

$$F(r) = -r(1+\nu) \left[\frac{(1-\nu)\rho_0 r^2 \omega^2}{E_0} - \frac{\alpha_0 (T_o - T_i)}{\ln\left(\frac{r_o}{r_i}\right)} \right] \quad (34-2)$$

می باشد. معادله‌ی (33-2)، معادله‌ی دیفرانسیل مرتبه‌ی دوم ناهمگن با ضرایب متغیر می باشد.

۲ - ۳ - ۲ حل تحلیلی

معادله‌ی (33-2) را می توان به شکل زیر نوشت:

$$\frac{d}{dr} \left[\frac{1}{r} \frac{d}{dr} (ru_r) \right] = \frac{F(r)}{r^2} \quad (35-2)$$

با دوبار انتگرال گیری از معادله فوق خواهیم داشت:

$$u_r = \frac{1}{r} \int \left[r \int \frac{F(r)}{r^2} dr \right] dr + C_1 r + \frac{C_2}{r} \quad (36-2)$$

که در آن:

$$\begin{aligned} \frac{1}{r} \int \left[r \int \frac{F(r)}{r^2} dr \right] dr &= \frac{-1}{r} \int \left[\frac{(1-\nu^2)\rho_0 r^3 \omega^2}{2E_0} + \frac{\alpha_0(1+\nu)(T_o - T_i)}{2(\ln(r_o) - \ln(r_i))} r \ln(r) \right] dr \\ &= -\frac{(1-\nu^2)\rho_0 r^3 \omega^2}{8E_0} + \frac{\alpha_0(1+\nu)(T_o - T_i)}{2(\ln(r_o) - \ln(r_i))} r \ln(r) \end{aligned} \quad (37-2)$$

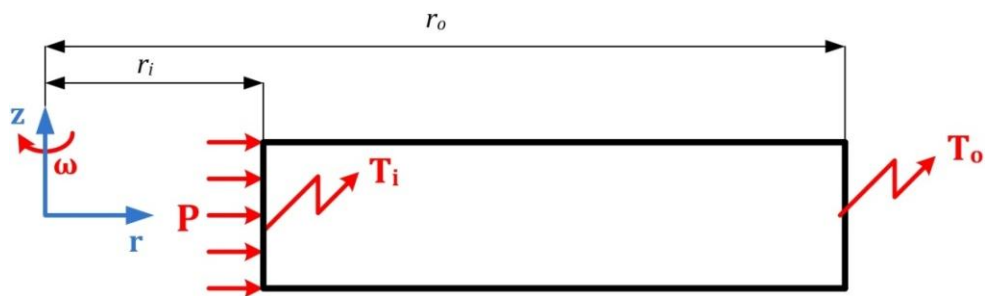
می باشد. بنابراین حل کلی مسئله نیز به شکل زیر خواهد بود:

$$u_r = C_1 r + \frac{C_2}{r} + \frac{(v^2 - 1)\rho_0\omega^2}{8E_0} r^3 + \frac{\alpha_0(1+v)(T_o - T_i)}{2\ln\left(\frac{r_o}{r_i}\right)} r \ln(r) \quad (38-2)$$

معادله‌ی فوق دارای دو ثابت مجهول می باشد. بنابراین برای حل نیاز به دو شرط مرزی دارد که در قسمت بعدی به آن پرداخته می شود.

۳ - ۳ - ۲ شرایط مرزی

دیسک مورد بحث در این پژوهش تحت گرادیان حرارتی، فشار داخلی و دوران می باشد که شکل زیر جزیيات آن را نمایش می دهد:



شکل ۱-۲: بارگذاری در دیسک با ضخامت ثابت

با توجه به شکل ۱-۲ شرایط مرزی دیسک در لایه‌ی داخلی و خارجی به شکل زیر خواهد بود:

$$\begin{cases} \sigma_r \Big|_{r=r_i} = -P \\ \sigma_r \Big|_{r=r_o} = 0 \end{cases} \quad (39-2)$$

با توجه به معادله (۱۷-۲) داریم:

$$\sigma_r = \frac{E_0}{(1-v^2)} \left(\frac{du_r}{dr} + v \frac{u_r}{r} - \alpha_0(1+v)\Delta T(r) \right) \quad (40-2)$$

$$u_r = C_1 r + \frac{C_2}{r} + \frac{(v^2 - 1)\rho_0\omega^2}{8E_0} r^3 + \frac{\alpha_0(1+v)(T_o - T_i)}{2\ln\left(\frac{r_o}{r_i}\right)} r \ln(r) \quad (41-2)$$

$$\Delta T(r) = \frac{(T_o - T_i)}{\ln\left(\frac{r_o}{r_i}\right)} \ln\left(\frac{r}{r_i}\right)$$

برای سادگی در تحلیل می توان تابع جابجایی شعاعی را به شکل زیر نوشت:

$$u_r = C_1 r + \frac{C_2}{r} + D_1 r^3 + D_2 r \ln(r) \quad (42-2)$$

بدین ترتیب مشتق آن برابر است با:

$$\frac{du_r}{dr} = C_1 - \frac{C_2}{r^2} + 3D_1 r^2 + D_2 (\ln(r) + 1) \quad (43-2)$$

با جایگذاری روابط فوق در (40-2) تابع تنش شعاعی به شکل زیر ساده می شود:

$$\sigma_r = \frac{E_0}{(1-v^2)} \begin{cases} \left((1+v)C_1 - \frac{(1-v)C_2}{r^2} + (3+v)D_1 r^2 + D_2 (1+v) \ln(r) \right) \\ - \frac{\alpha_0(1+v)(T_o - T_i)}{\ln\left(\frac{r_o}{r_i}\right)} \ln\left(\frac{r}{r_i}\right) \end{cases} \quad (44-2)$$

بنابراین شرایط مرزی به شکل زیر تبدیل می شود:

$$\sigma_r \Big|_{r=r_i} = \frac{E_0}{(1-v^2)} \left((1+v)C_1 - \frac{(1-v)C_2}{r_i^2} + (3+v)D_1 r_i^2 + D_2 (1+v) \ln(r_i) + A_2 \right) = -P$$

$$\sigma_r \Big|_{r=r_o} = \frac{E_0}{(1-v^2)} \left((1+v)C_1 - \frac{(1-v)C_2}{r_o^2} + (3+v)D_1 r_o^2 + D_2 (1+v) \ln(r_o) + A_2 \right) = 0 \quad (45-2)$$

$$-\alpha_0(1+v)(T_o - T_i)$$

که به صورت دستگاه معادلات زیر خواهد بود:

$$\begin{bmatrix} (1+\nu) & -\frac{(1-\nu)}{r_i^2} \\ (1+\nu) & -\frac{(1-\nu)}{r_o^2} \end{bmatrix} \begin{Bmatrix} C_1 \\ C_2 \end{Bmatrix} = - \begin{Bmatrix} \frac{P(1-\nu^2)}{E_0} + (3+\nu)D_1 r_i^2 + D_2 (1+\nu) \ln(r_i) + A_2 \\ (3+\nu)D_1 r_o^2 + D_2 (1+\nu) \ln(r_o) + D_2 - \alpha_0 (1+\nu)(T_o - T_i) \end{Bmatrix} \quad (46-2)$$

که با حل دستگاه معادلات خطی C_1 و C_2 به شکل زیر بدست می‌آیند:

$$C_1 = \frac{(r_o r_i)^2}{(1+\nu)(r_o^2 - r_i^2)} \begin{Bmatrix} \frac{1}{r_i^2} \left[(3+\nu)D_1 r_o^2 + D_2 (1+\nu) \ln(r_o) + D_2 - \alpha_0 (1+\nu)(T_o - T_i) \right] \\ -\frac{1}{r_o^2} \left[\frac{P(1-\nu^2)}{E_0} + (3+\nu)D_1 r_i^2 + D_2 (1+\nu) \ln(r_i) + D_2 \right] \end{Bmatrix} \quad (47-2)$$

$$C_2 = \frac{-(r_o r_i)^2}{(1-\nu)(r_o^2 - r_i^2)} \left\{ \frac{P(1-\nu^2)}{E_0} + (3+\nu)D_1 (r_i^2 - r_o^2) + D_2 (1+\nu) \ln\left(\frac{r_i}{r_o}\right) - \alpha_0 (1+\nu)(T_o - T_i) \right\}$$

که در آن:

$$D_1 = \frac{(\nu^2 - 1)\rho_0 \omega^2}{8E_0}$$

$$D_2 = \frac{\alpha_0 (1+\nu)(T_o - T_i)}{2 \ln\left(\frac{r_o}{r_i}\right)} \quad (48-2)$$

می‌باشد.

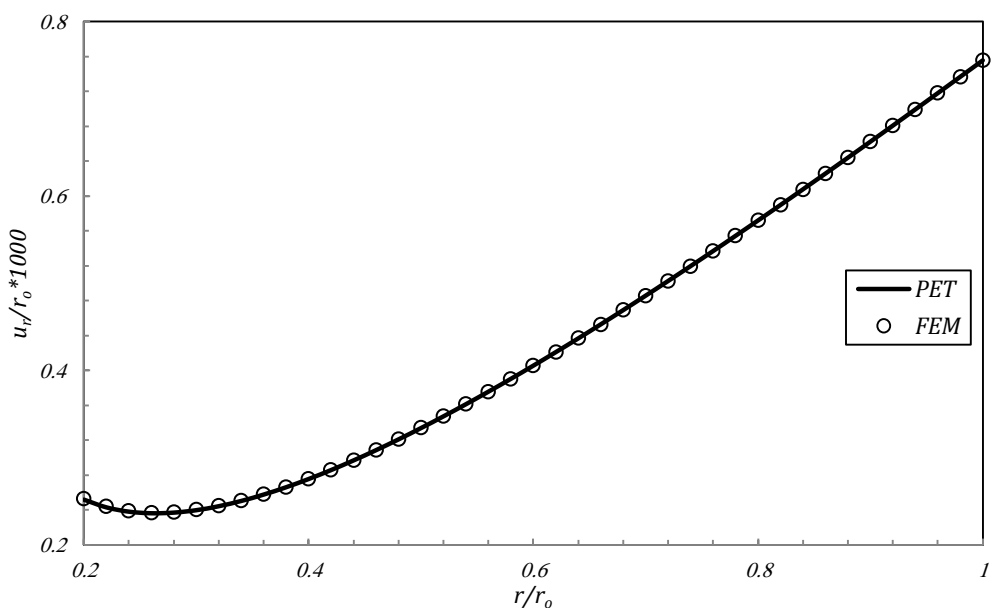
۲ - ۴ - بررسی نتایج حل دیسک همگن با ضخامت ثابت

در قسمت قبل حل پارامتریک برای دیسک همگن با ضخامت ثابت ارائه گردید. با توجه به اینکه از تئوری الاستیسیته می‌باشد، استفاده شده است، بنابراین حل ارائه شده حل دقیق می‌باشد. در این بخش به ارائه نتایج حاصل از تحلیل در قسمت قبل با توجه به جدول‌های ۱-۳ تا ۱-۱ پرداخته می‌شود:

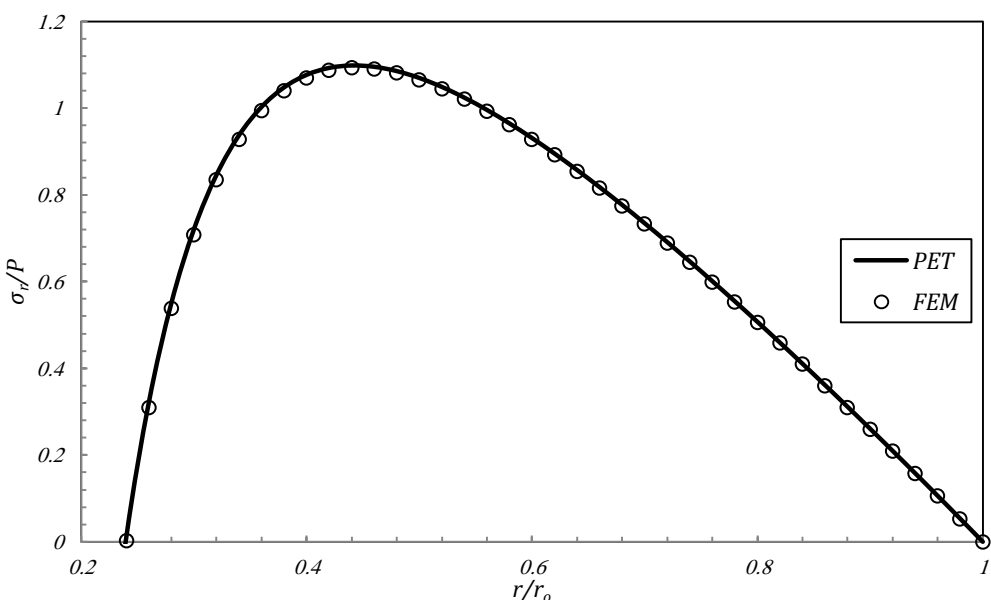
۲-۴-۱ مقایسه نتایج با حل عددی

همانطور که بیان شد حل تحلیلی بر پایه فرمولبندی ناویر، از هر حل موجود دقیق‌تری دارد، ولی برای کنترل نتایج بدست آمده آنرا با حل عددی مقایسه و در صورت انطباق به بررسی نمودارهای بدست آمده پرداخته شود.

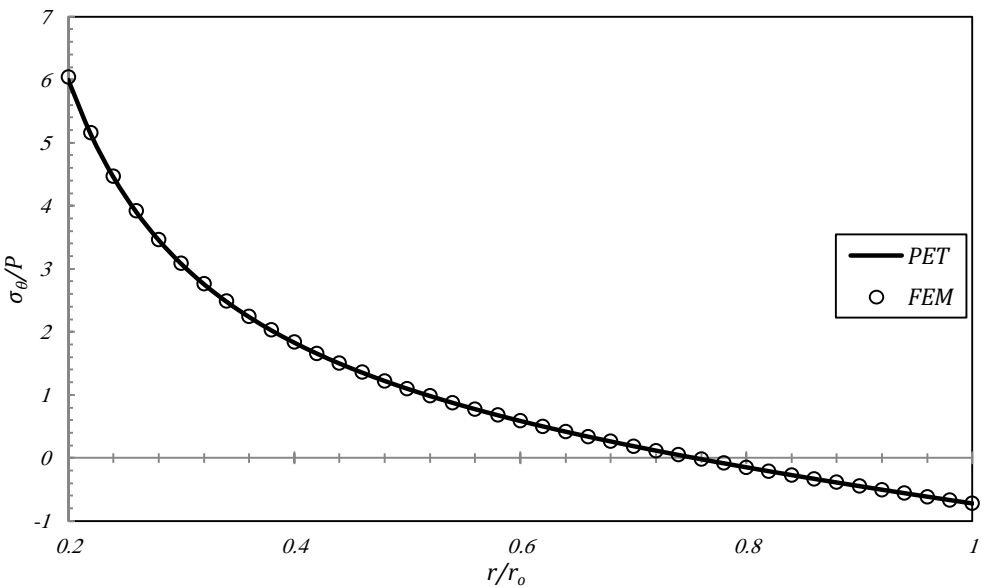
شکل‌های (۲-۲) تا (۴-۲) به مقایسه حل عددی و حل تحلیلی می‌پردازد:



شکل ۲-۲ : مقایسه ای توزیع جابجایی شعاعی حل تحلیلی با حل عددی (دیسک همگن با ضخامت ثابت)



شکل ۳-۲ : مقایسه ای توزیع تنش شعاعی حل تحلیلی با حل عددی (دیسک همگن با ضخامت ثابت)

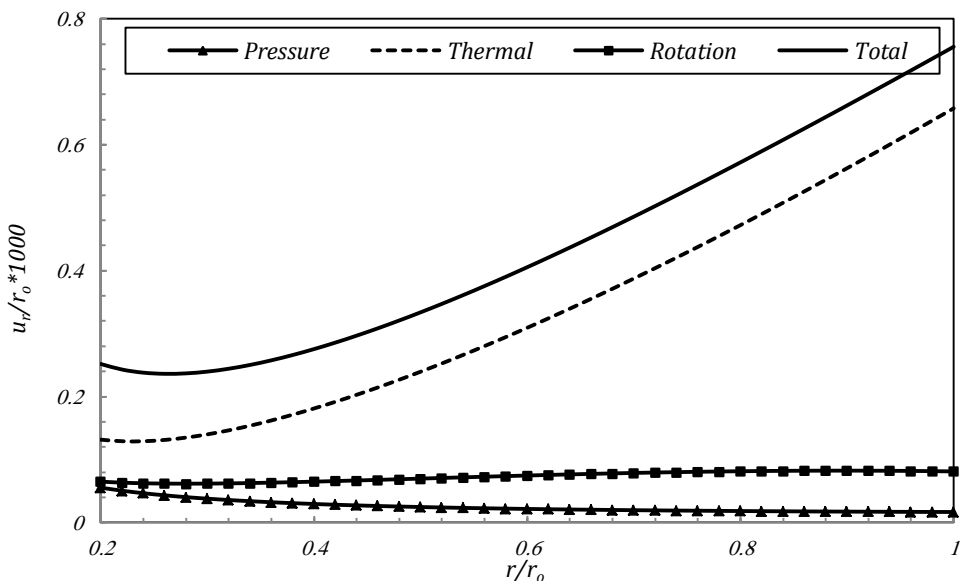


شکل ۴-۲ : مقایسه‌ی توزیع تنش محیطی حل تحلیلی با حل عددی (دیسک همگن با ضخامت ثابت)

نتایج ارائه شده در نمودارها به خوبی انطباق حل تحلیلی و عددی را نشان می‌دهد.

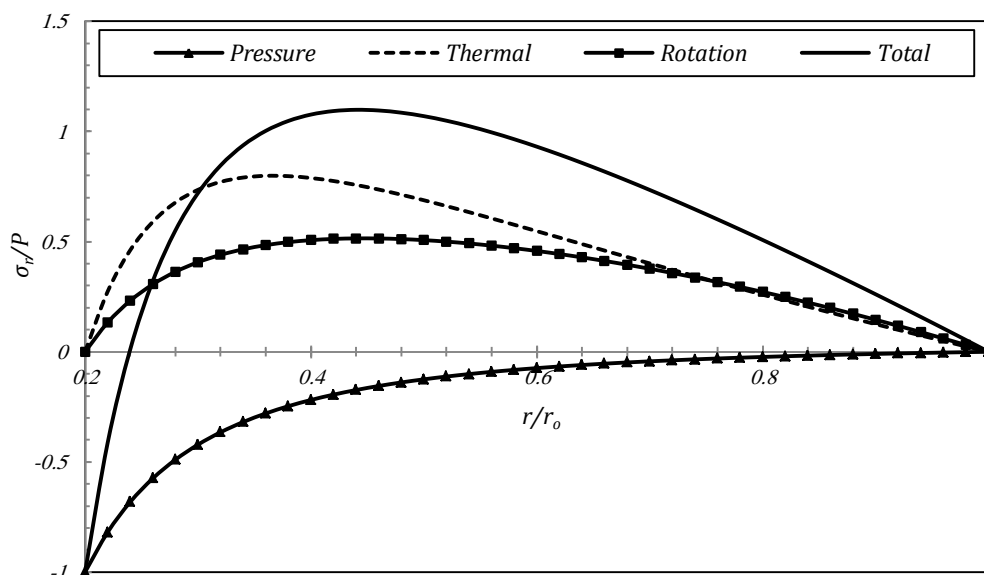
۲ - ۴ - ۲ بررسی تاثیر هر بارگذاری در توزیع مشخصه‌های مکانیکی

شکل ۵-۲ تغییرات جابجایی شعاعی را در راستای شعاع نشان می‌دهد:



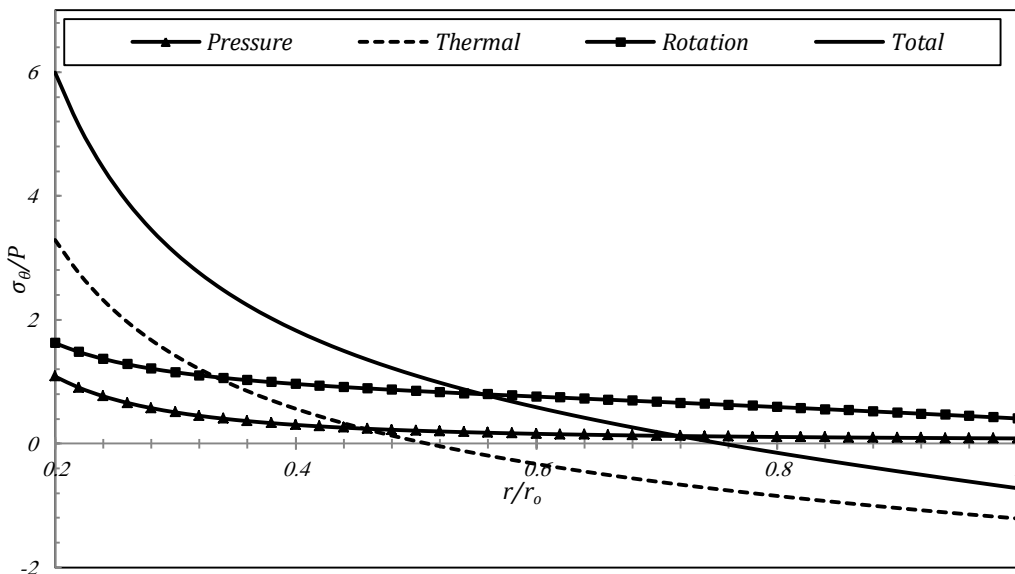
شکل ۵-۲ : نحوه‌ی توزیع جابجایی شعاعی در بارگذاریهای مختلف (دیسک همگن با ضخامت ثابت)

در شکل ۵-۲ مشاهده می‌شود که قدرمطلق جابجایی ناشی از گرادیان حرارتی بر بارگذاریهای دیگر غلبه دارد. با توجه به اینکه دما در دیسک با افزایش شعاع افزایش می‌یابد، تغییرات جابجایی ناشی از گرادیان حرارتی به صورت صعودی رفتار می‌کند. در بارگذاری ناشی از دوران تغییرات جابجایی شعاعی در لایه‌های داخلی دیسک نزولی، سپس تا نواحی نزدیک به دیسک صعودی شده و دوباره تغییرات به شکل نزولی تغییر وضع می‌دهد. با توجه به اینکه نیروی گریز از مرکز به دو عامل جرم و شعاع وابسته است این تغییرات منطقی به نظر میرسد بطوریکه عامل شعاع باعث صعودی شدن تغییرات شده و عامل کاهش جرم بین لایه‌های مجاور که در سطوح داخلی و خارجی اتفاق می‌افتد سبب نزولی شدن رابطه می‌شود. بنابراین نمودار جابجایی دارای یک مینیمم نسبی و یک بیشینه نسبی می‌باشد. تغییرات جابجایی شعاعی ناشی از فشار داخلی، در کل دیسک با افزایش شعاع کاهش می‌یابد بنابراین در لایه‌های داخلی مقدار آن بیشینه است. با جمع کردن تمامی جابجایی‌های شعاعی ناشی از بارگذاریها ملاحظه می‌شود، در غالب لایه‌ها تغییرات به صورت صعودی می‌باشد، فقط در لایه‌های داخلی گرادیان جابجایی شعاعی ناشی از فشار بر جابجایی کل غلبه دارد و رفتار کلی نزولی می‌باشد. شکل ۶-۲ توزیع تنش شعاعی نرمال را در راستای شعاع نشان می‌دهد:



شکل ۶-۲ : نحوه توزیع تنش شعاعی در بارگذاریهای مختلف (دیسک همگن با ضخامت ثابت)

در شکل ۷-۲، مشاهده می‌شود که تنش های شعاعی ناشی از گرادیان حرارتی و دوران رفتاری مشابه دارد. با توجه به سطح آزاد بودن سطوح دیسک در شعاع داخلی و خارجی، در این دو ناحیه تنش صفر بوده و بقیه لایه‌ها تحت کشش ناشی از جابجایی شعاعی می‌باشد بنابراین تنش بیشینه در لایه‌های میانی رخ می‌دهد. در تنش ناشی از فشار داخلی، نحوه تغییرات قدر مطلق تنش به صورت نزولی می‌باشد به گونه‌ای که فشار داخلی تمامی لایه‌ها را تحت فشار قرار می‌دهد. با استفاده از جمع آثار رفتار برآیند نیروها به شکلی است که لایه‌های داخلی تحت فشار و لایه‌های خارجی تحت کشش قرار دارد. نکته‌ی قابل توجه در تنش شعاعی این است که برخلاف نتایج جابجایی شعاعی، بارگذاری ناشی از گرادیان حرارت بارگذاری غالب نمی‌باشد و هریک از بارگذاری‌ها سهم مساوی در تغییرات تنش شعاعی داشته است. شکل ۷-۲ توزیع تنش شعاعی نرمال را در راستای شعاع نشان می‌دهد:



شکل ۷-۲: نحوه توزیع تنش محیطی در بارگذاری‌های مختلف (دیسک همگن با ضخامت ثابت)

شکل ۷-۲ نشان می‌دهد که تنش محیطی ناشی از گرادیان حرارتی، تنش محیطی غالب می‌باشد و رفتار تنش‌های محیطی تمامی بارگذاری‌های تحت تاثیر این بارگذاری می‌باشد. در بارگذاری ناشی از گرادیان حرارتی لایه‌های داخلی تحت کشش و لایه‌های بیرونی تحت فشار قرار دارد و محل تغییر نوع تنش در $r/r_o=0.5$ می

باشد. از طرفی با توجه به اینکه در بارگذاریهای ناشی از فشار و دوران همواره تنش محیطی کششی می باشد، در

بارگذاری عمومی محل تغییر تنش از کشش به فشار به $r/r_o = 0.75$ انتقال می یابد.

۲ - ۵ حل ترمولاستیک دیسک ناهمگن با ضخامت ثابت

اگر توزیع خواص ماده ناهمگن FG با استفاده از تابع توانی در نظر گرفته شود، معادله‌ی تغییرات خواص در راستای شعاع به شکل زیر خواهد بود:

$$E(r) = E_i \left(\frac{r}{r_i} \right)^n, \rho(r) = \rho_i \left(\frac{r}{r_i} \right)^n, \alpha(r) = \alpha_i \left(\frac{r}{r_i} \right)^n, k(r) = k_i \left(\frac{r}{r_i} \right)^n \quad (49-2)$$

که در آن E_i مدول الاستیسیته، ρ_i چگالی در، α_i ضریب انبساط حرارتی و k_i ضریب هدایت حرارتی در شعاع داخلی r_i می باشد. با توجه به رابطه (۲۹-۲) ضرایب معادله‌ی دیفرانسیل به شکل زیر تبدیل می شود:

$$\begin{aligned} A_1 &= r^2 \\ A_2 &= (1+n)r \\ A_3 &= n\nu - 1 \\ A_4 &= r(1+\nu) \left\{ \frac{(1-\nu)\rho_i r^2 \omega^2}{E_i} - \frac{\alpha_i r^n}{r_i^n} \left(r \frac{d}{dr} (\Delta T(r)) + 2n \Delta T(r) \right) \right\} \end{aligned} \quad (50-2)$$

۱ - ۵ حل حرارتی

معادله‌ی توزیع دما با توجه به رابطه ارائه شده در قسمت قبل، به شکل زیر می باشد:

$$\Delta T(r) = (T_o - T_i) \left(\frac{\int_{r_i}^r \frac{dr}{rk(r)}}{\int_{r_i}^{r_o} \frac{dr}{rk(r)}} \right) \quad (51-2)$$

اگر به تابع توزیع دما دقیق مشاهده می شود که انتگرال زیر در آن تکرار شده است که حاصل این انتگرال برای دیسک ساخته شده از مواد FG با تابع توزیع توانی به شکل زیر خواهد بود:

$$\int \frac{dr}{rk(r)} = \frac{r_i^n}{k_i} \int \frac{dr}{r^{n+1}} = -\frac{r_i^n}{nk_i} r^{-n} \quad (n \neq 0) \quad (52-2)$$

بنابراین معادله‌ی توزیع دما به شکل زیر تبدیل خواهد شد:

$$\Delta T(r) = \left(\frac{(T_o - T_i)}{(r_o^{-n} - r_i^{-n})} \right) \left(r^{-n} - r_i^{-n} \right) \quad (53-2)$$

که مشتق عبارت فوق به شکل زیر خواهد بود:

$$\frac{d(\Delta T(r))}{dr} = \left(-\frac{n(T_o - T_i)}{(r_o^{-n} - r_i^{-n})} \right) r^{-(n+1)} \quad (54-2)$$

که با جایگذاری روابط فوق در A_4 و ساده سازی رابطه‌ی زیر بدست می‌آید:

$$A_4 = r(1+\nu) \left\{ \frac{(1-\nu)\rho_i r^2 \omega^2}{E_i} - \left(\frac{(T_o - T_i) \alpha_i r_i^{-n} r^n}{(r_o^{-n} - r_i^{-n})} \right) \left(nr^{-n} - 2nr_i^{-n} \right) \right\} \quad (55-2)$$

بنابراین معادله‌ی دیفرانسیل حاکم بر دیسک با ضخامت ثابت برای مواد ناهمگن FG با استفاده از شرایط تنش

صفحه‌ای به شکل زیر خواهد بود:

$$r^2 \frac{d^2 u_r}{dr^2} + (1+n)r \frac{du_r}{dr} + (n\nu - 1)u_r = F(r) \quad (56-2)$$

که در آن:

$$F(r) = -r(1+\nu) \left\{ \frac{(1-\nu)\rho_i r^2 \omega^2}{E_i} - \left(\frac{(T_o - T_i) \alpha_i r_i^{-n} r^n}{(r_o^{-n} - r_i^{-n})} \right) \left(nr^{-n} - 2nr_i^{-n} \right) \right\} \quad (57-2)$$

می‌باشد. معادله‌ی فوق یک معادله‌ی ناهمگن می‌باشد و حل آن شامل دو حل خصوصی و عمومی می‌باشد:

$$u_r = u_r^h + u_r^p \quad (58-2)$$

۲ - ۵ - ۲ حل عمومی

اگر جمله خصوصی معادله‌ی (۵۶-۲) حذف شود، معادله‌ی حاکم به صورت همگن زیر تبدیل خواهد شد:

$$r^2 \frac{d^2 u_r}{dr^2} + (1+n)r \frac{du_r}{dr} + (n\nu - 1)u_r = 0 \quad (59-2)$$

معادله‌ی فوق یک معادله‌ی اویلر - کشی است که اگر در معادله‌ی فوق به جای u_r عبارت r^λ قرار دهیم

معادله‌ی مشخصه‌ی زیر بدست می‌آید:

$$\lambda^2 + n\lambda + (n\nu - 1) = 0 \quad (60-2)$$

ریشه‌های معادله‌ی چند جمله‌ای درجه‌ی دوم فوق عبارت است:

$$\lambda_{1,2} = \frac{1}{2} \left(-n \pm \sqrt{\Delta} \right) \quad (61-2)$$

که در آن:

$$\Delta = n^2 - 4n\nu + 4 \quad (62-2)$$

می‌باشد. با توجه به اینکه همواره ν بین صفر و $\frac{1}{2}$ می‌باشد عبارت $(\nu^2 - 1)16$ همواره کوچکتر از صفر می‌باشد.

باشد بنابراین عبارت Δ همواره مثبت یا منفی است. با جایگذاری $n=0$ ملاحظه می‌شود که Δ عدد مثبتی می‌باشد.

باشد لذا عبارت Δ به ازای تمامی مقادیر n همواره عدد مثبتی خواهد بود در نتیجه λ همواره مقدار حقیقی

خواهد داشت. بنابراین حل عمومی معادله‌ی حاکم بر دیسک ناهمگن با ضخامت ثابت به شکل زیر خواهد بود:

$$u_r = C_1 r^{\lambda_1} + C_2 r^{\lambda_2} \quad (63-2)$$

۲ - ۵ - ۳ حل خصوصی

عامل ناهمگنی در معادله‌ی دیفرانسیل حاکم ناشی از دو عامل سرعت زاویه‌ای و گرادیان حرارتی می‌باشد. با توجه به کوپل نبودن این دو عامل در معادله‌ی حاکم، می‌توان تاثیر عامل ناهمگنی را برای هر یک به صورت مجزا بررسی نمود. بنابراین معادله‌ی حاکم به شکل زیر تبدیل خواهد شد:

$$r^2 \frac{d^2 u_r}{dr^2} + (1+n) r \frac{du_r}{dr} + (n\nu - 1) u_r = F_{rotation}(r) + F_{thermal}(r) \quad (64-2)$$

که در آن $F_{rotation}(r)$ عامل ناهمگنی ناشی از دوران که مقدار آن برابر است با:

$$F_{rotation}(r) = \frac{(\nu^2 - 1) \rho_i \omega^2}{E_i} r^3 \quad (65-2)$$

و $F_{thermal}(r)$ عامل ناهمگنی ناشی از گرادیان حرارتی که مقدار آن برابر است با:

$$F_{thermal}(r) = \left(\frac{(T_o - T_i)(1+\nu)}{(r_o^{-n} - r_i^{-n})} \alpha_i r_i^{-n} \right) (nr - 2nr_i^{-n} r^{n+1}) \quad (66-2)$$

بنابراین می‌توان حل خصوصی ناشی از این دو عامل را به صورت زیر نوشت و برای هر حالت به صورت مجزا محاسبه نمود:

$$u_r^p = u_r^p \Big|_{rotation} + u_r^p \Big|_{thermal} \quad (67-2)$$

محاسبه‌ی حل خصوصی ناشی از دوران: با توجه به رابطه‌ی (65-2) می‌توان حل خصوصی را چند جمله‌ای از مرتبه‌ی سه فرض کرد:

$$u_r^p \Big|_{rotation} = \sum_{j=0}^3 B_j r^j \quad (68-2)$$

با جایگذاری رابطه‌ی فوق در معادله‌ی (64-2) و با فرض $F_{thermal}(r) = 0$ خواهیم داشت:

$$B_0 = B_1 = B_2 = 0, B_3 = \frac{(\nu^2 - 1)\rho_i\omega^2}{(8 + (3 + \nu)n)E_i} \quad (69-2)$$

بنابراین:

$$u_r^p|_{rotation} = \frac{(\nu^2 - 1)\rho_i\omega^2 r^3}{(8 + (3 + \nu)n)E_i} \quad (70-2)$$

محاسبه‌ی حل خصوصی ناشی از گرادیان حرارتی: جمله مربوط به گرادیان حرارتی دارای عامل r^{1-m} می‌باشد لذا تشخیص حل آن به شکل عادی امکان پذیر نمی‌باشد. بنابراین برای محاسبه‌ی حل خصوصی با توجه به حل عمومی از روش لاگرانژ استفاده می‌کنیم [۲۹]. برای سادگی می‌توان حل خصوصی ناشی از گرادیان حرارتی را به شکل زیر تعریف کرد:

$$F'_{thermal}(r) = \frac{1}{r} (G_1 + G_2 r^n) \quad (71-2)$$

که در آن:

$$G_1 = \frac{(T_o - T_i)(1 + \nu)\alpha_i}{(r_o^{-n} - r_i^{-n})} n r_i^{-n}, G_2 = \frac{-(T_o - T_i)(1 + \nu)\alpha_i}{(r_o^{-n} - r_i^{-n})} 2 n r_i^{-(2n+m)} \quad (72-2)$$

می‌باشد. قابل ذکر است چون از روش لاگرانژ در این قسمت استفاده شده است معادله‌ی دیفرانسیل به صورت استاندارد نوشته شده است و تمامی معادله به r^2 تقسیم شده است. بنابراین از علامت $F'_{thermal}(r)$ استفاده شده است: با توجه به روش لاگرانژ می‌توان با استفاده از حل عمومی معادله، حل خصوصی آن را بدست آورد. بنابراین حل خصوصی ناشی از گرادیان دما را به صورت زیر نوشته می‌شود:

$$u_r^p|_{thermal} = \vartheta_1(r)r^{\lambda_1} + \vartheta_2(r)r^{\lambda_2} \quad (73-2)$$

که با حل دستگاه معادله‌ی زیر $\vartheta_1(r)$ و $\vartheta_2(r)$ محاسبه می‌شوند:

$$\begin{cases} \vartheta_1'(r)r^{\lambda_1} + \vartheta_2'(r)r^{\lambda_2} = 0 \\ \vartheta_1'(r)\lambda_1 r^{\lambda_1-1} + \vartheta_2'(r)\lambda_2 r^{\lambda_2-1} = \frac{1}{r}(D_1 + D_2 r^n) \end{cases} \quad (74-2)$$

با جایگذاری معادله‌ی اول در معادله‌ی دوم دستگاه روابط زیر بدست می‌آید:

$$\vartheta_2'(r) = \frac{r^{-\lambda_2} (G_1 + G_2 r^n)}{(\lambda_2 - \lambda_1)}, \quad \vartheta_1'(r) = -\frac{r^{-\lambda_1} (G_1 + G_2 r^n)}{(\lambda_2 - \lambda_1)} \quad (75-2)$$

و با انتگرال گیری مقادیر $\vartheta_1(r)$ و $\vartheta_2(r)$ به شکل زیر بدست می‌آیند:

$$\begin{aligned} \vartheta_1(r) &= \frac{-1}{(\lambda_2 - \lambda_1)} \int [G_1 r^{-\lambda_1} + G_2 r^{n-\lambda_1}] dr = \frac{-1}{(\lambda_2 - \lambda_1)} \left[\frac{G_1 r^{1-\lambda_1}}{(1-\lambda_1)} + \frac{G_2 r^{1+n-\lambda_1}}{(1-\lambda_1+n)} \right] + C_1 \\ \vartheta_2(r) &= \frac{1}{(\lambda_2 - \lambda_1)} \int [G_1 r^{-\lambda_2} + G_2 r^{n-\lambda_2}] dr = \frac{1}{(\lambda_2 - \lambda_1)} \left[\frac{G_1 r^{1-\lambda_2}}{(1-\lambda_2)} + \frac{G_2 r^{1+n-\lambda_2}}{(1-\lambda_2+n)} \right] + C_2 \end{aligned} \quad (76-2)$$

با ترکیب ثوابت فوق با ثوابت همگن، حل خصوصی ناشی از گرادیان حرارتی به شکل زیر تبدیل خواهد شد:

$$u_r^p|_{thermal} = \frac{1}{(\lambda_2 - \lambda_1)} \left[-\frac{G_1 r}{(1-\lambda_1)} - \frac{G_2 r^{1+n}}{(1-\lambda_1+n)} + \frac{G_1 r}{(1-\lambda_2)} + \frac{G_2 r^{1+n}}{(1-\lambda_2+n)} \right] \quad (77-2)$$

پس از ساده سازی نتیجه زیر حاصل می‌گردد:

$$u_r^p|_{thermal} = \left(\frac{1}{(1-\lambda_1)(1-\lambda_2)} \right) G_1 r + \left(\frac{1}{(1-\lambda_1+n)(1-\lambda_2+n)} \right) G_2 r^{1+n} \quad (78-2)$$

حال با جایگذاری ثوابت و مقادیر λ_i در معادله‌ی فوق رابطه جابجایی شعاعی به شکل زیر تبدیل می‌شود:

$$u_r^p|_{thermal} = \frac{(T_o - T_i)(1+\nu)\alpha_i}{(r_o^{-n} - r_i^{-n})} \left\{ \left(\frac{-r_i^{-n}}{1+\nu} \right) r - \left(\frac{2nr_i^{-2n}}{2n^2 + n(3+\nu)} \right) r^{1+n} \right\} \quad (79-2)$$

بنابراین حل خصوصی معادله به شکل زیر بدست می‌آید:

$$u_r^p = u_r^p \Big|_{rotation} + u_r^p \Big|_{thermal}$$

$$= \frac{(\nu^2 - 1) \rho_i \omega^2 r^3}{(8 + (3 + \nu)n) E_i} + \frac{(T_o - T_i)(1 + \nu) \alpha_i}{(r_o^{-n} - r_i^{-n})} \left\{ \left(\frac{-r_i^{-n}}{1 + \nu} \right) r - \left(\frac{2nr_i^{-2n}}{2n^2 + n(3 + \nu)} \right) r^{1+n} \right\} \quad (80-2)$$

و حل کلی مسئله نیز به شکل زیر خواهد بود:

$$u_r = C_1 r^{\frac{1}{2}(-n + \sqrt{n^2 - 4n\nu + 4})} + C_2 r^{\frac{1}{2}(-n - \sqrt{n^2 - 4n\nu + 4})} + \frac{(\nu^2 - 1) \rho_i \omega^2 r^3}{(8 + (3 + \nu)n) E_i} +$$

$$\frac{(T_o - T_i)(1 + \nu) \alpha_i}{(r_o^{-n} - r_i^{-n})} \left\{ \left(\frac{-r_i^{-n}}{1 + \nu} \right) r - \left(\frac{2nr_i^{-2n}}{2n^2 + n(3 + \nu)} \right) r^{1+n} \right\} \quad (81-2)$$

معادله ای فوق دارای دو ثابت مجهول می باشد بنابراین دو شرط مرزی مورد نیاز است.

۲ - ۵ - ۴ اعمال شرایط مرزی

برای ساده سازی عبارات، معادله ای جابجایی به صورت زیر در نظر گرفته می شود:

$$u_r = C_1 r^{\lambda_1} + C_2 r^{\lambda_2} + D_1 r^3 + D_2 r^{1+n} + D_3 r \quad (82-2)$$

بدین ترتیب مشتق آن برابر است با:

$$\frac{du_r}{dr} = C_1 \lambda_1 r^{\lambda_1 - 1} + C_2 \lambda_2 r^{\lambda_2 - 1} + 3D_1 r^2 + (1 + n) D_2 r^n + D_3 \quad (83-2)$$

با توجه به شکل (۱-۲) دیسک تحت فشار داخلی قرار دارد. شرایط مرزی مطابق رابطه‌ی (۳۹-۲) بر حسب

تنشها می باشد. بنابراین با توجه به معادله (۱۷-۲) و روابط فوق تنש شعاعی به شکل زیر تبدیل می شود:

$$\sigma_r = \frac{E_i r^n}{(1 - \nu^2) r_i^n} \left\{ \begin{aligned} & (\lambda_1 + \nu) C_1 r^{\lambda_1 - 1} + (\lambda_2 + \nu) C_2 r^{\lambda_2 - 1} + (3 + \nu) D_1 r^2 + D_2 (1 + \nu + n) r^n \\ & (1 + \nu) D_3 - \left(\frac{(T_o - T_i)(1 + \nu) \alpha_0 r^n}{(r_o^{-n} - r_i^{-n}) r_i^n} \right) (r^{-n} - r_i^{-n}) \end{aligned} \right\} \quad (84-2)$$

بنابراین شرایط مرزی به شکل زیر تبدیل می شود:

$$\sigma_r \Big|_{r=r_i} = \frac{E_i}{(1-\nu^2)} \left((\lambda_1 + \nu) C_1 r_i^{\lambda_1 - 1} + (\lambda_2 + \nu) C_2 r_i^{\lambda_2 - 1} + (3 + \nu) D_1 r_i^2 \right) = -P$$

$$\sigma_r \Big|_{r=r_o} = \frac{E_i r_o^n}{(1-\nu^2) r_i^n} \left((\lambda_1 + \nu) C_1 r_o^{\lambda_1 - 1} + (\lambda_2 + \nu) C_2 r_o^{\lambda_2 - 1} + (3 + \nu) D_1 r_o^2 \right. \\ \left. + D_2 (1 + \nu + n) r_o^n + (1 + \nu) D_3 - \alpha_0 (1 + \nu) \left(\frac{r_o}{r_i} \right)^n (T_o - T_i) \right) = 0 \quad (85-2)$$

که به صورت دستگاه معادلات زیر خواهد بود:

$$\begin{bmatrix} (\lambda_1 + \nu) r_i^{\lambda_1 - 1} & (\lambda_2 + \nu) r_i^{\lambda_2 - 1} \\ (\lambda_1 + \nu) r_o^{\lambda_1 - 1} & (\lambda_2 + \nu) r_o^{\lambda_2 - 1} \end{bmatrix} \begin{Bmatrix} C_1 \\ C_2 \end{Bmatrix} = \\ - \left\{ \begin{array}{l} \frac{P(1-\nu^2)}{E_i} + (3+\nu)D_1 r_i^2 + D_2(1+n+\nu)r_i^n - (1+\nu)D_3 \\ (3+\nu)D_1 r_o^2 + D_2(1+n+\nu)r_o^n - \alpha_0 \left(\frac{r_o}{r_i} \right)^n (1+\nu)(T_o - T_i) - (1+\nu)D_3 \end{array} \right\} \quad (86-2)$$

با حل دستگاه معادلات خطی C_2 و C_1 به شکل زیر بدست می آیند:

$$C_1 = \frac{r_o r_i}{(\lambda_1 + \nu)(r_o^{\lambda_2} r_i^{\lambda_1} - r_o^{\lambda_1} r_i^{\lambda_2})} \times \\ \left\{ \begin{array}{l} r_i^{\lambda_2 - 1} \left[(3 + \nu) D_1 r_o^2 + D_2 (1 + \nu + n) r_o^n - \alpha_0 (1 + \nu) \left(\frac{r_o}{r_i} \right)^n (T_o - T_i) + (1 + \nu) D_3 \right] \\ - r_o^{\lambda_2 - 1} \left[\frac{P(1-\nu^2)}{E_i} + (3 + \nu) D_1 r_i^2 + D_2 (1 + \nu + n) r_i^n + (1 + \nu) D_3 \right] \end{array} \right\} \quad (87-2)$$

$$C_2 = \frac{r_o r_i}{(\lambda_2 + \nu)(r_o^{\lambda_2} r_i^{\lambda_1} - r_o^{\lambda_1} r_i^{\lambda_2})} \times \\ \left\{ \begin{array}{l} r_o^{\lambda_1 - 1} \left[\frac{P(1-\nu^2)}{E_i} + (3 + \nu) D_1 r_i^2 + D_2 (1 + \nu + n) r_i^n + (1 + \nu) D_3 \right] \\ - r_i^{\lambda_1 - 1} \left[(3 + \nu) D_1 r_o^2 + D_2 (1 + \nu + n) r_o^n - \alpha_0 (1 + \nu) \left(\frac{r_o}{r_i} \right)^n (T_o - T_i) + (1 + \nu) D_3 \right] \end{array} \right\}$$

$$\begin{aligned}\lambda_{1,2} &= \frac{1}{2} \left(-n \pm \sqrt{n^2 - 4n\nu + 4} \right) \\ D_1 &= \frac{(\nu^2 - 1)\rho_i\omega^2}{(8 + (3 + \nu)n)E_i} \\ D_2 &= \frac{(T_o - T_i)(1 + \nu)\alpha_i}{(r_o^{-n} - r_i^{-n})} \left(\frac{-2nr_i^{-2n}}{2n^2 + n(3 + \nu)} \right) \\ D_3 &= \frac{(T_o - T_i)(1 + \nu)\alpha_i}{(r_o^{-n} - r_i^{-n})} \left(\frac{-r_i^{-n}}{1 + \nu} \right)\end{aligned}\quad (88-2)$$

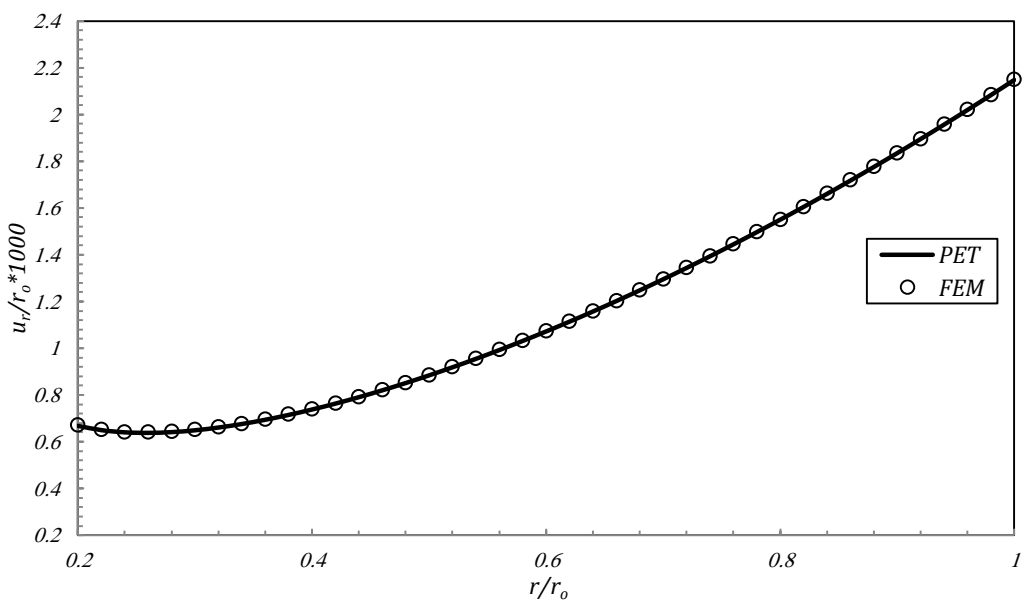
با جایگذاری روابط فوق در (82-2) معادله‌ی جابجایی محاسبه می‌شود.

۲ - ۶ بررسی نتایج حل دیسک ناهمگن با ضخامت ثابت

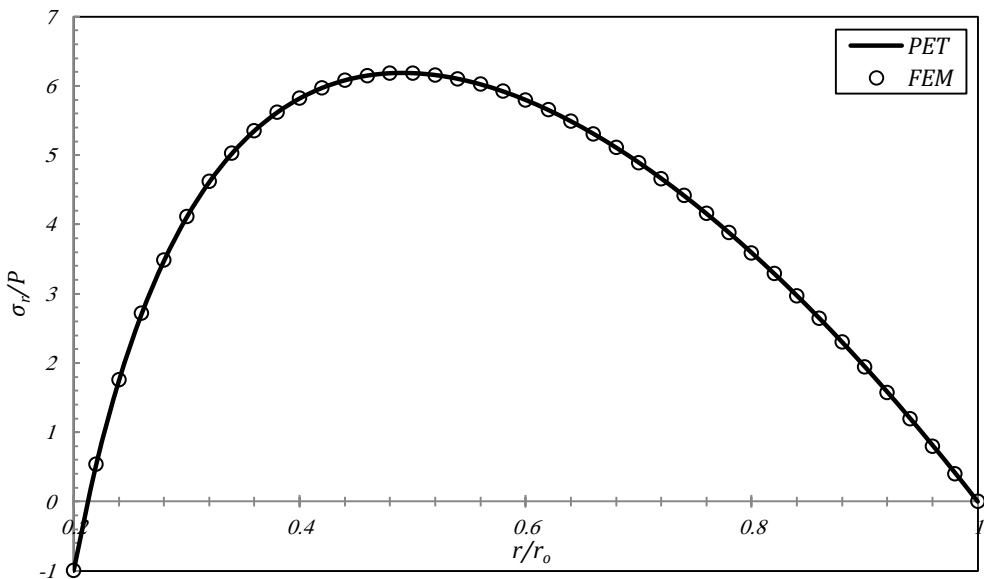
در این بخش با توجه به حل پارامتریک ارائه شده برای دیسک ناهمگن FG با ضخامت ثابت و جدول‌های ۱-۱ تا

۱-۳ به بررسی نتایج حاصل از تحلیل عددی پرداخته می‌شود.

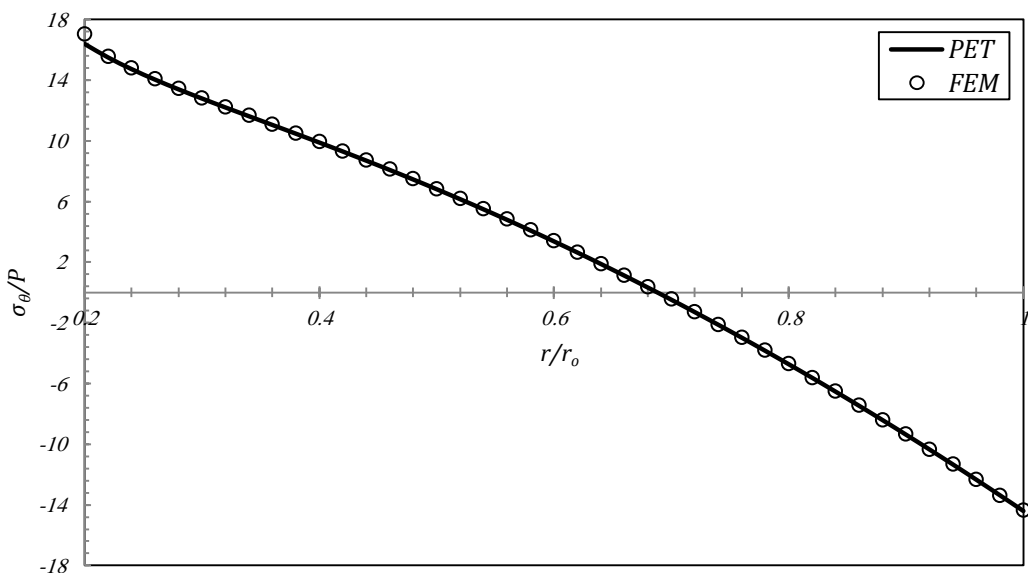
۲ - ۶ - ۱ مقایسه نتایج با حل عددی



شکل ۸-۲ : مقایسه نتایج جابجایی شعاعی حل تحلیلی با حل عددی ($n=0.75$)



شکل ۹-۲ : مقایسه‌ی توزیع تنش شعاعی در حل تحلیلی با حل عددی ($n=0.75$)



شکل ۱۰-۲ : مقایسه‌ی توزیع تنش محیطی در حل تحلیلی با حل عددی ($n=0.75$)

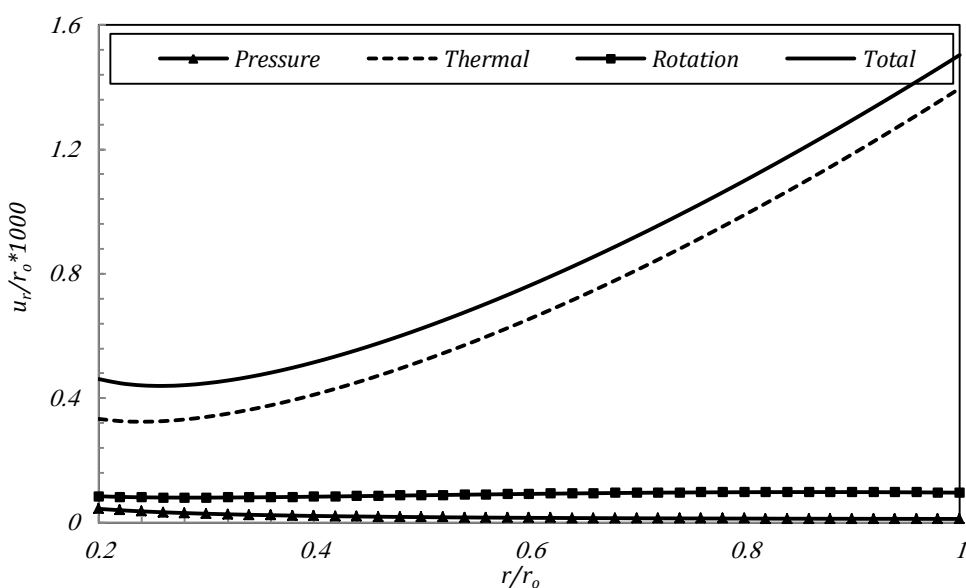
شکل‌های ارائه شده، به مقایسه حل عددی و حل تحلیلی می‌پردازد. لازم به ذکر است که در نرم‌افزارهای اجزامحدود موجود هنوز بخشی برای مواد FG تعریف نشده است برای مدل سازی ماده FG می‌بایست دیسک را به حلقه‌هایی با خواص ثابت تبدیل کنیم و گره‌ها بر یکدیگر منطبق کنیم. با توجه به اینکه همواره

برای بررسی بهتر می بایست حالتی تحلیل شود که امکان خطا بیشتر باشد بنابراین دیسک با ثابت ناهمگنی ۰/۷۵ که بیشترین خطا را در مدلسازی خواهد داشت، انتخاب شده است.

۲ - ۶ - ۲ بررسی تاثیر هر بار گذاری در توزیع مشخصه های مکانیکی

با مراجعه به روابط (۸۲-۲)، (۸۷-۲) و (۸۸-۲) مشاهده می شود که هریک از بارگذاری ها به صورت مستقل تاثیر در جابجایی شعاعی از آن دارد. بنابراین می توان روابط را برای هر یک از بارگذاری ها بصورت جداگانه نوشه و از اصل جمع آثار برای آن ها استفاده کرد. در این بخش برای بررسی تاثیر هریک از بارگذاری های در نتایج بدست آمده ماده هی ناهمگن با $n=0.5$ انتخاب می شود. شکل ۱۱-۲ تغییرات جابجایی شعاعی را در راستای شعاع نشان

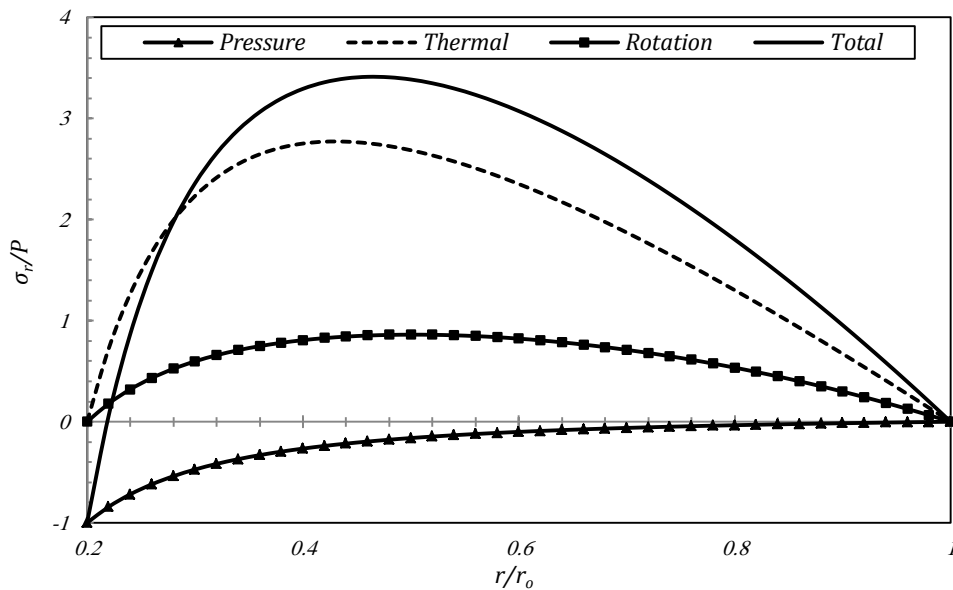
می دهد:



شکل ۱۱-۲ : نحوه توزیع جابجایی شعاعی در بارگذاری های مختلف ($n=0.5$)

در شکل ۱۱-۲ مشاهده می شود مشابه دیسک همگن در توزیع جابجایی شعاعی، گرادیان حرارتی بر بارگذاری های دیگر غلبه دارد. در بارگذاری ناشی از گرادیان حرارتی جابجایی شعاعی با افزایش شعاع رابطه مستقیم دارد لذا جابجایی شعاع نیز صعودی اکید می باشد. در بارگذاری ناشی از دوران در بیشتر نقاط نحومی تغییرات جابجایی نزولی می باشد ولی در نواحی نزدیک به سطح داخلی و خارجی دیسک رفتار جابجایی شعاعی

دیسک چرخان نزولی خواهد بود که به دلیل کاهش نیروی گریز از مرکز در این نواحی با توجه به کاهش جرم لایه‌های مجاور می‌باشد. در جابجایی ناشی از فشار داخلی، نمودار به صورت نزولی تغییر می‌کند، بطوریکه در لایه‌های داخلی مقدار آن بیشینه است. با توجه به اصل جمع آثار تغییرات جابجایی‌های شعاعی ناشی از بارگذاریها به صورت صعودی می‌باشد، فقط در محدوده بسیار کوچکی از دیسک گرادیان جابجایی شعاعی ناشی از فشار بر جابجایی کل غلبه دارد و رفتار نزولی می‌باشد. شکل ۱۲-۲ توزیع تنش نرمال شعاعی را در راستای شعاع بی بعد نشان می‌دهد:



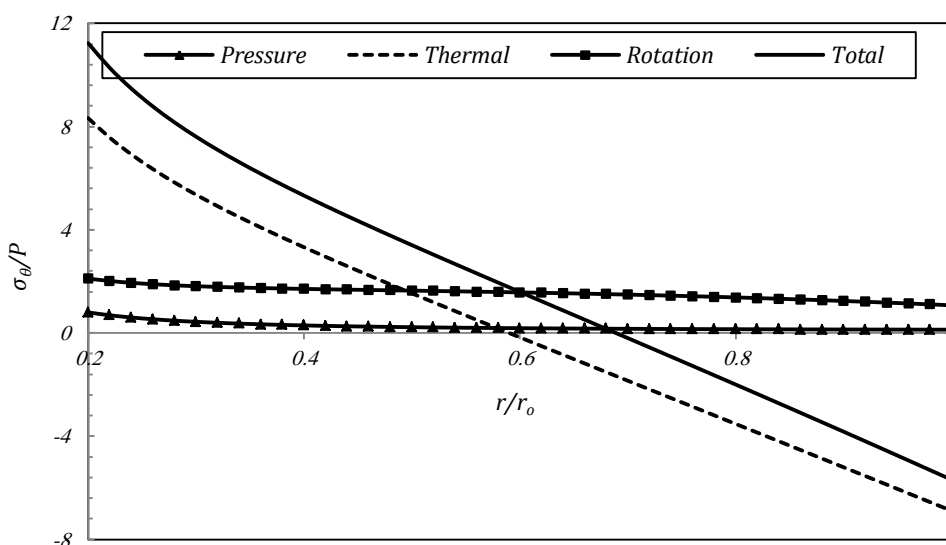
شکل ۱۲-۲ : نحوه توزیع تنش شعاعی در بارگذاریهای مختلف ($n=0.5$)

در شکل ۱۲-۲ مشاهده می‌شود مشابه جابجایی شعاعی، تنش‌های شعاعی ناشی از گرادیان حرارتی و دوران رفتاری مشابه دارد و تمامی لایه‌ها تحت تنش شعاعی کششی ناشی از جابجایی شعاعی می‌باشد. در تنش شعاعی ناشی از فشار داخلی، نحوه تغییرات قدر مطلق تنش به صورت نزولی می‌باشد به گونه‌ای که تاثیر فشار داخلی در لایه‌های داخلی بیشتر و با افزایش شعاع کمتر می‌شود.

با استفاده از جمع آثار رفتار برآیند نیروها به شکلی است که لایه‌های داخلی تحت فشار و لایه‌های خارجی تحت کشش قرار دارد و ناحیه‌ای که لایه‌ها تحت فشار می‌باشد نسبت به لایه‌هایی که تحت کشش هستند

بسیار کوچک است (حدود $1/5$ درصد). با قرار دادن نمودار جابجایی شعاعی و تنش شعاعی کنار یکدیگر ملاحظه می‌شود ناحیه‌ای که تحت فشار می‌باشد گرادیان جابجایی شعاعی نیز نزولی می‌باشد. بیشترین مقدار تنش فشاری مطابق انتظار در لایه‌ی داخلی و برابر فشار داخلی می‌باشد. بیشترین مقدار تنش کششی در لایه میانی و در $r/r_o=0.46$ رخ می‌دهد.

شکل ۱۳-۲ توزیع تنش نرمال محیطی را در راستای شعاع بی بعد نشان می‌دهد:

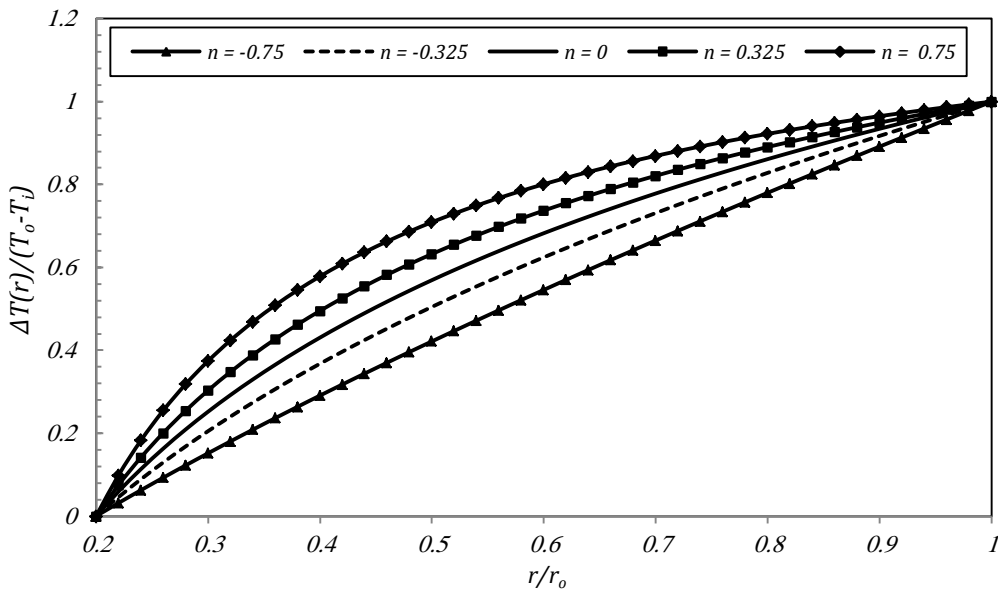


شکل ۱۳-۲ : نحوه‌ی توزیع تنش محیطی در بارگذاریهای مختلف ($n=0.5$)

شکل ۱۳-۲ نشان می‌دهد مشابه دیسک همگن تنش محیطی ناشی از گرادیان حرارتی، تنش محیطی غالب می‌باشد و رفتار تنشهای محیطی تمامی بارگذاری‌های تحت تاثیر این بارگذاری می‌باشد. در بارگذاری ناشی از گرادیان حرارتی لایه‌های داخلی تحت کشش و لایه‌های بیرونی تحت فشار قرار دارد و محل تغییر نوع تنش از کششی به فشاری در $r/r_o=0.6$ می‌باشد.

۲ - ۳ - بررسی تاثیر توزیع خواص در توزیع مشخصه های مکانیکی

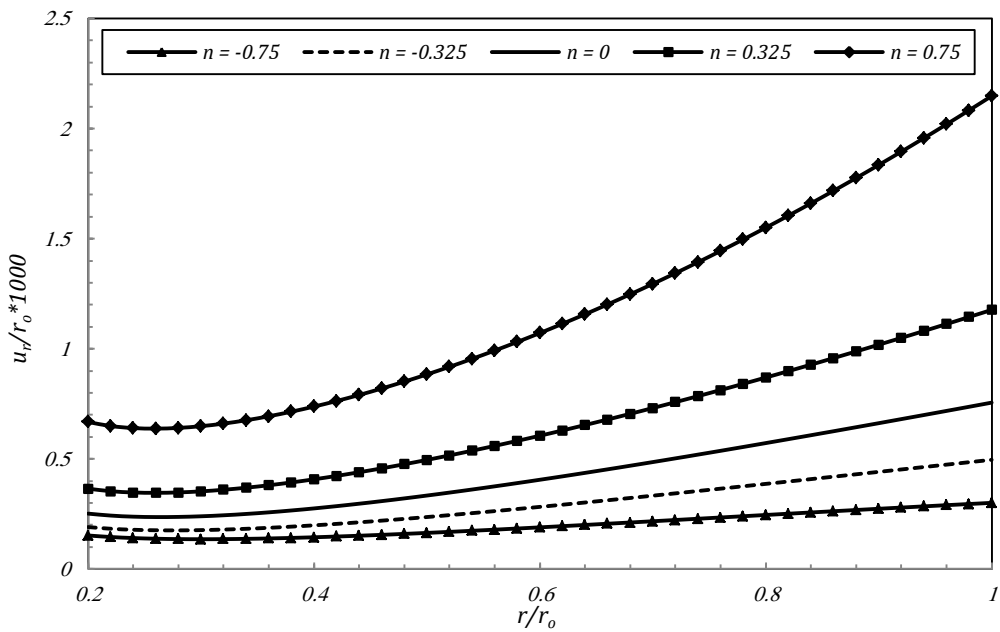
در قسمت های قبل در یک ماده‌ی خاص نتایج مورد بررسی قرار گرفت در این قسمت تحت حضور تمامی بارگذاریهای اعمال شده در این پژوهش مورد بررسی قرار می گیرد. نحوه تغییرات خواص در ماده FG همان طور که در حل پارامتریک بدان اشاره شد در تمامی مولفه ها نظریر مدول الاستیسیته، ضریب هدایت، چگالی و ضریب انبساط می باشد بنابراین تمامی نتایج موثر از نحوه تغییرات می باشد که حل ارائه شده ممید این مطلب می باشد. برای مقایسه بهتر نتایج، ابتدا توزیع دما که از حل معادله انتقال حرارت بدست می آید بررسی خواهد شد. شکل ۱۴-۲ توزیع نرمال دما را به ازای ثابت‌های ناهمگن مختلف نشان می دهد:



شکل ۱۴-۲ : توزیع دما در دیسک ناهمگن با اختلاف ثابت

با توجه به این موضوع که با افزایش n ضریب هدایت در لایه‌های خارجی افزایش می‌یابد، بنابراین ملاحظه می‌شود گرادیان حرارتی در لایه‌های داخلی بیشتر است که این موضوع به علت این است که با افزایش ضریب هدایت بین لایه‌های بیرونی شار حرارتی بیشتر است بنابراین دمای لایه‌ها به یکدیگر نزدیکتر است که این موضوع می‌تواند در توزیع توانش و جابجایی تاثیر مستقیم داشته باشد

شکل ۱۵-۲ توزیع نرمال جابجایی شعاعی را به ازای ثابت‌های ناهمگن مختلف نشان می دهد:

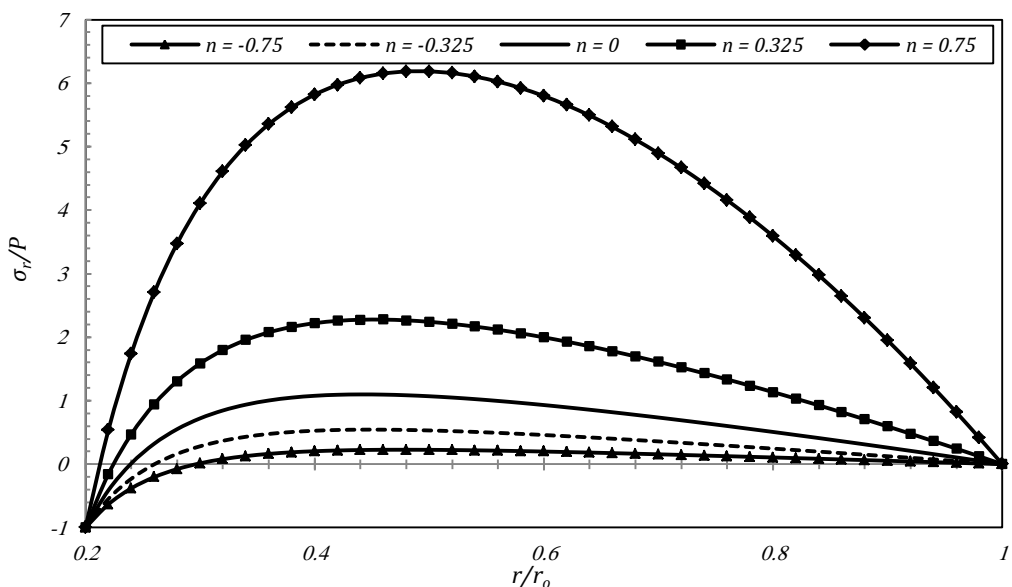


شکل ۱۵-۲ : توزیع جابجایی شعاعی در دیسک ناهمگن با ضخامت ثابت

شکل ۱۵-۲ نشان می‌دهد که با افزایش ثابت ناهمگنی مقدار جابجایی شعاعی در تمامی نقاط دیسک افزایش

می‌یابد که این موضوع می‌تواند به علت افزایش ضریب انبساط طولی به ازای افزایش ثابت ناهمگنی باشد. شکل

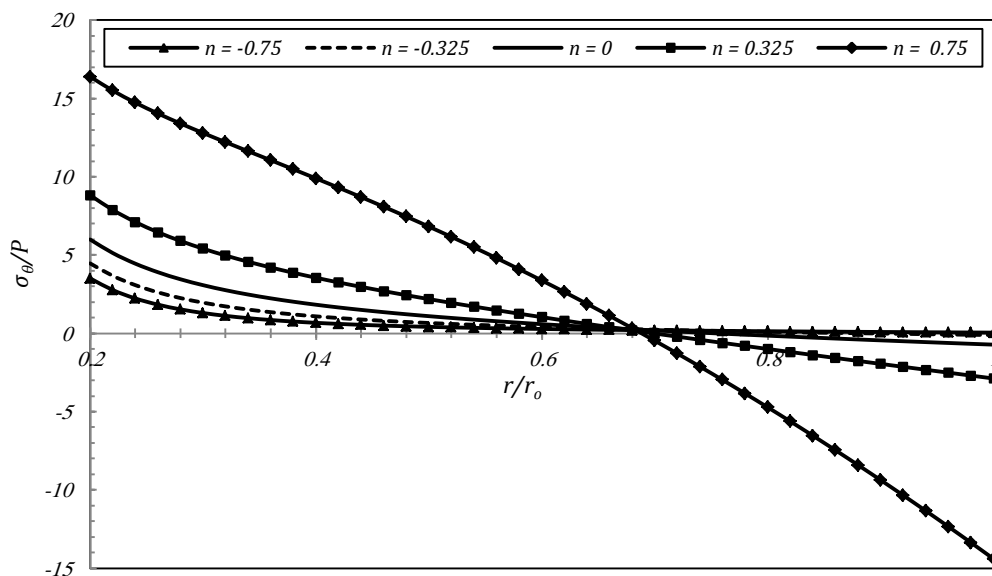
۱۶-۲ توزیع نرمال تنش شعاعی را به ازای ثابت‌های ناهمگنی مختلف را نشان می‌دهد:



شکل ۱۶-۲ : توزیع تنش شعاعی در دیسک ناهمگن با ضخامت ثابت

در شکل ۱۶-۲ مشاهده می شود نحوه تغییرات تنش شعاعی به ازای تمامی مقادیر n ثابت است ولی مقدار بیشینه آن با توجه به ثابت ناهمگنی تغییر می کند. در n های منفی تنش شعاعی بیشینه کمتر و در n های مثبت بیشتر از مقدار آن در ماده همگن می باشد. همچنین در n های منفی قدر مطلق بیشینه تنش در شعاع داخلی دیسک می باشد در حالیکه برای دیسک های همگن و ناهمگن با n مثبت قدر مطلق مقدار بیشینه در لایه های میانی دیسک می باشد.

نکته هی قابل توجه دیگر در شکل ۱۶-۲ اینست که در n های منفی اثر فشار بر گرادیان حرارتی غلبه می کند و باعث می شود تنش های حرارتی بیشتر آزاد شود که این موضوع سبب بزرگتر شدن ناحیه تحت فشار می شود. شکل ۱۷-۲ توزیع نرمال تنش محیطی را به ازای ثابت های ناهمگنی مختلف نشان می دهد:



شکل ۱۷-۲ : توزیع تنش محیطی در دیسک ناهمگن با ضخامت ثابت

در تنش محیطی مشابه تنش شعاعی به ازای افزایش n مقدار آن افزایش و به ازای کاهش n مقدار آن کاهش می یابد. بنابراین می توان نتیجه گرفت ماده FG با ثابت ناهمگنی منفی قابلیت آزاد سازی تنش های حرارتی بیشتری نسبت به مقادیر مثبت آن خواهد داشت.

۷ - ۲ جمع بندی

در این بخش ابتدا برای دیسک در حالت کلی به روش ناویر معادلات استخراج شدند، سپس برای دو حالت دیسک همگن و ناهمگن FG با ضخامت ثابت معادلات ساده سازی و مسائل با یک دیسک خاص حل و نتایج آن بررسی شد.

نکته‌ی قابل توجه در استخراج معادلات این بود که حل حرارتی دیسک همگن و ناهمگن با یکدیگر متفاوت است و با قرار دادن n برابر صفر حل همگن از حل ناهمگن استخراج نمی شود. همچنین معادلات نشان داد که اصل جمع آثار برای بارگذاریهای مختلف در دیسکهای همگن و ناهمگن با ضخامت ثابت صادق می باشد. جدول ۱-۲ به اختصار نتایج جابجایی شعاعی بدست آمده در این بخش را نشان می دهد:

جدول ۱-۲: حل پارامتریک دیسک ها با ضخامت ثابت

دیسک همگن		
$C_1 = \frac{(r_o r_i)^2}{(1+\nu)(r_o^2 - r_i^2)} \times \left(\begin{array}{l} \frac{\alpha_0(1+\nu)^2(T_o - T_i)}{2(\ln(r_o) - \ln(r_i))} \left(\frac{\ln(r_o)}{r_i^2} - \frac{\ln(r_i)}{r_o^2} \right) \\ + \frac{\alpha_0(1+\nu)(T_o - T_i)}{2(\ln(r_o) - \ln(r_i))} \left(\frac{1}{r_i^2} - \frac{1}{r_o^2} \right) - \frac{\alpha_0(1+\nu)(T_o - T_i)}{r_i^2} \end{array} \right)$	$C_2 = \frac{(r_o r_i)^2}{(1-\nu)(r_o^2 - r_i^2)} \times \left\{ \frac{\alpha_0(1+\nu)^2(T_o - T_i)}{2} + \alpha_0(1+\nu)(T_o - T_i) \right\}$	گرادیان حرارتی
$C_1 = -\frac{P(1-\nu^2)(r_o r_i)^2}{E_0 r_o^2 (1+\nu)(r_o^2 - r_i^2)}$	$C_2 = \frac{-P(1-\nu^2)(r_o r_i)^2}{E_0 (1-\nu)(r_o^2 - r_i^2)}$	فشار داخلی
$C_1 = -\frac{(1-\nu)\rho_0\omega^2(r_o^4 - r_i^4)}{8E_0(r_o^2 - r_i^2)}$	$C_2 = \frac{(1+\nu)(3+\nu)\rho_0\omega^2(r_o r_i)^2}{8E_0}$	دوران
$u_r = C_1 r^{\frac{1}{2}(-n + \sqrt{n^2 - 4n\nu + 4})} + C_2 r^{\frac{1}{2}(-n - \sqrt{n^2 - 4n\nu + 4})} + \left(\frac{(v^2 - 1)\rho_i\omega^2}{(8 + (3 + \nu)n)E_i} \right) r^3 - \left(\frac{(T_o - T_i)(1 + \nu)\alpha_i r_i^{-n}}{(2n^2 + n(3 + \nu))(r_o^{-n} - r_i^{-n})} \right) r^{1+n} - \left(\frac{(T_o - T_i)(1 + \nu)\alpha_i r_i^{-n}}{(1 + \nu)(r_o^{-n} - r_i^{-n})} \right) r$		دیسک فاهمگن
$C_1 = \frac{r_o r_i}{(\lambda_1 + \nu)(r_o^{\lambda_2} r_i^{\lambda_1} - r_o^{\lambda_1} r_i^{\lambda_2})} \times \left\{ \begin{array}{l} \left[\frac{(T_o - T_i)(1 + \nu)\alpha_i}{(r_o^{-n} - r_i^{-n})} \left(\frac{-2nr_i^{-2n}}{2n^2 + n(3 + \nu)} \right) (1 + \nu + n)r_o^n \right] \\ - \alpha_0(1 + \nu) \left[\frac{r_o}{r_i} \right]^n (T_o - T_i) + (1 + \nu) \left[\frac{(T_o - T_i)(1 + \nu)\alpha_i}{(r_o^{-n} - r_i^{-n})} \left(\frac{-r_i^{-n}}{1 + \nu} \right) \right] \\ - r_o^{\lambda_2 - 1} \left[\frac{(T_o - T_i)(1 + \nu)\alpha_i}{(r_o^{-n} - r_i^{-n})} \left(\frac{-2nr_i^{-2n}}{2n^2 + n(3 + \nu)} \right) (1 + \nu + n)r_i^n \right] \\ + (1 + \nu) \left[\frac{(T_o - T_i)(1 + \nu)\alpha_i}{(r_o^{-n} - r_i^{-n})} \left(\frac{-r_i^{-n}}{1 + \nu} \right) \right] \end{array} \right\}$	$C_2 = \frac{r_o r_i}{(\lambda_2 + \nu)(r_o^{\lambda_2} r_i^{\lambda_1} - r_o^{\lambda_1} r_i^{\lambda_2})} \times \left\{ \begin{array}{l} \left[\frac{(T_o - T_i)(1 + \nu)\alpha_i}{(r_o^{-n} - r_i^{-n})} \left(\frac{-2nr_i^{-2n}}{2n^2 + n(3 + \nu)} \right) (1 + \nu + n)r_i^n \right] \\ + (1 + \nu) \left[\frac{(T_o - T_i)(1 + \nu)\alpha_i}{(r_o^{-n} - r_i^{-n})} \left(\frac{-r_i^{-n}}{1 + \nu} \right) \right] \\ - r_i^{\lambda_1 - 1} \left[\frac{(T_o - T_i)(1 + \nu)\alpha_i}{(r_o^{-n} - r_i^{-n})} \left(\frac{-2nr_i^{-2n}}{2n^2 + n(3 + \nu)} \right) (1 + \nu + n)r_o^n \right] \\ - \alpha_0(1 + \nu) \left[\frac{r_o}{r_i} \right]^n (T_o - T_i) + (1 + \nu) \left[\frac{(T_o - T_i)(1 + \nu)\alpha_i}{(r_o^{-n} - r_i^{-n})} \left(\frac{-r_i^{-n}}{1 + \nu} \right) \right] \end{array} \right\}$	گرادیان حرارتی
$C_1 = -\frac{Pr_o r_i (1 - \nu^2) r_o^{\lambda_2 - 1}}{(\lambda_1 + \nu) E_i (r_o^{\lambda_2} r_i^{\lambda_1} - r_o^{\lambda_1} r_i^{\lambda_2})}$	$C_2 = \frac{Pr_o r_i (1 - \nu^2) r_o^{\lambda_1 - 1}}{(\lambda_2 + \nu) E_i (r_o^{\lambda_2} r_i^{\lambda_1} - r_o^{\lambda_1} r_i^{\lambda_2})}$	فشار داخلی
$C_1 = \frac{r_o r_i (v^2 - 1)\rho_i \omega^2 (3 + \nu) (r_o^2 r_i^{\lambda_2 - 1} - r_o^{\lambda_2 - 1} r_i^2)}{(\lambda_1 + \nu) (8 + (3 + \nu)n) E_i (r_o^{\lambda_2} r_i^{\lambda_1} - r_o^{\lambda_1} r_i^{\lambda_2})}$	$C_2 = \frac{r_o r_i (v^2 - 1)\rho_i \omega^2 (3 + \nu) (r_o^{\lambda_1 - 1} r_i^2 - r_i^{\lambda_1 - 1} r_o^2)}{(\lambda_2 + \nu) (8 + (3 + \nu)n) E_i (r_o^{\lambda_2} r_i^{\lambda_1} - r_o^{\lambda_1} r_i^{\lambda_2})}$	دوران

جدول ۲-۲ نتایج تحلیل‌های انجام شده به تفکیک بارگذاری را نشان می‌دهد.

جدول ۲-۲: نتایج حاصل از تحلیل در دیسک با ضخامت ثابت

تنش معادل بیشینه		جابجایی بیشینه		نوع بارگذاری	$n = -0.75$
[MPa]	مقدار	[mm]	مقدار	شعاع	
۳۴/۲	۲۰	۰/۰۲۱	۱۰۰	گرادیان حرارتی	$n = -0.75$
۹۰/۸	۲۰	۰/۰۰۳	۱۰۰	فشار داخلی	
۴۲/۴	۲۰	۰/۰۰۶	۹۲	دوران	
۱۶۴/۲	۲۰	۰/۰۳۰	۱۰۰	مجموع	
۱۳۱/۶	۲۰	۰/۰۶۶	۱۰۰	گرادیان حرارتی	$n = 0$
۷۲/۲	۲۰	۰/۰۰۱۶	۱۰۰	فشار داخلی	
۶۴/۹	۲۰	۰/۰۰۸	۸۸	دوران	
۲۶۲/۱	۲۰	۰/۰۷۵	۱۰۰	مجموع	
۵۳۳/۵	۲۰	۰/۲۰۳	۱۰۰	گرادیان حرارتی	$n = 0.75$
۵۸/۴	۲۰	۰/۰۰۱	۱۰۰	فشار داخلی	
۹۵/۴	۲۰	۰/۰۱۱	۸۴	دوران	
۶۷۶/۷	۲۰	۰/۲۱۵	۱۰۰	مجموع	

در جدول ۲-۲ تنش معادل بیشینه با استفاده از تئوری فون میز و جابجایی بیشینه در دیسکهای با ضخامت ثابت آورده شده است همچنین محل واقع شدن مقدار بیشینه به تفکیک بارگذاریها و ثوابت ناهمگنی آورده شده است.

در بارگذاری حرارتی همواره مقدار بیشینه تنش معادل در شعاع داخلی و مقدار بیشینه جابجایی در شعاع خارجی مشاهده می شود. همچنین با افزایش n مقدار تنش معادل و جابجایی شعاعی افزایش می یابد. بنابراین برای آزاد سازی تنش های حرارتی توصیه می شود از دیسکهای FG با ثابت منفی استفاده شود. در دیسک تحت فشار داخلی مشابه حالت قبل همواره مقدار بیشینه تنش معادل در شعاع داخلی و مقدار بیشینه جابجایی در شعاع خارجی می باشد، ولی بر خلاف دیسک تحت گرادیان حرارتی با افزایش n مقدار تنش معادل و جابجایی شعاعی کاهش می یابد. این موضوع با توجه به این نکته است که در n های مثبت خواص مکانیکی در لایه های میانی دیسک بیشتر شده است. در دیسک چرخان مقدار بیشینه تنش معادل همواره در شعاع داخلی و مقدار بیشینه جابجایی با توجه به مقدار n در نقاطی نزدیک سطح خارجی اتفاق می افتد که محل آن با افزایش n از سطح خارجی دور می شود. همچنین در دیسکهای چرخان رابطه n با مقادیر تنش معادل و جابجایی شعاعی به صورت مستقیم می باشد که به دلیل افزایش نیروی گریز از مرکز است که رابطه مستقیم با دانسیته دارد.

با جمع بندی مطالب فوق می توان نتیجه گرفت که در دیسک های چرخان تحت بارگذاری حرارتی بدون فشار داخلی مانند دیسک های توربین گاز بهتر است از مواد FG با n های منفی استفاده شود ولی برای دیسک های چرخان تحت گرادیان حرارتی و فشار داخلی نظیر فلاکولهای و دیسک های جازنی شده می بایست با در نظر گرفتن پارامترهای دیگر ماده FG مناسب انتخاب شود.

نقطه‌ی مشترک تمامی دیسکهای تحلیل شده در این بخش اینست که تنش بیشینه همواره در شعاع داخلی دیسک رخ می دهد. در این بخش سعی شد با تغییر جنس تنش را در این ناحیه کاهش داد که نتایج آن ارائه

گردید. راه دیگر برای کاهش تنش در شعاع داخلی افزایش ضخامت در این ناحیه است که در بخش آینده به بررسی این موضوع پرداخته می‌شود.

فصل سوم:

تحلیل ترموموادسیک دیسک همگن چرخان با ضخامت متغیر

در فصل گذشته دیسک های با ضخامت ثابت بررسی شد با توجه به اینکه تنش همواره در شعاع داخلی بیشینه بود پیشنهاد شد که در شعاع داخلی ضخامت دیسک افزایش یابد. افزایش ضخامت در شعاع داخلی می باشد به گونه ای باشد که سبب ایجاد تمرکز تنش نشود بنابراین می باشد پروفیلی برای تغییرات ضخامت طراحی شود. دیسک های موجود در صنعت دارای پروفیل های متفاوت در راستای شعاع می باشد. شکل ۱-۳ دیسک توربین گاز که دارای پروفیل ضخامت متغیر در راستای شعاع می باشد را نشان می دهد. مشاهده می شود که در شعاع های داخلی ضخامت بیشتری برای دیسک انتخاب شده است:



شکل ۱-۳: دیسک توربین گاز واحدهای نیروگاه گازی V94 ساخت شرکت آنسالدور

دیسک های توربین گاز تحت گرادیان حرارتی بسیار زیاد قرار داند و عموماً با سرعت بین ۳۰۰۰ تا ۵۴۰۰ دور در دقیقه می چرخند. نمونه‌ی دیگر از دیسک ها با ضخامت متغیر چرخ کورتیس در توربین های بخار می باشد که این دیسک عموماً با سرعت ۳۰۰۰ دور در دقیقه می چرخند و تحت گرادیان حرارتی کمتری نسبت به دیسک های توربین گاز قرار دارند ولی بر خلاف دیسک های توربین گاز بر روی شفت جازنی می شونند. بنابراین علاوه بر دوران و گرادیان حرارتی تحت فشار داخلی قرار دارد. شکل ۲-۳ نمونه ای از چرخ کورتیس را در توربین بخار نمایش می دهد:



شکل ۲-۳: چرخ کورتیس در توربین بخار

از این رو برای دیسک با ضخامت متغیر می باشد تابعی برای پروفیل آن ها در راستای شعاع تعیین نموده که بتوان حالات مختلف آن را مورد بررسی قرار داد. این پروفیل می باشد دامنه وسیعی از پروفیل ها را با پارامترهای خود کنترل نماید. هم چنین از توابع استاندارد استفاده شود که معادلات دیفرانسیل حاکم را پیچیده نکند. در این بخش سه نمونه از پروفیل های موجود در مقاله ها مورد بررسی قرار می گیرد که این سه دسته عبارتند از:

۱ - پروفیل توانی

۲ - پروفیل نمایی

۳ - پروفیل سهموی

۳ - ۱ - ۱ - پروفیل توانی

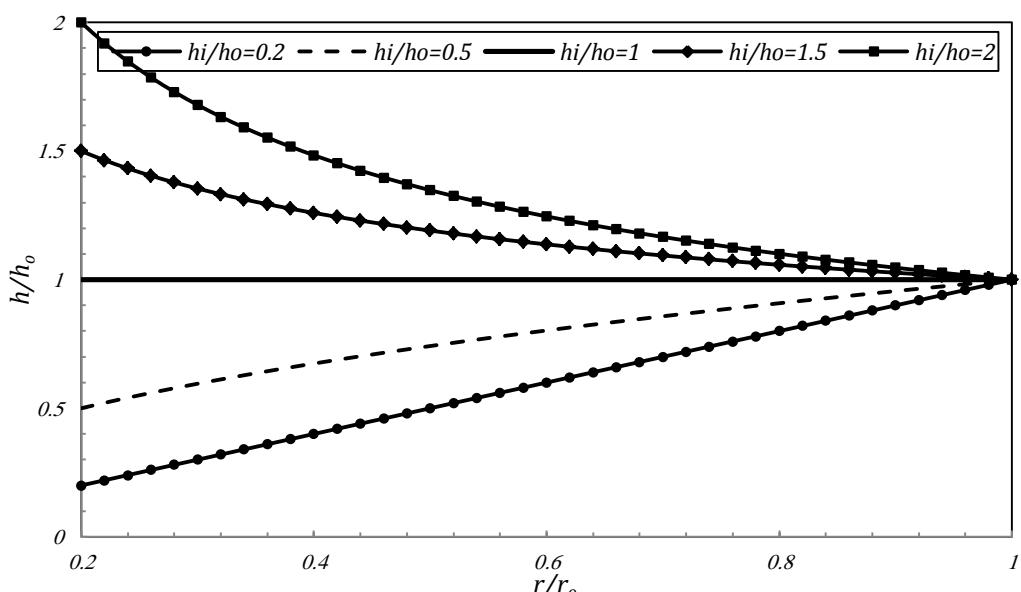
مزیت عمده‌ی این تابع اینست که در مشتق‌گیری و انتگرال‌گیری بسیار مناسب‌تر از پروفیل‌های دیگر می‌باشد. معادله‌ی پروفیل توانی به شکل زیر می‌باشد:

$$h(r) = h_o \left(\frac{r}{r_o} \right)^m \quad (1-3)$$

که در آن m نحوه تغییرات تابع ضخامت و h_o ضخامت در لایه خارجی می باشد. بدینه است که برای مقادیر مثبت m پروفیل سهموی و برای مقادیر منفی m پروفیل هذلولوی خواهد بود. همچنین می توان m را با توجه به ضخامت دیسک در شعاع داخلی محاسبه نمود:

$$m = \frac{\ln\left(\frac{h_i}{h_o}\right)}{\ln\left(\frac{r_i}{r_o}\right)} \quad (2-3)$$

که در آن h_i ضخامت در شعاع داخلی، r_o شعاع خارجی و r_i شعاع داخلی می باشد. با توجه به اینکه همواره بین صفر و یک می باشد بنابراین لگاریتم طبیعی آن منفی است پس می توان نتیجه گرفت که به ازای کوچکتر از یک m مثبت (پروفیل سهموی) و برای h_i/h_o بزرگتر از یک m منفی (پروفیل هذلولوی) خواهد بود. شکل ۳-۳ تاثیر نسبت های ضخامت مختلف را در دیسک مدل سازی شده، بر تابع پروفیل آن نشان می دهد:



شکل ۳-۳ : نمایش پروفیل ضخامت توانی به ازای نسبت ضخامت های مختلف

لازم به ذکر است همانطور که در بخش قبل بیان شد هدف از استفاده از دیسک با ضخامت متغیر کاهش تنش در شعاع داخلی است که یکی از روش های پیشنهادی افزایش ضخامت در شعاع داخلی است. با توجه به این توضیح صرفا جهت تکمیل مطالعات دیسک های با h_i/h_o کوچکتر از یک نیز تحلیل خواهند شد.

۳ - ۱ - ۲ پروفیل نمایی

معادله ی پروفیل نمایی به شکل زیر می باشد:

$$h(r) = h^* e^{mr} \quad (3-3)$$

که در آن:

$$h^* = h_o e^{-mr_o} \quad (4-3)$$

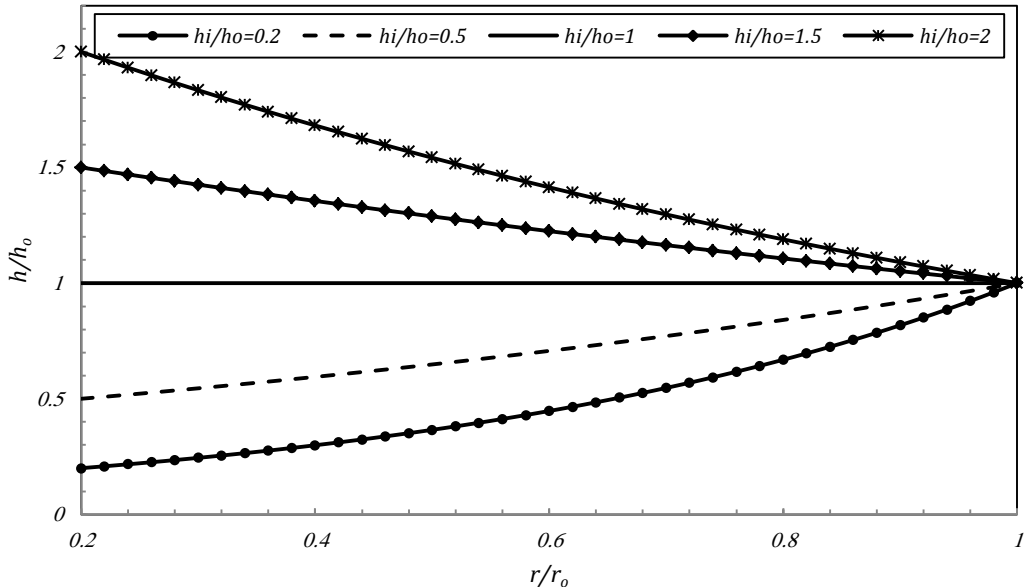
می باشد که h_o ضخامت در لایهی خارجی می باشد . m نحوهی تغییرات را در راستای شعاع بررسی می کند که می تواند وابسته به مقادیر ضخامت در خارج و داخل دیسک باشد. با توجه به معلوم بودن ضخامت در لایهی داخلی m را می توان محاسبه نمود:

$$m = \frac{\ln\left(\frac{h_o}{h_i}\right)}{r_o - r_i} \quad (5-3)$$

بنابراین داریم:

$$h(r) = h_o e^{\ln\left(\frac{h_i}{h_o}\right)\left(\frac{r-r_o}{r_i-r_o}\right)} \quad (6-3)$$

شکل ۳-۴ نحوهی تغییرات ضخامت را در تابع پروفیل نمایی نشان می دهد:



شکل ۴-۳ : نمایش پروفیل ضخامت نمایی به ازای نسبت ضخامت های مختلف

مالحظه می شود که در تمامی نسبت های ضخامت، رفتار پروفیل به صورت مقعر می باشد.

۳ - ۱ - ۳ پروفیل سهموی

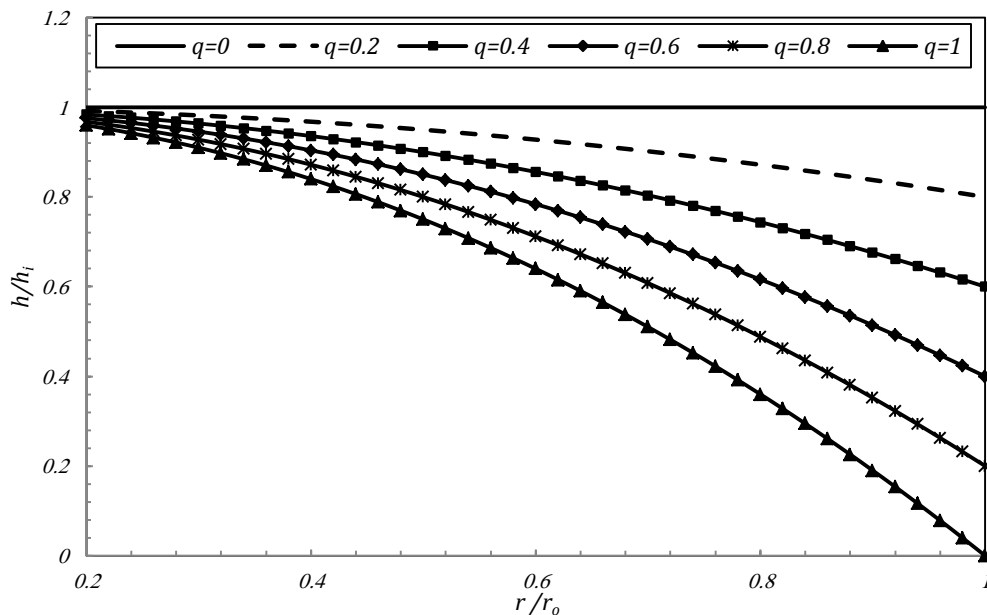
در دو قسمت قبل به بررسی پروفیل های نمایی و توانی پرداخته شد. اگر چه این دو پروفیل مشکلات پیچیده برای حل معادلات ایجاد نمی کند ولی عیب اساسی آن ها این است که برای هر نسبت ضخامت فقط یک منحنی منطبق می کند. در واقع کنترلی بر نحوه تغییرات نخواهد داشت. در مرجع [۲۰] برای رفع این مشکل پروفیلی ارائه شده است که به روش نیمه تحلیلی دیسک FG حل شده است. معادله‌ی این پروفیل که همواره پروفیل سهموی برای دیسک ارائه می دهد، به شکل زیر می باشد:

$$h(r) = h^* \left(1 - q \left(\frac{r}{r_o} \right)^m \right) \quad (7-3)$$

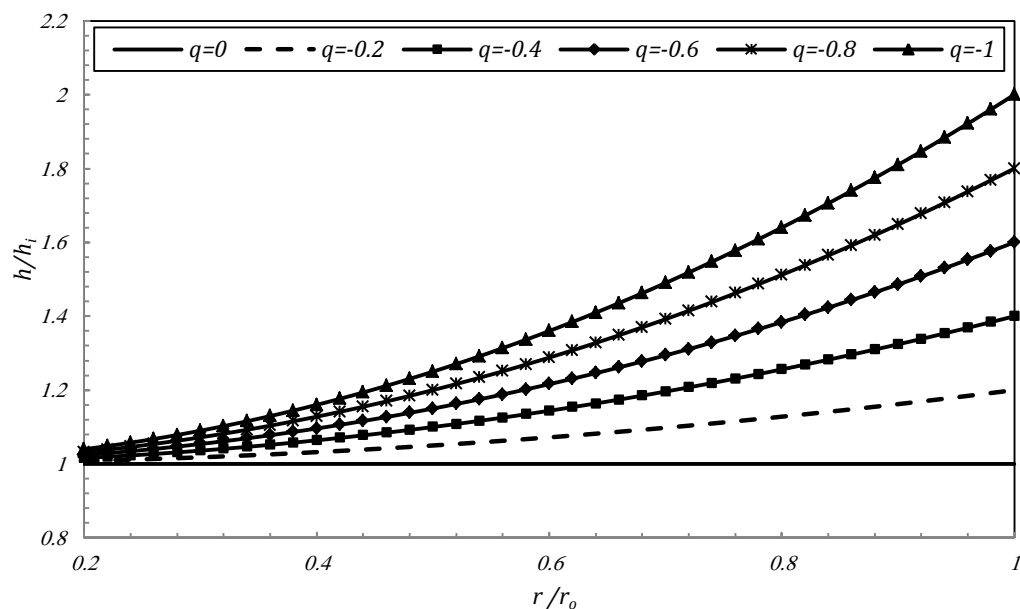
که در آن q و m پارامتر های هندسی هستند. q شیب خطی پروفیل و m نوع پروفیل را از لحاظ تقر و تحدب تعیین می کند که برای مقادیر $m < 1$ منحنی محدب، برای مقادیر $m > 1$ منحنی مقعر می باشد. بدیهی است که

اگر m برابر یک باشد منحنی به صورت خط و در صورتی که q یا m برابر صفر باشند دیسکی با ضخامت ثابت خواهیم داشت. از طرفی نیز قابل ملاحظه است که h^* ضخامت پروفیل در شعاع صفر است.

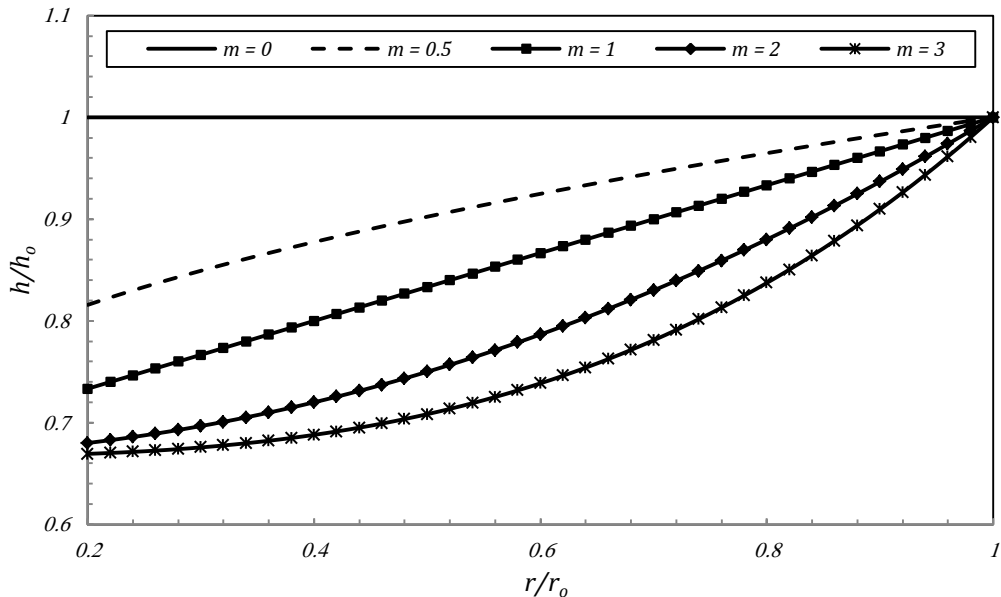
شکل‌های ۵-۳ تا ۷-۳ تاثیر پارامترهای مختلف را در دیسک جدول ۳-۱ روی تابع ضخامت سهموی آن مشخص می‌کند:



شکل ۵-۳: تاثیر پارامتر q در پروفیل ضخامت سهموی ($m=2$)



شکل ۶-۳: تاثیر پارامتر q در پروفیل ضخامت سهموی ($m=2$)



شکل ۷-۳: تاثیر پارامتر m در پروفیل ضخامت سهموی ($q=0.5$)

اگرچه پروفیل سهموی قابلیت زیادی در تحلیل دیسک ها با ضخامت متغیر دارد ولی با توجه به اینکه در این پژوهش سعی می شود مسائل تحلیلی حل شوند، لذا فقط برای دوتابع توانی و نمایی تحت شرایط ترمومالاستیک مسائل تحلیل و نتایج بدست آمده با یکدیگر مقایسه خواهد شد.

۳ - ۲ - حل تحلیلی دیسک همگن با پروفیل توانی

با توجه به توضیحات ارائه شده در بخش قبل در این بخش به بررسی تحلیل دیسک همگن با ضخامت متغیر پرداخته می شود و نتایج با حالت همگن مقایسه خواهد شد.

۳ - ۲ - ۱ - بدست آوردن معادلهای حاکم برای دیسک همگن با پروفیل توانی

در فصل دوم معادلات حاکم بر دیسک در حالت عمومی ارائه گردیدند، با توجه به اینکه حل تحلیلی وابسته بهتابع تغییرات خواص و پروفیل ضخامت می باشد. از این رو ارائه ای حل عمومی که توانایی تحلیل تمامی دیسک ها را داشته باشد مقدور نمی باشد و می بایست هر مسئله با انتخاب فرضیات معادلهای حاکم استخراج شده و حل آن ارائه شود. در مواد همگن خواص فیزیکی و مکانیکی فقط وابسته به دما می باشد که در این پژوهش از تغییرات خواص وابسته به دما صرفنظر می شود و خواص فیزیکی و مکانیکی در تمامی شرایط ثابت فرض می شود. با

توجه به اینکه در ماده‌ی همگن خواصی از قبیل مدول الاستیسیته، چگالی، ضریب انبساط و هدایت حرارتی در تمامی مکان‌ها ثابت هستند، عبارات مربوط به این خواص که در معادله‌ی کلی وابسته به دما و مکان بودند، ثابت فرض می‌شوند. بدین ترتیب ضرایب معادله‌ی دیفرانسیل با ساده سازی به شکل زیر تبدیل می‌شود:

$$\begin{aligned} A_1 &= rh(r) \\ A_2 &= \frac{d}{dr}(rh(r)) \\ A_3 &= \frac{h(r)}{r} + \nu \frac{d}{dr}(h(r)) \\ A_4 &= r(1+\nu) \left\{ \frac{(1-\nu)h(r)\rho_0 r \omega^2}{E_0} - \alpha_0 \frac{d}{dr}(h(r)\Delta T(r)) \right\} \end{aligned} \quad (8-3)$$

اگر پروفیل توانی که در معادله‌ی (۲-۳) تابع آن آمده است برای ضخامت انتخاب شود روابط فوق به شکل زیر تبدیل خواهند شد. لازم به ذکر است که طرفین معادله‌ی دیفرانسیل در $\frac{r}{h(r)}$ ضرب شده است:

$$\begin{aligned} A_1 &= r^2 \\ A_2 &= (1+m)r \\ A_3 &= m\nu - 1 \\ A_4 &= r(1+\nu) \left\{ \frac{(1-\nu)\rho_0 r^2 \omega^2}{E_0} - \alpha_0 r \frac{d}{dr}(\Delta T(r)) - m\alpha_0 \Delta T(r) \right\} \end{aligned} \quad (9-3)$$

با توجه به مجھول بودن تابع توزیع دما برای بررسی معادله دیفرانسیل لازم است ابتدا معادله‌ی توزیع دما در دیسک همگن با ضخامت توانی بدست آید.

۲ - ۲ - ۳ حل حرارتی

معادله‌ی توزیع دما در دیسک همگن با ضخامت متغیر در حالت کلی به شکل زیر می‌باشد:

$$\Delta T(r) = \left(\frac{\int_{r_i}^r \frac{dr}{rh(r)}}{\int_{r_o}^{r_i} \frac{dr}{rh(r)}} \right) (T_o - T_i) \quad (10-3)$$

مشاهده می شود که انتگرال زیر در رابطه‌ی فوق تکرار شده است:

$$\int \frac{dr}{rh(r)} \quad (11-3)$$

که حاصل این انتگرال برای تابع پروفیل توانی به شکل زیر خواهد بود:

$$\int \frac{dr}{rh(r)} = \begin{cases} -\frac{r_o^m}{mh_o} r^{-m} & (m \neq 0) \\ \frac{\ln(r)}{h_o} & (m = 0) \end{cases} \quad (12-3)$$

با توجه به اینکه در این قسمت دیسک با ضخامت متغیر مسئله‌ی موردنظر می‌باشد لذا $m \neq 0$ فرض می‌شود.

بنابراین معادله‌ی توزیع دما برای به شکل زیر تبدیل خواهد شد:

$$\Delta T(r) = \left(\frac{(T_o - T_i)}{(r_o^{-m} - r_i^{-m})} \right) \left(r^{-m} - r_i^{-m} \right) \quad (13-3)$$

مشتق عبارت فوق به شکل زیر خواهد بود:

$$\frac{d(\Delta T(r))}{dr} = \left(-\frac{m(T_o - T_i)}{(r_o^{-m} - r_i^{-m})} \right) r^{-(m+1)} \quad (14-3)$$

با جایگذاری روابط فوق در (۹-۳) عامل ناهمگنی معادله به شکل زیر تبدیل می‌شود:

$$A_4 = r(1+\nu) \left\{ \frac{(1-\nu)\rho_o r^2 \omega^2}{E_0} + \frac{m\alpha_0 r_i^{-m} (T_o - T_i)}{(r_o^{-m} - r_i^{-m})} \right\} \quad (15-3)$$

بنابراین معادله‌ی دیفرانسیل حاکم بر دیسک همگن با تابع ضخامت توانی به شکل زیر خواهد بود:

$$r^2 \frac{d^2 u_r}{dr^2} + (1+m)r \frac{du_r}{dr} + (m\nu - 1)u_r = F(r) \quad (16-3)$$

که در آن:

$$F(r) = -r(1+\nu) \left\{ \frac{(1-\nu)\rho_0 r^2 \omega^2}{E_0} + \frac{m\alpha_0 r_i^{-m} (T_o - T_i)}{(r_o^{-m} - r_i^{-m})} \right\} \quad (17-3)$$

می باشد. این معادله از نوع معادله‌ی دیفرانسیل مرتبه‌ی دوم ناهمگن با ضرایب متغیر می باشد.

۳ - ۲ - ۳ حل عمومی

معادله‌ی (16-۳) یک معادله‌ی ناهمگن می باشد بنابراین حل آن شامل دو حل خصوصی و عمومی می باشد. اگر

در معادله‌ی (16-۳) عبارت $F(r)$ برابر صفر باشد معادله به صورت همگن زیر تبدیل خواهد شد:

$$r^2 \frac{d^2 u_r}{dr^2} + (1+m)r \frac{du_r}{dr} + (m\nu - 1)u_r = 0 \quad (18-3)$$

معادله‌ی فوق از نوع معادله‌ی اویلر-کشی است. اگر در معادله‌ی فوق به جای u_r عبارت r^λ قرار دهیم معادله‌ی

مشخصه‌ی زیر بدست می آید:

$$\lambda^2 + m\lambda + (m\nu - 1) = 0 \quad (19-3)$$

ریشه‌های معادله‌ی چند جمله‌ای درجه‌ی دوم فوق عبارت است:

$$\lambda_{1,2} = \frac{1}{2} \left(-m \pm \sqrt{\Delta} \right) \quad (20-3)$$

که در آن:

$$\Delta = m^2 - 4m\nu + 4 \quad (21-3)$$

می باشد. بدیهی است که معادله‌ی فوق برای مقادیر مختلف Δ ممکن است دارای ریشه‌های حقیقی یا مختلط

باشد، ولی با توجه به اینکه در مکانیک جامدات همواره ν بین صفر و $\frac{1}{2}$ می باشد عبارت $(1-\nu^2)16$ همواره

کوچکتر از صفر بوده، بنابراین Δ همواره عدد مثبتی خواهد بود در نتیجه λ همواره مقدار حقیقی خواهد

داشت. بنابراین با توجه به حقیقی بودن تمامی ریشه‌ها، حل معادله‌ی (18-۳) به شکل زیر خواهد بود:

$$u_r = C_1 r^{\lambda_1} + C_2 r^{\lambda_2} \quad (22-3)$$

که $\lambda_{1,2}$ از معادله‌ی (۲۰-۳) بدست می‌آید و تابعی از ضریب پواسون و توان تابع پروفیل خواهد بود.

۴ - ۲ - ۳ حل خصوصی

عامل ناهمگنی در معادله‌ی دیفرانسیل حاکم ناشی از دو عامل سرعت زاویه‌ای و گرادیان حرارتی می‌باشد. با توجه به اینکه پارامتر کوپل کننده بین این دو عامل وجود ندارد می‌توان تاثیر عامل ناهمگنی را برای هر یک به صورت مجزا بررسی نمود. لذا داریم:

$$r^2 \frac{d^2 u_r}{dr^2} + (1+m)r \frac{du_r}{dr} + (mv-1)u_r = F_{rotation}(r) + F_{thermal}(r) \quad (23-3)$$

که در آن $F_{rotation}(r)$ عامل ناهمگنی ناشی از دوران که مقدار آن برابر است با:

$$F_{rotation}(r) = \frac{(v^2-1)\rho_0 r^3 \omega^2}{E_0} \quad (24-3)$$

و $F_{thermal}(r)$ عامل ناهمگنی ناشی از گرادیان حرارتی که مقدار آن برابر است با:

$$F_{thermal}(r) = \frac{m\alpha_0(1+v)(T_o - T_i)}{r_i^m(r_o^{-m} - r_i^{-m})} r \quad (25-3)$$

بنابراین می‌توان حل خصوصی ناشی از این دو عامل را به صورت زیر نوشت و برای هر حالت به صورت مجزا محاسبه نمود:

$$u_r^p = u_r^p \Big|_{rotation} + u_r^p \Big|_{thermal} \quad (26-3)$$

محاسبه‌ی حل خصوصی ناشی از دوران: اگر به معادله‌ی (۲۴-۳) توجه کنیم ملاحظه می‌شود که با فرض حل چند جمله‌ای از مرتبه‌ی ۳ زیر می‌توان معادله‌ی جابجایی ناشی از عامل ناهمگنی دوران را محاسبه نمود:

$$u_r^p|_{rotation} = \sum_{j=0}^3 B_j r^j \quad (27-3)$$

با جایگذاری معادله‌ی فوق در معادله‌ی (۲۴-۳) و با فرض $F_{thermal}(r) = 0$ خواهیم داشت:

$$B_0 = B_1 = B_2 = 0, B_3 = \frac{(\nu^2 - 1)\rho_0\omega^2}{(8 + (3 + \nu)m)E_0} \quad (28-3)$$

بنابراین:

$$u_r^p|_{rotation} = \frac{(\nu^2 - 1)\rho_0\omega^2 r^3}{(8 + (3 + \nu)m)E_0} \quad (29-3)$$

محاسبه‌ی حل خصوصی ناشی از گرادیان حرارتی: جمله مربوط به گرادیان حرارتی معادله‌ی چند جمله‌ای مرتبه یک می‌باشد که با فرض همین درجه برای تابع پاسخ مقدار آن قابل محاسبه است:

$$u_r^p|_{thermal} = B_1' r + B_0' \quad (30-3)$$

با جایگذاری معادله‌ی فوق در معادله‌ی (۲۵-۳) و با فرض $F_{rotation}(r) = 0$ نتیجه زیر حاصل می‌شود:

$$B_0' = 0, B_1' = -\frac{\alpha_0 r_o^m (T_o - T_i)}{(r_o^m - r_i^m)} \quad (31-3)$$

بنابراین:

$$u_r^p|_{thermal} = -\frac{\alpha_0 r_o^m (T_o - T_i)}{(r_o^m - r_i^m)} r, \quad (m \neq 0) \quad (32-3)$$

می‌باشد. با توجه به معادلات (۲۶-۳)، (۲۹-۳) و (۳۲-۳) حل خصوصی به شکل زیر خواهد بود:

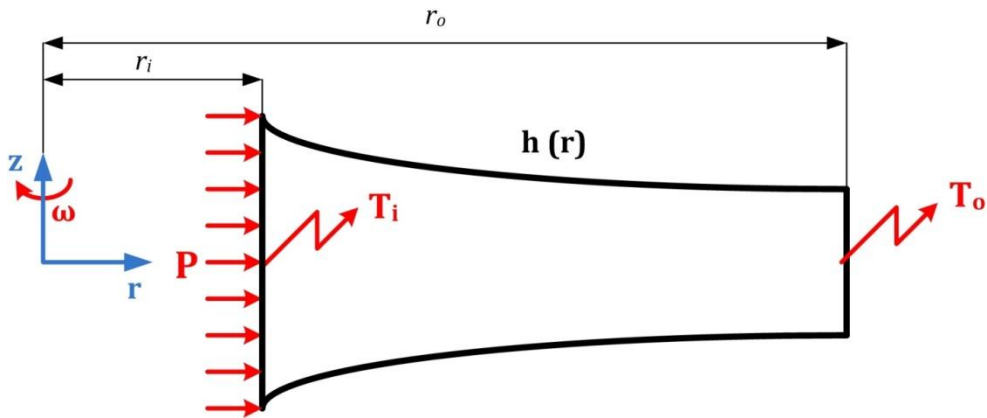
$$u_r^p = u_r^p|_{rotation} + u_r^p|_{thermal} = \frac{(\nu^2 - 1)\rho_0\omega^2}{(8 + (3 + \nu)m)E_0} r^3 - \frac{\alpha_0 r_o^m (T_o - T_i)}{(r_o^m - r_i^m)} r, \quad (m \neq 0) \quad (33-3)$$

و حل کلی مسئله نیز به شکل زیر خواهد بود:

$$u_r = C_1 r^{\frac{1}{2}(-m+\sqrt{m^2-4mv+4})} + C_2 r^{\frac{1}{2}(-m-\sqrt{m^2-4mv+4})} + \frac{(v^2-1)\rho_0\omega^2}{(8+(3+v)m)E_0} r^3 - \frac{\alpha_0 r_o^m (T_o - T_i)}{(r_o^m - r_i^m)} r \quad (34-3)$$

۳-۲-۵ اعمال شرایط مرزی

دیسک با ضخامت متغیر مورد بررسی در این پژوهش تحت شرایطی مطابق شکل ۸-۳ می‌باشد:



شکل ۸-۳: بارگذاری در دیسک با ضخامت متغیر

لذا شرایط مرزی آن به شکل زیر خواهد بود:

$$\begin{cases} \sigma_r \Big|_{r=r_i} = -P \\ \sigma_r \Big|_{r=r_o} = 0 \end{cases} \quad (35-3)$$

از طرفی با توجه به معادله (۱۷-۲) داریم:

$$\sigma_r = \frac{E_0}{(1-v^2)} \left(\frac{du_r}{dr} + v \frac{u_r}{r} - \alpha_0 (1+v) \Delta T(r) \right) \quad (36-3)$$

با جایگذاری روابط (۱۳-۳) و (۳۴-۳) در رابطه‌ی فوق خواهیم داشت:

$$\begin{cases} u_r = C_1 r^{\frac{1}{2}(-m+\sqrt{m^2-4mv+4})} + C_2 r^{\frac{1}{2}(-m-\sqrt{m^2-4mv+4})} + \frac{(v^2-1)\rho_0\omega^2}{(8+(3+v)m)E_0} r^3 - \frac{\alpha_0 r_o^{-m} (T_o - T_i)}{(r_o^{-m} - r_i^{-m})} r \\ \Delta T(r) = \left(\frac{(T_o - T_i)}{(r_o^{-m} - r_i^{-m})} \right) (r^{-m} - r_i^{-m}) \end{cases} \quad (37-3)$$

برای سادگی در تحلیل می توانتابع جابجایی شعاعی را به شکل زیر نوشت:

$$u_r = C_1 r^{\lambda_1} + C_2 r^{\lambda_2} + D_1 r^3 + D_2 r \quad (38-3)$$

با مشتق گیری از این رابطه داریم:

$$\frac{du_r}{dr} = C_1 \lambda_1 r^{\lambda_1-1} + C_2 \lambda_2 r^{\lambda_2-1} + 3D_1 r^2 + D_2 \quad (39-3)$$

با جایگذاری روابط فوق در (36-3) تابع تنفس شعاعی به شکل زیر ساده می شود:

$$\sigma_r = \frac{E_0}{(1-v^2)} \left(\begin{array}{l} (\lambda_1 + v)C_1 r^{\lambda_1-1} + (\lambda_2 + v)C_2 r^{\lambda_2-1} + (3+v)D_1 r^2 + D_2(1+v) \\ -\alpha_0(1+v) \left(\frac{(T_o - T_i)}{(r_o^{-m} - r_i^{-m})} \right) (r^{-m} - r_i^{-m}) \end{array} \right) \quad (40-3)$$

بنابراین شرایط مرزی به شکل زیر تبدیل می شود:

$$\begin{aligned} \sigma_r \Big|_{r=r_i} &= \frac{E_0}{(1-v^2)} \left((\lambda_1 + v)C_1 r_i^{\lambda_1-1} + (\lambda_2 + v)C_2 r_i^{\lambda_2-1} + (3+v)D_1 r_i^2 + D_2(1+v) \right) = -P \\ \sigma_r \Big|_{r=r_o} &= \frac{E_0}{(1-v^2)} \left(\begin{array}{l} (\lambda_1 + v)C_1 r_o^{\lambda_1-1} + (\lambda_2 + v)C_2 r_o^{\lambda_2-1} + (3+v)D_1 r_o^2 + D_2(1+v) \\ -\alpha_0(1+v)(T_o - T_i) \end{array} \right) = 0 \end{aligned} \quad (41-3)$$

که به صورت دستگاه معادلات زیر خواهد بود:

$$\begin{bmatrix} (\lambda_1 + v)r_i^{\lambda_1-1} & (\lambda_2 + v)r_i^{\lambda_2-1} \\ (\lambda_1 + v)r_o^{\lambda_1-1} & (\lambda_2 + v)r_o^{\lambda_2-1} \end{bmatrix} \begin{Bmatrix} C_1 \\ C_2 \end{Bmatrix} = - \begin{Bmatrix} \frac{P(1-v^2)}{E_0} + (3+v)D_1 r_i^2 + D_2(1+v) \\ (3+v)D_1 r_o^2 + D_2(1+v) - \alpha_0(1+v)(T_o - T_i) \end{Bmatrix} \quad (42-3)$$

با حل دستگاه معادلات خطی C_1 و C_2 به شکل زیر بدست می آیند:

$$C_1 = \frac{r_o r_i}{(\lambda_1 + \nu)(r_o^{\lambda_2} r_i^{\lambda_1} - r_o^{\lambda_1} r_i^{\lambda_2})} \left\{ \begin{array}{l} r_i^{\lambda_2-1} \left[(3+\nu) D_1 r_o^2 + D_2 (1+\nu) - \alpha_0 (1+\nu) (T_o - T_i) \right] \\ -r_o^{\lambda_2-1} \left[\frac{P(1-\nu^2)}{E_0} + (3+\nu) D_1 r_i^2 + D_2 (1+\nu) \right] \end{array} \right\} \quad (43-3)$$

$$C_2 = \frac{r_o r_i}{(\lambda_2 + \nu)(r_o^{\lambda_2} r_i^{\lambda_1} - r_o^{\lambda_1} r_i^{\lambda_2})} \left\{ \begin{array}{l} r_o^{\lambda_1-1} \left[\frac{P(1-\nu^2)}{E_0} + (3+\nu) D_1 r_i^2 + D_2 (1+\nu) \right] \\ -r_i^{\lambda_1-1} \left[(3+\nu) D_1 r_o^2 + D_2 (1+\nu) - \alpha_0 (1+\nu) (T_o - T_i) \right] \end{array} \right\}$$

که در آن:

$$\lambda_{1,2} = \frac{1}{2} \left(-m \pm \sqrt{m^2 - 4m\nu + 4} \right)$$

$$D_1 = \frac{(\nu^2 - 1)\rho_0 \omega^2}{(8 + (3+\nu)m)E_0} \quad (44-3)$$

$$D_2 = \frac{\alpha_0 r_o^m (T_o - T_i)}{(r_o^m - r_i^m)}$$

می باشد. با جایگذاری معادلات فوق در (34-3) معادله‌ی جابجایی محاسبه می شود با معلوم بودن تابع جابجایی می توان توزیع تنش‌ها و کرنش‌ها را محاسبه نمود.

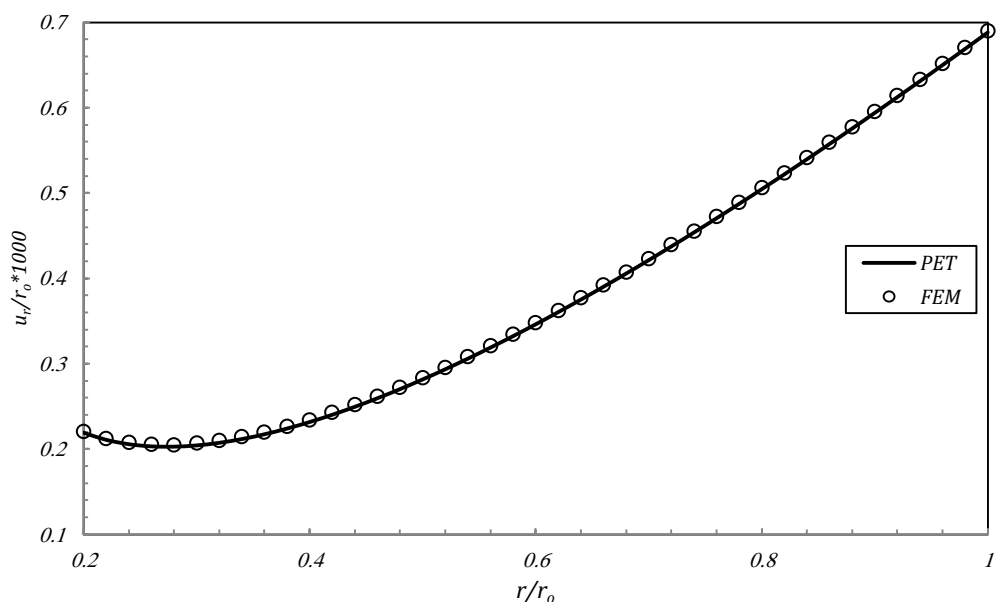
۳ - ۳ بررسی نتایج حل دیسک همگن با تابع ضخامت توانی

در این قسمت به بررسی یک نمونه از این دیسک فولادی همگن با تابع ضخامت توانی مطابق جداول ۱-۱ و ۱-۲ و با توجه به شرایط مرزی مطابق جدول ۱-۳ پرداخته می شود. ابتدا نتایج بدست آمده از حل تحلیلی با حل عددی مقایسه می شود. سپس تاثیر هریک از بارگذاری‌ها در نتایج حاصل بررسی شده و نقش هر یک از بارگذاری‌ها بر مشخصه‌های مکانیکی سیستم بیان می شود. در پایان نیز پروفیل‌های مختلف دیسک تحلیل شده و نتایج آن ارائه می شود.

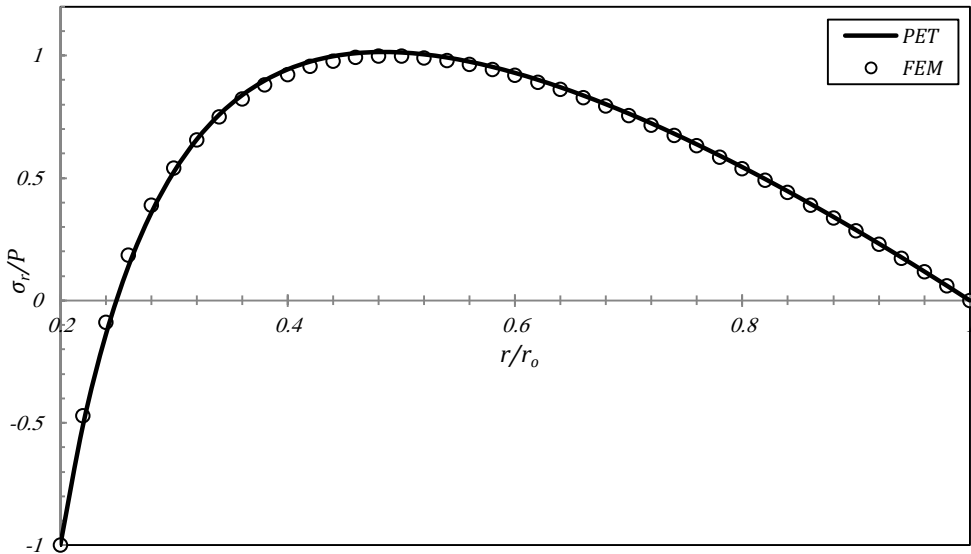
۳ - ۳ - ۱ مقایسه نتایج با حل عددی

در فصل دوم بیان شد که برای بررسی نتایج حاصل تحلیلی به منظور کسب اطمینان از فرضیات در نظر گرفته شده بهتر است نتایج با حل عددی مقایسه شود. این موضوع در دیسک های با ضخامت متغیر چون امکان دارد که از فرض تنش صفحه‌ای دورتر شویم، حساستر می باشد.

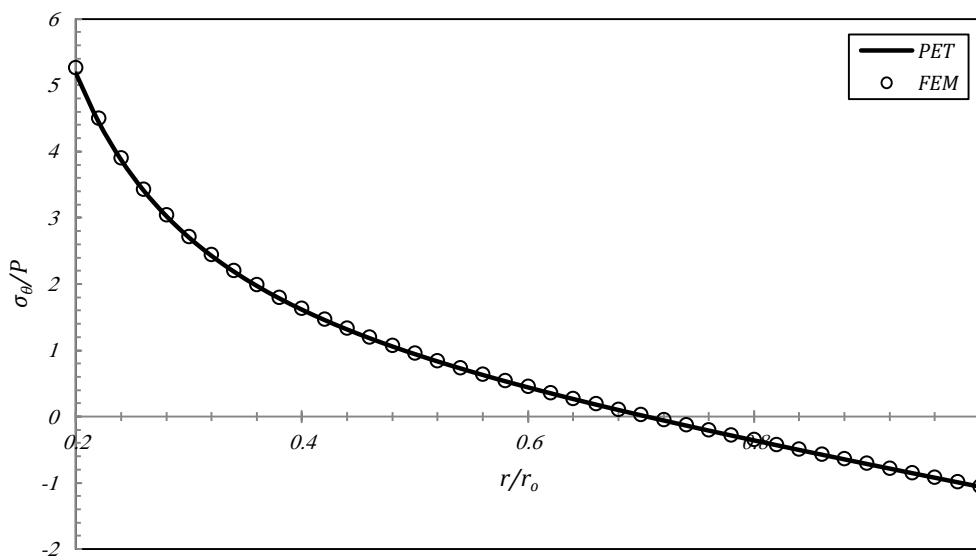
در این قسمت با توجه به در نظر گرفتن بحرانی‌ترین شرایط دیسک با بیشترین نسبت ضخامت ($h/h_o=2$) با نرم افزار انسیس مدل سازی می شود و نتایج آن با حل عددی مقایسه می شود. قابل ذکر است در نرم افزار انسیس با نوشتن کد می توان پروفیل‌های مختلف را ایجاد نمود. شکل‌های ۹-۳ تا ۱۱-۳ نتایج بدست امده در تنش‌ها و جابجایی شعاعی با استفاده از دو روش را نمایش می‌دهند:



شکل ۹-۳ : توزیع جابجایی شعاعی در دیسک همگن با پروفیل توانی ($h/h_o=2$)



شکل ۱۰-۳ : توزیع تنش شعاعی در دیسک همگن با پروفیل توانی ($h_i/h_0=2$)



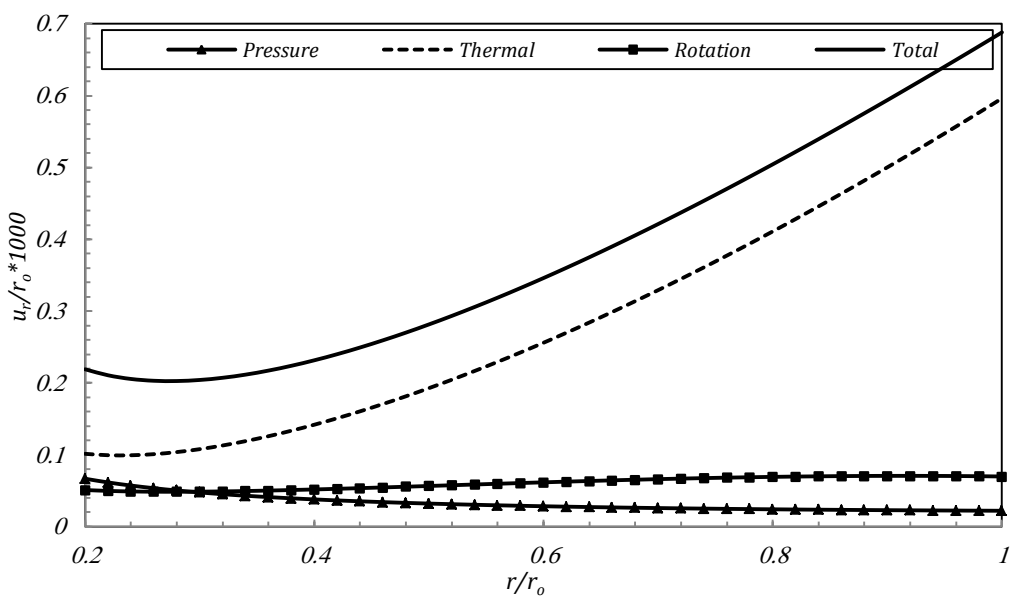
شکل ۱۱-۳ : توزیع تنش محیطی در دیسک همگن با پروفیل توانی ($h_i/h_0=2$)

بیشترین خطا در جابجایی شعاعی $1/3$ درصد، در تنش شعاعی $7/2$ درصد و در تنش محیطی $8/9$ درصد می-باشد اگرچه انطباق نتایج بین حل تحلیلی و عددی مشابه فصل قبل با خطای بسیار کم مشاهده نمی شود ولی با توجه به افزایش ضخامت در لایه‌های داخلی و امکان ایجاد تنش در راستای z ، دقت نتایج بدست آمده قابل

قبول می باشد. همچنین نحوه تغییرات مشخصه های مکانیکی سیستم در دو حل ارائه شده مشابه یکدیگر می باشد.

۳ - ۲ - ۲ بررسی تاثیر بار گذاری ها در توزیع مشخصه های مکانیکی

در روابط ارائه شده براي ديسك همگن با تابع ضخامت توانی مشاهده شد که هر يك از بارگذاريها بصورت جداگانه نوشته و تنش هاي منتج از آن دارد. بنابراین می توان روابط را برای هر يك از بارگذاريها بصورت مستقل، تاثير در جابجايی شعاعي و تنش هاي منتج از آن دارد. شكل ۱۲-۳ تغييرات جابجايی شعاعي را در راستاي شعاع نشان مى دهد:

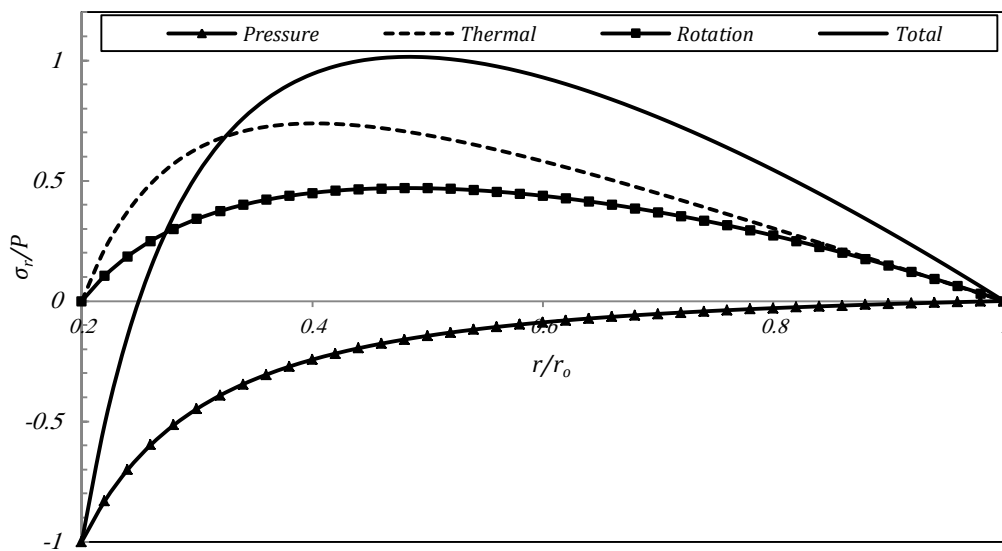


شكل ۱۲-۳ : نحوه توزیع جابجایی شعاعی در بارگذاریهای مختلف ($h_i/h_o=2$)

ملاحظه می شود که در این حالت نیز قدر مطلق جابجایی ناشی از گرادیان حرارتی بر بارگذاری های دیگر غلبه دارد. با توجه به اینکه دما در ديسك با افزایش شعاع افزایش می یابد، تغییرات جابجایی ناشی از گرادیان حرارتی به صورت صعودی رفتار می کند. بنابراین جابجایی شعاعی حاصل از بارگذاری عمومی نیز از این رفتار تبعیت می کند فقط در لایه های داخلی ديسك برهمنش بارگذاری ها سبب شده است که تغییرات به شکل نزولی بوده

و و با افزایش شعاع دوباره گرادیان حرارتی بارگذاری غالب دیسک می‌شود. شکل ۱۳-۳ توزیع تنش شعاعی

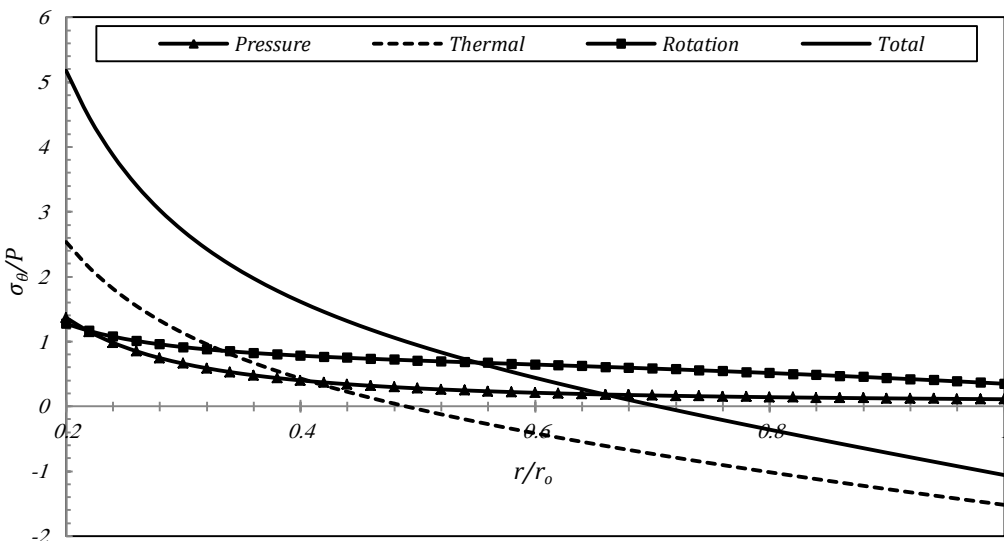
نرمال را در راستای شعاع نشان می‌دهد:



شکل ۱۳-۳ : نحوه‌ی توزیع تنش شعاعی در بارگذاریهای مختلف ($h_r/h_o=2$)

تغییرات تنش شعاعی در بارگذاری حرارتی و گریز از مرکز رفتاری مشابه دارد که این موضوع با توجه صفر بودن تنش شعاعی در شعاع داخلی و خارجی دیسک است و با توجه به مثبت بودن جابجایی شعاعی بقیه لایه‌ها تحت تاثیر کشش ناشی از این عامل است بنابراین تنش بیشینه در لایه‌های میانی رخ می‌دهد. در بارگذاری فشاری نیز تمام دیسک تحت فشار است که با افزایش شعاع و نزدیک شدن به سطح آزاد این فشار کاهش می‌یابد.

با استفاده از جمع آثار رفتار برآیند نیروها به شکلی است که لایه‌های داخلی تحت فشار و لایه‌های خارجی تحت کشش قرار دارد. بیشترین مقدار تنش فشاری در لایه‌ی داخلی و بیشترین مقدار تنش کششی در لایه میانی و در $r/r_o=0.48$ رخ می‌دهد. نکته‌ی قابل توجه در تنش شعاعی این است که بر خلاف نتایج جابجایی شعاعی، بارگذاری ناشی از گرادیان حرارت بارگذاری غالب نمی‌باشد و هریک از بارگذاری‌ها سهم مساوی در تغییرات تنش شعاعی داشته است. شکل ۱۴-۳ توزیع تنش شعاعی نرمال را در راستای شعاع نشان می‌دهد:



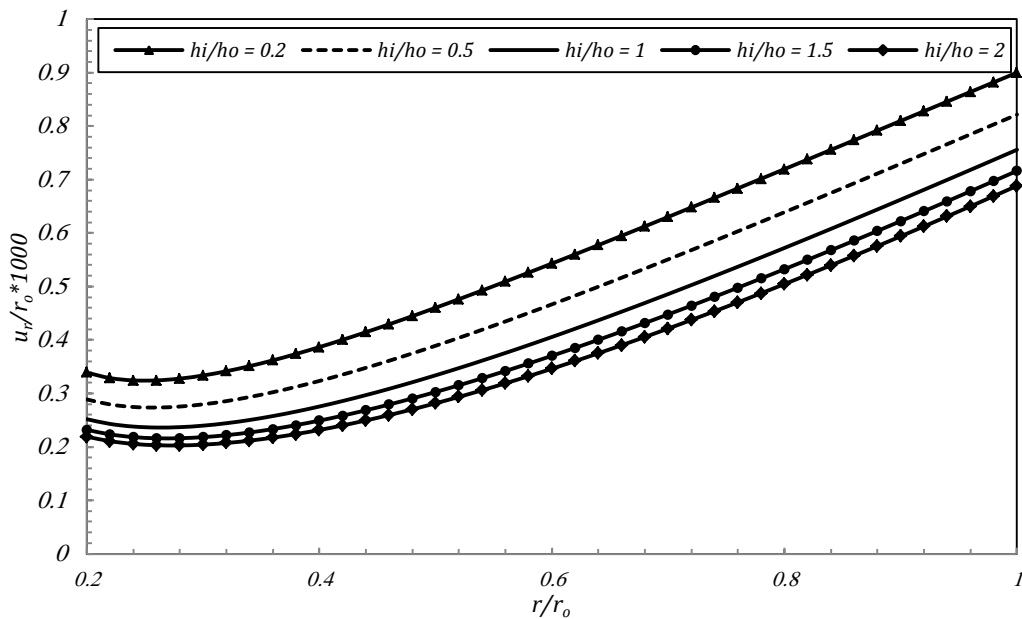
شکل ۱۴-۳ : نحوه‌ی توزیع تنش محیطی در بارگذاریهای مختلف ($h_r/h_o=2$)

در شکل ۱۴-۳ ملاحظه می‌شود مشابه جابجایی شعاعی، بارگذاری حرارتی عامل غالب می‌باشد و رفتار تنشهای محیطی تمامی بارگذاری‌های تحت تاثیر این بارگذاری می‌باشد. البته این این موضوع با افزایش شعاع بیشتر می‌شود که ناشی از افزایش اختلاف جابجایی شعاعی ناشی از گرادیان حرارتی از جابجایی‌های دیگر است. همچنین مشهود است که در بارگذاریهای ناشی از فشار و دوران همواره تنش محیطی کششی می‌باشد، ولی در بارگذاری عمومی در لایه‌های خارجی تنش محیطی از کششی به فشاری تغییر وضع می‌دهد.

۳ - ۳ - بررسی تاثیر نسبت ضخامت‌های مختلف در توزیع مشخصه‌های مکانیکی

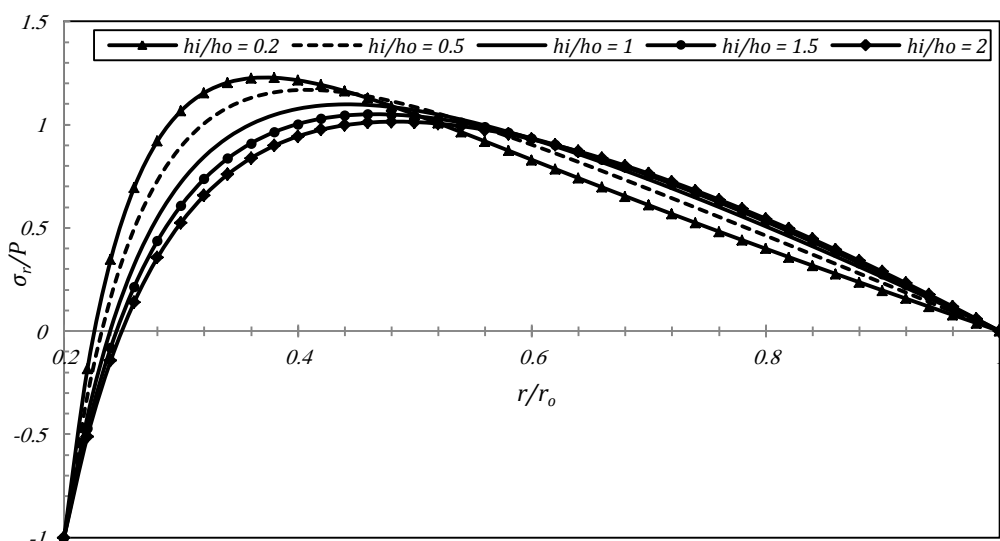
در قسمت‌های قبل نتایج اعتبارسنجی شده و تاثیر هریک از بارگذاری‌ها بررسی شدند. در این قسمت به بررسی تاثیر نسبت ضخامت‌های مختلف در کاهش یا افزایش تنش‌ها پرداخته می‌شود و نتایج کاربردی از آن استخراج می‌شود.

شکل ۱۵-۳ توزیع جابجایی شعاعی را به ازای نسبت‌های مختلف ضخامت نشان می‌دهد:



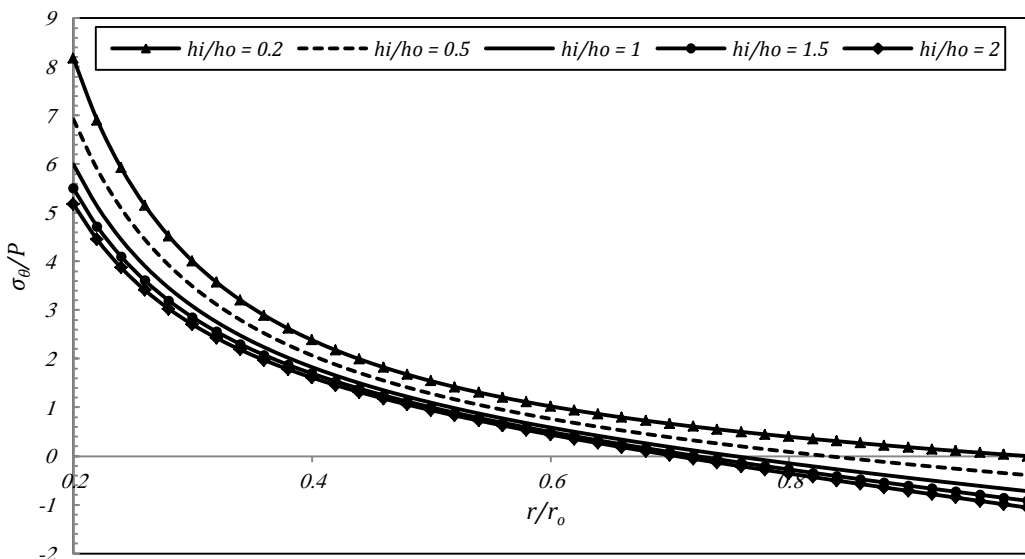
شکل ۱۵-۳ : تاثیر نسبت ضخامت بر توزیع جابجایی شعاعی دیسک همگن

با افزایش نسبت ضخامت جابجایی شعاعی کاهش می‌یابد که این موضوع می‌تواند به علت افزایش صلبیت دیسک در لایه‌های داخلی با توجه به افزایش ضخامت باشد. البته با توجه به اینکه در جابجایی شعاعی نیروی غالب متأثر از بارگذاری حرارتی می‌باشد، نیاز به نتایج تفکیکی در هر بارگذاری می‌باشد که در قسمت جمع-بندی به آن پرداخته می‌شود. شکل ۱۶-۳ توزیع تنش نرمال شعاعی را در راستای شعاع دیسک نمایش می‌دهد.



شکل ۱۶-۳ : تاثیر نسبت ضخامت بر توزیع تنش شعاعی دیسک همگن

از نمودار ارائه شده در شکل ۱۶-۳ دو نکته‌ی مثبت استخراج می‌شود. اول اینکه با افزایش نسبت ضخامت مقدار بیشینه تنش شعاعی در لایه‌ها کاهش می‌یابد. دوم اینکه محل تنش بیشینه شعاعی در دیسک از شعاع داخلی که نقطه بحرانی تنش می‌باشد فاصله می‌گیرد، که مجموع این دو موضوع برای طراحی دیسک از دیدگاه مقاومت مصالح شرایط بهتری را ایجاد می‌کند. شکل ۱۷-۳ توزیع تنش نرمال محیطی را در راستای شعاع دیسک نمایش می‌دهد.



شکل ۱۷-۳ : تأثیر نسبت ضخامت بر توزیع تنش محیطی دیسک همگن

شکل ۱۷-۳ نشان می‌دهد که با افزایش نسبت ضخامت تنش‌های محیطی نسبت به حالت قبل کمتر می‌شود. همچنین مشهود است که کاهش ضخامت در لایه‌ی داخلی تنش را با شیب بیشتری افزایش می‌دهد که مطابق انتظار می‌باشد.

۴ - ۴ حل تحلیلی دیسک همگن با تابع ضخامت نمایی

در این قسمت برای تابع ضخامت از پروفیل نمایی استفاده می‌شود و مشابه قسمت قبل مواد همگن در نظر گرفته می‌شود بنابراین معادله‌ی بدست آمده در فصل دوم برای دیسک‌ها با اعمال تابع ضخامت ساده‌سازی و ثابت‌های تعریف شده، به شکل زیر تبدیل خواهند شد:

$$\begin{aligned}
A_1 &= r^2 \\
A_2 &= (1+mr)r \\
A_3 &= m\nu r - 1 \\
A_4 &= r^2(1+\nu) \left\{ \frac{(1-\nu)\rho_0 r \omega^2}{E_0} - \alpha_0 \left(\frac{d}{dr}(\Delta T(r)) + m \Delta T(r) \right) \right\}
\end{aligned} \tag{45-۳}$$

با توجه به اینکه برای حل معادله‌ی ابتدامی بایست حل حرارتی انجام شود در گام اول حل حرارتی برای دیسک همگن با تابع ضخامت نمایی محاسبه خواهد شد.

۴ - ۱ حل حرارتی

برای حل حرارتی دیسک همگن با ضخامت متغیر ابتدامی بایست انتگرال زیر را حل کرد:

$$\int \frac{dr}{rh(r)} \tag{46-۳}$$

با جایگذاری تابع پروفیل نمایی، انتگرال زیر به شکل زیر تبدیل خواهد شد:

$$\frac{1}{h^*} \int \frac{dr}{re^{mr}} \tag{47-۳}$$

با توجه به مرجع [۲۸] حاصل انتگرال فوق را به شکل زیر می‌باشد:

$$\frac{1}{h^*} \int \frac{dr}{re^{mr}} = \frac{-1}{h^*} \zeta_1(mr) \tag{48-۳}$$

که در آن:

$$\zeta_\beta(r) = \int_1^\infty \frac{e^{tr}}{t^\beta} dt \quad (\beta = 1, 2, \dots; r > 0) \tag{49-۳}$$

می‌باشد. با جایگذاری روابط فوق به جای انتگرال‌ها در معادله‌ی توزیع دما خواهیم داشت:

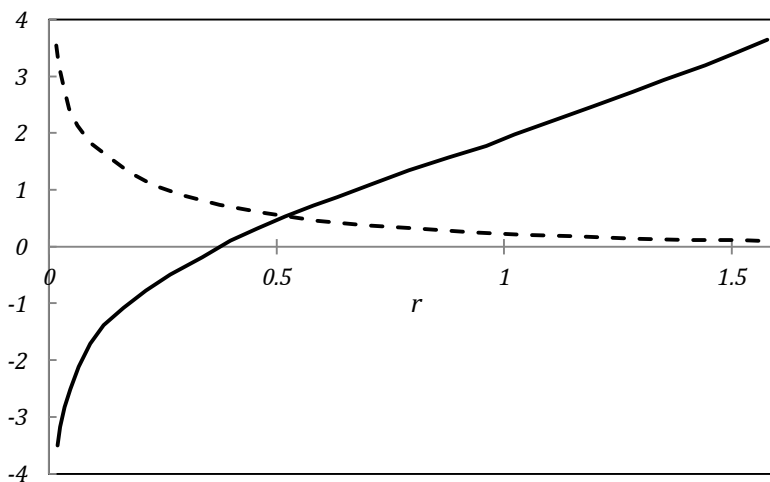
$$\Delta T(r) = (T_o - T_i) \left(\frac{\zeta_1(mr) - \zeta_1(mr_i)}{\zeta_1(mr_o) - \zeta_1(mr_i)} \right) \tag{50-۳}$$

مقادیر تابع $\zeta_1(mr)$ با ازای مقادیر $m > 0$ حقیقی و به ازای مقادیر $m < 0$ مختلط بوده و از رابطه‌ی زیر به

دست می‌آید:

$$\zeta_1(-r) = -\zeta i(r) \mp i\pi, \quad \zeta i(r) = -\int_{-r}^{\infty} \frac{e^{-t}}{t} dt \quad (51-3)$$

نمودار زیر نحوه‌ی تغییرات این دو تابع را به ازای مقادیر موجود، نمایش می‌دهد:



شکل ۱۸-۳ : نمودار توابع انتگرال نمایی (مرجع [۳۰])

قابل ذکر است که تمامی مقادیر توابع انتگرال نمایی در جداول ریاضیات آمده است.

۳ - ۴ - ۲ حل نیمه تحلیلی

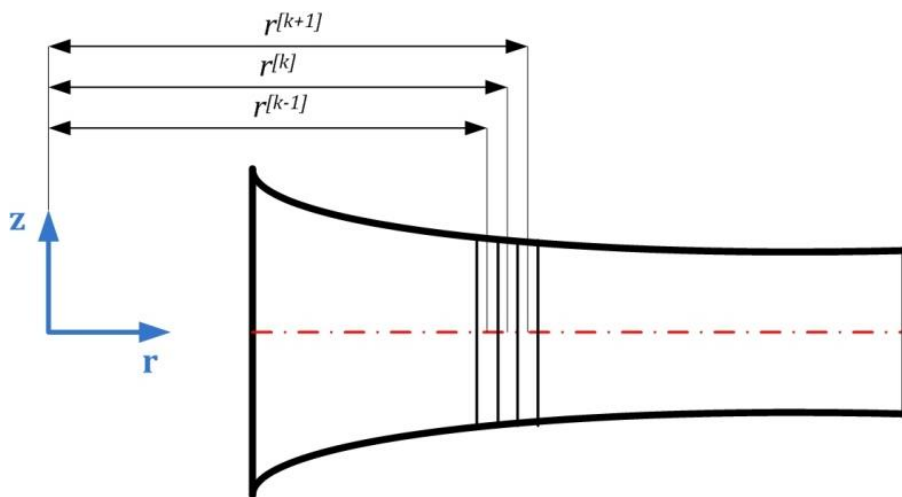
با جایگذاری روابط بدست آمده معادله‌ی ترمولاستیک حاکم بر دیسک به شکل زیر تبدیل می‌شود.

$$r^2 \frac{d^2 u_r}{dr^2} + (1+mr)r \frac{du_r}{dr} + (m\nu r - 1)u_r = F(r) \quad (52-3)$$

که در آن:

$$F(r) = -r^2(1+\nu) \left\{ \frac{(1-\nu)\rho_0 r \omega^2}{E_0} - \frac{\alpha_0 m (T_o - T_i)}{\zeta_1(mr_o) - \zeta_1(mr_i)} \left((\zeta_1(mr) - \zeta_1(mr_i)) - \frac{e^{-mr}}{mr} \right) \right\} \quad (53-3)$$

می باشد. معادله‌ی فوق در حالت همگن با استفاده از سری‌های فوق هندسی قابل حل می باشد که در پیوست B به آن پرداخته می شود. ولی با توجه به اینکه در حل حرارتی تابع $(mr)_1$ که یک تابع عددی می باشد، وجود دارد و انتگرال‌گیری از آن مقدور نمی باشد نمی‌توان حل تحلیلی برای آن ارائه نمود. بنابراین برای حل ترمولاستیک نیازمند روشی عددی یا نیمه تحلیلی می باشیم. با توجه به اینکه در این پژوهش سعی می شود از روش‌های تحلیلی برای تحلیل مسائل استفاده شود در این قسمت به ناچار از روشی که با فرضیاتی نزدیک به حل تحلیلی است، استفاده خواهد شد. برای داشتن روشی مناسب، مطمئن و قابل قبول از دیسک می بایست با استفاده از فرضیاتی قابل قبول معادله‌ی حاکم بر دیسک را به معادلات قابل حل تبدیل نمود. این فرضیات باید به گونه‌ای باشد که بتواند تغییرات ضخامت را متناسب با شعاع در نظر بگیرد. بدین منظور از تبدیل دیسک دور با ضخامت متغیر به تعدادی حلقه با ضخامت یکسان و سپس بر هم نهی حلقه‌ها و رسیدن به توزیع جابجایی و تنش نهایی استفاده شده است. با این روش که به تفصیل آن را شرح خواهیم داد، به جای متغیر گرفتن ضخامت در کل دیسک، ضخامت هر حلقه را ثابت فرض می کنیم و معادله‌ی حاکم بر آن را نوشه و حل می کنیم. شکل ۱۹-۳ نحوه‌ی تبدیل دیسک به حلقه‌های با ضخامت ثابت را نشان می دهد:



شکل ۱۹-۳: نحوه‌ی تبدیل دیسک به حلقه‌های با ضخامت ثابت

برای ساده نمودن معادلات در هر حلقه ضخامت را ثابت فرض می کنیم بنابراین معادله‌ی ضخامت در هر حلقه به

شکل زیر تبدیل می شود:

$$h^{[k]} = h^* e^{mr^{[k]}} \quad (54-3)$$

که در آن k شماره‌ی حلقه می باشد. با تبدیل دیسک ، معادله‌ی حاکم در هر حلقه به صورت زیر تبدیل خواهد شد.

$$A_1^{[k]} \frac{d^2 u_r^{[k]}}{dr^2} + A_2^{[k]} \frac{du_r^{[k]}}{dr} + A_3^{[k]} u_r^{[k]} + A_4^{[k]} = 0 \quad (55-3)$$

که در آن $A_i^{[k]}$ ها ضرایب ثابت می باشند و مطابق فرمول زیر می باشد:

$$\begin{aligned} A_1^{[k]} &= (r^{[k]})^2 \\ A_2^{[k]} &= (1 + mr^{[k]}) r^{[k]} \\ A_3^{[k]} &= m\sigma r^{[k]} - 1 \\ A_4^{[k]} &= \frac{(1 - \nu^2) \rho_0 \omega^2 (r^{[k]})^3}{E_0} - \frac{\alpha_0 m (1 + \nu) (T_o - T_i) (r^{[k]})^2}{\zeta_1(mr_o) - \zeta_1(mr_i)} \left(\zeta_1(mr^{[k]}) - \zeta_1(mr_i) - \frac{e^{-mr^{[k]}}}{mr^{[k]}} \right) \end{aligned} \quad (56-3)$$

بدین ترتیب معادله‌ی حاکم از معادله‌ی دیفرانسیل مرتبه دوم ناهمگن با ضرایب متغیر به معادله‌ی دیفرانسیل با ضرایب ثابت در هر حلقه تبدیل می شود. معادله مشخصه‌ی معادله (55-3) به شکل زیر می باشد:

$$A_1^{[k]} (\lambda^{[k]})^2 + A_2^{[k]} \lambda^{[k]} + A_3^{[k]} = 0 \quad (57-3)$$

با توجه به معادله مشخصه‌ی فوق معادله دیفرانسیل به ازای ضرایب مختلف دارای حل متفاوت خواهد بود:

$$\begin{cases} \Delta^{[k]} = 0 \rightarrow u_r^{[k]} = C_1^{[k]} e^{\lambda_1^{[k]} r} + C_2^{[k]} r e^{\lambda_1^{[k]} r} - \frac{A_4^{[k]}}{A_3^{[k]}} & \frac{r^{[k-1]} + r^{[k]}}{2} < r < \frac{r^{[k]} + r^{[k+1]}}{2} \\ \Delta^{[k]} \neq 0 \rightarrow u_r^{[k]} = C_1^{[k]} e^{\lambda_1^{[k]} r} + C_2^{[k]} e^{\lambda_2^{[k]} r} - \frac{A_4^{[k]}}{A_3^{[k]}} \end{cases} \quad (58-3)$$

که در آن:

$$\lambda_{1,2}^{[k]} = \frac{-A_2^{[k]} \pm \sqrt{\Delta^{[k]}}}{2A_1^{[k]}}, \Delta^{[k]} = (A_2^{[k]})^2 - 4A_1^{[k]}A_3^{[k]} \quad (59-3)$$

می باشد.

۳ - ۴ - ۳ شرایط مرزی

اگر دیسک را به η حلقه تبدیل کنیم، در این صورت η معادله خواهیم داشت که هر یک دو ثابت مجھول دارد

بنابراین 2η مجھول خواهیم داشت که به همین تعداد شرط مرزی نیاز داریم. دو شرط مرزی مشابه حل تحلیلی

در شعاع داخلی و خارجی داریم که در زیر آورده شده است:

$$\begin{aligned} \sigma_r \Big|_{r=r_i} &= \frac{E(r) \Big|_{r=r_i}}{(1-\nu^2)} \left[\frac{du_r^{[1]}}{dr} + \nu \frac{u_r^{[1]}}{r} \right] - \frac{E(r) \Big|_{r=r_i} \alpha(r) \Big|_{r=r_i} \Delta T^{[1]}}{(1-\nu)} = -P \\ \sigma_r \Big|_{r=r_o} &= \frac{E(r) \Big|_{r=r_o}}{(1-\nu^2)} \left[\frac{du_r^{[\eta]}}{dr} + \nu \frac{u_r^{[\eta]}}{r} \right] - \frac{E(r) \Big|_{r=r_o} \alpha(r) \Big|_{r=r_o} \Delta T^{[\eta]}}{(1-\nu)} = 0 \end{aligned} \quad (60-3)$$

با معلوم شدن دو ثابت مجھول به $(1-\eta)2$ شرط مرزی دیگر برای محاسبه‌ی ثابت‌های دیگر نیاز داریم.

همانطور که مشخص است دیسک، دارای محیط همگن و پیوسته است، لذا برای حفظ پیوستگی، باید در مرز

بین دو حلقه، نیروها، تنش‌ها و جابجایی‌ها پیوسته باشند. این شرایط که موسوم به شرایط پیوستگی می باشد

در نواحی مرزی حلقه‌ها تعریف می‌شود. با توجه به اینکه تمامی مشخصه‌های مکانیکی در حل ناویر، از جابجایی

شعاعی بدست می‌آیند، بنابراین پیوستگی جابجایی شعاعی یکی از شروط اساسی می باشد. از طرفی با توجه به

اینکه به پیوستگی کرنش‌های حرارتی و شیب تابع جابجایی در معادلات نیاز داریم پیوستگی تنش شعاعی نیز

می‌تواند یکی دیگر از معادلات پیوستگی بین حلقه‌ای باشد. با توجه به اینکه تمامی عوامل موجود در تنش

شعاعی در تنش محیطی وجود دارد لذا نیاز به قراردادن تنش‌های محیطی در شرایط پیوستگی وجود ندارد و

تنش محیطی در صورت پیوستگی تنش شعاعی، پیوسته خواهد بود.

با توجه به توضیحات ارائه شده، شرایط پیوستگی به شکل زیر تعریف می‌شود:

$$\begin{aligned} u_r^{[k]} \Big|_{r=\frac{r^{[k]}+r^{[k+1]}}{2}} &= u_r^{[k+1]} \Big|_{r=\frac{r^{[k]}+r^{[k+1]}}{2}} \\ \sigma_r^{[k]} \Big|_{r=\frac{r^{[k]}+r^{[k+1]}}{2}} &= \sigma_r^{[k+1]} \Big|_{r=\frac{r^{[k]}+r^{[k+1]}}{2}} \end{aligned} \quad (61-3)$$

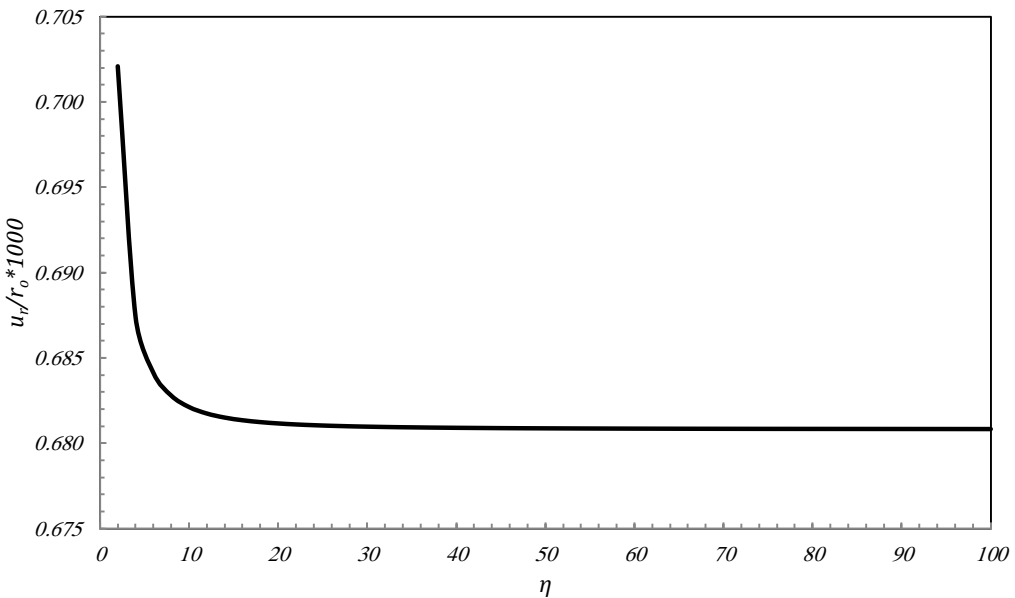
با اعمال شرایط مرزی فوق یک دستگاه معادله‌ی $(\eta-1) \times 2(\eta-1) \times 2$ به وجود می‌آید که به همراه دو معادله‌ی مرزی در حلقه‌ی داخلی و خارجی به دستگاه معادلات $2\eta \times 2\eta$ می‌رسیم که با حل آن 2η ثابت مجہول محاسبه و معادلات حاکم در هر حلقه بدست می‌آیند.

۳ - ۵ بررسی نتایج حل دیسک همگن با تابع ضخامت نمایی

در این قسمت به بررسی یک نمونه از این دیسک همگن مطابق جداول ۱-۱ و ۲-۱ و با توجه به شرایط مرزی مطابق جدول ۳-۱ پرداخته می‌شود.

۳ - ۵ - ۱ بررسی اعتبار حل نیمه تحلیلی

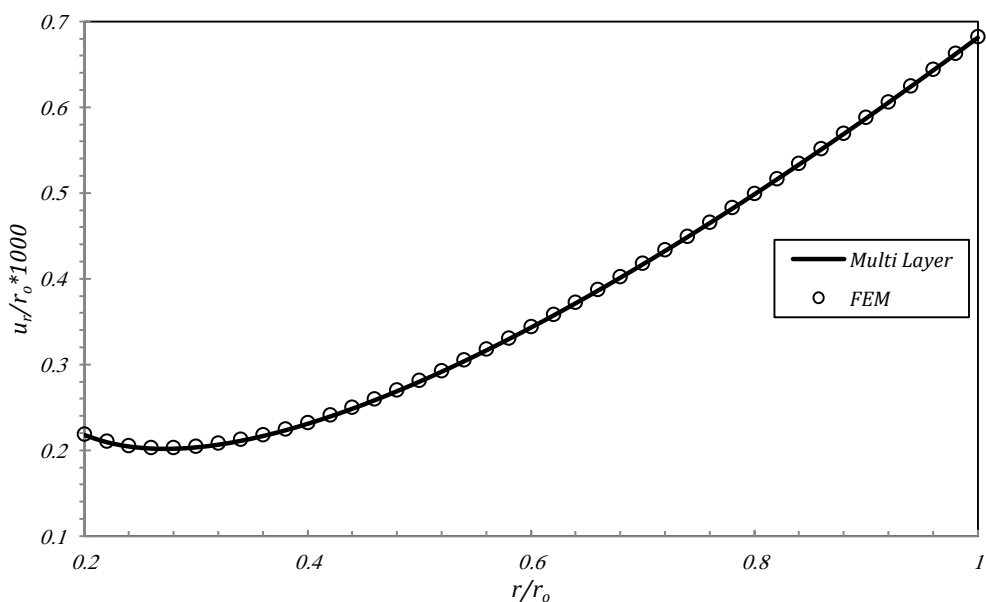
از لحاظ معادلات حاکم هر چه تعداد حلقه‌ها بیشتر باشد ساده‌سازی به واقعیت نزدیک‌تر خواهد بود ولی خطای محاسباتی محدودیتی برای این نمودار نزولی خط ایجاد می‌کند بطوریکه با افزایش حلقه‌ها خطای محاسباتی افزایش می‌یابد همچنین سبب افزایش حجم محاسبات خواهد شد. بنابراین برای بررسی تعداد لایه بهینه ابتدا مسئله را به ازای تعداد لایه‌های مختلف حل می‌کنیم و یکی از پارامترها را بعنوان پارامترها هدف تعیین می‌کنیم و رفتار آن را با افزایش حلقه‌ها بررسی می‌کنیم. شکل ۲۰-۳ استقلال جابجایی بیشینه را در دیسک همگن از حلقه‌های فرضی بررسی می‌کند.



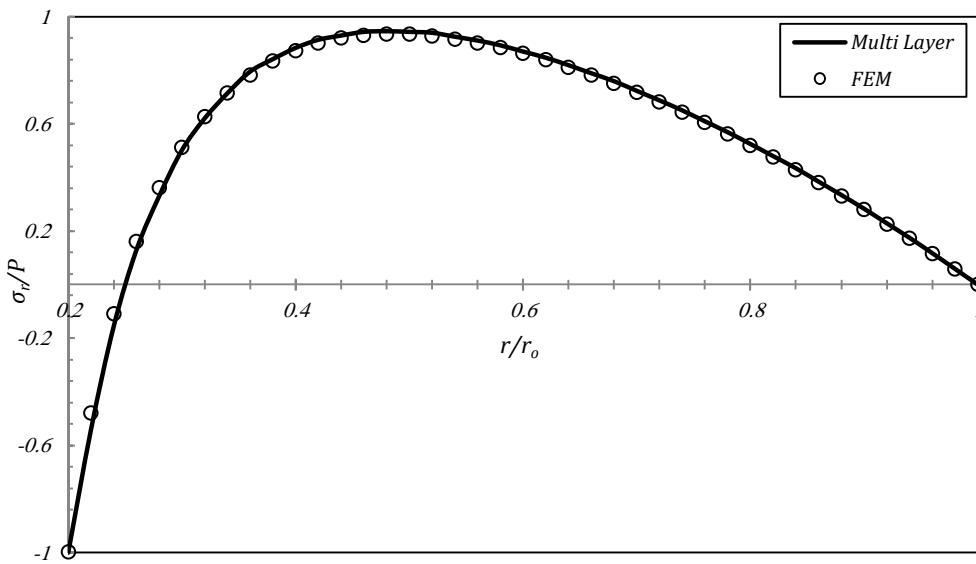
شکل ۲۰-۳ : بررسی استقلال از حلقه ها برای دیسک همگن با تابع ضخامت نمایی ($h_r/h_o=2$)

ملحوظه می شود پس از سی حلقه شبیه نمودار افقی شده است، بنابراین در این قسمت از چهل حلقه برای مدل سازی دیسک استفاده شده است. شکل های زیر نتایج بدست آمده در تنש ها و جابجایی شعاعی با استفاده از دو

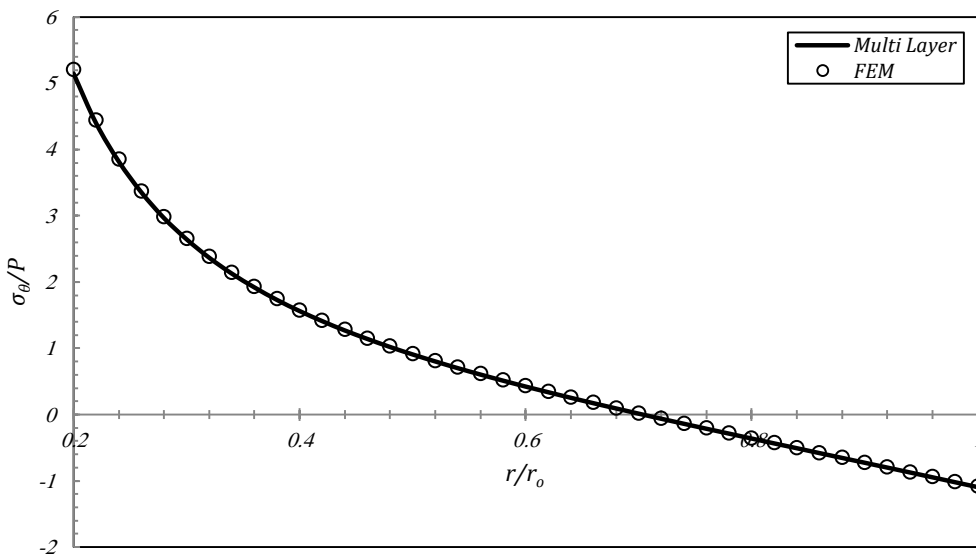
روش را نمایش می دهند:



شکل ۲۱-۳ : توزیع جابجایی شعاعی در دیسک همگن با پروفیل نمایی ($h_r/h_o=2$)



شکل ۲۲-۳ : توزیع تنش شعاعی در دیسک همگن با پروفیل نمایی ($h/h_o=2$)



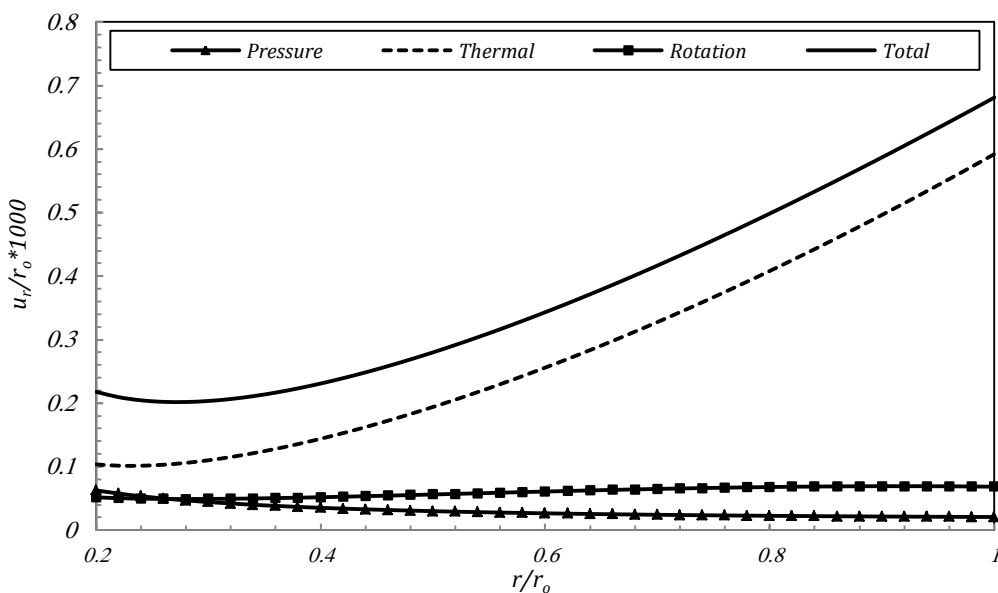
شکل ۲۳-۳ : توزیع تنش محیطی در دیسک همگن با پروفیل نمایی ($h/h_o=2$)

در شکل های فوق مشاهده می شود که نحوه تغییرات مشخصه های مکانیکی در دو روش مشابه یکدیگر می باشند. با توجه به اینکه هر دو حل ارائه شده نیاز به اعتبار سنجی دارند می توان با انطباق نتایج بدست آمده را با حل دقیق در قسمت های گذشته پذیرفت که مدل سازی بدرستی در نرم افزار انجام شده است لذا حل نیمه تحلیلی نیز نتایج را بدرستی ارائه داده است.

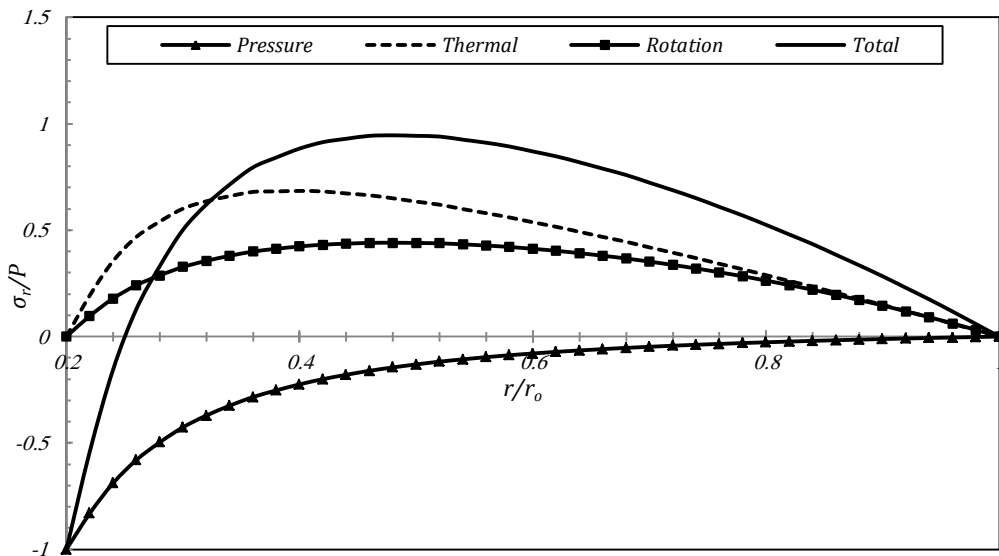
۳ - ۵ - ۲ - بررسی تاثیر هر بارگذاری در توزیع مشخصه های مکانیکی

با توجه به اینکه خروجی حل نیمه تحلیلی یکتابع چند ضابطه‌ای عددی است نمی‌توان از روی نتایج بدست امده در مورد تاثیر یا عدم تاثیر هریک از بارگذاری‌ها بر روی یکدیگر اظهار نظر کرد. در بخش قبل مشاهده شد که برای دیسک همگن با تابع ضخامت توانی هریک از بارگذاری‌ها به صورت مستقل تاثیر در جابجایی شعاعی و تنش‌های منتج از آن دارد. با توجه به اینکه تغییری در خواص وارد نشده است می‌توان بیان کرد که در دیسک همگن با پروفیل نمایی نیز اصل جمع آثار صادق است.

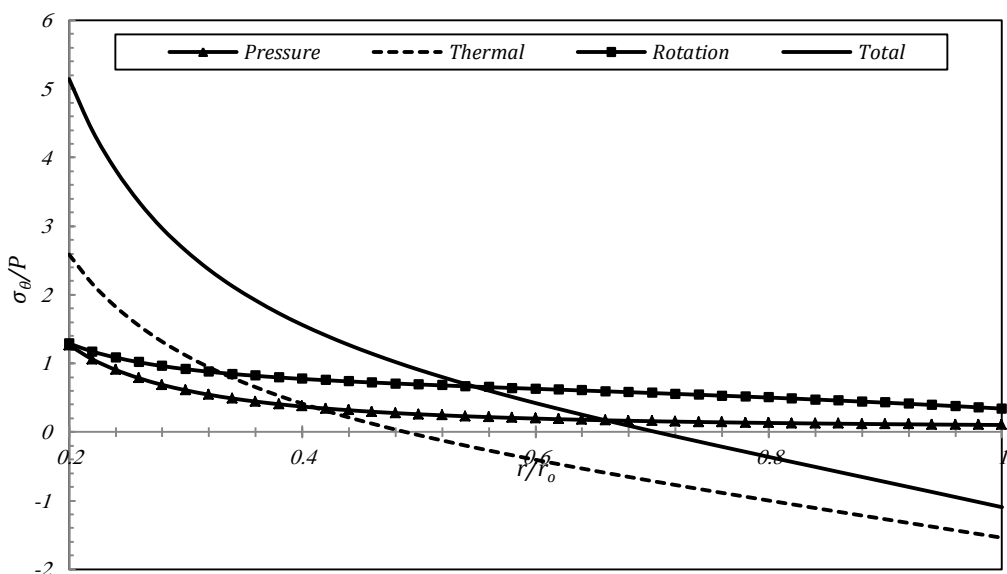
از طرفی با توجه به اینکه در بارگذاری‌های اعمال شده در این بخش هیچ تغییری انجام نشده است لذا می‌توان انتظار داشت که تاثیر هریک از بارگذاری‌ها مشابه پروفیل توانی باشد که در قسمت قبل نتایج آن بررسی شد. لذا جهت تکمیل مطالب ارائه شده، در اینجا فقط نمودارهای آن آورده شده است و در قسمت جمع بندی فصل با استفاده از جداول نتایج تجزیه تحلیل خواهند شد. شکل‌های زیر به نمایش تاثیر هریک از بارگذاری‌ها می‌پردازد:



شکل ۳-۲۴: نحوه‌ی توزیع جابجایی شعاعی در بارگذاری‌های مختلف ($h/h_0=2$)



شکل ۲۵-۳ : نحوه‌ی توزیع تنش شعاعی در بارگذاریهای مختلف ($h_i/h_o=2$)

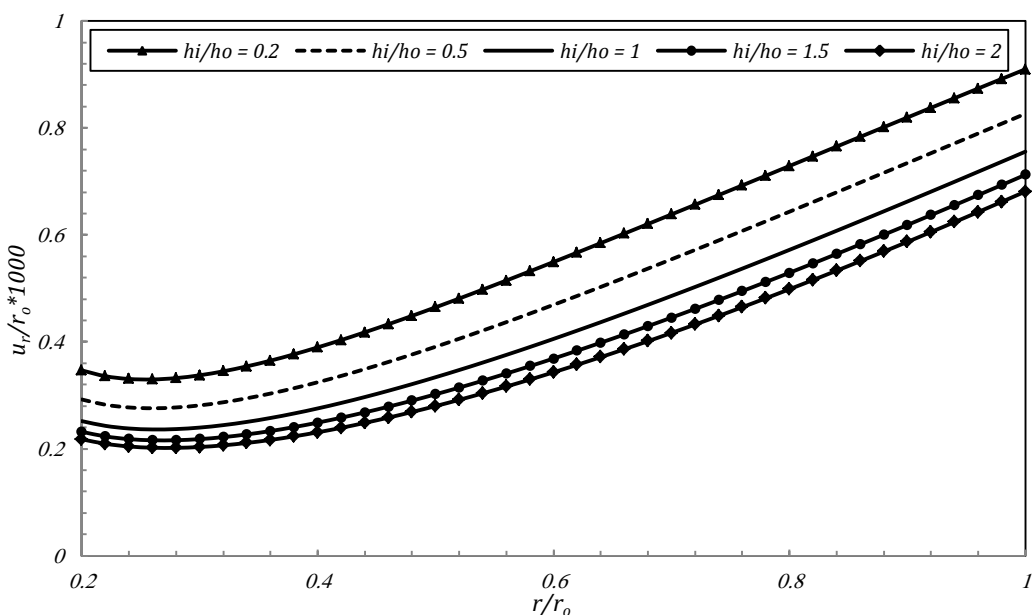


شکل ۲۶-۳ : نحوه‌ی توزیع تنش محیطی در بارگذاریهای مختلف ($h_i/h_o=2$)

ملاحظه می‌شود در دیسک با ضخامت متغیر نیز بارگذاری حرارتی غالباً بارگذاری می‌باشد و نحوه‌ی تغییرات خواص مشابه دیسک با ضخامت ثابت می‌باشد.

۳-۵-۳ بررسی تاثیر نسبت ضخامت دیسک در توزیع مشخصه های مکانیکی

در اینجا برای دیسک همگن با پروفیل نمایی به بررسی تاثیر نسبت ضخامت های مختلف در نتایج پرداخته می شود. شکل ۲۷-۳ توزیع جابجایی شعاعی را به ازای نسبت های مختلف ضخامت نشان می دهد:

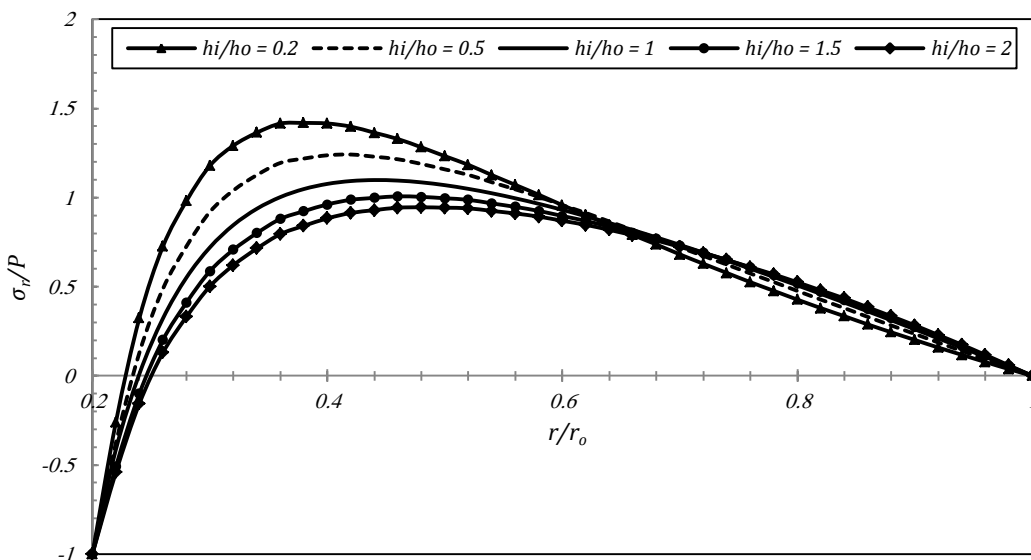


شکل ۲۷-۳: نحوه توزیع جابجایی شعاعی در دیسک همگن با پروفیل نمایی

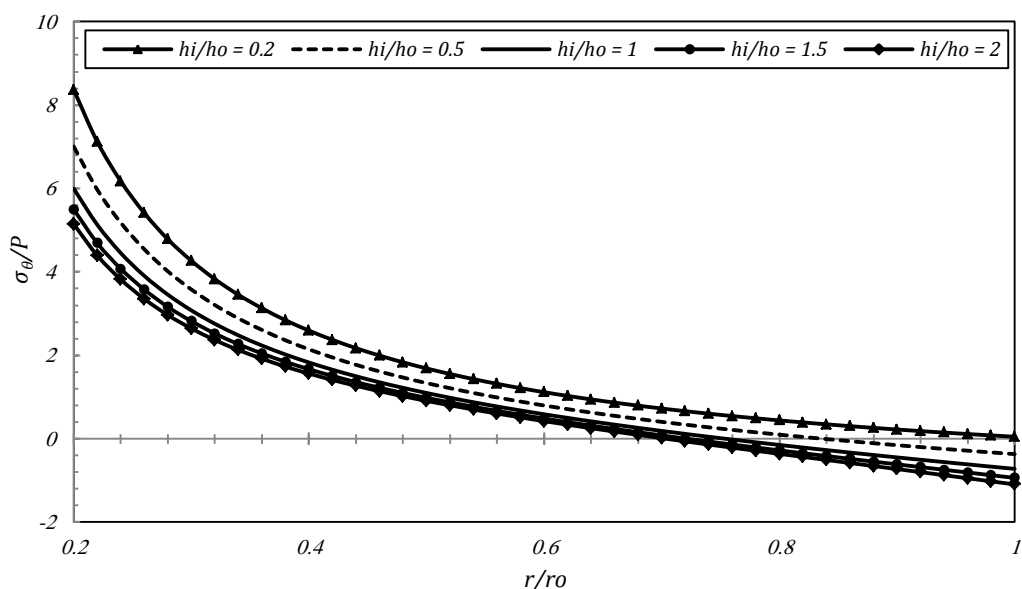
مشاهده می شود مشابه پروفیل توانی با افزایش نسبت ضخامت جابجایی شعاعی کاهش می یابد. در واقع با افزایش نسبت ضخامت، دیسک در مقابل بارگذاری مقاومتر شده و جابجایی شعاعی در آن کاهش می یابد.

نکته‌ی قابل توجه در دیسک با ضخامت متغیر اینست که صرفنظر از نوع پروفیل که می‌تواند توانی یا نمایی باشد، نحوه تغییرات به ازای نسبت‌های ضخامت متفاوت، مشابه یکدیگر بوده و نوع پروفیل فقط در مقدار تاثیر گذار است که با توجه به اینکه معادلات از جابجایی استخراج می‌شود قابل پیش‌بینی بود که در تنش‌ها رفتار به این شکل باشد.

شکلهای ذیل توزیع تنش نرمال شعاعی و محیطی را در راستای شعاع دیسک به ازای نسبت‌های ضخامت متفاوت نمایش می دهند:



شکل ۲۸-۳ : نحوه‌ی توزیع تنش شعاعی در دیسک همگن با پروفیل نمایی

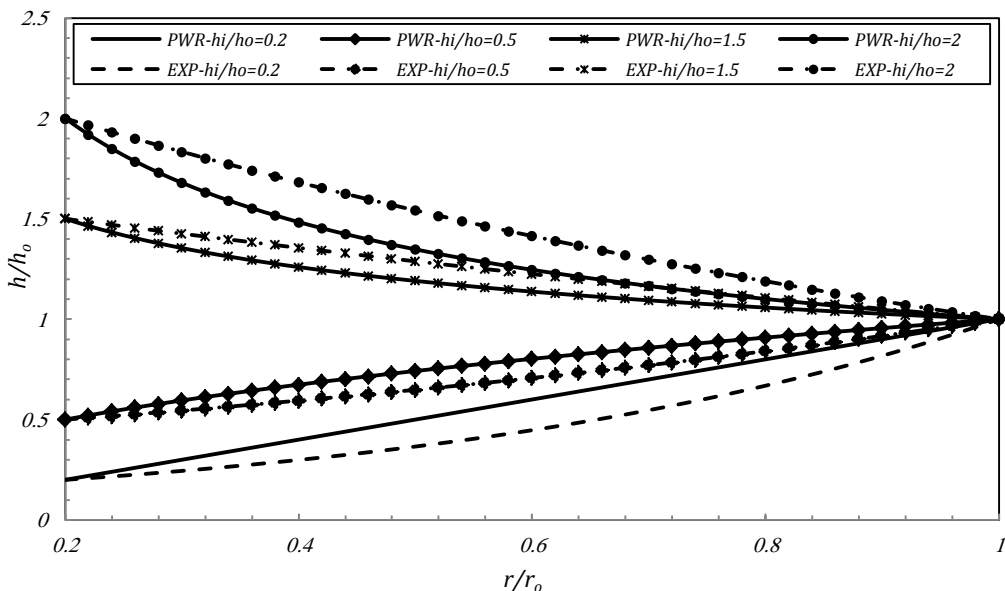


شکل ۲۹-۳ : نحوه‌ی توزیع تنش محیطی در دیسک همگن با پروفیل نمایی

مشاهده می‌شود مشابه دیسک با پروفیل توانی، کاهش مقدار بیشینه تنش شعاعی و دور شدن محل تنش بیشینه شعاعی از نقطه بحرانی تنش به ازای h_i/h_o های بزرگتر از صفر اتفاق می‌افتد. همچنین به ازای افزایش نسبت ضخامت کاهش تنش محیطی نیز مشاهده می‌شود که به هدف مورد نظر نزدیک شده است. در ادامه به مقایسه دو پروفیل پرداخته می‌شود.

۳ - ۵ - ۴ مقایسه نتایج پروفیل توانی و نمایی

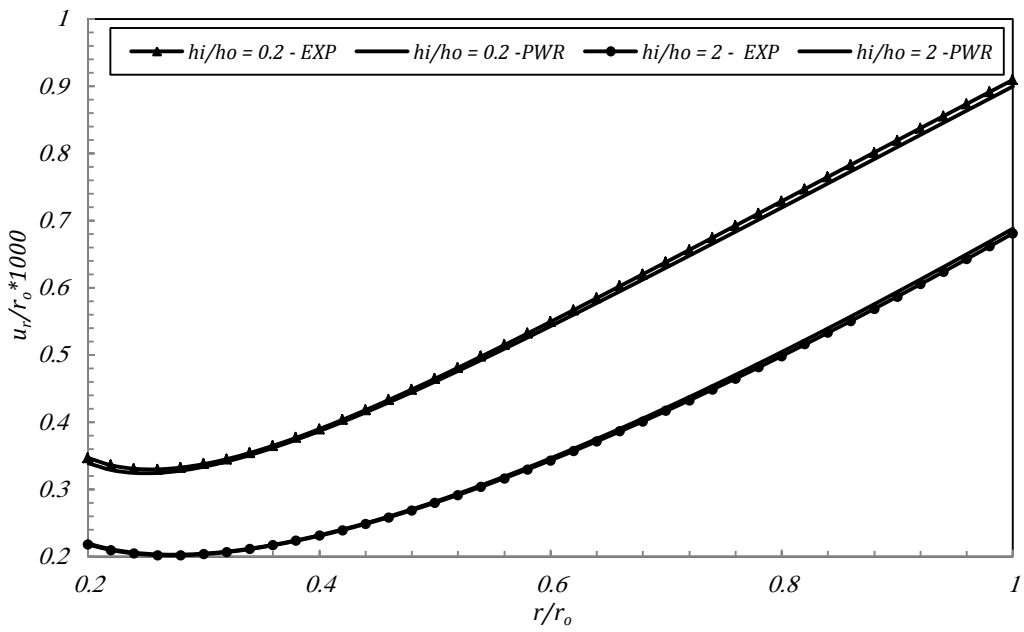
در این بخش به مقایسه دو پروفیل نمایی و توانی پرداخته می شود. فصل مشترک دو دیسک همگن بودن آنها است و وجه تمایز آنها پروفیل تعریف شده بین دو ضخامت تعریف شده است. شکل ۳۰-۳ پروفیل دوتابع را در چند نسبت ضخامت مشابه نشان داده است:



شکل ۳۰-۳: مقایسه‌ی پروفیل‌های ضخامت نمایی و توانی

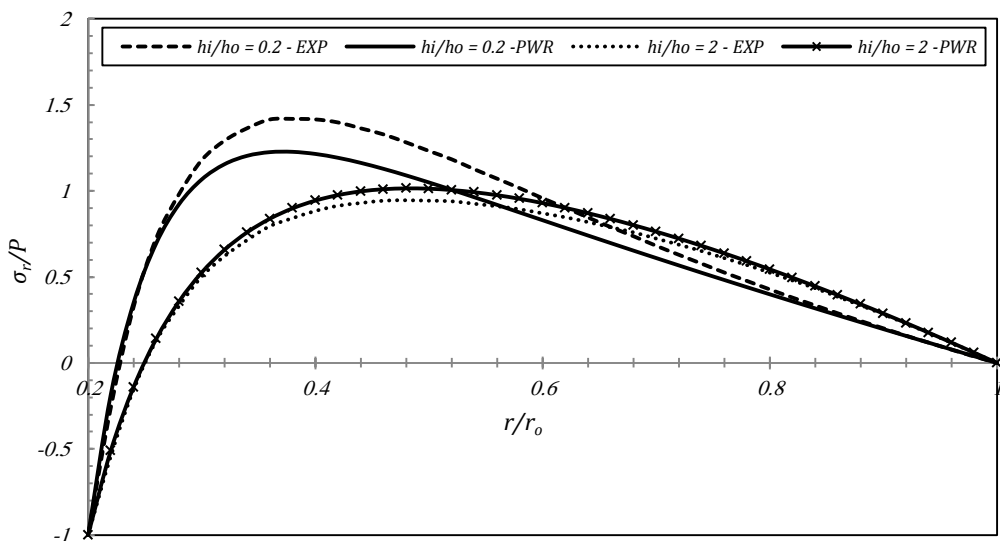
ملاحظه می‌شود که پروفیل‌ها به ازای مقادیر نسبت‌های مختلف دارای شبیه تغییرات متفاوت نسبت به یکدیگر می‌باشند. در حالت کلی می‌توان گفت که در لایه‌های داخلی و میانی دارای شبیه تغییرات بیشتری است.

شکل ۳۱-۳ نتایج جابجایی شعاعی را در دیسک‌های همگن با پروفیل توانی و نمایی نشان می‌دهد. جهت جلوگیری از تعدد نمودارها از نسبت ضخامت بزرگتر از یک، یک نمونه و از نسبت ضخامت کوچکتر از یک نیز یک نمونه آورده شده است:



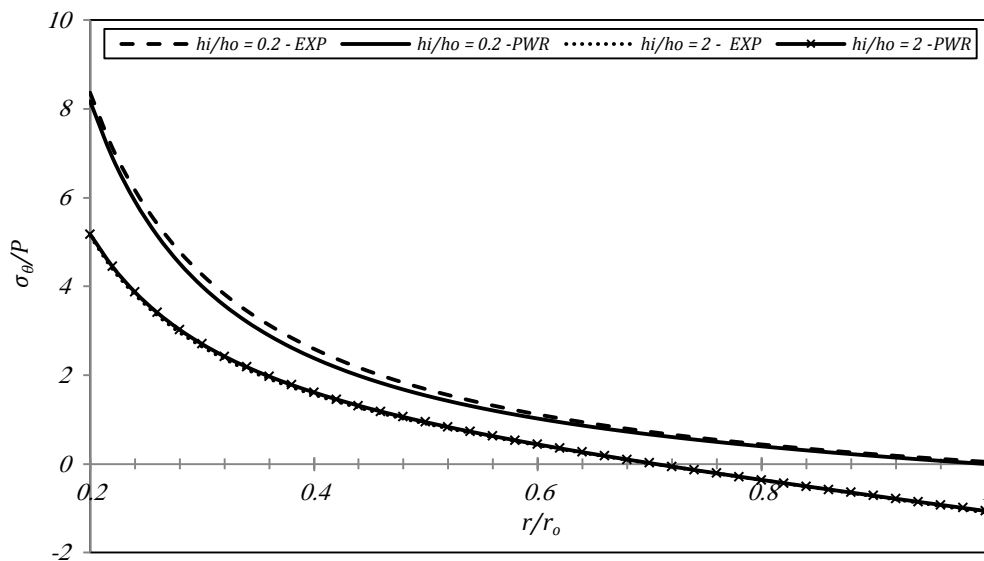
شکل ۳۱-۳ : مقایسه توزیع جابجایی شعاعی در پروفیل ضخامت نمایی و توانی

ملاحظه می‌شود که پروفیل نمایی به ازای مقادیر h_i/h_o بزرگتر از یک جابجایی شعاعی کمتری نسبت به پروفیل توانی دارد و به ازای مقادیر h_i/h_o کوچکتر از یک جابجایی شعاعی بیشتری نسبت به پروفیل توانی دارد. شکل ۳۲-۳ توزیع تنش نرمال شعاعی را در دیسک های همگن با پروفیل توانی و نمایی نشان می‌دهد.



شکل ۳۲-۳ : مقایسه مقادیر تنش شعاعی در پروفیل ضخامت نمایی و توانی

نتایج ارائه شده بیانگر این مطلب است که دیسک با پروفیل نمایی به ازای h_i/h_o بزرگتر از یک بیشینه تنش شعاعی کمتر و در محلی دورتر از شعاع داخلی نسبت به پروفیل توانی اتفاق می‌افتد که با توجه به اینکه برای این حالت جابجایی شعاعی کمتری مشاهده می‌شود این روند منطقی به نظر می‌رسد. همچنین در پروفیل نمایی به ازای h_i/h_o کوچکتر از یک تنش شعاعی بیشتری نسبت به پروفیل توانی دارد. شکل ۳۳-۳ توزیع تنش نرمال محیطی را در دیسک‌های همگن با پروفیل توانی و نمایی نشان می‌دهد.



شکل ۳۳-۳ : مقایسه مقادیر تنش محیطی در پروفیل ضخامت نمایی و توانی

شکل ۳۳-۳ نشان می‌دهد که مشابه تنش شعاعی در دیسک با پروفیل نمایی به ازای h_i/h_o بزرگتر از یک بیشینه تنش محیطی از پروفیل توانی کمتر می‌باشد که با توجه به مطالب ارائه شده این موضوع مطلوب می‌باشد. بنابراین می‌توان نتیجه گرفت برای h_i/h_o بزرگتر از یک که کاربردی‌تر می‌باشد، پروفیل نمایی که شیب تغییرات ضخامت نرمانی دارد، مناسب‌تر از پروفیل توانی است. همچنین به ازای h_i/h_o کوچکتر از یک پروفیل توانی مناسب‌تر است که شیب نرمانی نسبت به پروفیل نمایی دارد. بنابراین می‌توان نتیجه گرفت که یکنواختی پروفیل رابطه‌ی مستقیم با تنش‌های بدست آمده دارد. لازم به ذکر است که نتیجه گیری انجام شده برای

بارگذاری عمومی می باشد و می بایست برای هر بارگذاری به تفکیک شرایط بررسی و نتایج ارائه گردند که در قسمت بعد به آن پرداخته می شود.

۳ - جمع بندی

در ابتدای این بخش به معرفی پروفیل های موجود در مقالات و کتب مهندسی پرداخته شد، سپس با توجه به نوع حل دو نوع پروفیل نمایی و توانی برای تحلیل تعیین شد.

در گام دوم دیسک همگن با تابع ضخامت توانی تحلیل و حل دقیق برای آن ارائه گردید. جدول ۱-۳ به اختصار نتایج جابجایی شعاعی بدست آمده در این بخش را نشان می دهد:

جدول ۱-۳: حل پارامتریک دیسک همگن با پروفیل توانی

دیسک همگن با پروفیل توانی	$u_r = C_1 r^{\frac{1}{2}(-m+\sqrt{m^2-4mv+4})} + C_2 r^{\frac{1}{2}(-m-\sqrt{m^2-4mv+4})}$ $+ \left(\frac{(v^2-1)\rho_0\omega^2}{(8+(3+v)m)E_0} \right) r^3 + \left(\frac{\alpha_0 r_o^m (T_o - T_i)}{(r_o^m - r_i^m)} \right) r$
$C_1 = \frac{r_o r_i \alpha_0 (1+v) (T_o - T_i)}{(\lambda_1 + v) (r_o^{\lambda_2} r_i^{\lambda_1} - r_o^{\lambda_1} r_i^{\lambda_2})} \times \left\{ \frac{(r_i^{\lambda_2-1} - r_o^{\lambda_2-1}) r_o^m - r_i^{\lambda_2-1}}{(r_o^m - r_i^m)} \right\}$	$C_2 = \frac{r_o r_i \alpha_0 (1+v) (T_o - T_i)}{(\lambda_2 + v) (r_o^{\lambda_2} r_i^{\lambda_1} - r_o^{\lambda_1} r_i^{\lambda_2})} \times \left\{ \frac{(r_o^{\lambda_1-1} - r_i^{\lambda_1-1}) r_o^m + r_i^{\lambda_1-1}}{(r_o^m - r_i^m)} \right\}$
$C_1 = -\frac{P r_i r_o^{\lambda_2} (1-v^2)}{E_0 (\lambda_1 + v) (r_o^{\lambda_2} r_i^{\lambda_1} - r_o^{\lambda_1} r_i^{\lambda_2})}$	$C_2 = \frac{P (1-v^2) r_o^{\lambda_1} r_i}{E_0 (\lambda_2 + v) (r_o^{\lambda_2} r_i^{\lambda_1} - r_o^{\lambda_1} r_i^{\lambda_2})}$
$C_1 = \frac{\rho_0 \omega^2 (v^2-1)(3+v) (r_i^{\lambda_2} r_o^3 - r_o^{\lambda_2} r_i^3)}{E_0 (8+(3+v)m) (\lambda_1 + v) (r_o^{\lambda_2} r_i^{\lambda_1} - r_o^{\lambda_1} r_i^{\lambda_2})}$	$C_2 = \frac{\rho_0 \omega^2 (v^2-1)(3+v) (r_o^{\lambda_1} r_i^3 - r_i^{\lambda_1} r_o^3)}{E_0 (8+(3+v)m) (\lambda_2 + v) (r_o^{\lambda_2} r_i^{\lambda_1} - r_o^{\lambda_1} r_i^{\lambda_2})}$

جدول ۲-۳ نتایج حاصل از تحلیل دیسک همگن با پروفیل توانی به تفکیک بارگذاری را نشان می دهد.

جدول ۲-۳: نتایج حل دیسک همگن با پروفیل توانی به تفکیک بارگذاری

تنش معادل بیشینه		جابجایی بیشینه		نوع بارگذاری	$h_i/h_o=0.2$
[MPa]	مقدار	[mm]	مقدار		
۱۹۷/۳	۲۰	۰/۰۷۸	۱۰۰	گرادیان حرارتی	$h_i/h_o=1$
۵۴/۸	۲۰	۰/۰۰۰۸	۱۰۰	فشار داخلی	
۱۰۷/۱	۲۰	۰/۰۱۱	۸۰	دوران	
۳۸۴/۶	۲۰	۰/۰۹۰	۱۰۰	مجموع	
۱۳۱/۶	۲۰	۰/۰۶۶	۱۰۰	گرادیان حرارتی	$h_i/h_o=2$
۷۲/۲	۲۰	۰/۰۰۱۶	۱۰۰	فشار داخلی	
۶۴/۹	۲۰	۰/۰۰۸	۸۸	دوران	
۲۶۲/۱	۲۰	۰/۰۷۵	۱۰۰	مجموع	
۱۰۱/۴	۲۰	۰/۰۵۹۶	۱۰۰	گرادیان حرارتی	$h_i/h_o=2$
۸۲/۳	۲۰	۰/۰۰۲۲	۱۰۰	فشار داخلی	
۶۰	۲۰	۰/۰۰۷۰	۹۰	دوران	
۲۲۹/۷	۲۰	۰/۰۶۸۸	۱۰۰	مجموع	

نتایج ارائه شده نشان می‌دهد برای بارگذاریهای حرارتی و دوران افزایش ضخامت دیسک سودمند می‌باشد ولی در اعمال فشار داخلی افزایش ضخامت در لایه‌های داخلی نه تنها نمی‌تواند سودمند باشد بلکه تنش معادل را افزایش می‌دهد. برای بارگذاری عمومی هم نیز نمی‌توان با اطمینان گفت که همواره افزایش ضخامت در لایه‌ی داخلی سبب کاهش تنش می‌شود و به نقش هریک از بارگذاری‌ها مرتبط است.

جدول ۳-۳: نتایج حل دیسک همگن با پروفیل نمایی به تفکیک بارگذاری

تنش معادل بیشینه		جابجایی بیشینه		نوع بارگذاری	$h_i/h_o=0.2$
[MPa]	مقدار	[mm]	مقدار	[mm]	
۱۹۵/۶	۲۰	۰/۰۷۸	۱۰۰	گرادیان حرارتی	$h_i/h_o=1$
۵۹/۹	۲۰	۰/۰۰۰۱	۱۰۰	فشار داخلی	
۱۰۹/۶	۲۰	۰/۰۱۲	۸۰	دوران	
۳۵۵/۷	۲۰	۰/۰۹۱	۱۰۰	مجموع	
۱۳۱/۶	۲۰	۰/۰۶۶	۱۰۰	گرادیان حرارتی	$h_i/h_o=1$
۷۲/۲	۲۰	۰/۰۰۱۶	۱۰۰	فشار داخلی	
۶۴/۹	۲۰	۰/۰۰۸	۸۸	دوران	
۲۶۲/۱	۲۰	۰/۰۷۵	۱۰۰	مجموع	
۱۰۳/۱	۲۰	۰/۰۵۹	۱۰۰	گرادیان حرارتی	$h_i/h_o=2$
۷۸/۴	۲۰	۰/۰۰۲	۱۰۰	فشار داخلی	
۵۱/۴	۲۰	۰/۰۰۷	۹۰	دوران	
۲۲۷/۶	۲۰	۰/۰۶۸	۱۰۰	مجموع	

در آخرین قسمت در این فصل دیسک همگن با تابع ضخامت نمایی تحلیل و با توجه به عددی بودن حل حرارتی، با روشی نیمه تحلیلی مسئله حل گردید. در این روش دیسک با ضخامت متغیر به حلقه‌هایی پیوسته و با ضخامت ثابت تقسیم و معادلات حل گردیدند. جدول ۳-۳ به اختصار نتایج بدست آمده در این بخش را به تفکیک بارگذاری نشان می‌دهد.

نتایج ارائه شده نشان می‌دهد مشابه پروفیل توانی برای بارگذاریهای حرارتی و دوران افزایش ضخامت دیسک سبب کاهش تنش معادل شده و اعمال فشار داخلی سبب افزایش تنش معادل شده است با مقایسه تنشهای بدست آمده می‌توان برای h_i/h_o های مختلف نتایج زیر را استخراج نمود:

الف) h_i/h_o بزرگتر از یک: در این نسبت ضخامت که هدف اصلی پرداختن به این فصل می‌باشد در بارگذاری حرارتی پروفیل توانی مناسبتر از پروفیل نمایی است بطوریکه با افزایش گرادیان حرارتی از ۷۵ به ۱۷۵ درجه مجموع تنش های معادل در پروفیل توانی از پروفیل نمایی کمتر می‌شوند. ولی تحت شرایط فشار داخلی و دوران پروفیل نمایی از پروفیل توانی مناسبتر است. با توجه به این توضیحات می‌توان نتیجه گرفت که برای هر مسئله می‌بایست ابتدا مسئله تحلیل و سپس نوع دیسک انتخاب شود.

ب) h_i/h_o کوچکتر از یک: در این حالت که صرفاً جهت تکمیل مطالعات آورده شده است، تمامی نتایج عکس حالت الف می‌باشد.

در این فصل نشان داده شد که با افزایش ضخامت در لایه‌ی داخلی می‌توان تنش را در دیسک کاهش داد. در فصل قبل نیز نتیجه گرفته شد استفاده از مواد FG سبب کاهش تنش خواهد شد. بنابراین در فصل آینده به بررسی دیسک‌های با ضخامت متغیر ساخته شده از مواد FG پرداخته می‌شود.

فصل چهارم:

تحلیل ترمولالاستیک دیسک ناهمگن چرخان با ضخامت متغیر

در فصل‌های گذشته به بررسی دیسک‌های با ضخامت ثابت و ضخامت متغیر پرداخته شد و در هرگام با توجه به معادله‌ی حاکم از روش‌های مختلف برای حل استفاده گردید و نتایج آن ارائه گردید. نکته‌ی قابل توجه این بود که نتایج بدست آمده با توجه به نوع بارگذاری متغیر بوده و وابسته به بارگذاری غالب می‌باشد. ولی برآیند کلی نتایج در مورد کاهش تنش‌ها با افزایش ضخامت و استفاده از ماده‌ی FG مثبت بود و استفاده از این دوتکنیک تنش‌ها را تا حد زیادی کاهش داد از این رو در این فصل به بررسی ترکیب این دو تکنیک پرداخته می‌شود.

در فصل دوم، دوتابع توزیع توانی و نمایی برای مواد FG و در فصل سوم دوتابع پروفیل توانی و نمایی معرفی شدند. همان‌طور که مشاهده شد همواره در مدل‌سازی دیسک‌ها با معادلات معمول مواجه نخواهیم شد. بعنوان مثال وجود عامل نمایی در پروفیل یا خواص سبب ایجاد مشکل در حل حرارتی می‌شود و به انتگرالی منتهی می‌شود که حل دقیقی برای آن وجود ندارد. لذا همواره حل دقیقی برای معادله‌ی ترمومالاستیک حاکم بر دیسک‌ها وجود نخواهد داشت و کاملاً وابسته به نتایج استخراج شده خواهد بود.

با توجه به اینکه دو نوع پروفیل و تابع توزیع خواص داریم، لذا چهار حالت از ترکیب تابع توزیع و پروفیل بدست می‌آید که در این فصل به بررسی این چهار حالت پرداخته می‌شود و معادله‌ی ترمومالاستیک حاکم متناسب با نوع معادله با یک روش‌های تحلیلی و نیمه تحلیلی قابل قبول حل می‌شود و نتایج آن با حل عددی مقایسه شده و بر روی نتایج بدست آمده بحث خواهد شد.

در انتهای فصل نیز برای مقایسه بین چهار حالت ارائه شده، یک حالت خاص از توابع توزیع خواص و پروفیل تعریف شده و نتایج آن در جدول ارائه شده و تجزیه تحلیل شده و تحت شرایط هر بارگذاری پروفیل بهینه و تابع توزیع متناسب با ان انتخاب می‌شود.

۴ - ۲ حل دیسک با ضخامت متغیر توانی FG با توزیع توانی

معادله‌ی توزیع خواص و تغییرات ضخامت با استفاده از تابع توانی به شکل زیر در نظر گرفته می‌شود:

$$E(r) = E_i \left(\frac{r}{r_i} \right)^n, \rho(r) = \rho_i \left(\frac{r}{r_i} \right)^n, \alpha(r) = \alpha_i \left(\frac{r}{r_i} \right)^n, k(r) = k_i \left(\frac{r}{r_i} \right)^n, h(r) = h_o \left(\frac{r}{r_o} \right)^m \quad (1-4)$$

که در آن E_i مدول الاستیسیته، ρ_i چگالی در، α_i ضریب انبساط حرارتی و k_i ضریب هدایت حرارتی در شعاع داخلی r_i و h_o ضخامت در شعاع خارجی می‌باشد. با ضرب طرفین معادله‌ی دیفرانسیل (۱۹-۲) در

$$\frac{r}{h(r)E(r)} \text{ ثوابت معادله به شکل زیر تبدیل می‌شود:}$$

$$\begin{aligned} A_1 &= r^2 \\ A_2 &= (1+m+n)r \\ A_3 &= (n+m)\nu - 1 \\ A_4 &= r(1+\nu) \left\{ \frac{(1-\nu)\rho_i r^2 \omega^2}{E_i} - \frac{\alpha_i r^n}{r_i^n} \left(r \frac{d}{dr} (\Delta T(r)) + (2n+m)\Delta T(r) \right) \right\} \end{aligned} \quad (2-4)$$

با توجه به مجھول بودن تابع توزیع دما برای تحلیل می‌بایست ابتدا معادله انتقال حرارتی حل و پس از جایگذاری در روابط فوق حل تحلیلی برای آن ارائه شود.

۴ - ۲ - ۱ حل حرارتی

معادله‌ی توزیع دما در حالت عمومی به شکل زیر می‌باشد:

$$\Delta T(r) = \left(\frac{\int_{r_i}^r \frac{dr}{rh(r)k(r)}}{\int_{r_i}^{r_o} \frac{dr}{rh(r)k(r)}} \right) (T_o - T_i) \quad (3-4)$$

با اعمال تابع پروفیل ضخامت و توزیع خواص در رابطه‌ی فوق داریم:

$$\int \frac{dr}{rh(r)k(r)} = \frac{r_i^n r_o^m}{h_o k_i} \int \frac{dr}{r^{m+n+1}} = -\frac{r_i^n r_o^m}{(m+n)h_o k_i} r^{-(m+n)} \quad (m+n \neq 0) \quad (4-4)$$

با جایگذاری حل انتگرال فوق، در معادله‌ی توزیع دما، خواهیم داشت:

$$\Delta T(r) = \left(\frac{(T_o - T_i)}{(r_o^{-(m+n)} - r_i^{-(m+n)})} \right) \left(r^{-(m+n)} - r_i^{-(m+n)} \right) \quad (5-4)$$

که با جایگذاری عبارت فوق در A_4 و ساده سازی خواهیم داشت:

$$A_4 = r(1+\nu) \left\{ \frac{(1-\nu)\rho_i r^2 \omega^2}{E_i} - \left(\frac{(T_o - T_i) \alpha_i r_i^{-n} r^n}{(r_o^{-(m+n)} - r_i^{-(m+n)})} \right) \left(nr^{-(m+n)} - (2n+m)r_i^{-(m+n)} \right) \right\} \quad (6-4)$$

بنابراین معادله‌ی دیفرانسیل حاکم به شکل زیر خواهد بود:

$$r^2 \frac{d^2 u_r}{dr^2} + (1+m+n) r \frac{du_r}{dr} + ((m+n)\nu - 1) u_r = F(r) \quad (7-4)$$

که در آن:

$$F(r) = -r(1+\nu) \left\{ \frac{(1-\nu)\rho_i r^2 \omega^2}{E_i} - \left(\frac{(T_o - T_i) \alpha_i r_i^{-n} r^n}{(r_o^{-(m+n)} - r_i^{-(m+n)})} \right) \left(nr^{-(m+n)} - (2n+m)r_i^{-(m+n)} \right) \right\} \quad (8-4)$$

می باشد. معادله‌ی فوق یک معادله‌ی ناهمگن می باشد بنابراین حل آن شامل دو حل خصوصی و عمومی می

باشد:

$$u_r = u_r^h + u_r^p \quad (9-4)$$

در قسمت بعدی به حل معادله‌ی فوق پرداخته می شود

۴ - ۲ - ۲ - حل عمومی

اگر جمله خصوصی معادله‌ی (8-4) را حذف کنیم، معادله‌ی حاکم به صورت همگن زیر تبدیل خواهد شد:

$$r^2 \frac{d^2 u_r}{dr^2} + (1+m+n)r \frac{du_r}{dr} + ((m+n)v-1)u_r = 0 \quad (10-4)$$

معادله‌ی فوق مشابه دیسک همگن یک معادله‌ی اویلر-کشی است که اگر در معادله‌ی فوق به جای u_r عبارت

r^λ قرار دهیم معادله‌ی مشخصه‌ی زیر بدست می‌آید:

$$\lambda^2 + (m+n)\lambda + ((m+n)v-1) = 0 \quad (11-4)$$

ریشه‌های معادله‌ی چند جمله‌ای درجه‌ی دوم فوق عبارت است:

$$\lambda_{1,2} = \frac{1}{2} \left(-(m+n) \pm \sqrt{\Delta} \right) \quad (12-4)$$

که در آن:

$$\Delta = (m+n)^2 - 4(m+n)v + 4 \quad (13-4)$$

می‌باشد. مشابه معادله‌ی حاکم بر دیسک همگن، عبارت Δ به ازای تمامی مقادیر $(m+n)$ همواره عدد مثبتی خواهد بود در نتیجه λ همواره مقدار حقیقی خواهد داشت. بنابراین حل عمومی معادله به شکل زیر خواهد بود:

$$u_r = C_1 r^{\lambda_1} + C_2 r^{\lambda_2} \quad (14-4)$$

۴ - ۲ - ۳ حل خصوصی

عامل ناهمگنی در معادله‌ی دیفرانسیل حاکم ناشی از دو عامل سرعت زاویه‌ای و گرادیان حرارتی می‌باشد. مشابه دیسک همکن می‌توان تاثیر عامل ناهمگنی را برای هر یک به صورت مجزا بررسی نمود. بنابراین معادله‌ی حاکم به شکل زیر تبدیل خواهد شد:

$$r^2 \frac{d^2 u_r}{dr^2} + (1+m+n)r \frac{du_r}{dr} + ((m+n)v-1)u_r = F_{rotation}(r) + F_{thermal}(r) \quad (15-4)$$

که در آن $F_{rotation}(r)$ عامل ناهمگنی ناشی از دوران که مقدار آن برابر است با:

$$F_{rotation}(r) = \frac{(\nu^2 - 1)\rho_i\omega^2}{E_i} r^3 \quad (16-4)$$

و $F_{thermal}(r)$ عامل ناهمگنی ناشی از گرادیان حرارتی که مقدار آن برابر است با:

$$F_{thermal}(r) = \left(\frac{(T_o - T_i)(1 + \nu)}{(r_o^{-(m+n)} - r_i^{-(m+n)})} \alpha_i r_i^{-n} \right) \left(nr^{1-m} - (2n+m)r_i^{-(m+n)} r^{n+1} \right) \quad (17-4)$$

بنابراین می توان حل خصوصی ناشی از این دو عامل را به صورت زیر نوشت و برای هر حالت به صورت مجزا

محاسبه نمود:

$$u_r^p = u_r^p|_{rotation} + u_r^p|_{thermal} \quad (18-4)$$

محاسبه ی حل خصوصی ناشی از دوران: مشابه حالت دیسک همگن می توان حل خصوصی را چند جمله‌ای

از مرتبه ی سه فرض کرد:

$$u_r^p|_{rotation} = \sum_{j=0}^3 B_j r^j \quad (19-4)$$

با جایگذاری معادله‌ی فوق در معادله‌ی حاکم و فرض $F_{thermal}(r) = 0$ خواهیم داشت:

$$B_0 = B_1 = B_2 = 0, B_3 = \frac{(\nu^2 - 1)\rho_i\omega^2}{(8 + (3 + \nu)(m + n))E_i} \quad (20-4)$$

بنابراین:

$$u_r^p|_{rotation} = \frac{(\nu^2 - 1)\rho_i\omega^2 r^3}{(8 + (3 + \nu)(m + n))E_i} \quad (21-4)$$

محاسبه‌ی حل خصوصی ناشی از گرادیان حرارتی: جمله مربوط به گرادیان حرارتی دارای عامل r^{1-m} و r^{1+n} می‌باشد لذا تشخیص حل آن به شکل عادی امکان پذیر نمی‌باشد و می‌بایست با استفاده از حل عمومی مسئله و به روش لاگرانژ حل خصوصی بدست آید. برای سادگی می‌توان حل خصوصی ناشی از گرادیان حرارتی را به شکل زیر تعریف کرد قابل ذکر است چون از روش لاگرانژ در این قسمت استفاده شده است معادله‌ی دیفرانسیل به صورت استاندارد نوشته شده و تمامی معادله به r^2 تقسیم شده است. بنابراین از علامت

استفاده شده است:

$$F'_{\text{thermal}}(r) = \frac{1}{r} (\chi_1 r^{-m} + \chi_2 r^n) \quad (22-4)$$

که در آن:

$$\chi_1 = \frac{(T_o - T_i)(1+\nu)\alpha_i}{(r_o^{-(m+n)} - r_i^{-(m+n)})} n r_i^{-n}, \quad \chi_2 = \frac{-(T_o - T_i)(1+\nu)\alpha_i}{(r_o^{-(m+n)} - r_i^{-(m+n)})} (2n+m) r_i^{-(2n+m)} \quad (23-4)$$

می‌باشد. با توجه به مرجع [۲۹] می‌توان با استفاده از حل عمومی مسئله، حل خصوصی ناشی از گرادیان دما را به صورت زیر نوشت:

$$u_r^p|_{\text{thermal}} = g_1(r)r^{\lambda_1} + g_2(r)r^{\lambda_2} \quad (24-4)$$

با حل دستگاه معادله‌ی زیر داریم:

$$\begin{cases} g_1'(r)r^{\lambda_1} + g_2'(r)r^{\lambda_2} = 0 \\ g_1'(r)\lambda_1 r^{\lambda_1-1} + g_2'(r)\lambda_2 r^{\lambda_2-1} = \frac{1}{r} (\chi_1 r^{-m} + \chi_2 r^n) \end{cases} \quad (25-4)$$

با جایگذاری رابطه‌ی (۲۴-۴) در دستگاه فوق خواهیم داشت:

$$g_2'(r) = \frac{r^{-\lambda_2} (\chi_1 r^{-m} + \chi_2 r^n)}{(\lambda_2 - \lambda_1)}, \quad g_1'(r) = -\frac{r^{-\lambda_1} (\chi_1 r^{-m} + \chi_2 r^n)}{(\lambda_2 - \lambda_1)} \quad (26-4)$$

و با انتگرال گیری مقادیر $\vartheta_1(r)$ و $\vartheta_2(r)$ به شکل زیر بدست می آیند:

$$\begin{aligned}\vartheta_1(r) &= \frac{-1}{(\lambda_2 - \lambda_1)} \int [\chi_1 r^{-\lambda_1 - m} + \chi_2 r^{n - \lambda_1}] dr = \frac{-1}{(\lambda_2 - \lambda_1)} \left[\frac{\chi_1 r^{1 - (\lambda_1 + m)}}{(1 - (\lambda_1 + m))} + \frac{\chi_2 r^{1 + n - \lambda_1}}{(1 - \lambda_1 + n)} \right] + C_1 \\ \vartheta_2(r) &= \frac{1}{(\lambda_2 - \lambda_1)} \int [\chi_1 r^{-\lambda_2 - m} + \chi_2 r^{n - \lambda_2}] dr = \frac{-1}{(\lambda_2 - \lambda_1)} \left[\frac{\chi_1 r^{1 - (\lambda_2 + m)}}{(1 - (\lambda_2 + m))} + \frac{\chi_2 r^{1 + n - \lambda_2}}{(1 - \lambda_2 + n)} \right] + C_2\end{aligned}\quad (27-4)$$

که ثوابت فوق با ثوابت همگن ترکیب می شوند، بنابراین حل خصوصی ناشی از گرادیان حرارتی به شکل زیر تبدیل خواهد شد:

$$u_r^p|_{thermal} = \frac{1}{(\lambda_2 - \lambda_1)} \left[-\frac{\chi_1 r^{1-m}}{(1 - (\lambda_1 + m))} - \frac{\chi_2 r^{1+n}}{(1 - \lambda_1 + n)} + \frac{\chi_1 r^{1-m}}{(1 - (\lambda_2 + m))} + \frac{\chi_2 r^{1+n}}{(1 - \lambda_2 + n)} \right] \quad (28-4)$$

پس از ساده سازی خواهیم داشت:

$$u_r^p|_{thermal} = \left(\frac{1}{(1 - (\lambda_1 + m))(1 - (\lambda_2 + m))} \right) \chi_1 r^{1-m} + \left(\frac{1}{(1 - \lambda_1 + n)(1 - \lambda_2 + n)} \right) \chi_2 r^{1+n} \quad (29-4)$$

حال با جایگذاری ثوابت و مقادیر λ_i در معادله ای فوق داریم:

$$\begin{aligned}u_r^p|_{thermal} &= \frac{(T_o - T_i)(1 + \nu)\alpha_i}{(r_o^{-(m+n)} - r_i^{-(m+n)})} \times \\ &\quad \left\{ \left(\frac{nr_i^{-n}}{n(m-1-\nu) + m(\nu-1)} \right) r^{1-m} - \left(\frac{(2n+m)r_i^{-(2n+m)}}{2n^2 + n(3+\nu+m) + m(1+\nu)} \right) r^{1+n} \right\}\end{aligned}\quad (30-4)$$

با توجه به معادلات (30-4) و (21-4) حل خصوصی معادله بدست می آید:

$$\begin{aligned}u_r^p &= u_r^p|_{rotation} + u_r^p|_{thermal} = \frac{(\nu^2 - 1)\rho_i \omega^2 r^3}{(8 + (3 + \nu)(m + n))E_i} + \\ &\quad \frac{(T_o - T_i)(1 + \nu)\alpha_i}{(r_o^{-(m+n)} - r_i^{-(m+n)})} \left\{ \left(\frac{nr_i^{-n}}{n(m-1-\nu) + m(\nu-1)} \right) r^{1-m} - \left(\frac{(2n+m)r_i^{-(2n+m)}}{2n^2 + n(3+\nu+m) + m(1+\nu)} \right) r^{1+n} \right\}\end{aligned}\quad (31-4)$$

و حل کلی مسئله نیز به شکل زیر خواهد بود:

$$u_r = C_1 r^{\frac{1}{2}(-(m+n)+\sqrt{(m+n)^2-4(m+n)\nu+4})} + C_2 r^{\frac{1}{2}(-(m+n)-\sqrt{(m+n)^2-4(m+n)\nu+4})} + \frac{(\nu^2-1)\rho_i \omega^2 r^3}{(8+(3+\nu)(m+n))E_i} + \frac{(T_o-T_i)(1+\nu)\alpha_i}{(r_o^{-(m+n)}-r_i^{-(m+n)})} \left\{ \left(\frac{-nr_i^{-n}}{n(m-1-\nu)-m(\nu-1)} \right) r^{1-m} - \left(\frac{(2n+m)r_i^{-(2n+m)}}{2n^2+n(3+\nu+m)+m(1+\nu)} \right) r^{1+n} \right\} \quad (32-4)$$

معادله‌ی فوق دارای دو ثابت مجھول است بنابراین برای استخراج نتایج نیازمند دو شرط مرزی می‌باشد که در قسمت بعد به محاسبه‌ی این ثابت‌ها پرداخته می‌شود.

۴ - ۲ - ۴ اعمال شرایط مرزی

برای ساده سازی عبارات، معادله‌ی جابجایی را به صورت زیر در نظر می‌گیریم:

$$u_r = C_1 r^{\lambda_1} + C_2 r^{\lambda_2} + D_1 r^3 + D_2 r^{1+n} + D_3 r^{1-m} \quad (33-4)$$

بدین ترتیب مشتق آن برابر است با:

$$\frac{du_r}{dr} = C_1 \lambda_1 r^{\lambda_1-1} + C_2 \lambda_2 r^{\lambda_2-1} + 3D_1 r^2 + (1+n)D_2 r^n + (1-m)D_3 r^{-m} \quad (34-4)$$

با توجه به شکل (۳-۸) دیسک مورد تحلیل تحت فشار داخلی قرار دارد شرایط مرزی مطابق رابطه‌ی (۳۵-۳)

می‌باشد که بر حسب تنש‌ها می‌باشد. بنابراین با توجه به معادله (۲-۱۷) و روابط بالا داریم:

$$\sigma_r = \frac{E_i r^n}{(1-\nu^2) r_i^n} \left\{ (\lambda_1 + \nu) C_1 r^{\lambda_1-1} + (\lambda_2 + \nu) C_2 r^{\lambda_2-1} + (3+\nu) D_1 r^2 + D_2 (1+\nu+n) r^n + (1-m+\nu) D_3 r^{-m} - \left(\frac{(T_o-T_i)(1+\nu)\alpha_0 r^n}{(r_o^{-(m+n)}-r_i^{-(m+n)}) r_i^n} \right) (r^{-(m+n)} - r_i^{-(m+n)}) \right\} \quad (35-4)$$

با توجه به رابطه‌ی فوق شرایط مرزی به شکل زیر تبدیل می‌شود:

$$\left\{ \begin{array}{l} \sigma_r \Big|_{r=r_i} = \frac{E_i}{(1-\nu^2)} \left((\lambda_1 + \nu) C_1 r_i^{\lambda_1 - 1} + (\lambda_2 + \nu) C_2 r_i^{\lambda_2 - 1} + (3 + \nu) D_1 r_i^2 \right) = -P \\ \sigma_r \Big|_{r=r_o} = \frac{E_i r_o^n}{(1-\nu^2) r_i^n} \left((\lambda_1 + \nu) C_1 r_o^{\lambda_1 - 1} + (\lambda_2 + \nu) C_2 r_o^{\lambda_2 - 1} + (3 + \nu) D_1 r_o^2 \right. \\ \left. + D_2 (1 + \nu + n) r_o^n + (1 - m + \nu) D_3 r_o^{-m} - \alpha_0 (1 + \nu) \left(\frac{r_o}{r_i} \right)^n (T_o - T_i) \right) = 0 \end{array} \right. \quad (36-4)$$

که می‌توان به صورت دستگاه معادلات زیر نوشت:

$$\begin{bmatrix} (\lambda_1 + \nu) r_i^{\lambda_1 - 1} & (\lambda_2 + \nu) r_i^{\lambda_2 - 1} \\ (\lambda_1 + \nu) r_o^{\lambda_1 - 1} & (\lambda_2 + \nu) r_o^{\lambda_2 - 1} \end{bmatrix} \begin{bmatrix} C_1 \\ C_2 \end{bmatrix} = \\ - \left\{ \begin{array}{l} \frac{P(1-\nu^2)}{E_i} + (3 + \nu) D_1 r_i^2 + D_2 (1 + \nu + n) r_i^n + (1 - m + \nu) D_3 r_i^{-m} \\ (3 + \nu) D_1 r_o^2 + D_2 (1 + \nu + n) r_o^n - \alpha_0 \left(\frac{r_o}{r_i} \right)^n (1 + \nu) (T_o - T_i) + (1 - m + \nu) D_3 r_o^{-m} \end{array} \right\} \quad (37-4)$$

که با حل دستگاه معادلات خطی C_1 و C_2 به شکل زیر بدست می‌آیند:

$$C_1 = \frac{r_o r_i}{(\lambda_1 + \nu)(r_o^{\lambda_2} r_i^{\lambda_1} - r_o^{\lambda_1} r_i^{\lambda_2})} \times \\ \left\{ \begin{array}{l} r_i^{\lambda_2 - 1} \left[(3 + \nu) D_1 r_o^2 + D_2 (1 + \nu + n) r_o^n - \alpha_0 (1 + \nu) \left(\frac{r_o}{r_i} \right)^n (T_o - T_i) + (1 - m + \nu) D_3 r_o^{-m} \right] \\ - r_o^{\lambda_2 - 1} \left[\frac{P(1-\nu^2)}{E_0} + (3 + \nu) D_1 r_i^2 + D_2 (1 + \nu + n) r_i^n + (1 - m + \nu) D_3 r_i^{-m} \right] \end{array} \right\} \quad (38-4)$$

$$C_2 = \frac{r_o r_i}{(\lambda_2 + \nu)(r_o^{\lambda_2} r_i^{\lambda_1} - r_o^{\lambda_1} r_i^{\lambda_2})} \times \\ \left\{ \begin{array}{l} r_o^{\lambda_1 - 1} \left[\frac{P(1-\nu^2)}{E_0} + (3 + \nu) D_1 r_i^2 + D_2 (1 + \nu + n) r_i^n + (1 - m + \nu) D_3 r_i^{-m} \right] \\ - r_i^{\lambda_1 - 1} \left[(3 + \nu) D_1 r_o^2 + D_2 (1 + \nu + n) r_o^n - \alpha_0 (1 + \nu) \left(\frac{r_o}{r_i} \right)^n (T_o - T_i) + (1 - m + \nu) D_3 r_o^{-m} \right] \end{array} \right\}$$

که در آن:

$$\begin{aligned}
 \lambda_{1,2} &= \frac{1}{2} \left(-(m+n) \pm \sqrt{(m+n)^2 - 4(m+n)v + 4} \right) \\
 D_1 &= \frac{(v^2 - 1)\rho_i\omega^2}{(8 + (3+v)(m+n))E_i} \\
 D_2 &= \frac{(T_o - T_i)(1+v)\alpha_i}{(r_o^{-(m+n)} - r_i^{-(m+n)})} \left(\frac{-(2n+m)r_i^{-(2n+m)}}{2n^2 + n(3+v+m) + m(1+v)} \right) \\
 D_3 &= \frac{(T_o - T_i)(1+v)\alpha_i}{(r_o^{-(m+n)} - r_i^{-(m+n)})} \left(\frac{-nr_i^{-n}}{n(m-1-v) - m(v-1)} \right)
 \end{aligned} \tag{۳۹-۴}$$

با جایگذاری معادلات فوق در (۳۶-۴) معادله‌ی جابجایی محاسبه می‌شود با معلوم بودن تابع جابجایی می‌توان توزیع تنش‌ها و کرنش‌ها را محاسبه نمود. لازم به ذکر است که معادلات فوق برای شرایط $(m+n) \neq 0$ برقرار است.

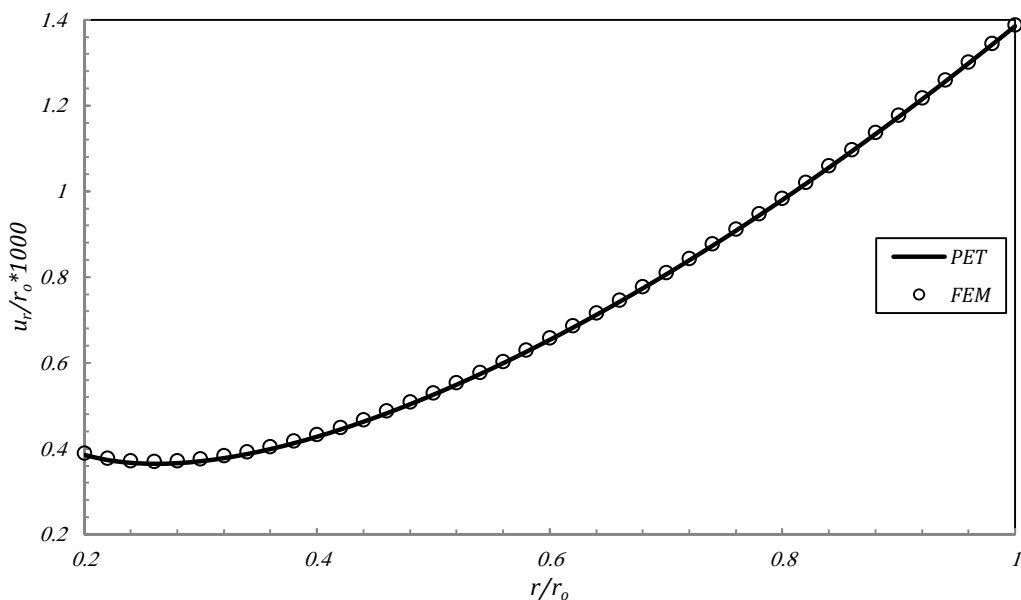
۴ - ۳ - بررسی نتایج حل دیسک ناهمگن توانی با تابع ضخامت توانی

در این قسمت به بررسی نتایج حاصل از تحلیل یک نمونه دیسک ناهمگن توانی با تابع ضخامت توانی مطابق جداول ۱-۱ و ۲-۱ و با توجه به شرایط مرزی مطابق جدول ۳-۱ پرداخته می‌شود. ابتدا نتایج بدست آمده از حل تحلیلی با حل عددی مقایسه می‌شود. سپس تاثیر هریک از بارگذاری‌ها در نتایج حاصل بررسی شده و نقش هر یک از بارگذاری‌ها بر مشخصه‌های مکانیکی سیستم بیان می‌شود. در پایان نیز پروفیل‌های مختلف دیسک تحلیل شده و نتایج آن ارائه می‌شود.

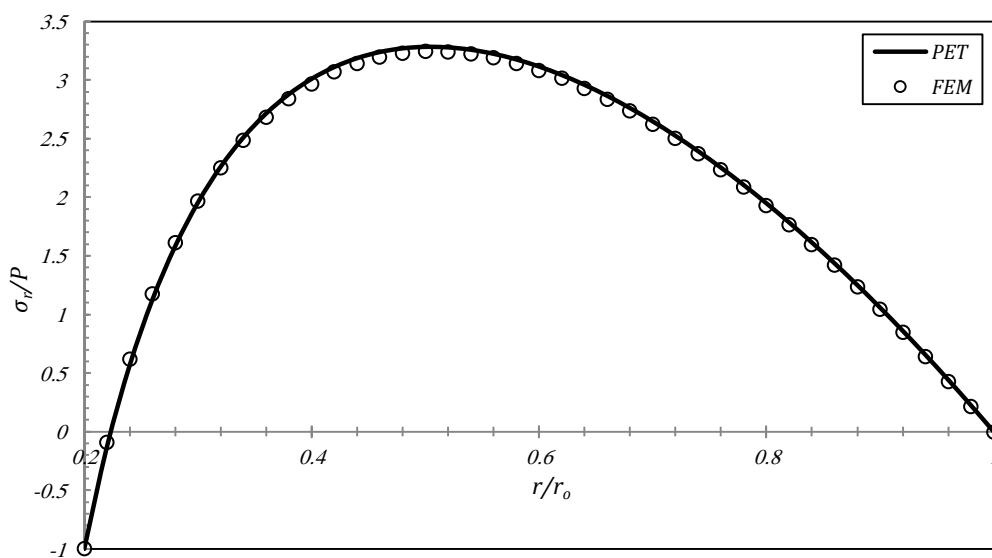
۴ - ۳ - ۱ - مقایسه نتایج با حل عددی

همانطور که در فصلهای قبل بیان شد همواره به منظور اطمینان از فرضیات در نظر گرفته شده بهتر است نتایج با حل عددی مقایسه شود. مشابه فصل دو برای مدل سازی ماده FG می‌بایست دیسک را به حلقه‌هایی با خواص ثابت تبدیل کنیم و گره‌ها را در مرازها بر یکدیگر منطبق کنیم بدیهی است که در این حالت امکان خطای حل عددی به خاطر گسسته بودن تابع توزیع در شبکه بندی بیشتر از حل تحلیلی است. در این قسمت نمونه‌ای از

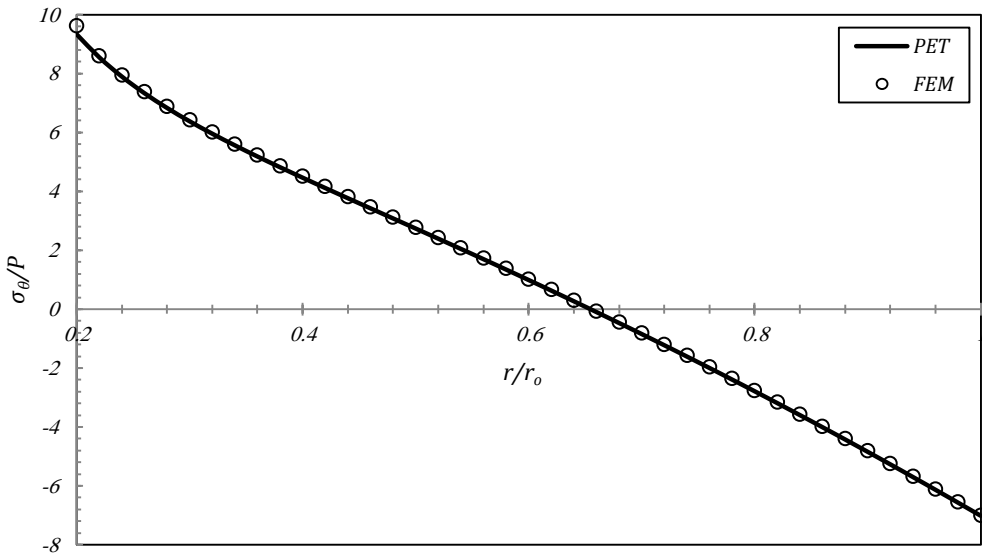
دیسک با ثابت ناهمگنی $n=0.5$ و نسبت ضخامت $h/h_0=2$ برای مقایسه انتخاب شده است که سعی شده است حالتی انتخاب شود که بیشترین خطای داشته باشد. شکل های (۱-۴) تا (۳-۴) به مقایسه حل عددی و حل تحلیلی می پردازد:



شکل ۱-۴ : توزیع جابجایی شعاعی در روش تحلیلی و روش عددی دیسک FG توانی با پروفیل توانی



شکل ۲-۴ : توزیع تنش شعاعی در روش تحلیلی و روش عددی دیسک FG توانی با پروفیل توانی



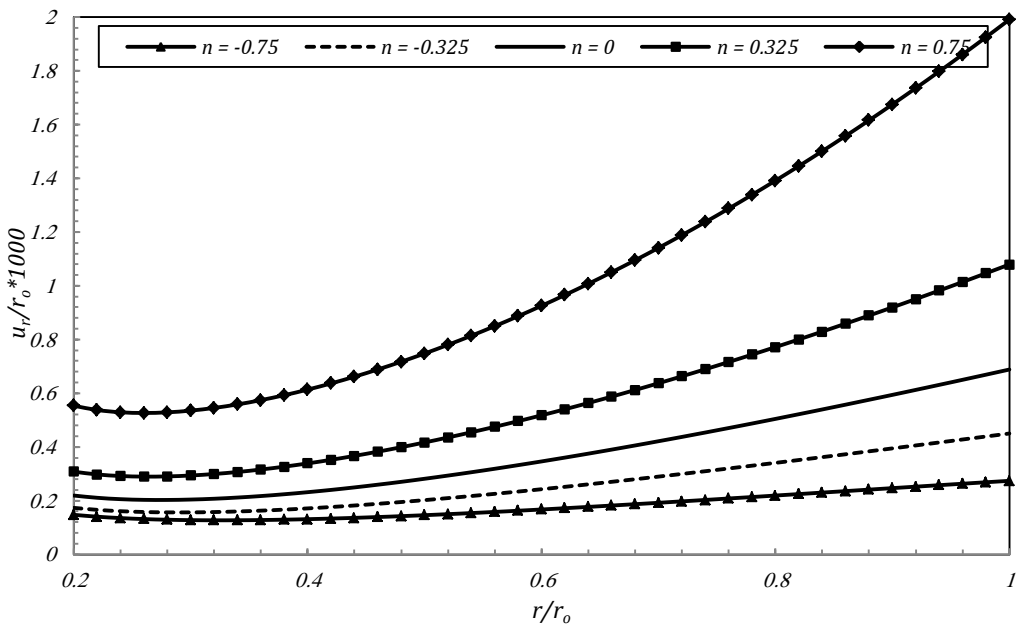
شکل ۳-۴: توزیع تنش محیطی در روش تحلیلی و روش عددی دیسک FG توانی با پروفیل توانی

نمودارهای فوق انطباق مناسبی را بین دو حل نشان می‌دهد. بطوریکه همواره خطای بحرانی ترین نقاط کمتر از ۱/۵ درصد است که خطای قابل قبولی است. لازم به ذکر است که حل تحلیلی به ازای نسبت ضخامت به شعاع کمتر از ده صدم حل دقیق محسوب می‌شود.

۴ - ۳ - ۲ بررسی تاثیر ثابت ناهمگنی در توزیع مشخصه‌های مکانیکی

در قسمت قبلی نتایج با حل عددی در نرم افزار انسیس مقایسه شد و نشان داده شد که نتایج دقت مناسب دارند. با توجه به اینکه در قسمتهای قبلی مشاهده شد که به ازای نسبت‌های ضخامت بزرگتر و کوچکتر از یک رفتارهای دیسک متفاوت می‌باشد، در این قسمت به بررسی تاثیر ثابت ناهمگنی در دیسک‌های با پروفیل توانی برای دو حالت می‌پردازیم. در انتخاب محدوده‌ی ثابت‌های ناهمگنی سعی شده است که در محدوده‌ی خواص مواد مهندسی باشد بعنوان مثال ثابت‌های ناهمگنی به گونه‌ای انتخاب شده است که مدول یانگ بین ۶۰ تا ۶۰۰ گیگا پاسکال در نظر گرفته شده است.

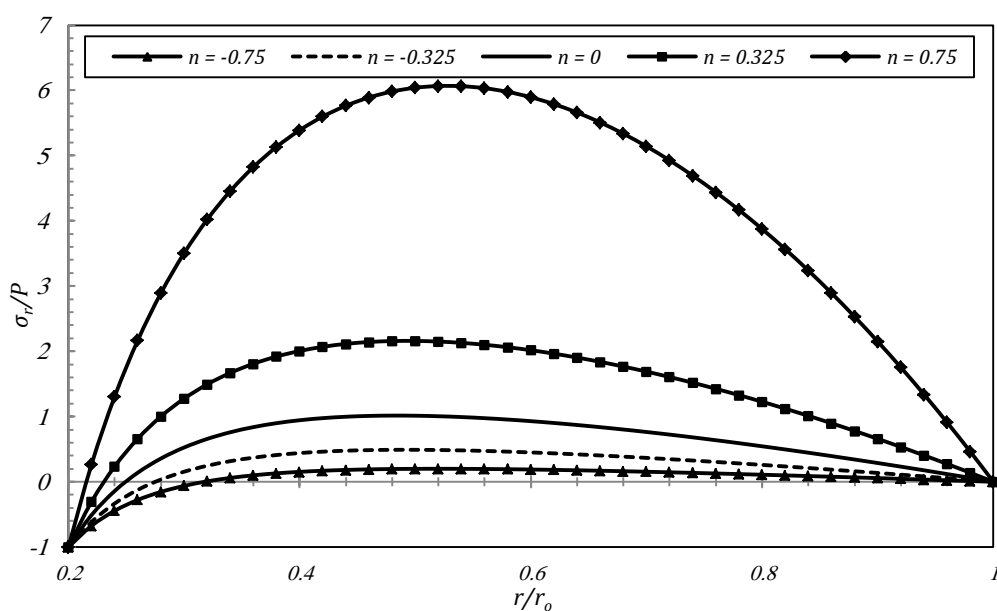
شکل ۴-۴ توزیع جابجایی شعاعی را در دیسک با پروفیل توانی به ازای $h_i/h_0=2$ نمایش می‌دهد.



شکل ۴-۴ : نمایش تاثیر ثابت ناهمگنی در جابجایی شعاعی دیسک با پروفیل توانی ($h_r/h_o=2$)

ملاحظه می‌شود که با افزایش ثابت ناهمگنی مقدار جابجایی شعاعی در تمامی نقاط دیسک افزایش می‌یابد همچنین ناحیه‌ی نزولی جابجایی شعاعی بیشتر می‌شود یا بعبارت دیگر نقطه‌ی کمینه جابجایی شعاعی به لایه‌های میانی دیسک منتقل می‌شود. شکل ۵-۴ توزیع نرمال تنش شعاعی را به ازای ثابت‌های ناهمگنی مختلف را

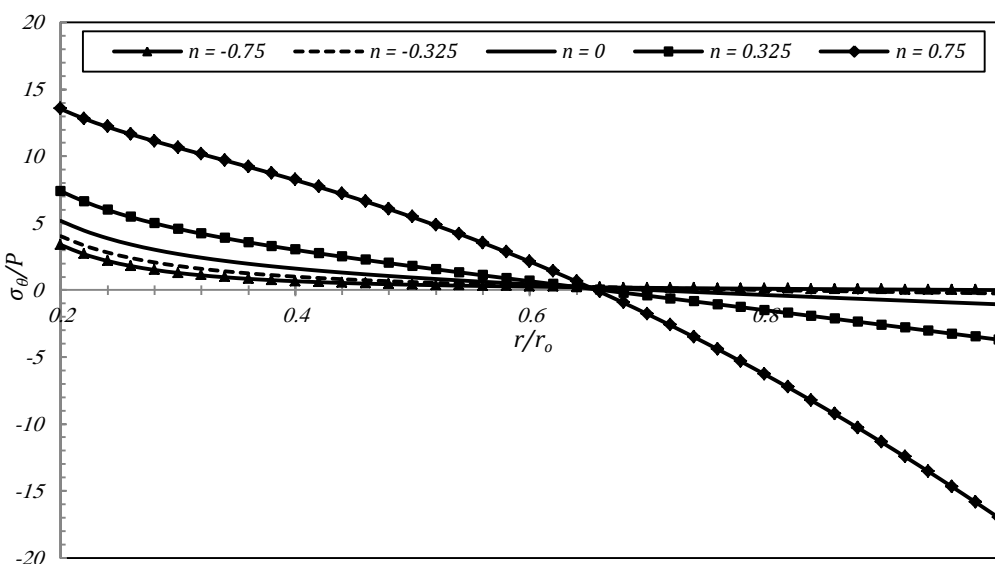
نشان می‌دهد:



شکل ۵-۴ : نمایش تاثیر ثابت ناهمگنی در تنش شعاعی دیسک با پروفیل توانی ($h_r/h_o=2$)

در شکل ۵-۴ مشاهده می شود نحوه تغییرات تنش شعاعی به ازای تمامی مقادیر n ثابت است ولی مقدار بیشینه آن با توجه به ثابت ناهمگنی تغییر می کند. در n های منفی تنش شعاعی بیشینه کمتر و در n های مثبت بیشتر از مقدار آن در ماده همگن می باشد. همچنین در n های منفی قدر مطلق بیشینه تنش در شعاع داخلی دیسک می باشد در حالیکه برای دیسک های همگن و ناهمگن با n مثبت قدر مطلق مقدار بیشینه در لایه های میانی دیسک می باشد.

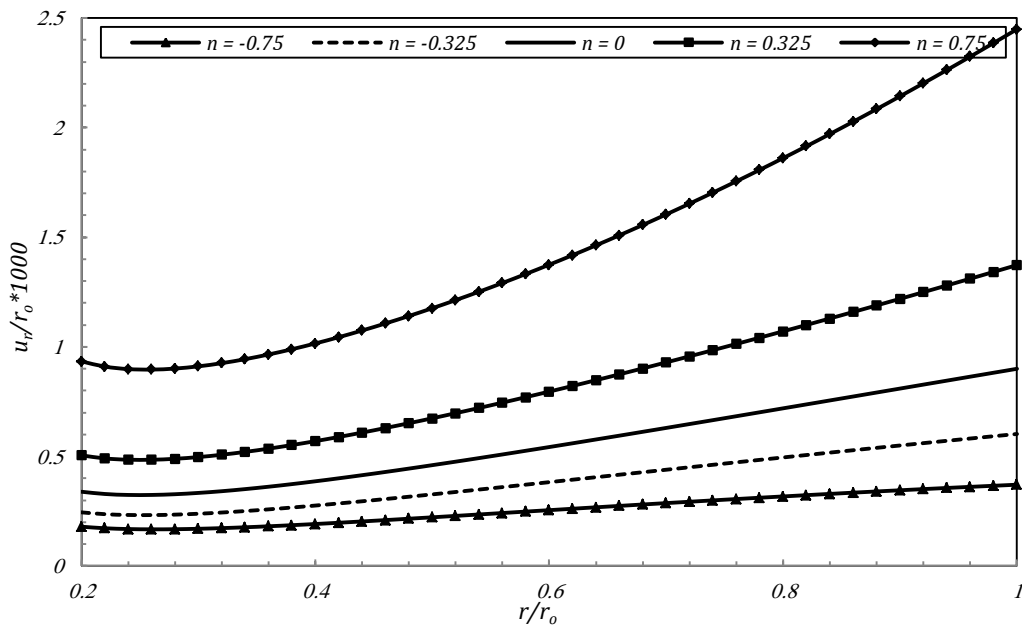
شکل ۶-۴ توزیع نرمال تنش محیطی را به ازای ثابت های ناهمگنی مختلف نشان می دهد:



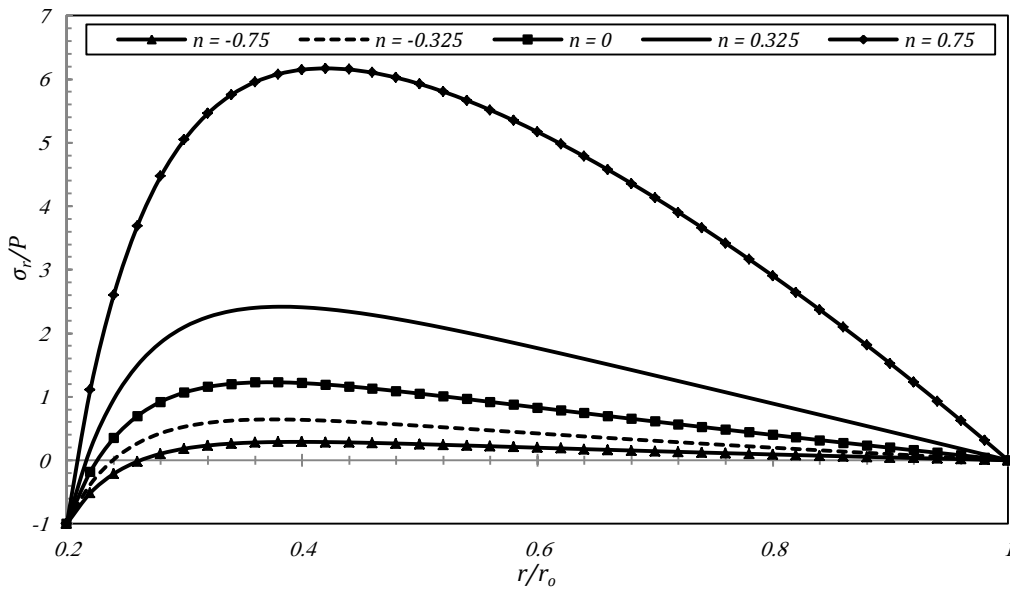
شکل ۶-۴ : نمایش تأثیر ثابت ناهمگنی در تنش محیطی دیسک با پروفیل توانی ($h_r/h_o=2$)

تنش محیطی مشابه تنش شعاعی به ازای افزایش n مقدار آن افزایش و به ازای کاهش n مقدار آن کاهش می یابد. همانطور که مشاهده می شود در لایه های داخلی تنش محیطی مثبت و لایه ها تحت کشش می باشند و در لایه های خارجی تنش منفی و لایه ها تحت فشار می باشند. نکته ای که اینست که مرز تغییر وضع تنש محیطی از کششی به فشاری در تمامی ثابت های ناهمگنی ثابت است بنابراین می توان نتیجه گرفت که این محل به خواص وابسته نیست و یک پارامتری است که به شرایط هندسی یا بارگذاری مرتبط است.

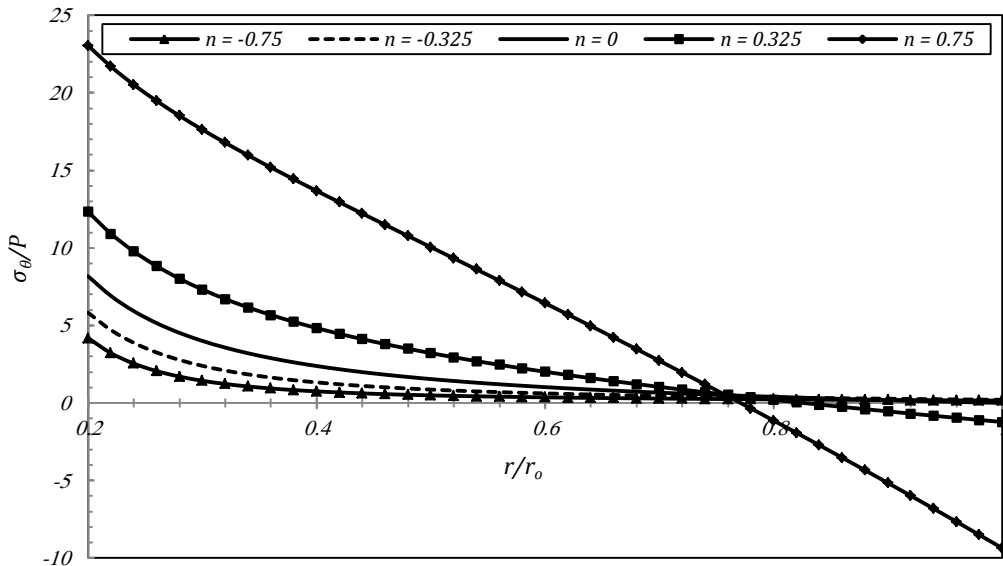
روند تغییرات در قسمت فوق برای مقادیر بزرگتر از یک نسبت ضخامت صادق است ولی برای مقادیر کوچکتر از یک می‌بایست این موضوع بررسی شود. در ادامه نتایج مربوط به نسبت ضخامت $h_i/h_o=0.2$ آورده می‌شود،



شکل ۷-۴ : نمایش تاثیر ثابت ناهمگنی در جابجایی شعاعی دیسک با پروفیل توانی ($h_i/h_o=0.2$)



شکل ۸-۴ : نمایش تاثیر ثابت ناهمگنی در تنش شعاعی دیسک با پروفیل توانی ($h_i/h_o=0.2$)



شکل ۹-۴ : نمایش تاثیر ثابت ناهمگنی در تنش محیطی دیسک با پروفیل توانی ($h_i/h_o=0.2$)

در نمودارهای فوق مشاهده شد که روند تغییرات مشابه حالت $h_i/h_o=2$ می باشد، ولی درصد تغییرات به ازای $n=0.75$ و $n=0.325$ بسیار بیشتر از حالت $h_i/h_o=2$ است که بیشترین تنش نیز برای این حالت مشاهده می شود.

۴ - ۴ حل دیسک FG با ضخامت متغیر با تابع نمایی و توزیع خواص نمایی

اگر خاصیت $(P(r))$ را با استفاده از تابع نمایی مدل کنیم رابطه‌ی آن به شکل زیر خواهد بود:

$$P(r) = P^* e^{\bar{n}r} \quad (40-4)$$

که در آن:

$$P^* = P_i e^{-n} \quad , \quad \bar{n} = \frac{n}{r_i} \quad (41-4)$$

که P_i مقدار آن خاصیت در لایه‌ی داخلی می باشد و n ثابت ناهمگنی مواد FG می باشد. می‌توان در توابع فوق به جای $(P(r))$ توابع مدول الاستیسیته، چگالی، ضریب انبساط حرارتی یا ضریب هدایت حرارتی قرار داد و

در معادله‌ی دیفرانسیل جایگذاری نمود. با انتخاب پروفیل نمایی برای ضخامت، ضرایب معادله دیفرانسیل حاکم

به شکل زیر تبدیل خواهند شد:

$$\begin{aligned} A_1 &= r^2 \\ A_2 &= (1 + (m + \bar{n})r)r \\ A_3 &= (\bar{n} + m)vr - 1 \\ A_4 &= r^2(1 + v)\left\{\frac{(1-v)\rho^*r\omega^2}{E^*} - \alpha^*e^{\bar{n}r}\left(\frac{d}{dr}(\Delta T(r)) + (2\bar{n} + m)\Delta T(r)\right)\right\} \end{aligned} \quad (42-4)$$

معادله‌ی فوق برای حل نیازمند حل حرارتی است، بنابراین در قسمت بعد به حل آن پرداخته می‌شود.

۱ - ۴ - ۴ حل حرارتی

برای حل حرارتی ابتدا می‌بایست حاصل انتگرال زیر را بدست آورده:

$$\int \frac{dr}{rh(r)k(r)} \quad (43-4)$$

با جای گذاری خواص، انتگرال به شکل زیر تبدیل خواهد شد:

$$\frac{1}{k^*h^*} \int \frac{dr}{re^{(m+\bar{n})r}} \quad (44-4)$$

مشابه فصل سوم می‌توان انتگرال فوق را به شکل زیر نوشت:

$$\frac{1}{k^*h^*} \int \frac{dr}{re^{(m+\bar{n})r}} = \frac{-1}{k^*h^*} \zeta_1((m + \bar{n})r) \quad (45-4)$$

که در آن:

$$\zeta_\beta(r) = \int_1^\infty \frac{e^{tr}}{t^\beta} dt \quad (\beta = 1, 2, \dots; r > 0) \quad (46-4)$$

با جایگذاری روابط فوق به جای انتگرال‌ها در معادله‌ی توزیع دما خواهیم داشت:

$$\Delta T(r) = (T_o - T_i) \left(\frac{\zeta_1((m+n)r) - \zeta_1((m+n)r_i)}{\zeta_1((m+n)r_o) - \zeta_1((m+n)r_i)} \right) \quad (47-4)$$

مقادیر تابع $\zeta_1((m+n)r)$ با ازای مقادیر $(m+n) < 0$ حقیقی و به ازای مقادیر $0 < (m+n)$ مختلط می باشد.

۴ - ۲ حل نیمه تحلیلی

با جایگذاری روابط فوق معادلهی حاکم بر دیسک ناهمگن به شکل زیر تبدیل خواهد شد:

$$r^2 \frac{d^2 u_r}{dr^2} + ((m+n)r) r \frac{du_r}{dr} + ((n+m)v r - 1) u_r = F(r) \quad (48-4)$$

که در آن:

$$F(r) = -r^2(1+v) \left\{ \frac{(1-v)\rho_0 r \omega^2}{E_0} - \frac{\alpha_0 e^{nr} (2n+m)(T_o - T_i)}{\zeta_1((m+n)r_o) - \zeta_1((m+n)r_i)} \times \right. \\ \left. \left((\zeta_1((m+n)r) - \zeta_1((m+n)r_i)) - \frac{e^{-(m+n)r}}{(2n+m)r} \right) \right\} \quad (49-4)$$

معادلهی حاکم بر دیسک با ضخامت متغیر نمایی FG با توزیع نمایی دارای حل دقیق نمی باشد ولی در حالی که همگن است با استفاده از سری‌های فوق هندسی قابل حل می باشند که در پیوست B به آن اشاره شده است ولی با توجه به هدف این پژوهش برای تحلیل ترمومالاستیک، از روش نیمه تحلیلی ارائه شده در فصل قبل استفاده می شود. در این روش به جای متغیر گرفتن خواص در کل دیسک، خواص هر حلقه را با توجه به ویژگی‌های فیزیکی آن حلقه ثابت فرض می کنیم. اما اختلاف خواص هر حلقه با حلقه مجاور در حالت کلی همان تغییر خواصی را تداعی می کند که با کم کردن ضخامت حلقه ها و در نتیجه افزایش تعداد آن ها، دقت محاسبات هم زیاد خواهد شد. لازم به ذکر است که افزایش تعداد حلقه ها سبب ایجاد خطای محاسباتی در حل دستگاه معادلات می شود لذا بدست آوردن تعداد لایه های بھینه نیز می تواند ضروری خواهد بود. همان طور که در

فصل دوم بیان شد خواص متغیر در دیسک می توانند وابسته به شعاع یا دمای هر مقطع باشند که در هر حلقه، این خواص برای دمای متوسط و شعاع متوسط آن حلقه ها تعریف می شوند. در این قسمت چون خواص وابسته به دما نمی باشد فقط خواص و ضخامت بر حسب شعاع متوسط آن ها تعریف می شود. بنابراین به تعداد حلقه های موجود خواص و ضخامت متفاوت خواهیم داشت که در نهایت به دستگاه معادلاتی می رسیم که با حل آن توزیع جابجایی و تنش ها در هر حلقه بدست آمده و در نهایت تابع توزیع تنش و جابجایی در دیسک به صورت چند ضابطه ای خواهد بود.

برای ساده نمودن معادلات در هر حلقه خواص و ضخامت را ثابت فرض می کنیم بنابراین معادله خواص و ضخامت در هر حلقه به شکل زیر تبدیل می شود:

$$P^{[k]} = P^* e^{\bar{n}r^{[k]}}, \quad h^{[k]} = h^* e^{mr^{[k]}} \quad (50-4)$$

که در آن k شماره ای حلقه می باشد. بنابراین معادله حاکم در هر حلقه به شکل زیر خواهد بود:

$$A_1^{[k]} \frac{d^2 u_r^{[k]}}{dr^2} + A_2^{[k]} \frac{du_r^{[k]}}{dr} + A_3^{[k]} u_r^{[k]} + A_4^{[k]} = 0 \quad (51-4)$$

که در آن $A_i^{[k]}$ ها ضرایب ثابت در هر حلقه می باشند:

$$\begin{aligned} A_1^{[k]} &= (r^{[k]})^2 \\ A_2^{[k]} &= (1 + (m + \bar{n}) r^{[k]}) r^{[k]} \\ A_3^{[k]} &= (\bar{n} + m) \nu r^{[k]} - 1 \\ A_4^{[k]} &= \frac{(1 - \nu^2) \rho^* \omega^2 (r^{[k]})^3}{E^*} - \frac{\alpha_0 e^{\bar{n}r^{[k]}} (1 + \nu) (2\bar{n} + m) (T_o - T_i) (r^{[k]})^2}{\zeta_1((m + \bar{n}) r_o) - \zeta_1((m + \bar{n}) r_i)} \times \\ &\quad \left(\zeta_1((m + \bar{n}) r^{[k]}) - \zeta_1((m + \bar{n}) r_i) - \frac{e^{-(m + \bar{n}) r^{[k]}}}{(2\bar{n} + m) r^{[k]}} \right) \end{aligned} \quad (52-4)$$

بنابراین ضرایب معادله‌ی حاکم در هر حلقه به ثوابت زیر تبدیل خواهد شد معادله مشخصه‌ی معادله حاکم به

شکل زیر خواهد بود:

$$A_1^{[k]} \left(\lambda^{[k]} \right)^2 + A_2^{[k]} \lambda^{[k]} + A_3^{[k]} = 0 \quad (53-4)$$

که بنا به مقادیر عبارت $\Delta^{[k]} = \left(A_2^{[k]} \right)^2 - 4A_1^{[k]}A_3^{[k]}$ دارای حل‌های زیر خواهد بود:

$$\begin{cases} \Delta^{[k]} = 0 \rightarrow u_r^{[k]} = C_1^{[k]} e^{\lambda_1^{[k]} r} + C_2^{[k]} r e^{\lambda_1^{[k]} r} - \frac{A_4^{[k]}}{A_3^{[k]}} & \frac{r^{[k-1]} + r^{[k]}}{2} < r < \frac{r^{[k]} + r^{[k+1]}}{2} \\ \Delta^{[k]} \neq 0 \rightarrow u_r^{[k]} = C_1^{[k]} e^{\lambda_1^{[k]} r} + C_2^{[k]} e^{\lambda_2^{[k]} r} - \frac{A_4^{[k]}}{A_3^{[k]}} \end{cases} \quad (54-4)$$

که در آن:

$$\lambda_{1,2}^{[k]} = \frac{-A_2^{[k]} \pm \sqrt{\Delta^{[k]}}}{2A_1^{[k]}} \quad (55-4)$$

می باشد. معادله‌ی فوق برای هر حلقه صادق است که نیاز به دو شرط برای حل دارد.

۴ - ۳ - ۴ شرایط مرزی

اگر تعداد حلقه‌ها برابر η باشد پس از نوشتن معادلات حلقه‌ها به η معادله دیفرانسیل می‌رسیم که هر یک دو

ثبت مجھول دارد لذا می‌بایست 2η شرط مرزی و پیوستگی برای حل داشته باشیم. شرایط مرزی به شکل زیر

می باشد:

$$\begin{aligned} \sigma_r \Big|_{r=r_i} &= \frac{E(r) \Big|_{r=r_i}}{(1-\nu^2)} \left[\frac{du_r^{[1]}}{dr} + \nu \frac{u_r^{[1]}}{r} \right] - \frac{E(r) \Big|_{r=r_i} \alpha(r) \Big|_{r=r_i} \Delta T^{[1]}}{(1-\nu)} = -P \\ \sigma_r \Big|_{r=r_o} &= \frac{E(r) \Big|_{r=r_o}}{(1-\nu^2)} \left[\frac{du_r^{[\eta]}}{dr} + \nu \frac{u_r^{[\eta]}}{r} \right] - \frac{E(r) \Big|_{r=r_o} \alpha(r) \Big|_{r=r_o} \Delta T^{[\eta]}}{(1-\nu)} = 0 \end{aligned} \quad (56-4)$$

و شرایط پیوستگی مشابه فصل دوم مطابق روابط زیر خواهد بود:

$$\begin{aligned} u_r^{[k]} \Big|_{r=\frac{r^{[k]}+r^{[k+1]}}{2}} &= u_r^{[k+1]} \Big|_{r=\frac{r^{[k]}+r^{[k+1]}}{2}} \\ \sigma_r^{[k]} \Big|_{r=\frac{r^{[k]}+r^{[k+1]}}{2}} &= \sigma_r^{[k+1]} \Big|_{r=\frac{r^{[k]}+r^{[k+1]}}{2}} \end{aligned} \quad (57-4)$$

با اعمال شرایط پیوستگی یک دستگاه معادله‌ی $(1-\eta)2 \times 2$ به وجود می‌آید که به همراه دو شرط مرزی در حلقه‌ی داخلی و خارجی به دستگاه معادلات $2\eta \times 2\eta$ می‌رسیم که با حل آن 2η ثابت مجھول محاسبه و رابطه جابجایی و تنش‌ها در هر حلقه بدست می‌آیند.

با در نظر گرفتن یکتابع چند ضابطه‌ای برای هر مشخصه می‌توان رابطه‌ی بدست آمده در حلقه را در بازه‌ی شعاعی تعریف شده اعمال شده قرار داد که این تابع وابسته به تعداد حلقه‌ها می‌باشد بنابراین نمی‌توان نتایج را به صورت یکتابع نشان داد.

۴ - ۵ بررسی نتایج حل دیسک ناهمگن با توزیع خواص نمایی با تابع ضخامت نمایی

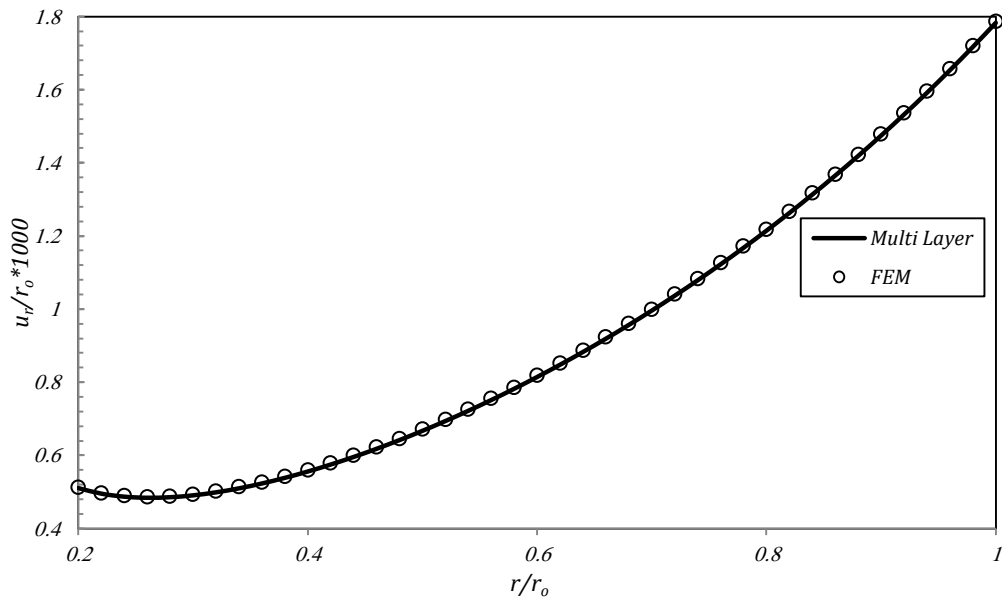
در این قسمت به بررسی یک نمونه دیسک ناهمگن با ضخامت متغیر پرداخته می‌شود. نتایج بدست آمده در این بخش برای ماده همگن در فصل سوم آورده شده است و خواص ثابت در معادلات مطابق جداول ۱-۱ و ۲-۱ انتخاب شده است و شرایط اعمالی بر دیسک با توجه به شرایط مرزی مطابق جدول ۳-۱ خواهد بود. در این بخش پس از اعتبارسنجی به حل، به بررسی تاثیر پارامترهای مختلف در نتایج پرداخته می‌شود.

۴ - ۵ - ۱ مقایسه حل عددی با حل نیمه تحلیلی

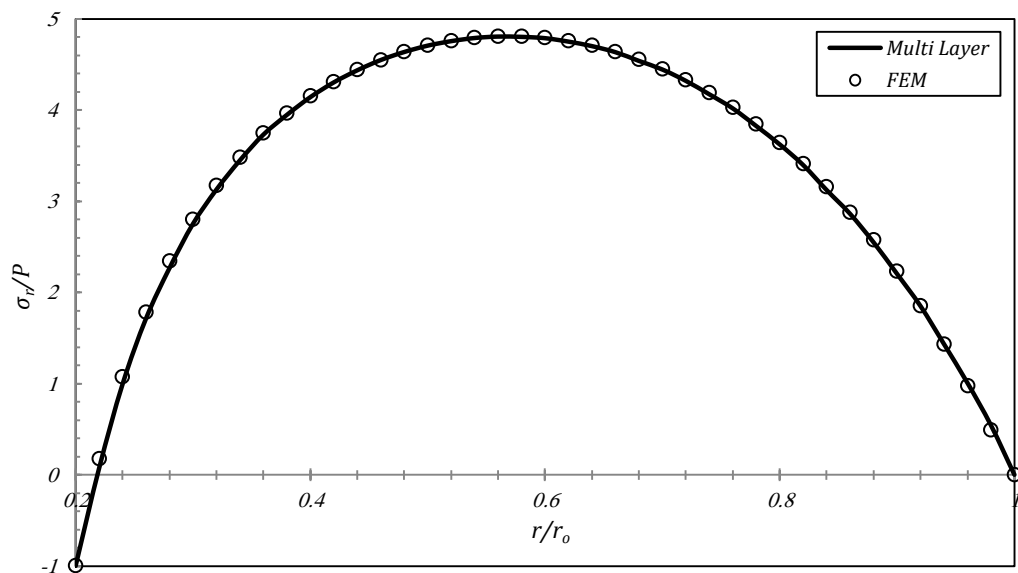
در این بخش با استفاده از حلقه نمودن دیسک معادلات حاکم ساده سازی و حل شده‌اند. در این حالت نیز همان تعداد ۴۰ حلقه در نظر گرفته شده است و نتایج بر مبنای آن استخراج شده است. لازم به ذکر است که پروفیل دیسک با ضخامت متغیر به صورت کد به نرم‌افزار وارد شده است.

شکل‌های (۱۰-۴) تا (۱۲-۴) نتایج بدست آمده در تنש‌ها و جابجایی شعاعی با استفاده از دو روش را نمایش

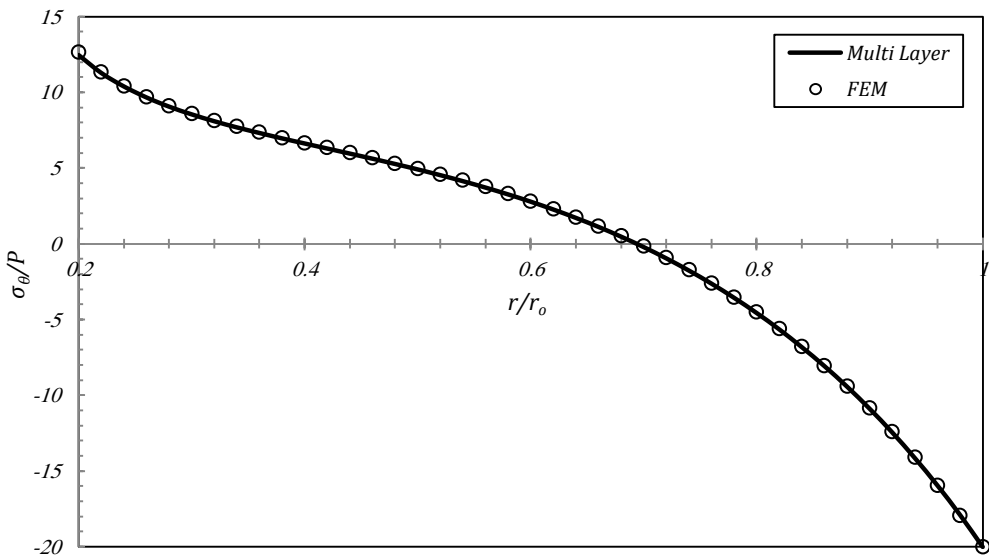
می‌دهند:



شکل ۱۰-۴ : مقایسه‌ی نتایج جابجایی شعاعی با حل عددی ($n=0.3$, $h_r/h_o=2$)



شکل ۱۱-۴ : مقایسه‌ی نتایج تنش شعاعی با حل عددی ($n=0.3$, $h_r/h_o=2$)

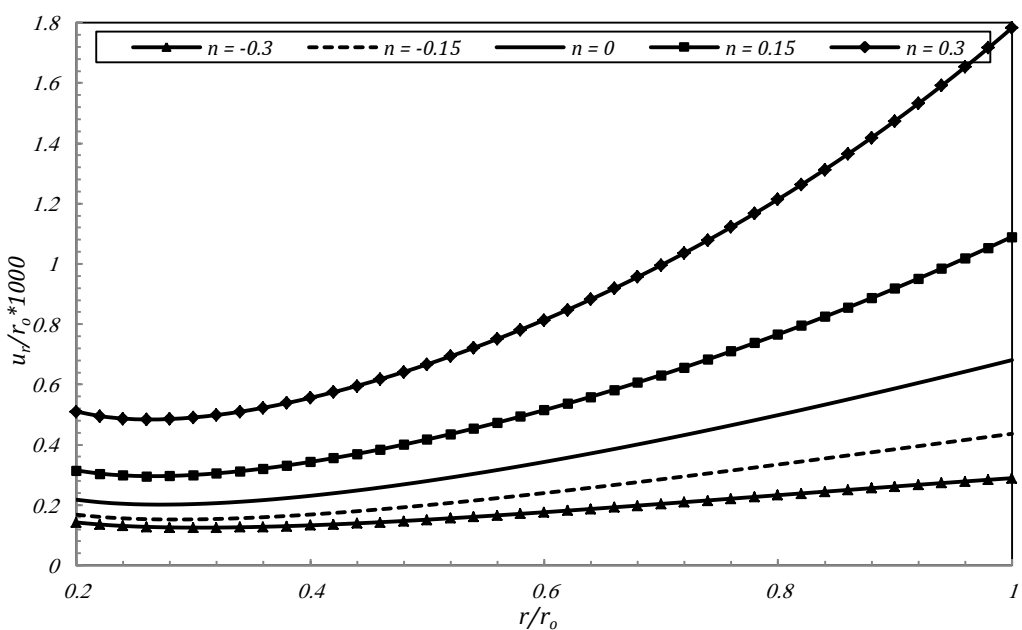


شکل ۱۲-۴ : مقایسه نتایج تنش محیطی با حل عددی ($n=0.3$, $h_r/h_o=2$)

در شکل های فوق مشاهده می شود که نحوه تغییرات و اعداد بدست آمده در مشخصه های مکانیکی حاصل از دو روش مشابه یکدیگر می باشند.

۴ - ۵ - ۲ بررسی تاثیر ثابت ناهمگنی در توزیع مشخصه های مکانیکی

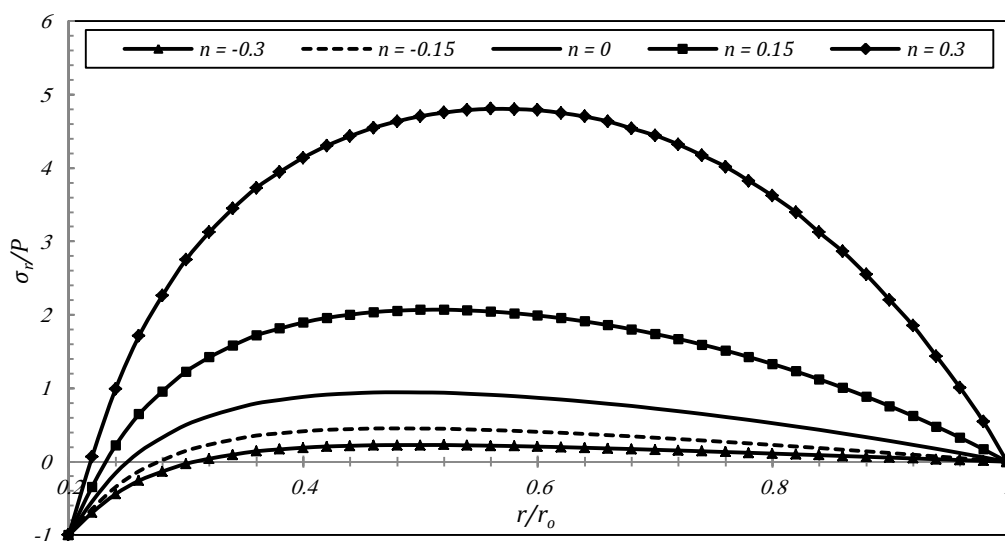
شکل ۱۳-۴ تاثیر ثابت ناهمگنی را دیسک با پروفیل نمایی و با نسبت ضخامت بزرگتر از یک نشان می دهد.



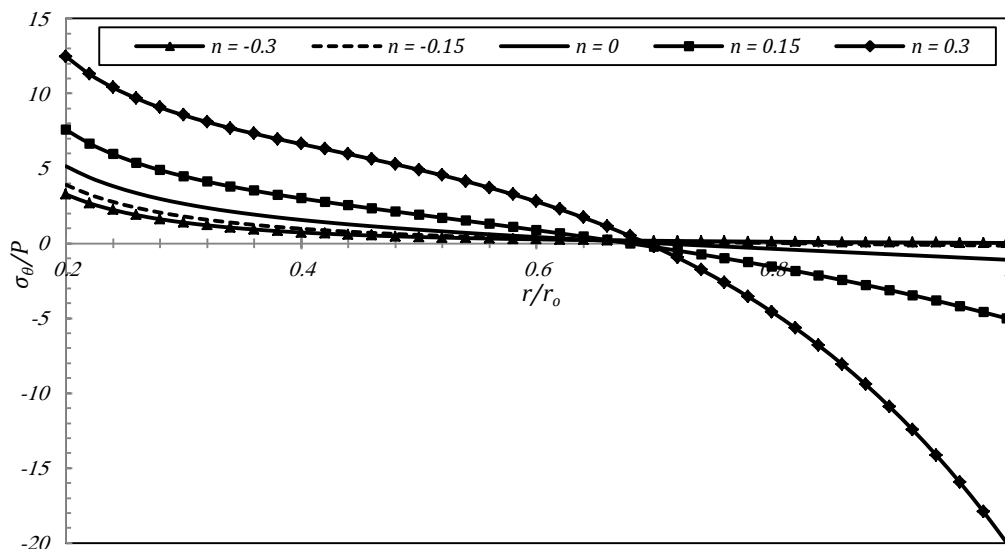
شکل ۱۳-۴ : توزیع جابجایی شعاعی در دیسک با پروفیل نمایی و تابع توزیع خواص نمایی ($h_r/h_o=2$)

مشابه دیسک با پروفیل توانی، مشاهده می شود با افزایش n مقادیر جابجایی شعاعی نیز افزایش می یابد. شکل های

زیر توزیع تنش نرمال شعاعی و محیطی را در راستای شعاع نشان می دهد.



شکل ۱۴-۴ : توزیع تنش شعاعی در دیسک با پروفیل نمایی وتابع توزیع خواص نمایی ($h/h_o=2$)



شکل ۱۵-۴ : توزیع تنش محیطی در دیسک با پروفیل نمایی وتابع توزیع خواص نمایی ($h/h_o=2$)

در این حالت نیز نحوه تغییرات مشابه دیسک با تابع ضخامت نمایی می باشد.

۴ - ۶ حل دیسک ناهمگن با توزیع خواص نمایی و تابع ضخامت توانی

اگر تابع خواص و پروفیل ضخامت به صورت زیر فرض شوند:

$$P(r) = P^* e^{\bar{n}r}, h(r) = h_o \left(\frac{r}{r_o} \right)^m \quad (58-4)$$

بنابراین ضرایب معادلهٔ حاکم به شکل زیر تبدیل می‌شود:

$$\begin{aligned} A_1 &= r^2 \\ A_2 &= (1+m+\bar{n}r)r \\ A_3 &= (\bar{n}r+m)v-1 \\ A_4 &= r(1+v) \left\{ \frac{(1-v)\rho^* r^2 \omega^2}{E^*} - \alpha^* e^{\bar{n}r} \left(r \frac{d}{dr} (\Delta T(r)) + (2\bar{n}r+m)\Delta T(r) \right) \right\} \end{aligned} \quad (59-4)$$

۴ - ۶ - ۱ حل حرارتی

در فصل دوم معادلهٔ حاکم بر توزیع دما بر دیسک با ضخامت متغیر در حالت کلی استخراج گردید که تا این قسمت از پژوهش سعی شده با استفاده از توابع ریاضی این معادله حل شود، ولی در این قسمت با توجه به اینکه با انتگرال‌های پیچیده مواجه خواهیم شد برای حل این معادله نیز از روش حلقه حلقه نمودن دیسک استفاده خواهیم کرد. معادلهٔ (۲-۲۳) برای دیسک مورد بحث در این بخش به شکل زیر خواهد بود :

$$\frac{d}{dr} \left(\left(k^* e^{\bar{n}r} \right) \left(h_o \left(\frac{r}{r_o} \right)^m \right) r \frac{dT}{dr} \right) = 0 \quad (60-4)$$

با ساده سازی معادلهٔ فوق داریم:

$$r \frac{d^2T}{dr^2} + [\bar{n}r + (m+1)] \frac{dT}{dr} = 0 \quad (61-4)$$

بنا به توضیحات ارائه شده در روش حلقه حلقه نمودن دیسک، معادله انتقال حرارت حاکم برای هر حلقه به

صورت زیر تبدیل می شود:

$$r^{[k]} \frac{d^2 T}{dr^2} + [\bar{n} r^{[k]} + (m+1)] \frac{dT}{dr} = 0 \quad (62-4)$$

معادله‌ی فوق معادله دیفرانسیل مرتبه‌ی دوم همگن با ضرایب ثابت است که همواره دارای معادله‌ی مشخصه-

ای با دو ریشه‌های حقیقی است:

$$r^{[k]} (\lambda^{[k]})^2 + [\bar{n} r^{[k]} + (m+1)] \lambda^{[k]} = 0 \rightarrow \begin{cases} \lambda_1^{[k]} = 0 \\ \lambda_2^{[k]} = \frac{\bar{n} r^{[k]} + (m+1)}{r^{[k]}} \end{cases} \quad (63-4)$$

از این روتابع توزیع دما به شکل زیر بدست می‌آید:

$$T(r)^{[k]} = C_1 + C_2 e^{\left[\frac{\bar{n} r^{[k]} + (m+1)}{r^{[k]}} \right] r} \quad (64-4)$$

بنابراین معادله‌ی گرادیان دما در هر حلقه به شکل زیر خواهد بود:

$$\Delta T(r)^{[k]} = (C_1 - T_i) + C_2 e^{\left[\frac{\bar{n} r^{[k]} + (m+1)}{r^{[k]}} \right] r} \quad (65-4)$$

اگر فرض کنیم که تعداد حلقه‌های موجود در دیسک برابر η باشد در این صورت η معادله خواهیم داشت که

η ثابت مجهول دارد. شرایط مرزی برای توزیع دما به نحوی است که سطح داخلی در معرض دمای T_i و سطح

خارجی در معرض دمای T_o قرار دارد با فرض اینکه دمای مجمع برابر با دمای شعاع داخلی باشد، داریم:

$$\Delta T(r)|_{r=r_i} = 0, \Delta T(r)|_{r=r_o} = (T_o - T_i) \quad (66-4)$$

برای محاسبه $(1-\eta)2$ ثابت مجهول دیگر نیاز به $(1-\eta)2$ شرط پیوستگی داریم. این شرایط در معادله‌ی انتقال

حرارت با توجه به وجود جمله گرادیان دما و مشتق آن به شکل زیر تعریف می‌شود:

$$\Delta T(r)^{[k]} \Big|_{r=\frac{r^{[k]}+r^{[k+1]}}{2}} = \Delta T(r)^{[k+1]} \Big|_{r=\frac{r^{[k]}+r^{[k+1]}}{2}}$$

$$\left[\frac{d\Delta T(r)}{dr} \right]^{[k]} \Big|_{r=\frac{r^{[k]}+r^{[k+1]}}{2}} = \left[\frac{d\Delta T(r)}{dr} \right]^{[k+1]} \Big|_{r=\frac{r^{[k]}+r^{[k+1]}}{2}} \quad (67-4)$$

که در آن:

$$\left[\frac{d\Delta T(r)}{dr} \right]^{[k]} = C_2 \left(\frac{\bar{n}r^{[k]} + (m+1)}{r^{[k]}} \right) e^{\left[\frac{\bar{n}r^{[k]} + (m+1)}{r^{[k]}} \right] r} \quad (68-4)$$

می باشد. بنابراین می توان ضرایب معادلهٔ حاکم در هر حلقه را به صورت زیر نوشت:

$$A_1^{[k]} = (r^{[k]})^2$$

$$A_2^{[k]} = (1+m+\bar{n}r^{[k]})r^{[k]}$$

$$A_3^{[k]} = (\bar{n}r^{[k]}+m)v-1$$

$$A_4^{[k]} = r^{[k]}(1+v) \left\{ \frac{(1-v)\rho^* (r^{[k]})^2 \omega^2}{E^*} - \alpha^* e^{\bar{n}r^{[k]}} \left(\left(\frac{d(\Delta T)}{dr} \right)^{[k]} r^{[k]} + (2\bar{n}r^{[k]}+m)\Delta T^{[k]} \right) \right\} \quad (69-4)$$

که در آن:

$$\Delta T^{[k]} = \Delta T(r)^{[k]} \Big|_{r=r^{[k]}}$$

$$\left(\frac{d(\Delta T)}{dr} \right)^{[k]} = \left(\frac{d\Delta T(r)}{dr} \right)^{[k]} \Big|_{r=r^{[k]}} \quad (70-4)$$

می باشد. بدین ترتیب مشابه حالت قبل معادلهٔ حاکم از معادلهٔ دیفرانسیل مرتبه دوم ناهمگن با ضرایب

متغیر به معادلهٔ دیفرانسیل با ضرایب ثابت در هر حلقه تبدیل می شود که با حل آن برای حالات مختلف

توزیع جابجایی به شکل زیر خواهد بود:

$$\begin{cases} \Delta^{[k]} = 0 \rightarrow u_r^{[k]} = C_1^{[k]} e^{\lambda_1^{[k]} r} + C_2^{[k]} r e^{\lambda_1^{[k]} r} - \frac{A_4^{[k]}}{A_3^{[k]}} & \frac{r^{[k-1]} + r^{[k]}}{2} < r < \frac{r^{[k]} + r^{[k+1]}}{2} \\ \Delta^{[k]} \neq 0 \rightarrow u_r^{[k]} = C_1^{[k]} e^{\lambda_1^{[k]} r} + C_2^{[k]} e^{\lambda_2^{[k]} r} - \frac{A_4^{[k]}}{A_3^{[k]}} \end{cases} \quad (71-4)$$

که در آن:

$$\lambda_{1,2}^{[k]} = \frac{-A_2^{[k]} \pm \sqrt{\Delta^{[k]}}}{2A_1^{[k]}}, \quad \Delta^{[k]} = (A_2^{[k]})^2 - 4A_1^{[k]}A_3^{[k]} \quad (72-4)$$

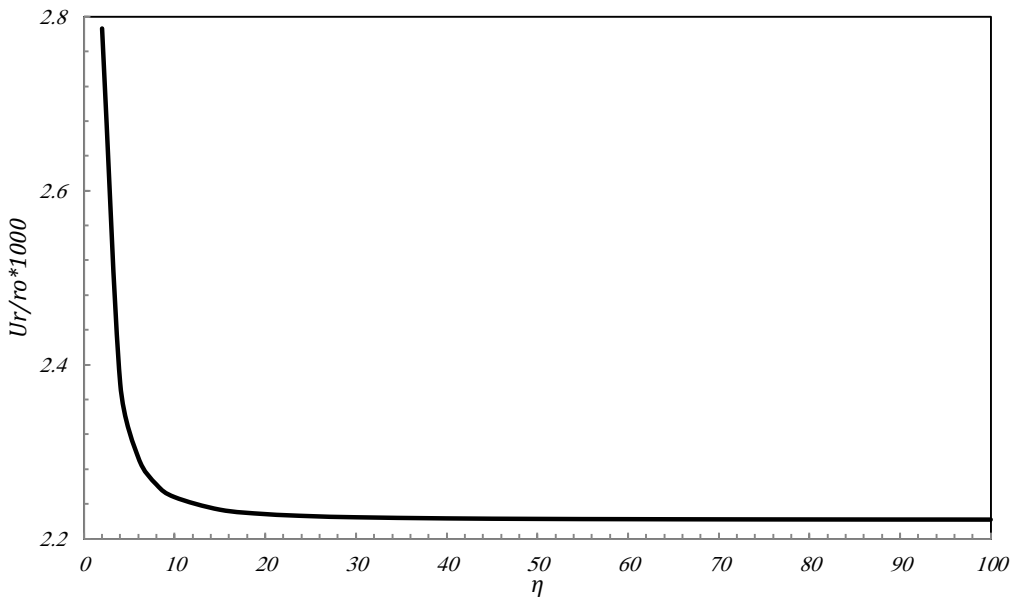
می باشد. معادله‌ی فوق برای هر حلقه صادق است که مشابه بخش قبل با اعمال شرایط مرزی و شرایط پیوستگی تمامی ثوابت مجھول محاسبه خواهند شد

۴ - ۷ - بررسی نتایج حل دیسک ناهمگن با توزیع خواص نمایی با تابع ضخامت توانی

در این قسمت مشابه تمام مطالب ارائه شده، به تحلیل یک نمونه از دیسک با مشخصات ارائه شده در جداول (۱-۱) تا (۳-۱) پرداخته می شود.

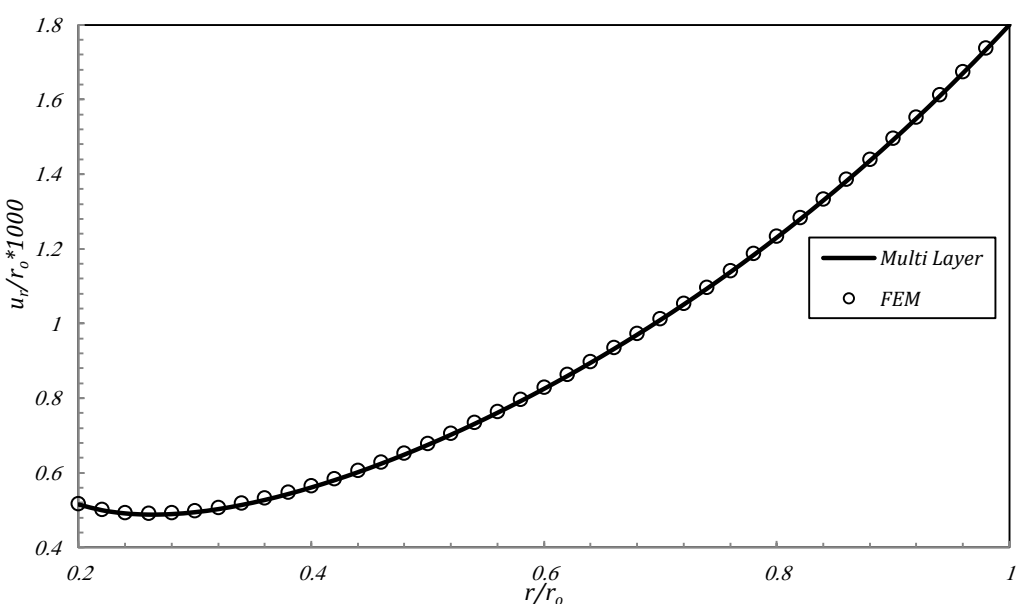
۴ - ۷ - ۱ - مقایسه حل عددی با حل نیمه تحلیلی

در قسمت قبل با وجود اینکه از روش حلقه‌ای نمودن دیسک برای حل استفاده شد ولی تمامی معادلات حاکم مشابه دیسک همگن با پروفیل نمایی بود، لذا برای آن بحث بهینه سازی تعداد حلقه‌ها مطرح نگردید ولی در این بخش با توجه به اینکه در این قسمت برای حل حرارتی نیز از روش حلقه‌ای نمودن دیسک استفاده شده است، بنابراین می بایست ابتدا تعداد حلقه‌ها را بدست آورد. شکل ۱۶-۴ رابطه‌ی تعداد حلقه‌ها با جابجایی بیشینه در دیسک با ضخامت متغیر نمایی و برای حالت $n=0.3$ و $h/h_o=0.2$ ارائه شده است:

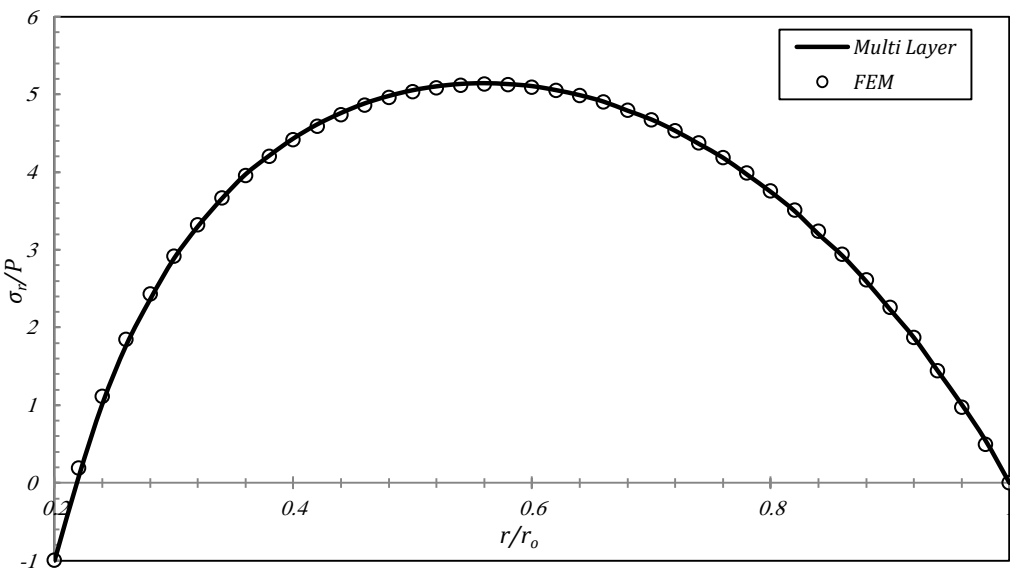


شکل ۱۶-۴: بررسی استقلال از تعداد حلقه‌ها در دیسک ناهمگن

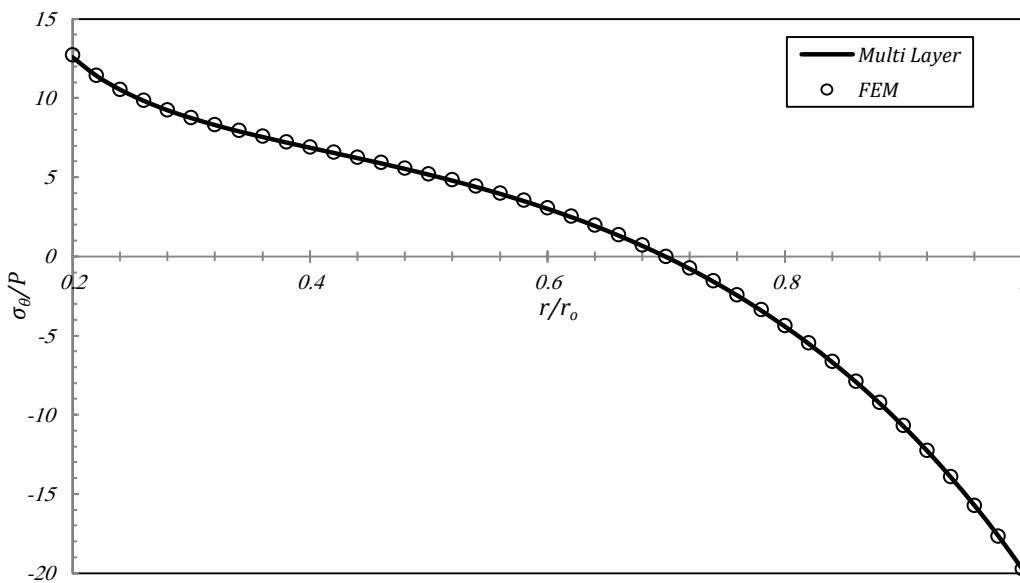
نتایج فوق نشان می‌دهد برای تعداد حلقه‌های بیشتر از 30° شبیه منحنی افقی شده است، بنابراین مشابه حالت قبل چهل حلقه انتخاب می‌شود. شکل ۱۷-۴ تا ۱۹-۴ به مقایسه نتایج حل نیمه تحلیلی و عددی می‌پردازد:



شکل ۱۷-۴: مقایسه ای توزیع جابجایی شعاعی در دیسک FG توائی با پروفیل نمایی با روش عددی



شکل ۱۸-۴ : مقایسه‌ی توزیع تنش شعاعی در دیسک FG توانی با پروفیل نمایی با روش عددی

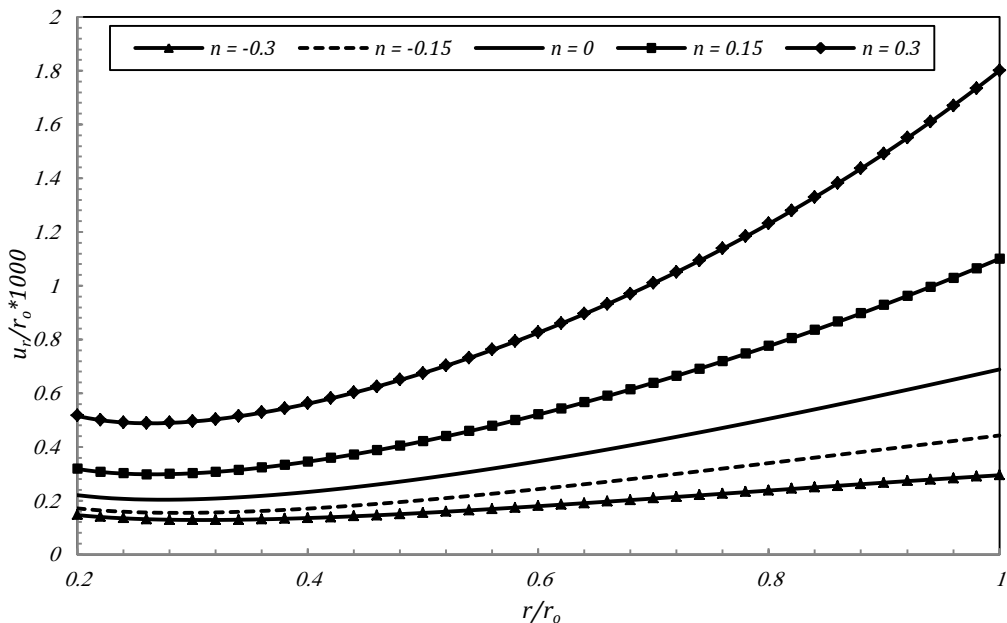


شکل ۱۹-۴ : مقایسه‌ی توزیع تنش محیطی در دیسک FG توانی با پروفیل نمایی با روش عددی

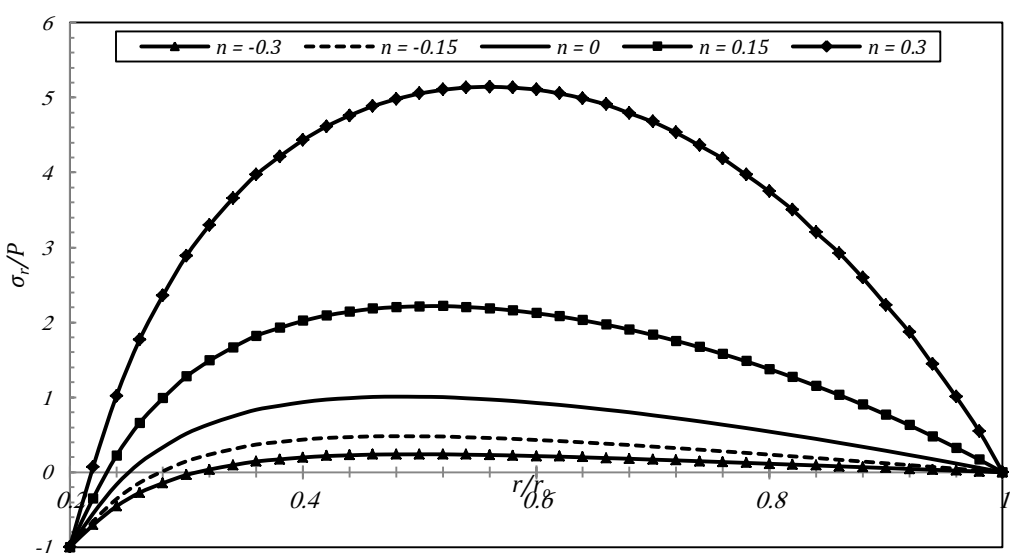
نمودارهای فوق انطباق بین حل عددی و نیمه‌تحلیلی را نشان می‌دهد. لازم به ذکر است که در حل عددی مشابه حل نیمه‌تحلیلی دیسک به ۴۰ ناحیه تقسیم شده که هر ناحیه دارای خواص ثابت می‌باشد و بصورت مجزا شبکه بندی شده است و برای پروفیل ضخامت از تعریف تابع در نرم افزار انسیس استفاده شده است.

۴ - ۷ - ۲ - بررسی تاثیر ثابت ناهمگنی در توزیع مشخصه های مکانیکی

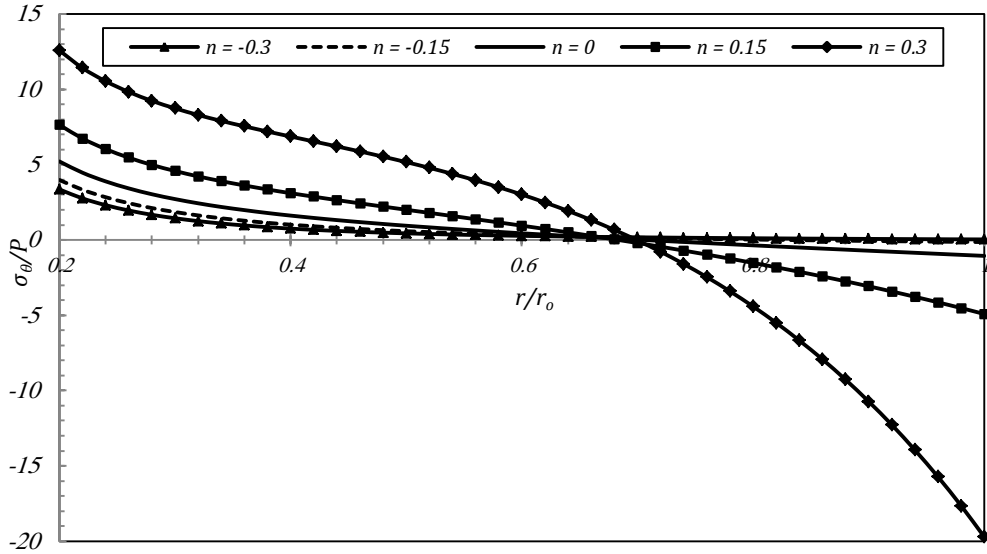
در این گام مطابق روال گذشته نتایج در دیسک بر حسب ثابت های ناهمگنی ترسیم می شود و روند تغییرات نمودارها بررسی می شود. شکل های ذیل توزیع تنش ها و جابجایی شعاعی را در راستای شعاع به ازای مقادیر مختلف ثابت ناهمگنی نمایش می دهد.



شکل ۲۰-۴ : توزیع جابجایی شعاعی در دیسک با پروفیل نمایی وتابع توزیع خواص توانی ($h_r/h_o=2$)



شکل ۲۱-۴ : توزیع تنش شعاعی در دیسک با پروفیل نمایی وتابع توزیع خواص توانی ($h_r/h_o=2$)



شکل ۲۲-۴ : توزیع تنش محیطی در دیسک با پروفیل نمایی وتابع توزیع خواص توانی ($h_i/h_o=2$)

در این حالت نیز مشاهده می شود نحوه تغییرات نتایج مشابه با توجه به ثابت ناهمگنی دیسک های FG می باشد.

۴ - ۸ حل دیسک ناهمگن با توزیع خواص توانی با تابع ضخامت نمایی

در این قسمت تابع توزیع خواص و ضخامت به صورت زیر فرض می شوند:

$$P(r) = P_i \left(\frac{r}{r_i} \right)^n, h(r) = h^* e^{mr} \quad (73-4)$$

بنابراین ضرایب معادله حاکم به شکل زیر تبدیل می شود:

$$\begin{aligned} A_1 &= r^2 \\ A_2 &= (1 + mr + n)r \\ A_3 &= (n + mr)v - 1 \\ A_4 &= r(1 + v) \left\{ \frac{(1 - v)\rho_i r^2 \omega^2}{E_i} - \alpha_i \left(\frac{r}{r_i} \right)^n \left(r \frac{d}{dr} (\Delta T(r)) + (2n + mr)\Delta T(r) \right) \right\} \end{aligned} \quad (74-4)$$

با توجه به اینکه عامل نمایی درتابع ضخامت وجود دارد لذا حل دقیق برای آن وجود نخواهد داشت، مشابه
حالت قبل با تبدیل دیسک به حلقه های ثابت تابع توزیع گرادیان دما در هر حلقه به شکل زیر خواهد بود:

$$\Delta T(r)^{[k]} = \left(C_1 - T_i \right) + C_2 e^{\left[\frac{mr^{[k]} + (n+1)}{r^{[k]}} \right] r}, \quad \left[\frac{d\Delta T(r)}{dr} \right]^{[k]} = C_2 \left(\frac{mr^{[k]} + (n+1)}{r^{[k]}} \right) e^{\left[\frac{mr^{[k]} + (n+1)}{r^{[k]}} \right] r} \quad (75-4)$$

بنابراین معادله حاکم در هر حلقه به صورت زیر تبدیل خواهد شد:

$$A_1^{[k]} \frac{d^2 u_r^{[k]}}{dr^2} + A_2^{[k]} \frac{du_r^{[k]}}{dr} + A_3^{[k]} u_r^{[k]} + A_4^{[k]} = 0 \quad (76-4)$$

که در آن:

$$\begin{aligned} A_1^{[k]} &= (r^{[k]})^2 \\ A_2^{[k]} &= (1+n+mr^{[k]})r^{[k]} \\ A_3^{[k]} &= (mr^{[k]}+n)v-1 \\ A_4^{[k]} &= r^{[k]}(1+v) \left\{ \frac{(1-v)\rho_i (r^{[k]})^2 \omega^2}{E_i} - \alpha_i \left(\frac{r^{[k]}}{r_i} \right)^n \left(\left(\frac{d(\Delta T)}{dr} \right)^{[k]} r^{[k]} + (2n+mr^{[k]})\Delta T^{[k]} \right) \right\} \end{aligned} \quad (77-4)$$

۶

$$\begin{aligned} \Delta T^{[k]} &= \Delta T(r)^{[k]} \Big|_{r=r^{[k]}} \\ \left(\frac{d(\Delta T)}{dr} \right)^{[k]} &= \left(\frac{d\Delta T(r)}{dr} \right)^{[k]} \Big|_{r=r^{[k]}} \end{aligned} \quad (78-4)$$

می باشد. با حل معادله فوق داریم:

$$\begin{cases} \Delta^{[k]} = 0 \rightarrow u_r^{[k]} = C_1^{[k]} e^{\lambda_1^{[k]} r} + C_2^{[k]} r e^{\lambda_1^{[k]} r} - \frac{A_4^{[k]}}{A_3^{[k]}} & \frac{r^{[k-1]} + r^{[k]}}{2} < r < \frac{r^{[k]} + r^{[k+1]}}{2} \\ \Delta^{[k]} \neq 0 \rightarrow u_r^{[k]} = C_1^{[k]} e^{\lambda_1^{[k]} r} + C_2^{[k]} e^{\lambda_2^{[k]} r} - \frac{A_4^{[k]}}{A_3^{[k]}} \end{cases} \quad (79-4)$$

که در آن:

$$\lambda_{1,2}^{[k]} = \frac{-A_2^{[k]} \pm \sqrt{\Delta^{[k]}}}{2A_1^{[k]}}, \quad \Delta^{[k]} = (A_2^{[k]})^2 - 4A_1^{[k]}A_3^{[k]} \quad (80-4)$$

می باشد. معادله‌ی فوق برای هر حلقه صادق است که مشابه بخش قبل با اعمال شرایط مرزی و شرایط پیوستگی تمامی ثوابت مجھول محاسبه خواهند شد.

تابع به دست آمده مشابه حالات قبل از نوع چند ضابطه‌ای با توجه به تعداد حلقه‌ها می‌باشد که با توجه به پیچیدگی آن نمی‌توان شکل کلی برای آن ارائه نمود.

۴-۹-۱ بررسی نتایج حل دیسک ناهمگن با توزیع خواص توانی با تابع ضخامت نمایی

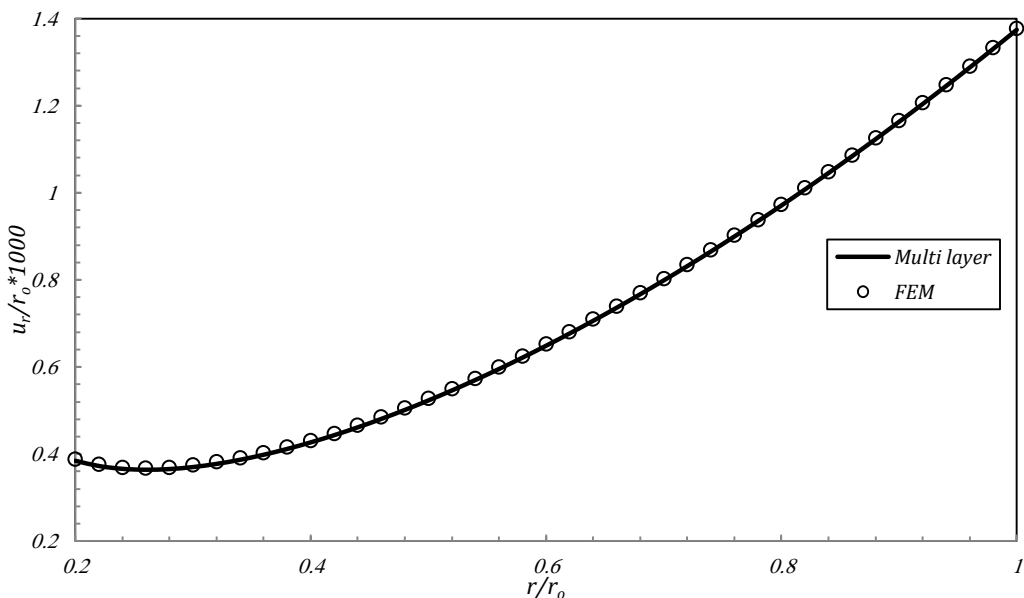
در این قسمت به بررسی یک نمونه دیسک ناهمگن با تابع توزیع خواص توانی با پروفیل نمایی پرداخته می‌شود. نتایج بدست آمده در این بخش برای ماده همگن در فصل سوم آورده شده است و خواص ثابت در معادلات مطابق جداول ۱-۱ و ۲-۱ انتخاب شده است و شرایط اعمالی بر دیسک با توجه به شرایط مرزی مطابق جدول ۳-۱ خواهد بود. در انتهای پس از اعتبارسنجی به حل، به بررسی تاثیر پارامترهای مختلف در نتایج پرداخته می‌شود.

۴-۹-۲ مقایسه حل عددی با حل نیمه تحلیلی

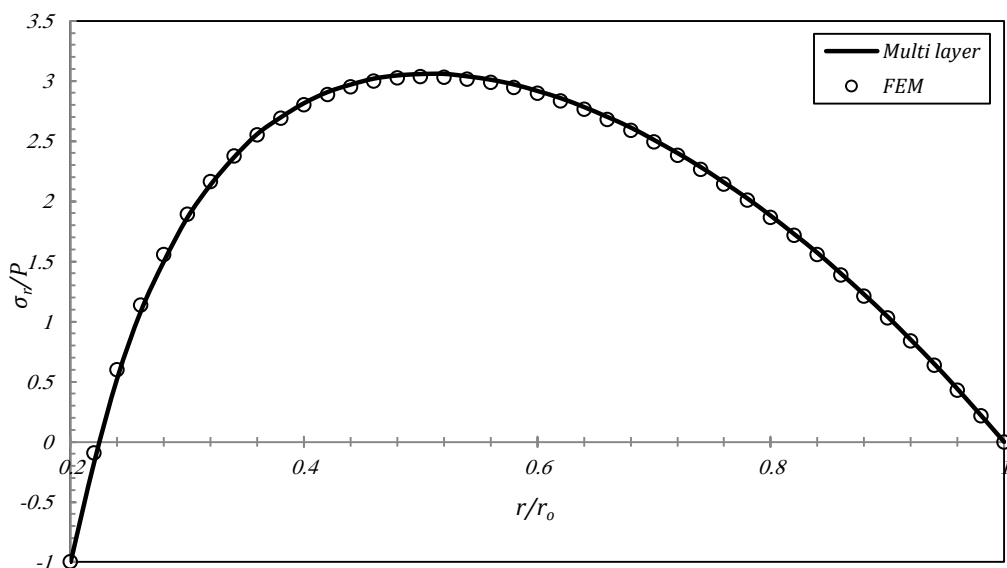
در این مدل نیز از ۴۰ حلقه در حل نیمه تحلیلی استفاده شده است و نتایج بر مبنای آن استخراج شده است. به منظور بررسی صحت تعداد حلقه و فرضیات در نظر گرفته شده نتایج بدست آمده با حل عددی در نرم افزار ANSYS مقایسه می‌شوند. لازم به ذکر است در نرم افزار ANSYS نیز از چهل لایه برای مدل سازی مواد FG استفاده شده است.

شکل‌های ۲۳-۴ تا ۲۵-۴ نتایج بدست آمده در تنش‌ها و جابجایی شعاعی با استفاده از دو روش تحلیل و

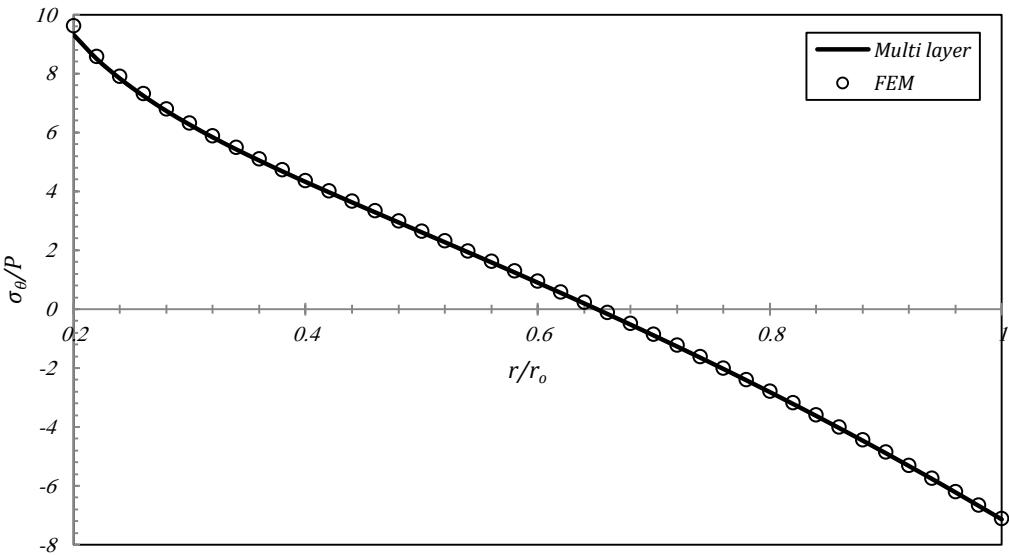
عددی را نمایش می‌دهند:



شکل ۲۳-۴ : مقایسه‌ی توزیع جابجایی شعاعی در دیسک FG نمایی با پروفیل توانی با روش عددی



شکل ۲۴-۴ : مقایسه‌ی توزیع تنش شعاعی در دیسک FG نمایی با پروفیل توانی با روش عددی

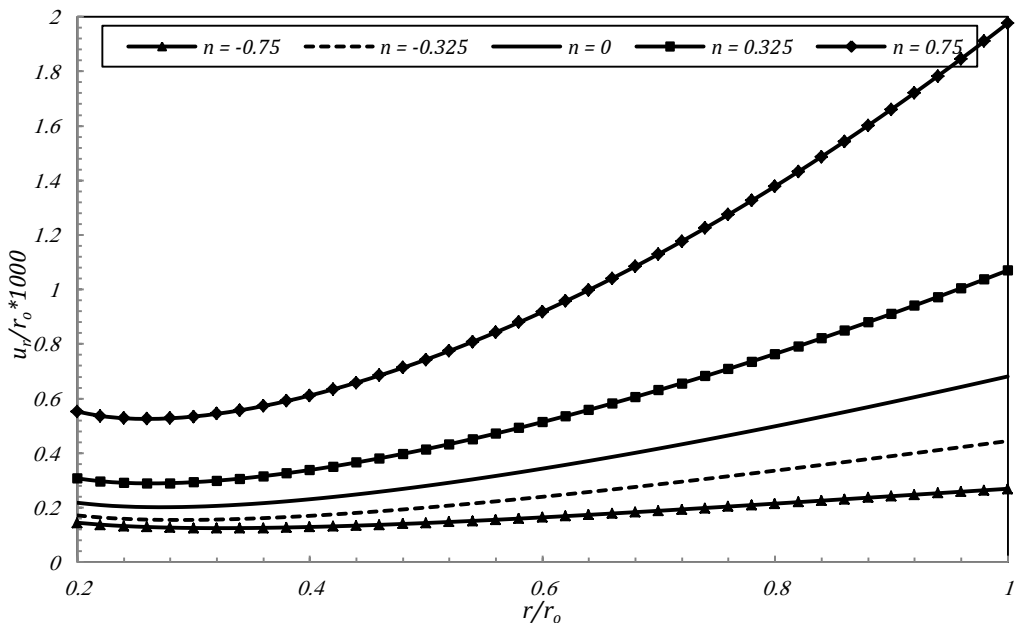


شکل ۲۵-۴ : مقایسه‌ی توزیع تنش محیطی در دیسک FG نمایی با پروفیل توانی با روش عددی

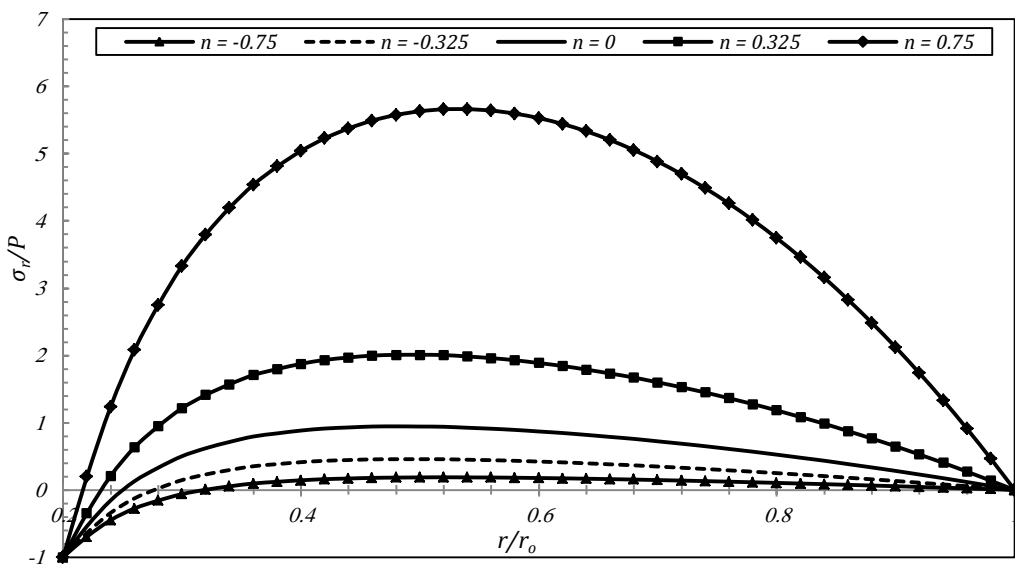
نتایج نشان داده شده، صحت حل نیمه تحلیلی را با توجه به حل عددی نمایش می‌دهد.

۴ - ۹ - ۲ - بررسی تاثیر ثابت ناهمگنی در توزیع مشخصه‌های مکانیکی

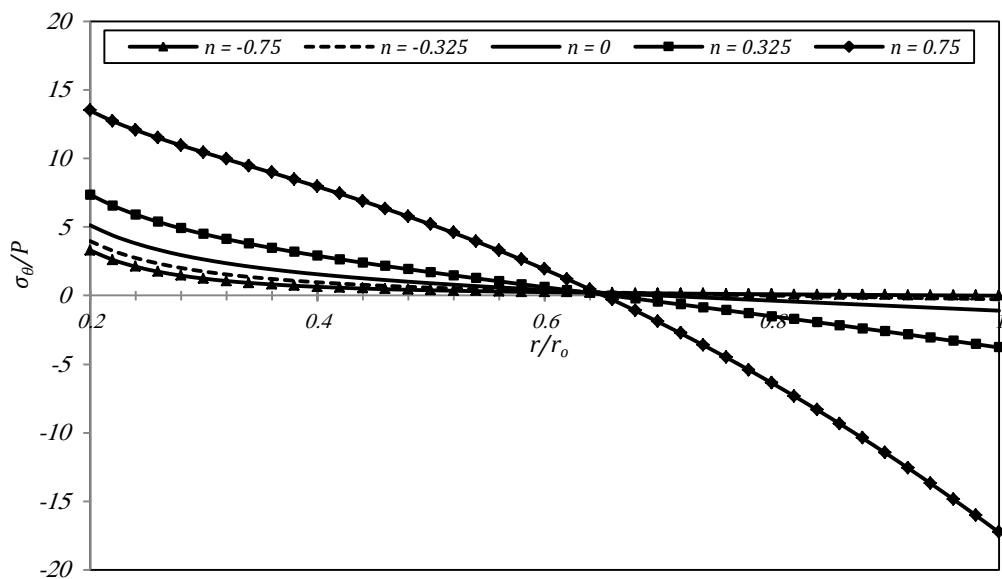
شکلهای ۲۶-۴ تا ۲۸-۴ نتایج را در راستای شعاع به ازای مقادیر مختلف ثابت ناهمگنی نمایش می‌دهد.



شکل ۲۶-۴ : توزیع جابجایی شعاعی در دیسک با پروفیل توانی و تابع توزیع خواص نمایی ($h_i/h_o=2$)



شکل ۲۷-۴ : توزیع تنش شعاعی در دیسک با پروفیل توانی وتابع توزیع خواص نمایی ($h_r/h_o=2$)



شکل ۲۸-۴ : توزیع تنش محیطی در دیسک با پروفیل توانی وتابع توزیع خواص نمایی ($h_r/h_o=2$)

در این قسمت نیز نحوه تغییرات نتایج بدست آمده به ازای ثابت‌های ناهمگنی مختلف مشابه دیسک همگن می‌باشد.

۴ - جمع بندی

در این بخش سعی شد تمامی مسائل با در نظر گرفتن توابع ضخامت و خواص مختلف حل شود که در هر مرحله بنا به نوع معادله روشی برای آن ارائه گردید و نتایج در هر بخش با حل عددی مقایسه و به تفکیک ثابت ناهمگنی بیان شد.

در اولین بخش دیسک ناهمگن با توزیع خواص توانی با تابع ضخامت توانی تحلیل و حل دقیق برای آن ارائه گردید. جدول ۱-۴ به اختصار نتایج جابجایی شعاعی بدست آمده در این بخش را نشان می دهد:

جدول ۱-۴: حل پارامتریک دیسک ناهمگن توانی با پروفیل توانی

$u_r = C_1 r^{\frac{1}{2}(-(m+n)+\sqrt{(m+n)^2-4(m+n)\nu+4})} + C_2 r^{\frac{1}{2}(-(m+n)-\sqrt{(m+n)^2-4(m+n)\nu+4})}$ $+ \frac{(\nu^2-1)\rho_i \omega^2 r^3}{(8+(3+\nu)(m+n))E_i} + \frac{(T_o-T_i)(1+\nu)\alpha_i}{(r_o^{-(m+n)}-r_i^{-(m+n)})} \left\{ \begin{array}{l} \left(\frac{-nr_i^{-n}}{n(m-1-\nu)-m(\nu-1)} \right) r^{1-m} \\ - \left(\frac{(2n+m)r_i^{-(2n+m)}}{2n^2+n(3+\nu+m)+m(1+\nu)} \right) r^{1+n} \end{array} \right\}$	
$C_1 = \frac{r_o r_i}{(\lambda_1+\nu)(r_o^{\lambda_2} r_i^{\lambda_1} - r_o^{\lambda_1} r_i^{\lambda_2})} \times$ $\left\{ \begin{array}{l} r_i^{\lambda_2-1} \left[\begin{array}{l} \frac{-(2n+m)\alpha_i r_i^{-(2n+m)} r_o^n (1+\nu)(1+\nu+n)(T_o-T_i)}{(2n^2+n(3+\nu+m)+m(1+\nu))(r_o^{-(m+n)}-r_i^{-(m+n)})} \\ + \frac{-n\alpha_i r_i^{-n} r_o^{-m} (T_o-T_i)(1+\nu)(1-m+\nu)}{(n(m-1-\nu)-m(\nu-1))(r_o^{-(m+n)}-r_i^{-(m+n)})} - \alpha_0 (1+\nu) \left(\frac{r_o}{r_i} \right)^n (T_o-T_i) \end{array} \right] \\ - r_o^{\lambda_2-1} \left[\begin{array}{l} \frac{-(2n+m)\alpha_i r_i^{-(n+m)} (1+\nu)(1+\nu+n)(T_o-T_i)}{(2n^2+n(3+\nu+m)+m(1+\nu))(r_o^{-(m+n)}-r_i^{-(m+n)})} \\ + \frac{-n\alpha_i r_i^{-(n+m)} (T_o-T_i)(1+\nu)(1-m+\nu)}{(n(m-1-\nu)-m(\nu-1))(r_o^{-(m+n)}-r_i^{-(m+n)})} \end{array} \right] \end{array} \right\}$	$C_2 = \frac{r_o r_i}{(\lambda_2+\nu)(r_o^{\lambda_2} r_i^{\lambda_1} - r_o^{\lambda_1} r_i^{\lambda_2})} \times$ $\left\{ \begin{array}{l} r_o^{\lambda_1-1} \left[\begin{array}{l} \frac{-(2n+m)\alpha_i r_i^{-(n+m)} (1+\nu)(T_o-T_i)(1+\nu+n)}{(2n^2+n(3+\nu+m)+m(1+\nu))(r_o^{-(m+n)}-r_i^{-(m+n)})} \\ + \frac{-n\alpha_i r_i^{-(n+m)} (T_o-T_i)(1+\nu)(1-m+\nu)}{(n(m-1-\nu)-m(\nu-1))(r_o^{-(m+n)}-r_i^{-(m+n)})} \end{array} \right] \\ - r_i^{\lambda_1-1} \left[\begin{array}{l} \frac{-(2n+m)\alpha_i r_i^{-(2n+m)} r_o^n (1+\nu)(1+\nu+n)(T_o-T_i)}{(2n^2+n(3+\nu+m)+m(1+\nu))(r_o^{-(m+n)}-r_i^{-(m+n)})} \\ - \alpha_0 (1+\nu) \left(\frac{r_o}{r_i} \right)^n (T_o-T_i) + \frac{-n\alpha_i r_i^{-n} r_o^{-m} (T_o-T_i)(1-m+\nu)(1+\nu)}{(n(m-1-\nu)-m(\nu-1))(r_o^{-(m+n)}-r_i^{-(m+n)})} \end{array} \right] \end{array} \right\}$
$C_1 = -\frac{r_i r_o^{\lambda_2} P(1-\nu^2)}{E_0(\lambda_1+\nu)(r_o^{\lambda_2} r_i^{\lambda_1} - r_o^{\lambda_1} r_i^{\lambda_2})}$	$C_2 = \frac{r_i r_o^{\lambda_1} P(1-\nu^2)}{E_0(\lambda_1+\nu)(r_o^{\lambda_2} r_i^{\lambda_1} - r_o^{\lambda_1} r_i^{\lambda_2})}$
$C_1 = \frac{(\nu^2-1)(3+\nu)\rho_i \omega^2 r_o r_i (r_i^{\lambda_2-1} r_o^2 - r_o^{\lambda_2-1} r_i^2)}{E_i(\lambda_1+\nu)(r_o^{\lambda_2} r_i^{\lambda_1} - r_o^{\lambda_1} r_i^{\lambda_2})(8+(3+\nu)(m+n))}$	$C_2 = -\frac{(\nu^2-1)(3+\nu)\rho_i \omega^2 r_o r_i (r_i^{\lambda_1-1} r_o^2 - r_o^{\lambda_1-1} r_i^2)}{E_i(\lambda_1+\nu)(r_o^{\lambda_2} r_i^{\lambda_1} - r_o^{\lambda_1} r_i^{\lambda_2})(8+(3+\nu)(m+n))}$

در قسمت‌های بعدی با توجه به اینکه حل پارامتریک برای معادله‌ی حاکم وجود ندارد از روش نیمه تحلیلی برای حل استفاده شد. با توجه به اینکه تابع نمایی و توانی از دو جنس متفاوت هستند نمی‌توان با توجه به ثابت ناهمگنی در مورد نتایج قضاؤت نمود. برای این منظور می‌بایست برای یک نسبت خواص مشخص ثابت‌های ناهمگنی در هر تابع مشخص شده و نتایج با یکدیگر مقایسه شود. با توضیحات ذکر شده برای توابع مختلف رابطه‌ی ثابت ناهمگنی قابل محاسبه است.

همانطور که بیان شد رابطه‌ی خواص در تابع توانی به شکل زیر است:

$$P(r) = P_i \left(\frac{r}{r_i} \right)^n \quad (81-4)$$

اگر ثابت ناهمگنی مطابق رابطه زیر باشد خواص در r_i برابر P_i و در r_o برابر P_o می‌باشد:

$$n = \frac{\ln\left(\frac{P_o}{P_i}\right)}{\ln\left(\frac{r_o}{r_i}\right)} \quad (82-4)$$

برای تابع نمایی نیز داریم:

$$P(r) = P_i e^{\frac{n(r-r_i)}{r_i}} \quad (83-4)$$

$$n = \frac{r_i \ln\left(\frac{P_o}{P_i}\right)}{r_o - r_i} \quad (84-4)$$

با توجه به رابطه‌های فوق برای $P_o/P_i=1.5$ ثابت ناهمگنی برای تابع توانی برابر $0/25$ و برای تابع نمایی برابر $0/0$ خواهد بود این مقادیر برای $P_o/P_i=0.3$ برای توابع توانی و نمایی به ترتیب $-0/75$ و $-0/3$ بدست می‌آید.

جدول ۲-۴ نتایج حاصل از تحلیل برای دیسک با نسبت ضخامت در شعاع داخلی به شعاع خارجی برابر ۲ به تفکیک بارگذاری را نشان می دهد.

جدول ۲-۴: تنش معادل در دیسک‌های FG به تفکیک ماده، پروفیل و بارگذاری

$P_o/P_i=1.5$	$P_o/P_i=1$	$P_o/P_i=0.3$	بارگذاری	نوع FG	نوع پروفیل
۱۶۴	۱۰۱/۴	۲۵/۰	حرارت	توانی	توانی
۷۲/۲	۸۲/۳	۱۰۳/۳	فشار		
۷۶/۲	۶۰	۳۳/۱	دوران		
۲۹۲/۸	۲۲۹/۷	۱۵۹/۳	مجموع		
۱۶۳/۸	۱۰۱/۴	۳۵/۱	حرارت	نمایی	توانی
۸۱/۸	۸۲/۳	۱۰۰/۴	فشار		
۶۱/۲	۶۰	۳۶/۵	دوران		
۳۰۱/۱	۲۲۹/۷	۱۶۹/۴	مجموع		
۱۶۶/۴	۱۰۳/۱	۲۶/۲	حرارت	توانی	نمایی
۷۲/۹	۷۸/۴	۹۸/۷	فشار		
۵۹/۲	۵۱/۴	۳۴	دوران		
۲۹۱/۹	۲۲۷/۶	۱۵۶/۵	مجموع		
۱۵۸/۳	۱۰۳/۱	۳۲/۰	حرارت	نمایی	نمایی
۷۵	۷۸/۴	۹۰/۲	فشار		
۵۹/۱	۵۱/۴	۳۵	دوران		
۲۸۶/۱	۲۲۷/۶	۱۵۴/۲	مجموع		

جدول ۲-۴ نتایج جامعی در زمینه دو تابع ضخامت و توزیع خواص ارائه داده است که می‌توان به تفکیک

بارگذاری دیسک بهینه را انتخاب نمود:

۱- بارگذاری حرارتی: در این حالت بهترین دیسک، دیسکی با پروفیل توانی و از نوع هذلولوی است که

توزیع خواص در آن بصورت توانی است. در این دیسک با افزایش خواص نسبت به لایه میانی تنש‌ها

افزایش می‌یابد. نکته‌ی قابل توجه اینست که با افزایش خواص تنش‌ها بیشتر از دیسک‌های دیگر

افزایش می‌یابد.

۲- بارگذاری دورانی: در این حالت بهترین دیسک، مشابه بارگذاری حرارتی است.

۳- بارگذاری فشار داخلی: در جدول ۲-۴ مشاهده می‌شود بهترین دیسک تحت فشار داخلی، با پروفیل

نمایی و توزیع خواص نمایی است. ولی با این حال استفاده از ماده FG و دیسک با ضخامت متغیر تحت

این بارگذاری سودمند نبوده و سبب افزایش تنش نسبت به ماده همگن شده است.

با جمع بندی مطالب ارائه شده در بندهای ۱ تا ۳ می‌توان نتیجه گرفت که افزایش ضخامت در لایه‌ی

داخلی سبب کاهش تنش‌های ناشی از گرادیان حرارتی و دوران می‌شود با این حال در فشار داخلی نقش

عوامل فوق سبب افزایش تنش می‌شود. لذا می‌بایست در دیسک‌های تحت فشار با رعایت ملاحظات دیسک

FG و ضخامت متغیر انتخاب شود.

فصل پنجم:

نتیجہ گیری

۵ - ۱ خلاصه مطالب ارائه شده در این پژوهش

در این پژوهش معادلات ترمولاستیک حاکم در دیسک استخراج گردید که در آن ضخامت و خواص متغیر فرض شدند. این معادلات برای حالات مختلف خواص و پروفیل ساده‌سازی گردید و برای دیسک چرخان تحت فشار داخلی و گرادیان دما معادلات حل و نتایج ارائه گردید. جدول ۱-۵ روش‌های به کار گرفته شده در هر فصل را به اختصار نشان داده شده است.

جدول ۱-۵: روش‌های به کار گرفته شده برای هر نوع از دیسک‌ها در این پژوهش

شماره فصل	پروفیل ضخامت	ماده	روش حل معادله حرارت	روش حل معادله ترمولاستیک
۲	ضخامت ثابت	همگن	Exact	Exact
	ضخامت ثابت	توانی FG	Exact	Exact
۳	تابع توانی	همگن	Exact	Exact
	تابع نمایی	همگن	MultiLayer	Analytical
۴	تابع توانی	توانی FG	Exact	Exact
	تابع نمایی	توانی FG	MultiLayer	MultiLayer
	تابع توانی	نمایی FG	MultiLayer	MultiLayer
	تابع نمایی	نمایی FG	MultiLayer	Analytical

لازم به ذکر است برای معادلاتی که از تابع نمایی در مواد یا پروفیل استفاده شده است، حل تحلیلی در پیوست ارائه شده است که در غیاب بارگذاری حرارتی می‌توان از آنها استفاده نمود. همچنین دیسک FG با توزیع B

خواص توانی و پروفیل توانی با استفاده از معادلات بلترامی میشل حل شده است که توضیحات مربوط به آن در پیوست A آورده شده است.

پس از حل ارائه شده در هر گام نتایج با حل عددی در نرمافزار انسیس مقایسه شده است و در مورد خطاهاي احتمالي در هر حل بحث شده است. در پایان نیز نتایج بنا به نوع پروفیل و مواد، تجزیه و تحلیل و نمودارهای آن ارائه شده است.

۵ - ۲ نتیجه گیری

در این تحقیق ابتدا نتایج دیسک همگن با ضخامت ثابت و تحت بارگذاری حرارتی و مکانیکی بررسی شد که مشاهد شد در لایه‌ی داخلی تنش در دیسک بیشینه است. از اینرو برای کاهش تنش در این ناحیه دو پیشنهاد مطرح گردید. اولی افزایش ضخامت و دیگری استفاده از مواد ناهمگن FG بود که برای هر یک از ایده‌ها چندین حالت مختلف بررسی و تحلیل شد. تحلیل نتایج حاصل از تحقیق از دو دیدگاه بررسی شده است که در ادامه ارائه می‌شود:

الف) تاثیر هریک از بارگذاری‌ها بر مشخصه‌های مکانیکی دیسک:

در نتایج حاصل از تحلیل صرفنظر از نوع ماده و هندسه‌ی دیسک همواره جمع آثار صادق بوده و نحوه تغییرات مطابق توضیحات زیر می‌باشد:

۱- جابجایی شعاعی: قدر مطلق جابجایی ناشی از گرادیان حرارتی بر بارگذاری‌های دیگر غلبه دارد. با توجه به اینکه دما در دیسک با افزایش شعاع افزایش می‌یابد، تغییرات جابجایی ناشی از گرادیان حرارتی به صورت صعودی رفتار می‌کند. در بارگذاری ناشی از دوران تغییرات جابجایی شعاعی در لایه‌های داخلی دیسک نزولی، سپس تا نواحی نزدیک به شعاع خارجی صعودی شده و دوباره تغییرات به شکل نزولی تغییر وضع می‌دهد. با توجه به اینکه نیروی گریز از مرکز به دو عامل جرم و شعاع وابسته است این تغییرات منطقی به

نظر می‌رسد بطوریکه عامل شعاع باعث صعودی شدن تغییرات شده و عامل کاهش جرم بین لایه‌های مجاور که در سطوح داخلی و خارجی اتفاق می‌افتد سبب نزولی شدن رابطه می‌شود. بنابراین نمودار جابجایی دارای یک مینیمم نسبی و یک بیشینه نسبی می‌باشد. تغییرات جابجایی شعاعی ناشی از فشار داخلی، در کل دیسک با افزایش شعاع کاهش می‌یابد بنابراین در لایه‌های داخلی مقدار آن بیشینه است. با جمع کردن تمامی جابجایی‌های شعاعی ناشی از بارگذاریها ملاحظه می‌شود، در غالب لایه‌ها تغییرات به صورت صعودی می‌باشد، فقط در لایه‌های داخلی گرادیان جابجایی شعاعی ناشی از فشار بر جابجایی کل غلبه دارد و رفتار کلی نزولی می‌باشد.

۲- تنش شعاعی: تنش های شعاعی ناشی از گرادیان حرارتی و دوران رفتاری مشابه دارد. با توجه به آزاد بودن سطوح دیسک در شعاع داخلی و خارجی، در این دو ناحیه تنش صفر بوده و بقیه لایه‌ها تحت کشش ناشی از جابجایی شعاعی می‌باشد بنابراین تنش بیشینه در لایه‌های میانی رخ می‌دهد. در تنش ناشی از فشار داخلی، نحوه تغییرات قدر مطلق تنش به صورت نزولی می‌باشد به گونه‌ای که فشار داخلی تمامی لایه‌ها را تحت فشار قرار می‌دهد. با استفاده از جمع آثار رفتار برآیند نیروها به شکلی است که لایه‌های داخلی تحت فشار و لایه‌های خارجی تحت کشش قرار دارد.

۳- تنش محیطی: تنش محیطی ناشی از گرادیان حرارتی، بر بارگذاری‌های دیگر از لحاظ مقداری غلبه دارد. در بارگذاری ناشی از گرادیان حرارتی لایه‌های داخلی تحت کشش و لایه‌های بیرونی تحت فشار قرار دارد. لازم به ذکر است که تحت تمامی بارگذاریها همواره تنش محیطی در لایه‌ی داخلی بیشینه است و با توجه به صادق بودن اصل جمع آثار این ناحیه در معرض بیشترین تنش کششی قرار دارد. از طرفی با توجه به اینکه تنش محیطی از لحاظ مقداری چندین برابر تنش محیطی است لذا تنش معادل فون میزز تحت تاثیر مقدار تنش محیطی بوده و در لایه داخلی بیشینه است.

لازم به ذکر است تجزیه تحلیل‌های انجام شده بر اساس بارگذاری اعمالی مطابق جداول ۱-۱ تا ۳-۱ صورت گرفته است و برای دیسک‌های مختلف ممکن است نتایج تغییر کند. البته سعی شده است شرایط در نظر گرفته

شده، در محدوده‌ی کاربردهای صنعتی دیسک‌ها قرار گرفته باشد. با این حال با توجه به عدم وجود رفتار تعمیم پذیر در دیسک‌ها هر مسئله‌ی جدید می‌بایست با استفاده از روش‌های ذکر شده تحلیل شود.

ب) تاثیر تغییر خواص و هندسه‌ی دیسک بر مشخصه‌های مکانیکی حاصل از بارگذاری‌ها:

در این حالت نتایج بدست آمده در جدول ۲-۵ به اختصار آورده شده است:

جدول ۲-۵: تنش معادل در لایه داخلی به تفکیک بارگذاری

$\sigma_{eq} rotation$	$\sigma_{eq} pressure$	$\sigma_{eq} thermal$	P_o/P_i	ماده	h_i/h_o	پروفیل ضخامت
۶۴/۹	۷۲/۲	۱۳۱/۶	۱	همگن	۱	ضخامت ثابت
۴۲/۴	۹۰/۸	۳۴/۲	۰/۳	توانی FG	۱	ضخامت ثابت
۶۰/۰	۸۲/۳	۱۰۱/۴	۱	همگن	۲	تابع توانی
۵۱/۴	۷۸/۴	۱۰۳/۱	۰/۳	همگن	۲	تابع نمایی
۳۳/۱	۱۰۳/۳	۲۵/۰	۰/۳	توانی FG	۲	تابع توانی
۳۴/۰	۹۸/۷	۲۶/۲	۰/۳	توانی FG	۲	تابع نمایی
۳۶/۵	۱۰۰/۴	۳۵/۱	۰/۳	نمایی FG	۲	تابع توانی
۳۵/۰	۹۰/۲	۳۲/۰	۰/۳	نمایی FG	۲	تابع نمایی

نتایج حاصل نشان دهنده‌ی این است که در دیسک نمی‌توان تغییری ایجاد نمود که تمامی تنش‌های حاصل از بارگذاری‌ها را کاهش دهد، بلکه هر یک از تغییرات تاثیری مثبت در یک بارگذاری و تاثیر منفی در بارگذاری دیگر دارد. در حالت کلی می‌توان نتایج زیر را از تحلیل تنش‌ها در این پژوهش استخراج نمود:

۱- افزایش ضخامت در لایه‌ی داخلی سبب کاهش تنش ناشی از بارگذاری حرارتی و دوران می‌شود ولی افزایش تنش ناشی از فشار داخلی را بهمراه دارد.

۲- استفاده از مواد FG بطوریکه خواص در راستای شعاع افزایش یابد مشابه افزایش ضخامت داخلی، سبب کاهش تنش ناشی از بارگذاری حرارتی و دوران و افزایش تنش حاصل از فشار داخلی می‌شود.

۳- پروفیل نمایی در بارگذاری حرارتی و دوران تنش بیشتری از پروفیل توانی دارد ولی در مورد فشار داخلی این موضوع به صورت عکس بوده و حتی از ضخامت ثابت نیز تنش بیشتری خواهد داشت.

۴- تابع توزیع خواص توانی نیز مشابه پروفیل توانی در بارگذاری حرارتی و دوران تنش بیشتری نسبت به تابع توزیع نمایی دارد.

لازم به ذکر است تمامی بندهای فوق به ازای h_i/h_o بزرگتر از یک و P_o/P_i کوچکتر از یک بدست آمده است و برای مقادیر h_i/h_o کوچکتر از یک و P_o/P_i بزرگتر از یک نتایج عکس مطالب ذکر شده خواهد بود.

۵ - ۳ زمینه‌های ادامه پژوهش

در این پژوهش سعی بر این بود که تمامی مطالب ارائه شده کامل بیان شود ، ولی به هر حال نتایج بدست آمده نشان دهنده این مطلب است که مطالب این پژوهش نیاز به تحقیقات آتی خواهد داشت که در ادامه به چند مورد از آن‌ها اشاره خواهد شد:

۱- در فصل دوم برای سادگی از تنش برشی در صفحه ۲۷ و تنش نرمال در راستای γ صرفنظر شد و تمامی معادلات حاکم بر دیسک استخراج گردید. اگرچه این فرض تحدودی منطبق بر شرایط واقعی دیسک می- باشد ولی به هر حال خطای کمی در نتایج وارد نموده است. بنابراین پیشنهاد می‌شود با استفاده از تئوری تغییر شکل برشی معادلات حل شوند. در این تئوری خطوط راست و عمود بر صفحه‌ی میانی، پس از تغییر شکل، راست باقی می‌مانند ولی الزاماً عمود نیستند، یعنی کرنش برشی و تنش برشی لحاظ می‌شود. قابل

ذکر است که معادلات بر مبنای تئوری تغییر شکل برشی در پیوست C استخراج شده، که به دستگاه معادلات دیفرانسیل با ضرایب متغیر رسیده است. این دستگاه دارای حل دقیق نمی‌باشد ولی مشابه حل ارائه شده برای مخروط ناقص در [۳۱] می‌توان این دستگاه معادلات را به روش تحلیلی حل نمود که نیازمند مطالعات تکمیلی می‌باشد.

- ۲- همانطور که می‌دانیم خواص تمامی مواد وابسته به دمای کاری آن‌ها می‌باشد که این وابستگی می‌تواند با شبیه متفاوت در هر خاصیت باشد. ولی در توابع بکار گرفته شده در این پژوهش تغییرات دما در خواص ماده در نظر گرفته نشده و برای هر دمایی خواص ثابت فرض شده‌اند. از این‌رو می‌توان برای تطبیق بیشتر نتایج علمی با واقعیت به خصوص برای دیسک‌های تحت گرادیان حرارتی زیاد تغییرات با دما لحاظ شود.

- ۳- در روش بکار گرفته شده برای تحلیل دیسک‌هایی که حل دقیق ندارند دیسک به حلقه‌هایی با ضخامت ثابت پیوسته تبدیل و معادلات برای هر حلقه ساده سازی و حل شدند. همانطور که می‌دانیم ضخامت و خواص بصورت خطی تغییر نمی‌کنند همچنین گرادیان نتایج در هر قسمت از دیسک متفاوت با یکدیگر است. برای مثال در لایه‌های داخلی گرادیان نتایج بدست آمده بیشتر از نواحی دیگر است از این‌رو می‌توان ضخامت لایه‌ها متناسب با خواص، ضخامت دیسک و گرادیان خواص متغیر در نظر گرفته شود که سبب کاهش خطأ و زمان محاسبات خواهد شد.

پیوست ها

۶ - ۱ پیوست A : حل دقیق دیسک ناهمگن با ضخامت متغیر با استفاده از معادلات بلترامی -

میشل

با توجه به مطالب ارائه شده در فصل دوم می دانیم که:

$$\varepsilon_r = \frac{du_r}{dr} , \quad \varepsilon_\theta = \frac{u_r}{r} \quad (1-A)$$

با حذف u_r از روابط بالا معادله زیر برای دیسک بدست می آید که در واقع معادله سازگاری برای دیسک

می باشد:

$$\varepsilon_\theta - \varepsilon_r + r \frac{d\varepsilon_\theta}{dr} = 0 \quad (2-A)$$

با توجه به اینکه بارگذاری حرارتی فقط در راستای شعاع است از این رو کرنش حرارتی فقط در این راستا وجود

دارد و مقدار آن از رابطه زیر قابل محاسبه است:

$$\varepsilon_r^T = \alpha(r)(T(r) - T_0) = \alpha(r)\Delta T(r) \quad (3-A)$$

که در آن $\Delta T(r)$ تابع توزیع گرادیان دما بوده و با توجه به فصل دوم برای دیسک ناهمگن و با ضخامت متغیر

به شکل زیر می باشد:

$$\Delta T(r) = (T_o - T_i) \left(\frac{\int_{r_i}^r \frac{dr}{rh(r)k(r,T)}}{\int_{r_o}^{r_i} \frac{dr}{rh(r)k(r,T)}} \right) \quad (4-A)$$

میدان تنش برای ماده‌ی الاستیک خطی با توجه به معادلات رفتاری ترموموالتیک به صورت زیر است:

$$\begin{Bmatrix} \sigma_r \\ \sigma_\theta \end{Bmatrix} = \frac{E(r)}{(1-\nu^2)} \begin{bmatrix} 1 & \nu \\ \nu & 1 \end{bmatrix} \begin{Bmatrix} \varepsilon_r - \varepsilon_r^T \\ \varepsilon_\theta - \varepsilon_r^T \end{Bmatrix} \quad (5-A)$$

که این رابطه بر حسب کرنش به صورت زیر است:

$$\begin{cases} \varepsilon_r = \frac{1}{E(r)} (\sigma_r - v \sigma_\theta) + \varepsilon_r^T \\ \varepsilon_\theta = \frac{1}{E(r)} (\sigma_\theta - v \sigma_r) + \varepsilon_\theta^T \end{cases} \quad (6-A)$$

با استفاده از تئوری الاستیسیتهی مستوی، معادلهی تعادل در نظر گرفتن ضخامت متغیر به صورت زیر است:

$$\frac{d}{dr} (rh(r)\sigma_r) - h(r)\sigma_\theta + h(r)\rho(r)\omega^2 r^2 = 0 \quad (7-A)$$

اگر تابع فرضی زیر را در نظر بگیریم، خواهیم داشت: [۳۲]

$$\Phi(r) = rh(r)\sigma_r \quad (8-A)$$

که با توجه به رابطهی (7-A) داریم:

$$\sigma_r = \frac{\Phi(r)}{rh(r)}, \quad \sigma_\theta = \frac{1}{h(r)} \frac{d\Phi}{dr} + \rho(r)\omega^2 r^2 \quad (9-A)$$

با جایگذاری روابط (9-A) و (3-A) در معادلهی (6-A) خواهیم داشت:

$$\begin{cases} \varepsilon_r = \frac{1}{E(r)} \left\{ \frac{\Phi(r)}{rh(r)} - v \left(\frac{1}{h(r)} \frac{d\Phi}{dr} + \rho(r)\omega^2 r^2 \right) \right\} + \alpha(r)\Delta T(r) \\ \varepsilon_\theta = \frac{1}{E(r)} \left\{ \left(\frac{1}{h(r)} \frac{d\Phi}{dr} + \rho(r)\omega^2 r^2 \right) - v \frac{\Phi(r)}{rh(r)} \right\} + \alpha(r)\Delta T(r) \end{cases} \quad (10-A)$$

پس از جایگذاری روابط (10-A) در معادلای سازگاری (2-A) داریم:

$$A_1 \frac{d^2\Phi}{dr^2} + A_2 \frac{d\Phi}{dr} + A_3 \Phi + A_4 = 0 \quad (11-A)$$

که در آن:

$$\begin{aligned}
 A_1 &= r^2 \\
 A_2 &= r^2 \left\{ \frac{1}{r} - \frac{\frac{d}{dr}(E(r)h(r))}{E(r)h(r)} \right\} \\
 A_3 &= r \left\{ -\frac{1}{r} + \nu \frac{\frac{d}{dr}(E(r)h(r))}{E(r)h(r)} \right\} \\
 A_4 &= h(r)r^2 \left\{ (3+\nu)\rho(r)r\omega^2 + \frac{d}{dr}(\rho(r))r^2\omega^2 + E(r)\frac{d}{dr}(\rho(r)\Delta T(r)) \right\}
 \end{aligned} \tag{12-A}$$

می باشد.

برای حل یک حالت خاص از دیسک با این روش، دیسک ناهمگن FG با تابع توزیع توانی و تابع ضخامت توانی در فصل چهارم بررسی شد، در این قسمت تحلیل خواهد شد. در این دیسک توابع توزیع خواص و ضخامت به شکل زیر می باشد:

$$E(r) = E_i \left(\frac{r}{r_i} \right)^n, \rho(r) = \rho_i \left(\frac{r}{r_i} \right)^n, \alpha(r) = \alpha_i \left(\frac{r}{r_i} \right)^n, k(r) = k_i \left(\frac{r}{r_i} \right)^n, h(r) = h_o \left(\frac{r}{r_o} \right)^m \tag{13-A}$$

که در آن E_i مدول الاستیسیته، ρ_i چگالی در، α_i ضریب انبساط حرارتی و k_i ضریب هدایت حرارتی در شعاع داخلی و h_o ضخامت در شعاع خارجی می باشد. با فرض توابع زیر برای خواص و ضخامت معادله ای حاکم به شکل زیر ساده می شود:

$$r^2 \frac{d^2 \Phi}{dr^2} + r(1-(m+n)) \frac{d\Phi}{dr} + (\nu(m+n)-1)\Phi = F(r) \tag{14-A}$$

که در آن:

$$F(r) = -\frac{h_o r^{(m+n)}}{r_o^m r_i^n} \left\{ \rho_i \omega^2 (3+\nu) r^3 + \alpha_i E_i \left(\frac{r}{r_i} \right)^n \left[r^2 \frac{d}{dr} (\Delta T(r)) + nr \Delta T(r) \right] \right\} \quad (15-A)$$

می باشد. با توجه به حل حرارتی ارائه شده در فصل چهارم، خواهیم داشت:

$$F(r) = -\frac{h_o r^{(m+n)}}{r_o^m r_i^n} \left\{ \rho_i \omega^2 (3+\nu) r^3 - \alpha_i E_i r_i^{-n} \left(\frac{(T_o - T_i)}{(r_o^{-(m+n)} - r_i^{-(m+n)})} \right) \times \left[m r^{-(m-1)} + n r_i^{-(m+n)} r^{n+1} \right] \right\} \quad (16-A)$$

معادله‌ی فوق یک معادله‌ی اویلر-کشی است که اگر در معادله‌ی فوق به جای $\Phi(r)$ عبارت r^λ قرار دهیم معادله‌ی مشخصه‌ی زیر بدست می‌آید:

$$\lambda^2 - (m+n)\lambda + ((m+n)\nu - 1) = 0 \quad (17-A)$$

و با حل معادله‌ی مشخصه داریم:

$$\lambda_{1,2} = \frac{1}{2} \left((m+n) \pm \sqrt{\Delta} \right) \quad (18-A)$$

که در آن:

$$\Delta = (m+n)^2 - 4(m+n)\nu + 4 \quad (19-A)$$

می باشد. عبارت Δ به ازای تمامی مقادیر $(m+n)$ همواره عدد مثبتی خواهد بود در نتیجه λ همواره مقدار حقیقی خواهد داشت. بنابراین حل عمومی معادله به شکل زیر خواهد بود:

$$\Phi_H(r) = C_1 r^{\lambda_1} + C_2 r^{\lambda_2} \quad (20-A)$$

برای محاسبه‌ی حل خصوصی، از روش لاگرانژ استفاده می‌شود. چون از روش لاگرانژ در این قسمت استفاده شده است معادله‌ی دیفرانسیل به صورت استاندارد نوشته شده است و تمامی معادله به r^2 تقسیم شده است.

بنابراین از علامت $F'(r)$ استفاده شده است:

$$F'(r) = r^{(m+n)-1} (\chi_1 r^{-m} + \chi_2 r^n + \chi_3 r^2) \quad (21-A)$$

که در آن:

$$\begin{aligned} \chi_1 &= \frac{(T_o - T_i) m \alpha_i h_o E_i}{(r_o^{-(m+n)} - r_i^{-(m+n)}) r_o^m r_i^{2n}}, \quad \chi_2 = \frac{(T_o - T_i) n r_i^{-(n+m)} \alpha_i h_o E_i}{(r_o^{-(m+n)} - r_i^{-(m+n)}) r_o^m r_i^{2n}}, \\ \chi_3 &= -\frac{h_o \rho_i (3+\nu) \omega^2}{r_o^m r_i^n} \end{aligned} \quad (22-A)$$

می باشد. با استفاده از حل عمومی مسئله، می توان حل خصوصی را به صورت زیر نوشت:

$$\Phi_P(r) = \vartheta_1(r) r^{\lambda_1} + \vartheta_2(r) r^{\lambda_2} \quad (23-A)$$

با حل دستگاه معادله‌ی زیر داریم:

$$\begin{cases} \vartheta_1'(r) r^{\lambda_1} + \vartheta_2'(r) r^{\lambda_2} = 0 \\ \vartheta_1'(r) \lambda_1 r^{\lambda_1-1} + \vartheta_2'(r) \lambda_2 r^{\lambda_2-1} = r^{(m+n)-1} (\chi_1 r^{-m} + \chi_2 r^n + \chi_3 r^2) \end{cases} \quad (24-A)$$

با جایگذاری معادله‌ی اول در معادله‌ی دوم خواهیم داشت:

$$\vartheta_2'(r) = \frac{r^{(m+n)-\lambda_2} (\chi_1 r^{-m} + \chi_2 r^n + \chi_3 r^2)}{(\lambda_2 - \lambda_1)}, \quad \vartheta_1'(r) = -\frac{r^{(m+n)-\lambda_1} (\chi_1 r^{-m} + \chi_2 r^n + \chi_3 r^2)}{(\lambda_2 - \lambda_1)} \quad (25-A)$$

و با انتگرال گیری مقادیر $\vartheta_1(r)$ و $\vartheta_2(r)$ به شکل زیر بدست می آیند:

$$\begin{aligned} \vartheta_1(r) &= \frac{-1}{(\lambda_2 - \lambda_1)} \int \left[\chi_1 r^{n-\lambda_1} + \chi_2 r^{(m+2n)-\lambda_1} + \chi_3 r^{(m+n+2)-\lambda_1} \right] dr \\ &= \frac{-1}{(\lambda_2 - \lambda_1)} \left[\frac{\chi_1 r^{(1+n)-\lambda_1}}{(1+n) - \lambda_1} + \frac{\chi_2 r^{(1+m+2n)-\lambda_1}}{(1+m+2n) - \lambda_1} + \frac{\chi_3 r^{(m+n+3)-\lambda_1}}{(m+n+3) - \lambda_1} \right] + C_1 \\ \vartheta_2(r) &= \frac{1}{(\lambda_2 - \lambda_1)} \int \left[\chi_1 r^{n-\lambda_2} + \chi_2 r^{(m+2n)-\lambda_2} + \chi_3 r^{(m+n+2)-\lambda_2} \right] dr \\ &= \frac{1}{(\lambda_2 - \lambda_1)} \left[\frac{\chi_1 r^{(1+n)-\lambda_2}}{(1+n) - \lambda_2} + \frac{\chi_2 r^{(1+m+2n)-\lambda_2}}{(1+m+2n) - \lambda_2} + \frac{\chi_3 r^{(m+n+3)-\lambda_2}}{(m+n+3) - \lambda_2} \right] + C_2 \end{aligned} \quad (26-A)$$

می توان ثوابت C_1 و C_2 را با ثوابت همگن ترکیب کرد، بنابراین برای سادگی این ثوابت از این مرحله حذف

می شود و حل خصوصی به شکل زیر تبدیل خواهد شد:

$$\Phi_P(r) = \frac{1}{(\lambda_2 - \lambda_1)} \left[\begin{array}{l} \frac{\chi_1 r^{(1+n)}}{((1+n)-\lambda_2)} + \frac{\chi_2 r^{(1+m+2n)}}{((1+m+2n)-\lambda_2)} + \frac{\chi_3 r^{(m+n+3)}}{((m+n+3)-\lambda_2)} \\ - \frac{\chi_1 r^{(1+n)}}{((1+n)-\lambda_1)} - \frac{\chi_2 r^{(1+m+2n)}}{((1+m+2n)-\lambda_1)} - \frac{\chi_3 r^{(m+n+3)}}{((m+n+3)-\lambda_1)} \end{array} \right] \quad (27-A)$$

پس از ساده سازی خواهیم داشت:

$$\Phi_P(r) = \left(\frac{1}{((1+n)-\lambda_2)((1+n)-\lambda_1)} \right) \chi_1 r^{(1+n)} + \left(\frac{1}{((m+n+3)-\lambda_2)((m+n+3)-\lambda_1)} \right) \chi_3 r^{(m+n+3)} + \left(\frac{1}{((1+m+2n)-\lambda_2)((1+m+2n)-\lambda_1)} \right) \chi_2 r^{(1+m+2n)} \quad (28-A)$$

بنابراین با توجه به روابط (28-A) و (20-A) حل کلی معادله به صورت زیر خواهد بود:

$$\Phi(r) = \Phi_H(r) + \Phi_P(r) = C_1 r^{\lambda_1} + C_2 r^{\lambda_2} + D_1 r^{(1+n)} + D_2 r^{(1+m+2n)} + D_3 r^{(m+n+3)} \quad (29-A)$$

که در آن:

$$\begin{aligned} \lambda_{1,2} &= \frac{1}{2} \left((m+n) \pm \sqrt{(m+n)^2 - 4(m+n)\nu + 4} \right) \\ D_1 &= \frac{(T_o - T_i) m \alpha_i h_o E_i}{((1+n)-\lambda_2)((1+n)-\lambda_1)(r_o^{-(m+n)} - r_i^{-(m+n)}) r_o^m r_i^{2n}} \\ D_2 &= \frac{(T_o - T_i) n r_i^{-(n+m)} \alpha_i h_o E_i}{((1+m+2n)-\lambda_2)((1+m+2n)-\lambda_1)(r_o^{-(m+n)} - r_i^{-(m+n)}) r_o^m r_i^{2n}} \\ D_3 &= -\frac{h_o \rho_i (3+\nu) \omega^2}{((m+n+3)-\lambda_2)((m+n+3)-\lambda_1) r_o^m r_i^n} \end{aligned} \quad (30-A)$$

می باشد. با توجه به شروط مرزی حاکم در این پژوهش، مطابق رابطه‌ی زیر زیر می توان ثابت های C_1 و C_2 را

بدست آورد:

$$\begin{cases} \sigma_r \Big|_{r=r_i} = -P \\ \sigma_r \Big|_{r=r_o} = 0 \end{cases} \Rightarrow \begin{cases} \frac{\Phi(r_i)}{r_i h_i} = -P \\ \frac{\Phi(r_o)}{r_o h_o} = 0 \end{cases} \Rightarrow \begin{cases} \Phi(r_i) = -Pr_i h_i \\ \Phi(r_o) = 0 \end{cases} \quad (31-A)$$

با اعمال روابط فوق در رابطه $(30-A)$ خواهیم داشت:

$$\begin{bmatrix} r_i^{\lambda_1} & r_i^{\lambda_2} \\ r_o^{\lambda_1} & r_o^{\lambda_2} \end{bmatrix} \begin{Bmatrix} C_1 \\ C_2 \end{Bmatrix} = \begin{Bmatrix} -D_1 r_i^{(1+n)} - D_2 r_i^{(1+m+2n)} - D_3 r_i^{(m+n+3)} - Pr_i h_i \\ -D_1 r_o^{(1+n)} - D_2 r_o^{(1+m+2n)} - D_3 r_o^{(m+n+3)} \end{Bmatrix} \quad (32-A)$$

با حل دستگاه فوق ثابت ها به شکل زیر محاسبه می شوند:

$$C_1 = \frac{-1}{r_i^{\lambda_2} r_o^{\lambda_1} - r_i^{\lambda_1} r_o^{\lambda_2}} \left\{ \begin{array}{l} \left(-D_1 r_i^{(1+n)} - D_2 r_i^{(1+m+2n)} - D_3 r_i^{(m+n+3)} - Pr_i h_i \right) r_o^{\lambda_2} \\ + \left(D_1 r_o^{(1+n)} + D_2 r_o^{(1+m+2n)} + D_3 r_o^{(m+n+3)} \right) r_i^{\lambda_2} \end{array} \right\} \quad (33-A)$$

$$C_2 = \frac{1}{r_i^{\lambda_2} r_o^{\lambda_1} - r_i^{\lambda_1} r_o^{\lambda_2}} \left\{ \begin{array}{l} \left(-D_1 r_i^{(1+n)} - D_2 r_i^{(1+m+2n)} - D_3 r_i^{(m+n+3)} - Pr_i h_i \right) r_o^{\lambda_1} \\ + \left(D_1 r_o^{(1+n)} + D_2 r_o^{(1+m+2n)} + D_3 r_o^{(m+n+3)} \right) r_i^{\lambda_1} \end{array} \right\}$$

با محاسبه ثابت ها تابع $\Phi(r)$ بدست می آید و با توجه به روابط $(1-A)$ و $(9-A)$ می توان تنش ها و جابجایی

شعاعی را محاسبه نمود.

۶ - ۲ پیوست B : حل دیسک با ضخامت متغیر با استفاده توابع فوق هندسی

در فصل چهارم مشاهده شد که در حالاتی که تابع نمایی در معادلات بصورت تابع پروفیل یا توزیع خواص وارد شود معادله‌ی به صورتی تبدیل می‌شود که حل دقیق نخواهد داشت. می‌توان صورت عمومی معادلات حاکم بر دیسک که تابع نمایی در آن وارد شده است را بصورت زیر نمایش داد:

$$r^2 \frac{d^2 u_r}{dr^2} + (\alpha + \beta r) r \frac{du_r}{dr} + (\beta v r - \gamma) u_r = F(r) \quad (1-B)$$

که در آن به ازای هر حالت مطابق جدول ۱-۶ داریم:

جدول ۱-۶: ضرایب معادله‌ی دیفرانسیل حاکم به ازای پروفیل و توزیع خواص متفاوت

γ	β	α	تابع توزیع خواص	تابع پروفیل
-1	$m + \bar{n}$	1	نمایی	نمایی
$\bar{n}v - 1$	m	$1 + \bar{n}$	توانی	نمایی
$mv - 1$	\bar{n}	$1 + m$	نمایی	توانی

حل همگن معادله دیفرانسیل همواره از رابطه‌ی زیر بدست می‌آید:

$$u_r^H = C_1 e^{\left(\frac{-\alpha}{2}\right)r} r^{\left(\frac{-\beta}{2}\right)} M \left(\left[\frac{\beta(2v-\alpha)}{2|\alpha|} \right], \left[\frac{1}{2} \sqrt{\beta^2 - 2\beta + (1-4\gamma)} \right], |\alpha|r \right) \\ + C_2 e^{\left(\frac{-\alpha}{2}\right)r} r^{\left(\frac{-\beta}{2}\right)} W \left(\left[\frac{\beta(2v-\alpha)}{2|\alpha|} \right], \left[\frac{1}{2} \sqrt{\beta^2 - 2\beta + (1-4\gamma)} \right], |\alpha|r \right) \quad (2-B)$$

تابع موسوم به وايتاکر هستند که با توجه به تابع فوق هندسی به شکل زیر

تعريف می‌شوند:

$$M\left(i, \frac{1}{2}j, kr\right) = e^{\left(\frac{-1}{2}\right)r} r^{\left(\frac{1}{2}+j\right)} H\left(\left[\frac{1}{2}+j-i\right], [1+2j], kr\right)$$

$$W\left(i, \frac{1}{2}j, kr\right) = e^{\left(\frac{-1}{2}\right)r} r^{\left(\frac{1}{2}+j\right)} K\left(\left[\frac{1}{2}+j-i\right], [1+2j], kr\right)$$
(۳-B)

و توابع H و K به شکل زیر تعریف می‌شوند:

$$H(i, j; kr) = 1 + \frac{i}{j \cdot 1!} r + \frac{i(i+1)}{j(j+1) \cdot 2!} r^2 + \frac{i(i+1)(i+2)}{j(j+1)(j+2) \cdot 3!} r^3 + \dots$$

$$K(i, j; kr) = \frac{1}{r} + \frac{i}{j \cdot 1!} + \frac{i(i+1)}{j(j+1) \cdot 2!} r + \frac{i(i+1)(i+2)}{j(j+1)(j+2) \cdot 3!} r^2 + \dots$$
(۴-B)

با جایگذاری روابط (۴-B) و (۵-B) در (۳-B) حل همگن برای تمامی حالاتی که تابع نمایی در معادلات وارد می‌شود بدست می‌آید.

با توجه به اینکه در تابع توزیع دما از توابع عددی استفاده می‌شود نمی‌توان از حل همگن به حل عمومی رسید ولی امکان ارائه حل عمومی برای دوران و فشار داخلی امکان پذیر می‌باشد.

۶ - ۳ پیوست C : معادله‌ی حاکم بر دیسک با استفاده از تئوری تغییر شکل برشی

میدان جابجایی و تنش: در این مسئله میدان جابجایی توسط تئوری تغییر شکل برشی مدل سازی شده است. در این مدل جابجایی در راستای شعاع از تقریب مرتبه‌ی اول و در راستای ضخامت از تقریب مرتبه‌ی صفر استفاده شده است. جابجایی در راستای زاویه‌ای نیز با توجه به تقارن محور موجود در بارگذاری و هندسه صفر در نظر گرفته شده است.

$$\begin{Bmatrix} u_r(r,z) \\ u_\theta(r,z) \\ u_z(r,z) \end{Bmatrix} = \begin{Bmatrix} u_0(r) + z\psi(r) \\ 0 \\ w(r) + z\phi(r) \end{Bmatrix} \quad (1-C)$$

با استفاده از روابط سینماتیک (کرنش - جابجایی) برای جابه‌جایی‌های کوچک در این میدان فرضی داریم:

$$\begin{Bmatrix} \varepsilon_r \\ \varepsilon_\theta \\ \varepsilon_z \\ \gamma_{rz} \end{Bmatrix} = \begin{Bmatrix} \frac{\partial u_r(r,z)}{\partial r} \\ \frac{u_r(r,z)}{r} \\ \frac{\partial u_r(r,z)}{\partial r} \\ \frac{\partial u_r(r,z)}{\partial z} + \frac{\partial u_z(r,z)}{\partial r} \end{Bmatrix}, \gamma_{\theta z} = \gamma_{r\theta} = 0 \quad (2-C)$$

که با جایگذاری (1-C) در رابطه‌ی فوق داریم:

$$\begin{cases} \varepsilon_r = \frac{du_0}{dr} + z \frac{d\psi}{dr} \\ \varepsilon_\theta = \frac{u_0}{r} + z \frac{\psi}{r} \\ \varepsilon_z = \phi \\ \gamma_{rz} = \psi + \frac{dw}{dr} + z \frac{d\phi}{dr} \end{cases} \quad (3-C)$$

با توجه به اینکه بارگذاری حرارتی در راستای شعاع است از این رو کرنش حرارتی فقط در این راستا وجود دارد و مقدار آن از رابطه‌ی زیر قابل محاسبه است:

$$\varepsilon_r^T = \alpha(r)(T(r) - T_0) = \alpha(r)\Delta T(r) \quad (4-C)$$

همچنین برای ماده‌ی الاستیک خطی معادلات رفتاری ترمولاستیک (رابطه‌ی تنش و کرنش) به صورت زیر است:

$$\begin{Bmatrix} \sigma_r \\ \sigma_\theta \\ \sigma_z \\ \tau_{xz} \end{Bmatrix} = E(r)\lambda \begin{bmatrix} 1-\nu & \nu & \nu & 0 \\ \nu & 1-\nu & \nu & 0 \\ \nu & \nu & 1-\nu & 0 \\ 0 & 0 & 0 & \frac{1-2\nu}{2} \end{bmatrix} \begin{Bmatrix} \varepsilon_r - \varepsilon_r^T \\ \varepsilon_\theta - \varepsilon_r^T \\ \varepsilon_z - \varepsilon_r^T \\ \gamma_{xz} \end{Bmatrix} \quad (5-C)$$

که در آن $\lambda = \frac{1}{(1+\nu)(1-2\nu)}$ ثابت لامه می‌باشد.

معادلات تعادل: برای بدست آوردن معادلات تعادل به روش تئوری تغییر شکل برشی از روش انرژی استفاده می‌شود. در این روش تغییرات انرژی کل سیستم بنا بر اصل پایستگی انرژی صفر فرض می‌شود. اگر انرژی کل به صورت زیر تعریف شود:

$$\Pi = U_1 - V_1 \quad (6-C)$$

که در آن U_1 انرژی کرنشی و V_1 کار خارجی اعمالی بر سیستم باشد بنا بر اصل پایستگی انرژی کل خواهیم داشت تغییرات انرژی کل برابر صفر است:

$$\Delta\Pi = 0 \Rightarrow \delta U_1 = \delta V_1 \quad (7-C)$$

انرژی کرنشی برای یک دیسک با شرایط متقاضی محوری از رابطه‌ی زیر بدست می‌آید:

$$U_1 = \int_{r_i}^{r_o} \left(\int_{-h(r)/2}^{h(r)/2} 2\pi (\sigma_r \varepsilon_r + \sigma_\theta \varepsilon_\theta + \sigma_z \varepsilon_z + \tau_{rz} \delta \gamma_{rz}) dz \right) r dr \quad (A-C)$$

برای محاسبه تغییرات انرژی کرنشی با جایگذاری روابط سینماتیک و رفتاری در رابطه‌ی انرژی کرنشی خواهیم

داشت:

$$\frac{\delta U_1}{2\pi} = \int_{r_i}^{r_o} \left\{ \begin{aligned} & \left(-\frac{d}{dr} \int_{-h(r)/2}^{h(r)/2} r \sigma_r dz + \int_{-h(r)/2}^{h(r)/2} \sigma_\theta dz \right) \delta u_0 \\ & + \left(-\frac{d}{dr} \int_{-h(r)/2}^{h(r)/2} z r \sigma_r dz + \int_{-h(r)/2}^{h(r)/2} z \sigma_\theta dz + \int_{-h(r)/2}^{h(r)/2} r \tau_{rz} dz \right) \delta \psi \\ & - \left(\int_{-h(r)/2}^{h(r)/2} r \tau_{rz} dz \right) \delta w \\ & + \left(\frac{d}{dr} \int_{-h(r)/2}^{h(r)/2} z r \tau_{rz} dz + \int_{-h(r)/2}^{h(r)/2} r \sigma_z dz \right) \delta \phi \end{aligned} \right\} dr \quad (9-C)$$

با استفاده از تعادل نیروها و گشتاورهای داخلی المان داریم:

$$\begin{Bmatrix} N_r \\ N_\theta \\ N_z \end{Bmatrix} = \int_{-h(r)/2}^{h(r)/2} \begin{Bmatrix} \sigma_r \\ \sigma_\theta \\ \sigma_z \end{Bmatrix} dz \quad (10-C)$$

$$\begin{Bmatrix} M_r \\ M_\theta \\ M_z \end{Bmatrix} = \int_{-h(r)/2}^{h(r)/2} \begin{Bmatrix} \sigma_r \\ \sigma_\theta \\ \sigma_z \end{Bmatrix} z dz \quad (11-C)$$

$$Q_r = K \int_{-h(r)/2}^{h(r)/2} \tau_{rz} dz \quad (12-C)$$

$$M_{rz} = K \int_{-h(r)/2}^{h(r)/2} \tau_{rz} z dz \quad (13-C)$$

با جایگذاری این روابط در معادله‌ی انرژی کرنشی (9-C) خواهیم داشت:

$$\frac{\delta U_1}{2\pi} = \int_{r_i}^{r_o} \left[\begin{aligned} & \left(-\frac{d}{dr} (rN_r) + N_\theta \right) \delta u_0 + \left(-\frac{d}{dr} (rM_r) + M_\theta + rQ_r \right) \delta \psi \\ & - \left(\frac{d}{dr} (rQ_r) \right) \delta w + \left(\frac{d}{dr} (rM_{rz}) + rN_z \right) \delta \phi \end{aligned} \right] dr \quad (14-C)$$

از طرفی کار خارجی ناشی از دوران و فشار داخلی نیز با رابطه‌ی زیر قابل محاسبه است:

$$\frac{\delta V_1}{2\pi} = \int_{r_i}^{r_o} \left[\begin{aligned} & \left(\rho(r) r^2 \omega^2 + P \right) dz \end{aligned} \right] \delta u_0 + \left[\begin{aligned} & \left(\rho(r) r^2 \omega^2 + P \right) dz \end{aligned} \right] \delta \psi \right] dr \quad (15-C)$$

با ساده سازی روابط فوق معادله‌ی کار خارجی به صورت زیر ساده می‌شود:

$$\frac{\delta V_1}{2\pi} = \left[\int_{r_i}^{r_o} (\rho(r) r^2 \omega^2 + P) h(r) dr \right] \delta u_0 \quad (16-C)$$

با استفاده اصل پایستگی انرژی (7-C) خواهیم داشت:

$$\int_{r_i}^{r_o} \left[\begin{aligned} & \left(-\frac{d}{dr} (rN_r) + N_\theta \right) \delta u_0 \\ & + \left(-\frac{d}{dr} (rM_r) + M_\theta + rQ_r \right) \delta \psi \\ & - \left(\frac{d}{dr} (rQ_r) \right) \delta w \\ & + \left(\frac{d}{dr} (rM_{rz}) + rN_z \right) \delta \phi \end{aligned} \right] dr = \left[\int_{r_i}^{r_o} (\rho(r) r^2 \omega^2 + P) h(r) dr \right] \delta u_0 \quad (17-C)$$

شرط برقراری این رابطه این است که ضرایب δu_0 و $\delta\psi$ و δw و $\delta\phi$ برابر با صفر باشد:

$$\left\{ \begin{array}{l} -\frac{d}{dr}(rN_r) + N_\theta = \int_{r_i}^{r_o} (\rho(r)r^2\omega^2 + P)h(r)dr \\ -\frac{d}{dr}(rM_r) + M_\theta + rQ_r = 0 \\ \frac{d}{dr}(rQ_r) = 0 \\ \frac{d}{dr}(rM_z) + rN_z = 0 \end{array} \right. \quad (18-C)$$

که این روابط به شکل ساده‌تر همان معادلات تعادل زیر هستند:

$$\left\{ \begin{array}{l} \Sigma F_r = 0 \\ \Sigma M_r = 0 \\ \Sigma F_z = 0 \\ \Sigma M_z = 0 \end{array} \right. \quad (19-C)$$

نیروها و گشتاورهای منتجه نیز با استفاده از معادلات رفتاری و سینماتیک محاسبه می‌شود.

$$\left\{ \begin{array}{l} N_r = \lambda E(r)h(r) \left[(1-\nu)\frac{du_0}{dr} + \nu \left(\frac{u_0}{r} + \phi \right) - (1+\nu)\alpha(r)\Delta T(r) \right] \\ N_\theta = \lambda E(r)h(r) \left[(1-\nu)\frac{u_0}{r} + \nu \left(\frac{du_0}{dr} + \phi \right) - (1+\nu)\alpha(r)\Delta T(r) \right] \\ N_z = \lambda E(r)h(r) \left[(1-\nu)\phi + \nu \left(\frac{u_0}{r} + \frac{du_0}{dr} \right) - (1+\nu)\alpha(r)\Delta T(r) \right] \end{array} \right. \quad (20-C)$$

$$\left\{ \begin{array}{l} M_r = \frac{\lambda E(r)h(r)^3}{12} \left[(1-\nu)\frac{\psi}{r} + \nu \frac{d\psi}{dr} \right] \\ M_\theta = \frac{E(r)h(r)^3}{12(1-\nu^2)} \left[(1-\nu)\frac{d\psi}{dr} + \nu \frac{\psi}{r} \right] \end{array} \right. \quad (21-C)$$

$$\begin{cases} Q_r = K \frac{E(r)h(r)}{2(1+\nu)} \left[\psi + \frac{dw}{dr} \right] \\ M_r = K \frac{E(r)h(r)^3}{24(1+\nu)} \left[\frac{d\phi}{dr} \right] \end{cases} \quad (22-C)$$

با جایگذاری روابط فوق در معادلات تعادل بدست آمده، معادلات تعادل بر حسب جابجایی بدست می آید

مراجع

- [1] Hasselman D.P.H., Youngblood G.E.;“Enhanced thermal stress resistance of structural ceramics with thermal conductivity gradient”. Journal of the American Ceramic Society, 61(1, 2): 49-53.
- [2] Reddy, J. N.“Mechanics of Laminated Composite Plates and Shells”, theory and analysis, 2nd, CRC Press, 2004.
- [3] Markworth A.J., Ramesh K.S., Parks W.P.;“Review modeling studies applied to functionally graded materials” Journal of Materials Science 30 (1995) 2183 2193
- [4]. Fan, Tsakirooulos P., Miodowink A. P, Mater J.; Sci. 29 (1994) 141.
- [5] Timoshenko S. P., Goodier J. N.;“Theory of Elasticity”, McGraw-Hill, New York, 1970.
- [6] Noda N., Tsuji T.;“Steady thermal stresses in a plate of functionally gradient material with temperature-dependent properties.” Trans Jpn Soc Mech Eng Ser A 1991; 57:625–31.
- [7] Obata Y., Noda N., Tsuji T.;“Steady thermal stresses in a functionally gradient material plate. “ Trans Jpn Soc Mech Eng 1992; 58:1689–95.
- [8] Tanaka K, Tanaka Y, Enomoto K, Poterasu VF, Sugano Y.”Design of thermo elastic materials using direct sensitivity and optimization methods, reduction of thermal stresses in functionally gradient materials.” Comput Methods App. Mech Eng 1993; 106:271–84.
- [9] Tanaka K, Tanaka Y, Watanabe H, Poterasu VF, Sugano Y. “An improved solution to thermo elastic material design in functionally gradient materials: scheme to reduce thermal stresses.” Comput Methods App. Mech Eng 1993; 109:377–89.
- [10] Tanigawa Y. “Some basic thermoplastic problems for nonhomogeneous structural material.” J App. Mech 1995; 48:377–89.
- [11] Praveen GN, Chin CD, Reddy JN. “Thermo-elastic analysis of functionally graded ceramic–metal cylinder.” J Eng Mech 1999; 125:1259–67.

- [12] Zimmerman R.W., Lutz M.P.;“Thermal stresses and thermal expansion in a uniformly heated functionally graded cylinder.” Jounal Thermo Stresses 1999; 22:177–88.
- [13] Cheng Z.Q., Batra R.C.;“Three-dimensional thermo elastic deformations of a functionally graded elliptic plate.” Composites B 2000; 31: 97–106.
- [14] Sankar B.V., Tzeng J.T.;“Thermal stresses in functionally graded beams.” Am Instit Aeron Astron-J 2002; 40:1228–32.
- [15] Vel S.S., Batra R.C.;“Exact solution for thermo elastic deformations of functionally graded thick rectangular plates.” Am Instit Aeron AstronJ 2002. 40:1421–33
- [16] Vel S.S., Batra R.C.;“Exact thermo-elasticity solution for cylindrical bending deformations of functionally graded plates. Proceedings of the IUTAM symposium on dynamics of advanced materials and smart structures” solid mechanics and its applications, 2003, vol. 106 p. 429–38.
- [17] Qian L.F., Batra R.C., Chen L.M.;“Analysis o f cylindrical bending thermo elastic deformations of function ally graded plates by a mesh less local Petrov–Galerkin method.” Computat Mech 2004; 33:263–73.
- [18] Eraslan A.N., Akis T.;” On the plane strain and plane stress solutions of functionally graded rotating solid shaft and solid disk problems.”Acta Mech 2006; 181:43–63
- [19] Kordkheili S., Naghdabadi R.;” Thermo elastic analysis of a functionally graded rotating disk.” Composite Structures 2006; 79:508–16.
- [20] Bayat M., Saleem M., Sahari B.B., Hamouda A.M.S; “Mechanical and thermal stresses in a functionally graded rotating disk with variable thickness due to radially symmetry loads”. International Journal of Pressure Vessels and Piping 86 (2009) 357–372
- [21] Hojjati M. H., Jafari S.;“Semi-exact solution of elastic non-uniform thickness and density rotating disks by homotopy perturbation and Adomian’s decomposition methods. Part I: Elastic solution”; International Journal of Pressure Vessels and Piping, Vol. 85, 2008, pp. 871-878.

- [22] Bayat M, Sahari B., Saleem M., Aidy Ali, Wong S.V.;” Thermo-elastic solution of a functionally graded variable thickness rotating disk with bending based on the first-order shear deformation theory “; Thin-Walled Structures 47 (2009) 568–582
- [23] Ashraf M., Zenkour.;“Variable-Thickness Inhomogeneous Cylinders: Part I—Analytical Elastic Solutions.” Applied Mathematics, 2010, 1, 481-488
- [24] Nie G.J., Batra R.C.;“Stress analysis and material tailoring in isotropic linear thermo elastic incompressible functionally graded rotating disks of variable thickness” Composite Structures 92 (2010) 720–729
- [25] Metin S.;“Stress Analysis of functionally graded discs under mechanical and thermal loads”; Indian Journal of Engineering &Material Science; Vol 18. April 2011.pp 111-118
- [۲۶] جاهد مطلق ح، نوبان مر و اشرافی م ”جزء محدود ANSYS“ مرکز انتشارات دانشگاه علم و صنعت تهران ۱۳۷۹
- [27] Sadd Martin H.;“Elasticity Theory, Applications and Numerics”, Elsevier, New York, 2009.
- [28] Spiegel M.R., Lipschutz S., Liu J., Fenster S.K;“Mathematical Handbook of Formulas and Tables”, Mc Graw Hill, New York, 2009.
- [29] Bronson R.; “ Differential Equations“, Schaum’s Outline Series,Mcgraw – Hill
- [30] Abramowitz, M., Stegun, I.; “Handbook of Mathematical Functions”. New York: Dover Publications Inc., 1965.
- [31] Ghannad M., Zamani Nejad M., Rahimi G. H.;” Elastic solution of axisymmetric thick truncated conical shells based on first-order shear deformation theory”. ISSN 1392 - 1207. MECHANIKA. 2009. Nr.5 (79).
- [32] Ugral S. C, Fenster S.K.; “Advanced Strength and Applied Elasticity”, Elsevier, New York, 1987.

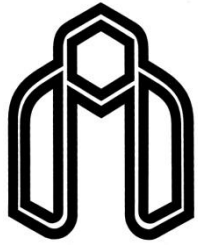
Abstract:

The rotating disk due to many applications in industry that has long been subjects of researchs and studies. The rotating disk can be used in gas turbine disks, flywheels, gears and brake disks. The analytical formulas presented in this research can help optimize the design of disks in various industries.

In this study, using the plane elasticity theory and plane stress conditions, the thermoelastic equation governing for nonhomogeneous rotating disk with variable thickness and temperature dependent properties is presented. Modeling of FG materials and changes in thickness can be used exponential and power functions and the governing equation is solved.

If the exponential function for the thickness changes or the distribution function of properties is selected, The heat transfer equation governing the disk is not an exact solution. in this conditions from semi-analytical or analytical methods have been used and for validation results. displacement and stresses have been compared to the numerical solution. Using the results under mechanical and thermal loads according to its properties and loading are examined.

The results show that increasing thickness in the inner radius of the disk and the functionally graded material, reducing the maximum stress due to thermal and rotational loading, but the maximum stress due to internal pressure is increased. It also maximum stresses of power functions in thermal and rotational loading is greater than exponential function, but at internal pressure condition the maximum stress of exponential functions is greater than power functions.



Shahrood University of Technology
Mechanic Engineering Faculty

The Analytical Solution of Nonhomogenous Disks with Variable Thickness under Mechanical and Thermal Loading

Seyed Mehdi Jabbari

Supervisor:

Dr. Mehdi Ghannad

Date: February 2012